

Annales des Mines

DE BELGIQUE



Annalen der Mijnen

VAN BELGIEU. of ILL. LIBRARY

NOV 15 1972

CHICAGO CIRCLE

Direction - Rédaction :

Directie - Redactie :

INSTITUT NATIONAL DES
INDUSTRIES EXTRACTIVES

NATIONAAL INSTITUUT VOOR
DE EXTRACTIEBEBRIJVEN

4000 LIEGE, Bois du Val Benoît, rue du Chéra — TEL. (04) 52.71.50

Renseignements statistiques. — Statistische inlichtingen. — Journées de l'Industrie Minérale, Bruxelles, décembre 1971 : Exposés par MM. BERNARD, KROL, de MAGNEE, BEUGNIES. — A. HAUSMAN : Utilité de la représentation d'un réseau d'aérage suivant la méthode Budryk. — Nut van de grafische « Budryk »-voorstelling van een ondergrondse kolenmijnventilatie. — INIEX : Revue de la littérature technique. — Bibliographie.

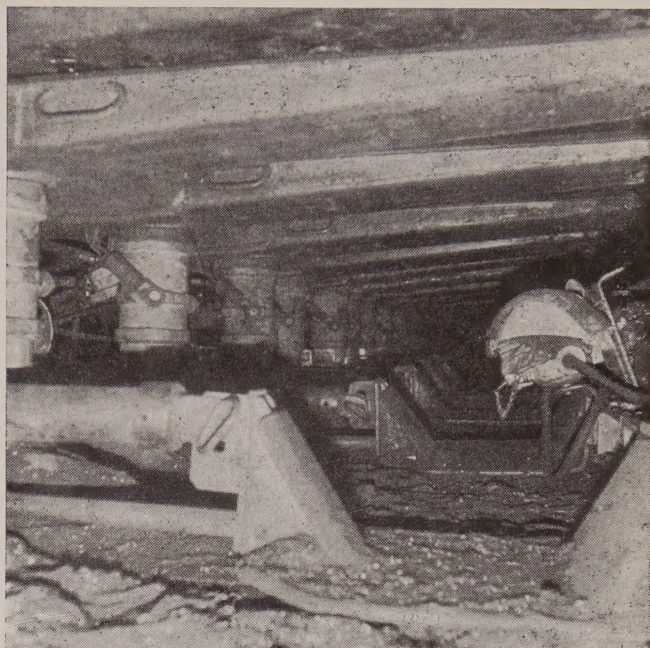
JUILLET-AOUT 1972

Mensuel — Nos 7-8 — Maandelijks

JULI-AUGUSTUS 1972

Soutènement marchant **HEMSCHIEDT**

pour tailles chassantes et montantes
en cadres couplés ou piles pour ouvertures
de 0,6 m à 4 m composés d'étauçons de 40,
40/60, 60, 90 Mp de portance
rapport de coulisement 1 : 2 et plus
montage simple, flexibles à raccords em-
boîtés SteckO sans entretien
pas de 0,8, 1 et 1,25 m réglable en ligne ou
quinconce
avancement avec appui au toit
commande de l'élément voisin, centrale ou
en groupe - séquence
indicateur de pression donnant à tout mo-
ment l'état de fonctionnement du système
hydraulique
avec tous avantages pour une réussite tech-
nique et rentable



av. Hamoir, 74 - 1180 Bruxelles - Téléphone 02/74.58.40

connaissez-vous tous les départements PRB ?

Département mousses

Mousses de polyuréthane polyester et polyéther, souples, semi-rigides, rigides, réticulées, en blocs, plaques et rouleaux, pour isolation thermique et acoustique, literie, garnissage, sous-tapis, doublure de vêtement, emballage, Filtres à air, mousse de sécurité pour réservoirs à carburant, projection de mousse rigide sur chantier et isolation de pipe-lines, panneaux sandwichs, mousses souples moulées à chaud et à froid.

Département Chimie

Produits antirouille, stabilisateur de bière, colles et mastics spéciaux, extraits de houblon, nitrocellulose, carboxyméthylcellulose, régulateur de croissance, acide tannique, produits phytopharmaceutiques.

Département Explosifs et Produits Nitrés

Explosifs et accessoires pour mines, carrières, grands travaux, cartouches de chasse, poudres de chasse et militaires.

Département Défense et Mécanique

Munitions d'artillerie, mines et grenades, explosifs militaires, pièces mécaniques estampées et extrudées, décolletage et emboutissage de tous métaux, articles de quincaillerie et de ménage, maisons préfabriquées.

Département Engineering

Etude, construction et gestion d'usines modernes « clé sur porte ».



s.a. **PRB**
avenue de Broqueville 12
1150 - Bruxelles.
Belgique

ANNALEN DER MIJNEN VAN BELGIE

OFFICIEEL ORGAAN

van het Nationaal Instituut voor de Extractiebedrijven en van de Administratie der Mijnen

Uitgever : EDITIONS TECHNIQUES ET SCIENTIFIQUES

Borrensstraat, 35-43 - 1050 Brussel - Tel. 47.38.52 - 48.27.84

BERICHT

De Annalen der Mijnen van België verschijnen maandelijks. In 1971 werden 1472 bladzijden tekst alsmede talrijke tabellen buiten tekst gepubliceerd.

Het Nationaal Instituut voor de Extractiebedrijven neemt de taak van het bestuur en de redactie van het tijdschrift op zich. Dit laatste vormt een wezenlijk arbeidsinstrument voor een groot aantal nationale bedrijven dank zij het verspreiden en het algemeen bruikbaar maken van een zeer rijke documentatie :

- 1) Zeer recente statistieken betreffende België en de aangrenzende landen.
- 2) Originele memories, gewijd aan al de problemen van de extractieve nijverheden, de kolen- en de ijzer- en staalnijverheid, de chemische nijverheid en andere, onder haar veelvoudige technische, economische, sociale, statistische en financiële aspecten.
- 3) Regelmatige verslagen — principieel jaarlijkse — opgesteld door bevoegde personaliteiten, betreffende bepaalde grote problemen zoals de mijntechniek in 't algemeen, de veiligheid in de mijnen, de mijnhygiëne, de evolutie van de sociale wetgeving, de statistiek van de mijnen, van de groeven, van de ijzer- en staalnijverheid, van de agglomeratenfabrieken voor België en aangrenzende landen, de toestand van de steenkolennijverheid over de gehele wereld, enz.
- 4) Vertalingen, samenvattingen of ontledingen van aan buitenlandse tijdschriften ontleende artikelen.
- 5) Een bibliografische inhoudsopgave, opgesteld na grondig onderzoek van alle publicaties ter wereld die betrekking hebben op de door de Annalen der Mijnen behandelde onderwerpen.

Elk artikel wordt voorafgegaan van een beknopte samenvatting in 't Frans, in 't Nederlands, in 't Duits en in 't Engels.

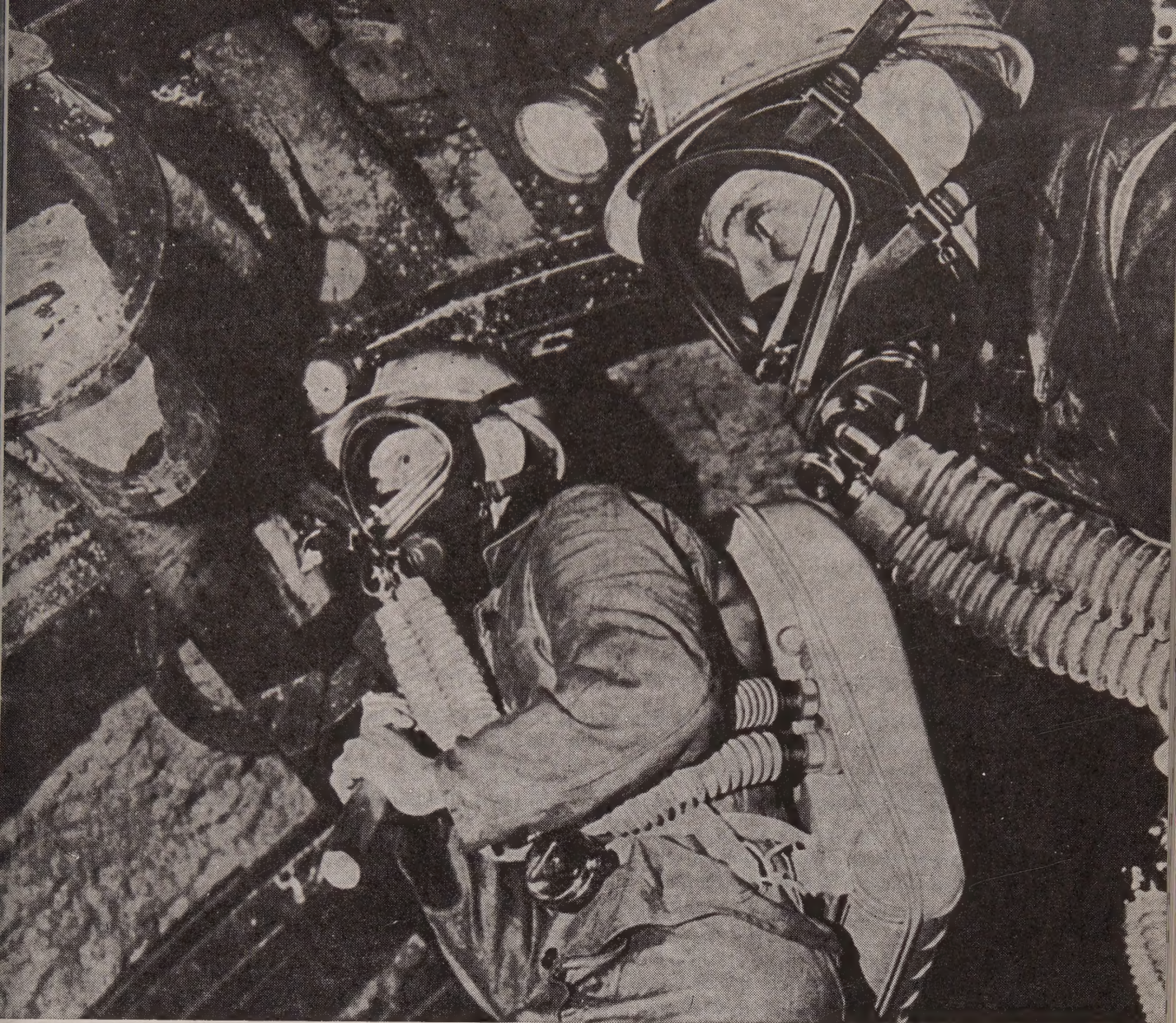
De abonnees van de « Annalen der Mijnen » bekomen insgelijks, kosteloos en op aanvraag, de door het Nationaal Instituut voor de Extractiebedrijven opgestelde technische tijdschriften : « Mijnen en Groeven », « Valorisatie en Aanwending van Brandstoffen ». Het volstaat een aanvraag te richten tot NIEB, Bois du Val-Benoît, rue du Chéra, Liège.

* * *

N.B. — *Men abonneert zich door de som van 915 F (BTW inbegrepen) (920 Belgische Franken voor het buitenland) over te schrijven op de postrekening n° 10.48.29 van « Editions Techniques et Scientifiques », Borrensstraat, 35-43, te 1050 Brussel.*

Alle abonnements nemen aanvang van 1 januari af.

Men bekomt, kosteloos en op aanvraag, de publiciteitstarieven alsmede een proefaflevering.



SÉCURITÉ

pour la protection au travail



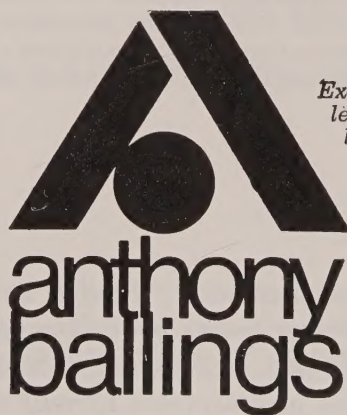
VEILIGHEID

voor veilige arbeid

appareils respiratoires
appareils de réanimation
détecteurs de gaz nocifs
masques, filtres

ademhalingsapparaten
reanimatie-apparaten

-apparaten voor schadelijke gassen
maskers, filters



*Exclusivité pour la Belgique,
le Grand-Duché,
la République du Congo*

*Alleenverkoop voor België,
Groot Hertogdom,
Kongo Republiek*

S.A./N.V.

applications et systèmes au service de la technologie d'aujourd'hui
toepassingen en systemen ten dienste van de moderne technologie

av. Georges Rodenbach 6 - 1030 Bruxelles / Tél. : (02) 41.00.24 (4 l.)
Georges Rodenbachlaan 6 - 1030 Brussel / Tel. : (02) 41.00.24 (4 l.)

ANNALES DES MINES DE BELGIQUE

ORGANE OFFICIEL

de l'Institut National des Industries Extractives et de l'Administration des Mines

Editeur : EDITIONS TECHNIQUES ET SCIENTIFIQUES

rue Borrens 35-43 - 1050 Bruxelles - Tél. 47.38.52 - 48.27.84 - 48.05.38

NOTICE

Les « Annales des Mines de Belgique » paraissent mensuellement. En 1971, 1472 pages de texte, ainsi que de nombreuses planches hors texte, ont été publiées.

L'Institut National des Industries Extractives assume la direction et la rédaction de la revue. Celle-ci constitue un véritable instrument de travail pour une partie importante de l'industrie nationale en diffusant et en rendant assimilable une abondante documentation :

- 1) Des statistiques très récentes, relatives à la Belgique et aux pays voisins.
- 2) Des mémoires originaux consacrés à tous les problèmes des industries extractives, charbonnières, métallurgiques, chimiques et autres, dans leurs multiples aspects techniques, économiques, sociaux, statistiques, financiers.
- 3) Des rapports réguliers, et en principe annuels, établis par des personnalités compétentes, et relatifs à certaines grandes questions telles que la technique minière en général, la sécurité minière, l'hygiène des mines, l'évolution de la législation sociale, la statistique des mines, des carrières, de la métallurgie, des cokeries, des fabriques d'agglomérés pour la Belgique et les pays voisins, la situation de l'industrie minière dans le monde, etc...
- 4) Des traductions, résumés ou analyses d'articles tirés de revues étrangères.
- 5) Un index bibliographique résultant du dépouillement par INIEX de toutes les publications paraissant dans le monde et relatives à l'objet des Annales des Mines.

Chaque article est accompagné d'un bref résumé en français, néerlandais, allemand et anglais.

Les abonnés aux « Annales des Mines » peuvent recevoir **gratuitement** les Bulletins Techniques de l'Institut National des Industries Extractives (INIEX) : « Mines et Carrières », « Valorisation et Utilisation des Combustibles », « Polymères ». Les demandes sont à adresser à INIEX Bois du Val-Benoît, rue du Chéra, 4000 Liège.

* * *

N.B. — *Pour s'abonner, il suffit de virer la somme de 915 francs (TVA incluse) (920 francs belges pour l'étranger) au compte de chèques postaux n° 1048.29 des Editions Techniques et Scientifiques, rue Borrens 35-43 - 1050 Bruxelles. Tous les abonnements partent du 1^{er} janvier.*

Tarifs de publicité et numéro spécimen gratuit sur demande.

Annales des Mines

DE BELGIQUE



Annalen der Mijnen

VAN BELGIE

Direction - Rédaction :

INSTITUT NATIONAL DES
INDUSTRIES EXTRACTIVES

Directie - Redactie :

NATIONAAL INSTITUUT VOOR
DE EXTRACTIEBEDRIJVEN

4000 LIEGE, Bois du Val Benoit, rue du Chéra — TEL. (04) 52.71.50

Renseignements statistiques. — Statistische inlichtingen. — Journées de l'Industrie Minérale, Bruxelles, décembre 1971 : Exposés par MM. BERNARD, KROL, de MAGNEE, BEUGNIES. — A. HAUSMAN : Utilité de la représentation d'un réseau d'aérage suivant la méthode Budryk. - Nut van de grafische « Budryk »-voorstelling van een ondergrondse kolenmijnventilatie. — INIEX : Revue de la littérature technique, — Bibliographie.

COMITE DE PATRONAGE

- MM. H. ANCIAUX, Inspecteur général honoraire des Mines, à Wemmel.
- L. BRACONIER, Président-Administrateur-Délégué de la S.A. des Charbonnages de la Grande Bacnure, à Liège.
- P. DE GROOTE, Ancien Ministre, à Bruxelles.
- M. DE LEENER, Administrateur-Délégué de l'Association des Centrales Industrielles de Belgique, à Bruxelles.
- A. DELMER, Secrétaire Général Honoraire du Ministère des Travaux Publics, à Bruxelles.
- N. DESSARD, Président d'Honneur de l'Association Charbonnière de la Province de Liège, à Liège.
- A. HENSKENS, Président du Conseil d'Administration de la Fédération Professionnelle des Producteurs et Distributeurs d'Electricité de Belgique, à Bruxelles.
- L. JACQUES, Président de la Fédération de l'Industrie des Carrières, à Bruxelles.
- E. LEBLANC, Président d'Honneur de l'Association Charbonnière du Bassin de la Campine, à Bruxelles.
- J. LIGNY, Président de l'Association Charbonnière des Bassins de Charleroi et de la Basse-Sambre, à Marcinelle.
- A. MEYERS (Baron), Directeur Général Honoraire des Mines, à Bruxelles.
- G. PAQUOT, Président de l'Association Charbonnière de la Province de Liège, à Liège.
- M. PERIER, Président de la Fédération de l'Industrie du Gaz, à Bruxelles.
- P. van der REST (Baron), Président du Groupement des Hauts Fourneaux et Aciéries Belges, à Bruxelles.
- J. VAN OIRBEEK, Président Honoraire de la Fédération des Usines à Zinc, Plomb, Argent, Cuivre, Nickel et autres Métaux non ferreux, à Bruxelles.
- C. VESTERS, Directeur Général Honoraire de la « N.V. Kempense Steenkolenmijnen ». à Houthalen.

BESCHERMEND COMITE

- HH. H. ANCIAUX, Ere Inspecteur Generaal der Mijnen, Wemmel.
- L. BRACONIER, Voorzitter-Afgevaardigde-Beheerder de N.V. « Charbonnages de la Grande Bacnure Luik.
- P. DE GROOTE, Oud-Minister te Brussel.
- M. DE LEENER, Afgevaardigde-Beheerder van de Vereniging der Electriche Industriële Centrales van België te Brussel.
- A. DELMER, Ere-Secretaris Generaal van het Ministerie Openbare Werken, te Brussel.
- N. DESSARD, Ere-Voorzitter van de Vereniging der Kolenmijnen van de Provincie Luik, te Luik.
- A. HENSKENS, Voorzitter van de Bedrijfsfederatie Voortbrengers en Verdelers van Electriciteit in België te Brussel.
- L. JACQUES, Voorzitter van het Verbond der Groeven te Brussel.
- E. LEBLANC, Ere-Voorzitter van de Associatie der Belgische Steenkolenmijnen, te Brussel.
- J. LIGNY, Voorzitter van de Vereniging der Kolenmijnen van het Bekken van Charleroi en van de Beneden-Sambre, te Marcinelle.
- A. MEYERS (Baron), Ere-Directeur Generaal der Mijnen te Brussel.
- G. PAQUOT, Voorzitter van de Vereniging der Kolenmijnen van de Provincie Luik, te Luik.
- M. PERIER, Voorzitter van het Verbond der Gasnijverheid te Brussel.
- P. van der REST (Baron), Voorzitter van de « Groep der Hauts Fourneaux et Aciéries Belges », te Brussel.
- J. VAN OIRBEEK, Ere-Voorzitter van de Federatie der Zink-, Lood-, Zilver-, Koper-, Nikkel- en andere ferro-Metalenfabrieken, te Brussel.
- C. VESTERS, Ere-Directeur Generaal van de N.V. Kempense Steenkolenmijnen, te Houthalen.

COMITE DIRECTEUR

- MM. J. MEDAETS, Directeur Général des Mines, à Bruxelles, Président.
- P. LEDENT, Directeur de l'Institut National des Industries Extractives, à Liège, Vice-Président.
- P. DELVILLE, Directeur Général de la Société « Evence Coppée et Cie », à Bruxelles.
- C. DEMEURE de LESPAL, Professeur émérite d'Exploitation des Mines à l'Université Catholique de Louvain, à Sirault.
- P. GERARD, Directeur Divisionnaire Honoraire des Mines, à Hasselt.
- H. LABASSE, Professeur émérite d'Exploitation des Mines à l'Université de Liège, à Liège.
- J.M. LAURENT, Directeur Divisionnaire Honoraire des Mines à Jumet.
- G. LOGELAIN, Directeur Général Honoraire des mines, à Bruxelles.
- P. RENDERS, Directeur à la Société Générale de Belgique, à Bruxelles.

BESTUURSCOMITE

- HH. J. MEDAETS, Directeur Generaal der Mijnen, te Brussel, Voorzitter.
- P. LEDENT, Directeur van het Nationaal Instituut voor de Extractiebedrijven, te Luik, Onder-Voorzitter.
- P. DELVILLE, Directeur Generaal van de Vereniging « Evence Coppée et Cie » te Brussel.
- C. DEMEURE de LESPAL, Emeritus Hoogleraar in de Mijnbouwkunde aan de Katholieke Universiteit Leuven, te Sirault.
- P. GERARD, Ere-Divisielidirecteur der Mijnen, te Hasselt.
- H. LABASSE, Emeritus Hoogleraar in de Mijnbouwkunde aan de Universiteit Luik, te Luik.
- J.M. LAURENT, Ere-Divisielidirecteur der Mijnen, te Jumet.
- G. LOGELAIN, Ere-Directeur Generaal der Mijnen, te Brussel.
- P. RENDERS, Directeur bij de « Société Générale de Belgique », te Brussel.

ANNALES DES MINES

DE BELGIQUE

n° 7/8 — juillet/août 1972

ANNALEN DER MIJNEN

VAN BELGIE

nr. 7/8 — juli/augustus 1972

Direction-Rédaction :

**INSTITUT NATIONAL
DES INDUSTRIES EXTRACTIVES**

4000 LIEGE, Bois du Val Benoit, rue du Chéra — TEL. (04) 52.71.50

Directie-Redactie :

**NATIONAAL INSTITUUT
VOOR DE EXTRACTIEBEDRIJVEN**

Sommaire - Inhoud

Renseignements statistiques belges et des pays limitrophes	
Statistische inlichtingen voor België en aangrenzende landen	698

JOURNEES DE L'INDUSTRIE MINERALE
organisées à l'Université Libre de Bruxelles
les 13, 14 et 15 décembre 1971 (suite)

Prospection et géologie

A. BERNARD : A propos des limites actuelles de la prospection indirecte en mines métalliques	703
G.L. KROL : Observations sur l'influence de l'environnement géomorphologique et climatologique sur la genèse des gîtes d'étain secondaires	725
de MAGNEE : Les conceptions métallogéniques nouvelles et leur influence sur la stratégie et la tactique de la prospection minière	733
A. BEUGNIES : Les domaines d'application de deux propriétés des minéraux : l'absorption dans le spectre visible et la thermoluminescence	747

A. HAUSMAN : Utilité de la représentation d'un réseau d'aérage suivant la méthode Budryk Nut van de grafische « Budryk »-voorstelling van een ondergrondse kolenmijnventilatie	761
NIEX : Revue de la littérature technique	783
Bibliographie	798

Reproduction, adaptation et traduction autorisées en citant le titre de la Revue, la date et l'auteur.

EDITION - ABONNEMENTS - PUBLICITE - UITGEVERIJ - ABONNEMENTEN - ADVERTENTIES
1050 BRUXELLES • EDITIONS TECHNIQUES ET SCIENTIFIQUES • 1050 BRUSSEL
Rue Borrens, 35-43 - Borrensststraat — TEL. 48.27.84 - 47.38.52

BASSINS MINIRS MIJNBEEKENS		PERSONNEL — PERSONNEEL										Grisou capté et valorisé																	
		Production nette	Consomm. propre et fournit. au pers.	Stocks Voorraden	Jours ouvrés	Indices - Indices			Rendement (kg)				Présences Aanw.	Mouvem. main-d'œuvre Werkrachten schomm.	Total														
						Fond	et surface	Ondergond	Fond	et surface	Ondergond					Fond	et surface	Ondergond	Belges	Etrangers									
Périodes Perioden		Netto produktie		Fournit. au pers.		Bigen verbr. en le- verring aan het pers.		Stocks Voorraden		Jours ouvrés		Fond		et surface		Ondergond		Fond		et surface		Ondergond		Belges		Etrangers		Total	
Hainaut - Henegouwen		195.290	14.834	130.126	24.00	5.229	0.534	0.801	1.248	72.91	76.04	—	32	—	13	—	45	—	—	—	—	—	—	—	—	—	—	—	3.009.811
Liege - Luik		79.298	6.456	70.848	24.00	2.568	0.239	0.627	0.894	1.119	82.85	—	10	—	7	—	17	—	—	—	—	—	—	—	—	—	—	—	1.254.598
Campine - Kempen		616.194	67.257	401.878	24.00	12.182	0.092	0.376	0.515	1.943	90.42	—	40	+	37	—	3	—	—	—	—	—	—	—	—	—	—	—	4.264.409(2)
Le Royaume - Het Rijk		890.782	88.547	602.852	24.00	19.975	0.133	0.433	0.611	1.636(3)	75.18	—	82	+	17	—	65	—	—	—	—	—	—	—	—	—	—	—	4.264.409(2)
1972 Mars - Maart		1.055.122	98.579	594.896	22.98	19.549	0.137	0.430	0.606	1.648	81.73	—	131	—	74	—	205	—	—	—	—	—	—	—	—	—	—	—	4.775.558
Février - Februari		968.815	98.167	535.455	20.87	19.591	0.137	0.428	0.603	1.657	83.66	—	25	—	56	+	31	—	—	—	—	—	—	—	—	—	—	—	4.491.542
1971 Avril - April		691.297	91.885	98.777	14.94	19.687	0.159	0.469	0.719	1.408	82.36	—	156	—	84	—	240	—	—	—	—	—	—	—	—	—	—	—	3.706.523
1970 M.M.		946.858	93.227	214.909	18.80	21.479	0.157	0.458	0.625	1.599	83.13	—	151	—	146	—	297	—	—	—	—	—	—	—	—	—	—	—	4.555.460
1968 M.M.		970 M.M.	94.846	1.735.082	20.28	30.101	0.184	0.506	0.705	1.418	83.55	—	200	—	315	—	515	—	—	—	—	—	—	—	—	—	—	—	5.393.912
1967 M.M.		1.233.846	94.668	2.643.697	20.31	35.131	0.202	0.541	0.748	1.336	85.14	—	208	—	387	—	590	—	—	—	—	—	—	—	—	—	—	—	5.886.368
1966 M.M.		1.369.570	96.697	1.04.342	19.72	40.231	0.219	0.569	0.787	1.758	87.78	—	435	—	612	—	1052	—	—	—	—	—	—	—	—	—	—	—	4.938.413
1964 M.M.		1.458.276	118.885	3.045.509	21.33	54.455	0.237	0.635	0.866	1.155	83.71	—	291	—	323	+	409	—	—	—	—	—	—	—	—	—	—	—	5.848.183
1962 id.		1.775.376	124.240	1.488.665	21.56	52.028	0.224	0.610	0.853	1.624	81.17	—	411	—	2	—	409	—	—	—	—	—	—	—	—	—	—	—	5.514.722
1960 id.		1.768.804	176.243	6.606.610	20.50	51.143	0.268	0.700	0.983	1.430	81.18	—	753	—	745	—	1498	—	—	—	—	—	—	—	—	—	—	—	5.702.727
1956 id.		2.455.079	179.157	179.157	23.43	82.537	0.35	0.86	1.19	1.156	83.70	—	357	—	300	—	657	—	—	—	—	—	—	—	—	—	—	—	7.443.776
1948 id.		2.224.261	229.373	840.340	24.42	102.081	—	1.14	1.64	878	610	—	—	—	—	—	—	—	—	—	—	—	—	—	—	—	—	—	—
1938 id.		2.465.404	205.234	2.227.260	24.20	131.241	—	0.92	1.33	1.085	753	—	—	—	—	—	—	—	—	—	—	—	—	—	—	—	—	—	—
1913 id.		1.903.466	187.143	955.890	24.10	105.921	—	1.37	1.89	731	528	—	—	—	—	—	—	—	—	—	—	—	—	—	—	—	—	—	—
1972 Semaine du 22 au 28-4		243.678	—	603.203	5	20.685	—	—	—	2.365	1.686	83.00	—	—	—	—	—	—	—	—	—	—	—	—	—	—	—	—	—
Week van 22 tot 28-4																													

GENRE
PERIODE

Ouvriers en werking

Reçu - Ouvr.

Huiles combustibles

Production - Produits

Consomm. propre

Livr. au personnel

Sect. domest.,
Huis, secteur,
Kleinbedrijf en
openb. dienst.

Sécurité
Huis, en staal-
nijverheid

Centr. électr.
publiques
Transports

Autres secteurs
Exportation
Métier

Stock fin de mois
Voorraad
einde maand

Ouvriers occupés
Tewerkgestelde arbe

Gras A et B
Verkool A en B
Autres - Andere

Batteries
Fours
Ovens

Belge
Inbèmse
Etranger

Enfourné
In de oven
geladen

Gros coke
Dikke coques
Andere

Total

Total

Centr. électr.
publiques
Transports

Autres secteurs
Exportation
Métier

Stock fin de mois
Voorraad
einde maand

Ouvriers occupés
Tewerkgestelde arbe

1972 Mars - Maart.
Rev. Februari.

43
42
41
42
41
43
43

471.765
24.272
496.037

(4)
(4)
(4)

503.571
416.119
464.431

604.988
508.029
570.092

29
240
26

1.830
2.140
1.576

511.048
539.936
490.251

562.112
592.599
549.993

2.970
3.075
2.965

1971 Avril - April.

42
41
42
41
41

445.195
471.981
515.282

(4)
(4)
(4)

483.060
486.084
486.084

593.267
604.075
604.075

196
367
282

1.576
2.830
3.066

511.048
539.936
490.251

562.112
592.599
549.993

2.970
3.075
2.965

1970 Mars - Maart.

43
42
41
42
41

496.037
24.272
496.037

(4)
(4)
(4)

503.571
416.119
464.431

604.988
508.029
570.092

29
240
26

1.830
2.140
1.576

511.048
539.936
490.251

562.112
592.599
549.993

2.970
3.075
2.965

1969 Mars - Maart.

43
42
41
42
41

496.037
24.272
496.037

(4)
(4)
(4)

503.571
416.119
464.431

604.988
508.029
570.092

29
240
26

1.830
2.140
1.576

511.048
539.936
490.251

562.112
592.599
549.993

2.970
3.075
2.965

1968 Mars - Maart.

43
42
41
42
41

496.037
24.272
496.037

(4)
(4)
(4)

503.571
416.119
464.431

604.988
508.029
570.092

29
240
26

1.830
2.140
1.576

511.048
539.936
490.251

562.112
592.599
549.993

2.970
3.075
2.965

1967 Mars - Maart.

43
42
41
42
41

496.037
24.272
496.037

(4)
(4)
(4)

503.571
416.119
464.431

604.988
508.029
570.092

29
240
26

1.830
2.140
1.576

511.048
539.936
490.251

562.112
592.599
549.993

2.970
3.075
2.965

1966 Mars - Maart.

46
45
44
45
44

496.037
24.272
496.037

(4)
(4)
(4)

503.571
416.119
464.431

604.988
508.029
570.092

29
240
26

1.830
2.140
1.576

511.048
539.936
490.251

562.112
592.599
549.993

2.970
3.075
2.965

1965 Mars - Maart.

46
45
44
45
44

496.037
24.272
496.037

(4)
(4)
(4)

503.571
416.119
464.431

604.988
508.029
570.092

29
240
26

1.830
2.140
1.576

511.048
539.936
490.251

562.112
592.599
549.993

2.970
3.075
2.965

1964 Mars - Maart.

46
45
44
45
44

496.037
24.272
496.037

(4)
(4)
(4)

503.571
416.119
464.431

604.988
508.029
570.092

29
240
26

1.830
2.140
1.576

511.048
539.936
490.251

562.112
592.599
549.993

2.970
3.075
2.965

1963 Mars - Maart.

46
45
44
45
44

496.037
24.272
496.037

(4)
(4)
(4)

503.571
416.119
464.431

604.988
508.029
570.092

29
240
26

1.830
2.140
1.576

511.048
539.936
490.251

562.112
592.599
549.993

2.970
3.075
2.965

1962 Mars - Maart.

46
45
44
45
44

496.037
24.272
496.037

(4)
(4)
(4)

503.571
416.119
464.431

604.988
508.029
570.092

29
240
26

1.830
2.140
1.576

511.048
539.936
490.251

562.112
592.599
549.993

2.970
3.075
2.965

1961 Mars - Maart.

46
45
44
45
44

496.037
24.272
496.037

(4)
(4)
(4)

503.571
416.119
464.431

604.988
508.029
570.092

29
240
26

1.830
2.140
1.576

511.048
539.936
490.251

562.112
592.599
549.993

2.970
3.075
2.965

1960 Mars - Maart.

46
45
44
45
44

496.037
24.272
496.037

(4)
(4)
(4)

503.571
416.119
464.431

604.988
508.029
570.092

29
240
26

1.830
2.140
1.576

511.048
539.936
490.251

562.112
592.599
549.993

2.970
3.075
2.965

1959 Mars - Maart.

46
45
44
45
44

496.037
24.272
496.037

(4)
(4)
(4)

503.571
416.119
464.431

604.988
508.029
570.092

29
240
26

1.830
2.140
1.576

511.048
539.936
490.251

562.112
592.599
549.993

2.970
3.075
2.965

1958 Mars - Maart.

46
45
44
45
44

496.037
24.272
496.037

(4)
(4)
(4)

503.571
416.119
464.431

604.988
508.029
570.092

29
240
26

1.830
2.140
1.576

511.048
539.936
490.251

562.112
592.599
549.993

2.970
3.075
2.965

1957 Mars - Maart.

46
45
44
45
44

496.037
24.272
496.037

(4)
(4)
(4)

503.571
416.119
464.431

604.988
508.029
570.092

29
240
26

1.830
2.140
1.576

511.048
539.936
490.251

562.112
592.599
549.993

2.970
3.075
2.965

1956 Mars - Maart.

46
45
44
45
44

496.037
24.272
496.037

(4)
(4)
(4)

503.571
416.119
464.431

604.988
508.029
570.092

29
240
26

1.830
2.140
1.576

511.048
539.936
490.251

562.112
592.599
549.993

2.970
3.075
2.965

1955 Mars - Maart.

46
45
44
45
44

496.037
24.272
496.037

(4)
(4)
(4)

503.571
416.119
464.431

604.988
508.029
570.092

29
240
26

1.830
2.140
1.576

511.048
539.936
490.251

562.112
592.599
549.993

2.970
3.075
2.965

1954 Mars - Maart.

46
45
44
45
44

496.037
24.272
496.037

(4)
(4)
(4)

503.571
416.119
464.431

604.988
508.029
570.092

29
240
26

1.830
2.140
1.576

511.048
539.936
490.251

562.112
592.599
549.993

2.970
3.075
2.965

1953 Mars - Maart.

46
45
44
45
44

496.037
24.272
496.037

(4)
(4)
(4)

503.571
416.119
464.431

604.988
508.029
570.092

29
240
26

1.830
2.140
1.576

511.048
539.936
490.251

562.112
592.599
549.993

2.970
3.075
2.965

BELGIE
BELGIQUE

BELGIQUE
BELGIE

BRAI
PEK t

AVRIL 1972
APRIL 1972

PERIODE	Quantités reçues Ontvangen hoeveelheden			Consomm. totale Totaal verbruik	Stock fin du mois Voorr. einde maand	Exportations Uitvoer
	Orig. indig. Inh. oorspr.	Importations Invoer	Total Totaal			
1972 Avril - April . .	3.058	—	3.058	2.861	5.830	—
Mars - Maart . . .	2.716	—	2.716	3.115	5.633	197
Fév. - Feb.	3.681	—	3.681	3.898	6.032	409
1971 Avril - April . .	2.851	—	2.851	3.500	6.678	409
1970 M.M.	4.594	168	4.762	4.751	6.530	193
1969 M.M.	5.187	6	5.193	5.564	8.542	—
1968 M.M.	4.739	86	4.825	5.404	14.882	274
1967 M.M.	4.400	40	4.440	5.983	23.403	482
1966 M.M.	4.079	382	4.461	6.329	46.421	398
1964 M.M.	6.515	7.252	13.767	9.410	82.198	1.080
1962 M.M.	8.832	1.310	10.142	10.135	19.963	—
1956 M.M.	7.019	5.040	12.059	12.125	51.022	1.281
1952 M.M.	4.624	6.784	11.408	9.971	37.357	2.014

BELGIQUE
BELGIE

METALX NON-FERREUX
NON FERRO-METALEN

AVRIL 1972
APRIL 1972

PÉRIODE	Produits bruts - Ruwe produkten								Demi-finis - Half. pr.		Ouvriers occupés Te werk gestelde arbeiders
	Cuivre Koper (t)	Zinc Zink (t)	Plomb Lood (t)	Étain Tin (t)	Alum., Antim., Cadm., etc (t)	Alum., Antim., Cadm., enz. (t)	Poussières de zinc (t)	Zinkstof (t)	Total Totaal (t)	Argent, or platine, etc. Zilver, goud, plat., enz. (kg)	
1972 Avril - April . .	25.661	20.136	9.350	468	729	3.716	60.060	68.162	39.241	2.459	14.946
Mars - Maart . . .	25.261	20.451	9.623	477	700	3.869	60.381	68.670	45.952	2.809	15.198
Février - Februari .	27.418	20.996	8.729	456	641	3.949	62.189	61.504	42.259	2.633	15.107
1971 Avril - April . .	25.928	16.143	8.078	514	487	3.825	54.975	70.748	37.635	1.849	16.124
1970 M.M.	29.423	19.563	3.707	477	585	8.673	62.428	76.259	36.333	3.320	16.689
1969 M.M.	25.077	21.800	9.366	557	594		57.393	121.561	36.007	2.451	16.462
1968 M.M.	28.409	20.926	9.172	497	482		59.486	85.340	32.589	1.891	15.881
1967 M.M.	26.489	18.944	8.983	514	419		55.349	41.518	29.487	1.981	16.330
1966 M.M.	25.286	20.976	7.722	548	596		55.128	37.580	32.828	2.247	18.038
1964 M.M.	23.844	18.545	6.943	576	640		50.548	35.308	29.129	1.731	17.510
1962 M.M.	18.453	17.180	7.763	805	638		44.839	31.947	22.430	1.579	16.461
1956 M.M.	14.072	19.224	8.521	871	648		43.336	24.496	16.604	1.944	15.919
1952 M.M.	12.035	15.956	6.757	850	557		36.155	23.833	12.729	2.017	16.227

BELGIQUE-BELGIE

SIDER

PRODU

PERIODE PERIODE	Hauts fourneaux en activité Hoogovens in werking	Produits bruts Ruwe produkten			Produits demi-finis Half-produkten		Aciers marchands Handelsstaal	Profils Profielstaal	Rails et accessoires Spoorw. en toebeh.
		Fonte Gietijzer	Acier en lingots Staalblokken	Acier monté av. ébard. Gegoten staal voor afboording	Pour relamin. belges Voor Belg. herwalers	Autres Andere			
1972 Avril - April . .	37	986.405	1.220.020	7.670	66.072	80.850	231.419	93.985	22
Mars - Maart . . .	37	1.030.515	1.271.794	8.247	50.513	80.755	249.635	91.604	2
Février - Februari .	37	933.342	1.153.803	7.426	49.462	60.680	237.811	87.217	22
1971 Avril - April . .	39	934.866	1.106.167	9.213	44.312	72.229	233.004	69.448	2
1970 M.M.	41	895.076	1.050.953	8.875	51.711	77.649	20.684	77.345	3
1969 M.M.	42	924.332	1.069.748	(3)	56.695	69.424	217.770	67.378	4
1968 M.M.	41	864.209	964.389	(3)	45.488	58.616	202.460	52.360	3
1967 M.M.	40	741.832	809.671	(3)	49.253	56.491	180.743	42.667	2
1966 M.M.	40	685.805	743.506	(3)	49.224	63.777	167.800	38.642	4
1964 M.M.	44	670.548	727.548	(3)	52.380	80.267	174.098	35.953	3
1962 M.M.	45	562.378	613.479	4.805	56.034	49.495	172.931	22.572	6
1960 M.M.	53	546.061	595.060	5.413	150.669	78.148	146.439	15.324	5
1956 M.M.	50	480.840	525.898	5.281	60.829	20.695	153.634	23.973	8
				(1)					
1948 M.M.	51	327.416	321.059	2.573		61.951	70.980	39.383	9
1938 M.M.	50	202.177	184.369	3.508		37.839	43.200	26.010	9
1913 M.M.	54	207.058	200.398	25.363		127.083	51.177	30.219	28

N B. — (1) Fers finis - Afgewerkt ijzer. — (2) Tubes soudés - Gelaste pijpen. — (3) Chiffres indisponibles - Onbeschikbare cijfers.

Importations - Invoer (t)					Exportations - Uitvoer (t)			
Pays d'origine Land van herkomst Période Periode Répartition Verdeling	Charbon Steenkolen	Coke Cokes	Agglomérés Agglomeraten	Lignite Bruinkolen	Destination Land van bestemming	Charbons Steenkolen	Cokes Cokes	Agglomérés Agglomeraten
C.E.C.A. - E.G.K.S.								
Allem. Occ. - W. Duitsl. .	201.863	92.854	501	2.155	CECA - EGKS			
France - Frankrijk	12.885	2.805	—	—	Allemagne Occ. - W. Duitsl.	26.629	2.569	—
Pays-Bas - Nederland . . .	50.556	21.814	12.223	—	France - Frankrijk	3.295	12.997	2.221
					Luxembourg - Luxemburg . .	729	—	—
					Pays-Bas - Nederland	—	787	25
					Italie - Italië	300	—	—
Total - Totaal	265.304	117.473	12.724	2.155	Total - Totaal	30.953	16.353	2.246
PAYS TIERS - DERDE LAN-								
DEN :								
Roy. Uni - Veren. Koninkrijk	629	—	—	—	PAYS TIERS - DERDE LAN-			
E.U.A. - V.S.A.	133.077	—	—	—	DEN			
URSS - USSR	7.072	—	—	—	Autriche - Oostenrijk	—	347	—
Pologne - Polen	104.689	—	—	—	Finlande - Finland	—	815	—
Tchécoslovaquie - Tsjechoslo-					Portugal - Portugal	—	1.053	—
vakië	22.404	—	—	—	Suisse - Zwitserland	—	1.134	—
Nord Vietnam - Noord-Viet.					Yougoslavie - Joegoslavië . .	—	548	—
					Divers - Allerlei	—	300	—
Total - Totaal	267.871	—	—	—	Total - Totaal	—	4.197	—
Ens. Avr. - 1972 Samen Apr.	533.175	117.473	12.724	2.155	Ens. Fév. - 1972 Samen Feb.	30.953	20.550	2.246
1972 Mars - Maart	420.630	92.865	14.670	2.000	1972 Mars - Maart	26.397	19.741	2.293
Février - Februari	417.572	116.666	13.406	2.376	Février - Februari	29.848	26.240	3.024
1971 Avril - April	402.109	94.514	22.609	2.745	1971 Avril - April	27.738	31.769	4.858
1970 M.M.	630.584	127.577	22.637	3.547	1970 M.M.	44.106	—	—
Répartition - Verdeling :								
1) Sect. dom. - Huisel. sektor.	141.948	30	12.724	2.155				
2) Sect. ind. - Nijverheidssekt.	397.033	117.443	—	—				
3) Réexportation - Wederuit.	—	—	—	—				
4) Mouv. stocks - Schom. voor.	—5.806	—	—	—				

Produits finis - Afgewerkte produkten									Produits finis Verder bew. prod.		Ouvriers occupés Tewerkgestelde arbeiders
Walsdraad	Tôles fortes Dikke platen ≥ 4,76 mm	Tôles moyennes Middeldikke platen 3 à 4,75 mm	Larges plates Universeel staal	Tôles fines noires Duune platen niet bekleed	Feuillards bandes à tubes Bandstaal	Ronds et carrés pour tubes Rond en vierkant staafmat. voor buizen	Divers Allerlei	Total des produits finis Totaal der afgewerkte produkten	Tôles galvan., plomb. et étamées Verzinkte, verlode en verfinde platen	Tubes d'acier Stalen buizen	
					Banden v. buizenstrip						
3.233	117.969	52.192	2.611	281.951	24.233	5.158	2.697	883.438	62.726	13.298	50.275
4.434	134.891	55.412	2.639	323.856	25.648	4.041	2.857	968.573	72.055	14.864	50.219
7.729	120.623	56.360	2.329	279.647	25.940	4.969	2.655	891.649	61.315	22.039	50.718
9.485	97.437	45.808	2.512	277.147	34.891	7.264	2.374	842.137	68.358	22.183	50.253
13.481	90.348	50.535	2.430	242.951	30.486	5.515	2.034	774.848	60.660	23.082	50.663
17.736	97.658	59.223	2.105	258.171	32.621	5.377	1.919	819.109	60.141	23.394	48.313
20.861	78.996	37.511	2.469	227.851	30.150	3.990	2.138	722.475	51.339	20.199	47.944
23.132	74.192	27.872	1.358	180.627	30.369	2.887	2.059	625.890	51.289	19.802	48.148
25.133	68.572	25.289	2.073	149.511	32.753	4.409	1.636	572.304	46.916	22.462	49.651
27.171	47.996	19.976	2.693	145.047	31.346	1.181	1.997	535.840	49.268	22.010	53.604
29.288	41.258	7.369	3.526	113.984	26.202	290	3.053	451.448	39.537	18.027	53.066
31.567	41.501	7.593	2.536	90.752	29.323	1.834	2.199	396.405	26.494	15.524	44.810
(2)											
33.874	53.456	10.211	2.748	61.941	27.959	—	5.747	388.858	23.758	4.410	47.104
35.979	28.780	12.140	2.818	18.194	30.017	—	3.589	255.725	10.992	—	38.431
37.603	16.460	9.084	2.064	14.715	13.958	—	1.421	146.852	—	—	33.024
39.852	19.672	—	—	9.883	—	—	3.530	154.822	—	—	35.300

Production Productie	Unité - Eenheid	Avril - April 1972	Mars - Maart 1972	Avril - April 1971	M.M. 1970	Production Productie	Unité - Eenheid	Avril - April 1972	Mars - Maart 1972	Avril - April 1971	M.M. 1970
Porphyre - Porfier :						Produits de dragage - Prod. v. baggermolens :					
Moëllons - Breuksteen . .	t	1.648	2.074	32.358	30.553	Gravier - Grind . . .	t	554.207	611.242	355.821	355.851
Concassés - Puin . . .	t	735.458	794.898	735.039	592.545	Sable - Zand . . .	t	77.170	89.103	56.190	76.751
Petit granit - Hardsteen :						Calcaires - Kalksteen . .	t	2.032.850	2.258.184	2.184.227	1.785.561
Extrait - Ruw . . .	m ³	27.765	31.989	17.126	28.161	Chaux - Kalk . . .	t	228.442	253.636	225.397	209.881
Scié - Gezaagd . . .	m ³	6.180	7.765	1.149	5.931	Carbonates naturels -	t	35.156	42.111	37.983	37.161
Façonné - Bewerkt . . .	m ³	1.113	1.124	513	979	Natuurcarbonaat . . .	t				
Sous-prod. - Bijprodukten	m ³	21.532	25.086	(c)	23.242	Dolomie - Dolomiet :					
Marbre - Marmer :						crue - ruwe . . .	t	114.478	121.273	134.194	125.281
Blocs équarris - Blokken .	m ³	345	360	184	277	fritée - witgegleide .	t	30.070	29.961	30.817	31.031
Tranches - Platen (20 mm)	m ²	21.707	27.954	33.481	32.338	Plâtres - Pleisterkalk . .	t	8.497	11.104	8.474	7.331
Moëllons et concassés .	t	1.289	1.346	1.358	1.706	Agglomérés de plâtre -					
Breuksteen en puin . . .	t					Pleisterkalkagglomeraten	m ²	1.240.304	1.291.184	1.142.315	92.901
Bimbeloterie - Snuisterijen	kg	(c)	(c)	12.900	19.436						
Grès - Zandsteen :						Silex - Vuursteen :					
Moëllons bruts - Breukst.	t	22.369	23.663	29.983	21.293	broyé - gestampt . . .	t	1.103	1.124	1.273	351
Concassés - Puin . . .	t	165.863	170.560	165.211	125.583	pavé - straatsteen . .	t				
Pavés et mosaïques . .	t	183	126	(c)	232	Quartz et Quartzites . .	t	44.803	51.905	35.411	27.771
Straatsteen en mosaïk .	t	4.216	4.533	5.030	4.190	Kwarts en Kwartsiet . .	t	13.261	17.518	24.385	16.481
Divers taillés - Diverse	t					Argiles - Klei . . .	t				
Sable - Zand :											
pr. metall. - vr. metaaln.	t	104.805	114.570	139.791	128.198	Personnel - Personeel :					
pr. verrerie - vr. glasfabr.	t	124.320	120.269	170.379	153.521	Ouvriers occupés -		9.069	8.934	8.903	9.331
pr. constr. - vr. bouwbedr.	t	836.542	786.814	827.378	558.768	Tewerkgestelde arbeiders					
Divers - Allerlei . . .	t	211.519	188.853	143.032	147.986						
Ardoise - Leisteen :											
Pr. toitures - Dakleien .	t	432	310	297	399						
Schiste ard. - Leisteen .	t	130	130	94	201						
Coticule - Slijptenens . .	kg	(c)	(c)	(c)	2.069						

(c) Chiffres indisponibles - Onbeschikbare cijfers.

COMBUSTIBLES SOLIDES
VASTE BRANDSTOFFENC.E.C.A. ET GRANDE-BRETAGNE
E.G.K.S. EN GROOT-BRITANNIEAVRIL 1972
APRIL 1972

PAYS LAND	Houille produite Geproduc. steenkool (1.000 t)	Ouvr. inscrits Ingeschr. arb. (1.000)		Rendement (ouvr./poste) (arb./ploeg) (kg)		Jours ouvrés Gewerkte dagen	Absentéisme Afwezigheid %		Coke de four produit Geproduceerde ovencokes (1.000 t)	Agglomérés produits Geproduceerde agglomeraten (1.000 t)	Stocks Voorraden (1.000 t)	
		Fond Ondergrond	Fond et surface Onder- en bovengrond	Fond Ondergrond	Fond et surface Onder- en bovengrond		Fond Ondergrond	Fond et surface Onder- en bovengrond			Houille Kolen	Coke Cokes
Allemagne Occ. - West-Duitsl.												
1972 Avr. - Apr.	8.393	129	197	4.047	3.331	19,14	25,92	23,70	2.137	413	5.864	7.038
1970 M.M. . . .	9.733	138	208	3.941	3.013	20,90	26,37	24,61	3.328	296	947	289
1971 Avr. - Apr.	9.135	136	210	3.896	3.202	20,17	26,90	24,49	2.613	199	2.379	1.740
Belgique - België												
1972 Avr. - Apr.	891	26	35	2.307	1.636	24,00	16,76(1)	14,82(1)	585	37	603	210
1970 M.M. . . .	947	26	37	2.284	1.599	18,80	16,87(1)	14,63(1)	583	62	151	215
1971 Avr. - Apr.	691	27	37	2.130	1.408	14,94	16,64(1)	15,40(1)	570	42	99	660
France - Frankr.												
1972 Avr. - Apr.	2.676	55	85	2.769	1.742	20,16	14,19	9,77(2)	956	226	5.256	597
1970 M.M. . . .	3.113	66	98	2.643	1.694	21,26	12,13	8,53(2)	1.179	339	6.089	181
1971 Avr. - Apr.	3.031	61	92	2.613	1.689	21,32	11,91	8,30(2)	1.109	335	5.395	339
Italie - Italië												
1972 Avr. - Apr.	21	0,7							550			
1970 M.M. . . .	25	0,8							586			
1971 Avr. - Apr.	25	0,8							600			
Pays-B. - Nederl.												
1972 Avr. - Apr.	279	5,3		3.624					161		780	
1970 M.M. . . .	379	7,2		3.260					166		227	
1971 Avr. - Apr.	317	6,2		3.317					158		392	
Communauté - Gemeenschap												
1972 Avr. - Apr.	12.750	213,4		3.683					5.044		13.845	
1970 M.M. . . .	14.196	237,2		3.436					5.844		9.967	
1971 Avr. - Apr.	13.666	228,9		3.505					5.668		10.385	
Grande Bretagne- Groot-Brittannië				à front in front							en 1.000 t in 1.000 t	
1972 Sem. du 23 au 29-4 Week van 23 tot 29-4	2.994	214	273	7.400	2.331		14,90				7.534	
1970 Moy. hebd. Wekel. gem.	2.743	227	290	7.186	2.226		19,14				7.318	
1971 Sem. du 18 au 24-4 Week van 18 tot 24-4	3.192	223	286	7.479	2.334		15,73				6.536	

N. B. — (1) Uniquement absences individuelles - Alléen individuele afwezigheid. — (2) Surface seulement - Bovengrond alléen. — (3) C.I. indisponibles - Onbeschikbare cijfers.

Journées de l'industrie minérale

Bruxelles, 13, 14 et 15 décembre 1971

Mardi 14 décembre

PROSPECTION ET GEOLOGIE

A propos des limites actuelles de la prospection indirecte en mines métalliques

A. BERNARD *

RESUME

Après avoir rappelé le principe de la prospection indirecte qui consiste à mettre en évidence des sites géologiques susceptibles de contenir des concentrations minérales, l'auteur souligne l'intérêt de cette démarche lorsque les minéralisations recherchées ont des teneurs trop faibles pour créer des anomalies directement perceptibles ou lorsque les minéralisations recherchées sont trop enfouies encore que demeurant exploitables. Les gisements riches affleurants ou sub-affleurants se faisant de plus en plus rares, force nous sera à l'avenir d'utiliser toujours davantage ce mode de prospection.

Pour apprécier l'efficacité de la démarche, l'auteur s'appuie sur l'appréciation de la corrélation statistique que l'on peut établir entre une minéralisation d'un type donné et son environnement, ou réciproquement entre un environnement donné et les gisements qu'il peut contenir. La technique utilisée est celle de l'analyse de grappe (taxinomie numérique) qui s'accommode d'une appréciation qualitative des caractères de la minéralisation et des caractères de l'environnement (présence ou absence). Les résultats de V. Sattran dans le cas des gisements de beryllium sont brièvement rappelés pour aboutir à la conclusion suivant laquelle, sauf cas exceptionnel dans l'état actuel des connaissances, les corrélations entre minéralisations et environnement sont insuffisantes pour qu'il soit raisonnable de pousser trop loin la démarche indirecte.

Il convient dès lors de s'interroger sur les raisons de cette conclusion pessimiste pour tenter

SAMENVATTING

Nadat de auteur het beginsel van de onrechtstreekse prospektie n.l. het aangeven van de geologische zones die ertskoncentraties zouden kunnen bevatten, in herinnering heeft gebracht, onderstreept hij het belang van dit onderzoek wanneer de opgezochte ertsvormingen te lage gehalten hebben om rechtstreeks waarneembare afwijkingen te vormen of wanneer de opgezochte ertsvormingen te diep liggen, hoewel ze ontginbaar blijven. Omdat de dagzomende of sub-dagzomende rijke afzettingen steeds zeldzamer worden, zullen wij in de toekomst steeds meer verplicht zijn van deze prospektiemethode gebruik te maken.

Om de doeltreffendheid van het onderzoek naar waarde te schatten, steunt de auteur op de betekenis van de statistische samenhang die kan opge maakt worden, tussen de ertsvorming van een gegeven type en zijn omgeving, of omgekeerd, tussen een gegeven omgeving en haar afzettingen die ze kan bevatten. Als techniek wordt de trosontleding (numerieke taxonomie) gebruikt die past voor een kwalitatieve waardering van de kenmerken van de ertsvorming en van de kenmerken van de omgeving (al of niet voorkomend). In het kort wordt aan de uitslagen voor berylliumafzettingen van V. Sattran herinnerd om te komen tot het besluit volgens hetwelk, behalve een uitzonderlijk geval bij de huidige staat van kennis, de samenhang tussen ertsvorming en omgeving voldoende is om het onrechtstreeks onderzoek redelijkerwijze te ver door te drijven.

Men dient bijgevolg het voor en het tegen van het waarom van dit pessimistisch besluit af te wegen om te trachten eraan te verhelpen. Op het

* Professeur à l'Institut National Polytechnique de Nancy, U.E.R. Ecole Nationale Supérieure de Géologie Appliquée et de Prospection Minière, B.P. 452, 54001 Nancy CEDEX.

d'y porter remède. De prime abord, la valeur du coefficient de similarité pour un même nombre de caractères de l'environnement d'un gisement donné dépend d'une part de la corrélation réelle entre environnement et minéralisation, d'autre part de la connaissance qu'on en a, c'est-à-dire, de la nature des caractères d'environnement pris en considération et, par là, de la qualité de l'information géologique, statistique, que l'on possède bien le type de gisement.

Ces deux raisons sont envisagées successivement.

a) Informations géologiques sur l'environnement. Après avoir constaté que l'information géologique et minière sur les minéralisations elles-mêmes est généralement d'une qualité suffisante, l'auteur constate la pauvreté fréquente des monographies sur l'environnement.

Deux exemples, celui des quartz-kératophyres et celui des « filons » de Pierrefitte-Nestalas, permettent de préciser certaines carences de l'information géologique sur l'environnement.

Il semble, en première conclusion, qu'un effort considérable soit à entreprendre dans le sens d'une homogénéisation du vocabulaire géologique et surtout d'une objectivation des observations. C'est à ce prix que l'on peut espérer améliorer la définition des types et par conséquent augmenter la valeur du taux de corrélation « environnement-gisement » suffisamment pour utiliser efficacement et économiquement la démarche indirecte.

b) Corrélation réelle entre environnement et minéralisation.

En choisissant le thème des amas sulfurés massifs, l'auteur restreint son analyse aux seuls gisements de flexures volcanisées pré-orogéniques. L'examen d'un certain nombre de modèles (Kuroko, Sambagawa, Rio Tinto, Fornas) permet de se rendre compte combien l'action de la tectonique et du métamorphisme oblitère les caractères d'environnements initiaux du type diminuant à chaque fois la corrélation « environnement-gisement » et partant l'efficacité de la démarche indirecte. La prospection des Kurokos est, en pratique, quasi-totalement indirecte, celle de minéralisations sulfurées type Fornas ne peut être que quasi-totalement directe.

Au total si l'on peut espérer beaucoup, en mine métallique, de la prospection indirecte, celle-ci a malheureusement ses limites et la mise au point de techniques de détection directe de plus en plus pénétrantes et sensibles sera toujours favorablement accueillie des prospecteurs.

eerste gezicht is de waarde van de gelijksoortigheidscoëfficiënt voor een gelijk aantal kenmerken van de omgeving van een gegeven afzetting enerzijds afhankelijk van de werkelijke samenhang tussen omgeving en ertsvorming, anderzijds van de erover verworven kennis d.w.z. over de aard van de in aanmerking genomen omgevingskenmerken en vandaar over de kwaliteit van de geologische en statistische informatie die men over het afzettings-type bezit.

Deze twee redenen worden achtereenvolgens overwogen.

a) Geologische inlichtingen over de omgeving. Nadat de auteur tot de bevinding gekomen is dat de geologische en mijnkundige informatie over de ertsvormingen zelf over het algemeen van een bevredigende kwaliteit is, stelt hij de frekwente armoede van de monografieën vast.

Met twee voorbeelden nl. kwarts-keratofieren en « ertsaders » van Pierrefitte-Nestalas kan een zeker gebrek aan geologische informatie over de omgeving duidelijk worden aangetoond.

Als eerste besluit volgt hier blijkbaar uit dat een noemenswaardige inspanning dient gedaan in de richting van een homogenisering van de geologische woordenschat en vooral van een objectivering van de waarnemingen. Slechts tegen die prijs kan men hopen op een verbetering van de omschrijving van de types en bijgevolg op een bevredigende waardeverhoging van het niveau van de samenhang « omgeving-afzetting » opdat het indirect onderzoek doeltreffend en economisch zou gebruikt worden.

b) Werkelijke samenhang tussen omgeving en mineralisering.

Door de keuze van het tema van de massieve sulfideconcentraties beperkt de auteur zijn analyse tot de pre-orogenetische, vulkanische knikploo-afzettingen alleen. Het onderzoek van een bepaald aantal modellen (Kuroko, Sambagawa, Rio Tinto, Fornas) maakt het mogelijk zich ervan rekenschap te geven hoezeer de werking van de tektoniek en van het metamorfisme de oorspronkelijke omgevingskenmerken van het type doet verdwijnen waardoor de samenhang « omgeving-afzetting » telkens vermindert en de doeltreffendheid van het indirect onderzoek verdwijnt. De Kurokos wordt praktisch helemaal onrechtstreeks geprospecteerd, terwijl dit bij de sulfidemineraliseringen van het type Fornas praktisch alleen rechtstreeks kan gebeuren.

Indien men, alles samen genomen, veel mag verwachten van de onrechtstreekse prospectie in een metaalmijn, dan heeft deze ongelukkiglijk zijn grenzen en de uitwerking van steeds dieper door dringende en gevoelige technieken voor rechtstreekse opsporing zal door de prospectors steeds gunstig onthaald worden.

INHALTSANGABE

Der Verfasser erläutert zunächst kurz das Prinzip des indirekten Verfahrens der Prospektierung von Metallerzvorkommen, dessen Anwendungsbe-
reich vor allem dort gegeben ist, wo die direkte Wahrnehmung von Anomalien infolge des geringen Erzgehaltes nicht möglich ist oder wo an sich abbauwürdige Erze in großer Teufe liegen. Da die zu Tage austreichenden oder dicht unter der Erdoberfläche liegenden Erzvorkommen immer seltener werden, wird das indirekte Prospektieverfahren in Zukunft zwangsläufig an Bedeutung gewinnen.

Um einen Begriff von der Wirksamkeit dieses Verfahrens zu vermitteln, geht der Verfasser von der statistischen Korrelation aus, die man zwischen einem bestimmten Mineralvorkommen und seiner Umgebung oder umgekehrt zwischen einer Umgebung und den möglicherweise in ihr liegenden Vorkommen feststellen kann.

Die Prospektiertechnik beruht auf der sogenannten « Traubenanalyse », die auf eine qualitative Beurteilung von Besonderheiten des Mineralvorkommens und seiner Umgebung (ihr Vorhandensein oder Nichtvorhandensein) abgestellt ist. Der Verfasser geht kurz auf die Ergebnisse der Untersuchungen von V. Sattran in Beryllium-Lagerstätten ein und folgert daraus, daß beim gegenwärtigen Stand unserer Kenntnisse, von Ausnahmefällen abgesehen, die Korrelation zwischen Mineralbildung und Umgebung unzulänglich ist und es daher nicht sinnvoll wäre, das indirekte Prospektieverfahren zu weit zu treiben.

Will man über diese pessimistischen Schlußfolgerungen hinwegkommen, so ist zunächst die Frage nach ihren Gründen aufzuwerfen. Dazu ist festzustellen, daß bei einer gleichen Anzahl von Wesensmerkmalen der Umgebung einer Lagerstätte der Wert des Ähnlichkeitskoeffizienten von zwei Faktoren abhängt :

- von der tatsächlichen Korrelation zwischen Umgebung und Mineralvorkommen,
- von der Kenntnis dieser Merkmale, und das bedeutet von den verfügbaren geologischen und statistischen Informationen.

Diese beiden Gründe werden vom Verfasser näher betrachtet.

a) Geologische Informationen über die Umgebung :

Der Verfasser stellt fest, daß die geologischen und bergmännischen Informationen über Erzführung im allgemeinen zulänglich sind und daß Monographien über die betreffende Umgebung häufig den Ansprüchen nicht genügen. Als Beispiele für diese Lückenhaftigkeit der geologischen Aufschlüsse führt er die Quarzkeratophyre und die Gänge von Pierrefitte-Nestales an.

SUMMARY

After recalling the principle of indirect prospection which consists of revealing geological sites likely to contain mineral concentrations, the author emphasizes the advantage of this procedure when the mineralizations sought are not dense enough to create directly perceptible anomalies or when the mineralizations sought are too deeply hidden but nevertheless workable. As deposits at the surface or near the surface are becoming more and more rare, we shall be obliged in the future to use this method of prospection more and more.

In order to appreciate the efficiency of this procedure, the author relies on the appreciation of the statistic correlation that can be established between the mineralization of a given type and its environment, or vice versa between a given environment and the deposits which it may contain. The technique used is that of group measurements (numerical taxonomy) which goes with a qualitative appreciation of the characters of mineralization and the characters of environment (presence or absence). The results obtained by V. Sattran in the case of beryllium deposits are described briefly to arrive at the conclusion according to which, except for an unusual case among those known today, the correlations between mineralizations and environment are insufficient for the indirect procedure to be reasonably developed to any great extent.

Therefore, it is necessary to examine the reasons for this pessimistic conclusion and to try and remedy it. In the first place, the value of the coefficient of similarity for the same number of characteristics of the environment of a given deposit depends partly on the real correlation between the environment and the mineralization, and partly on the knowledge one possesses i.e. the nature of the environment characteristics taken into consideration and hence, of the quality of the geological and statistical information, for well defining the type of deposit.

These two reasonings proposed are successively :

a) Geological information concerning the environment.

After noting that the geological and mining information concerning the mineralizations themselves is generally of satisfactory quality, the author notes the frequent poor quality of the monographs on the environment.

Two examples, that of quartz-keratophyres and that of Pierrefitte-Nestales « veins », make it possible to specify certain deficiencies of geological information concerning environment.

Hieraus ergibt sich die Forderung nach ernsthaften Bemühungen um eine Vereinheitlichung der geologischen Terminologie und um eine Objektivierung der Beobachtungen. Nur so kann es gelingen, die Definition der einzelnen Typen zu vervollkommen und den Wert des Korrelationsgrades zwischen Umgebung und Lagerstätte so weit zu erhöhen, daß er sich wirtschaftlich für indirekte Prospektion ausnutzen lässt.

b) Tatsächliche Korrelation zwischen Umgebung und Erzkörpern :

Als Beispiel hierfür behandelt der Verfasser stockförmige Sulfiderzlagerstätten und beschränkt sich auf eine Betrachtung von magmatischen Vorkommen in präorogenen Flexuren. An einer Reihe typische Fälle (Kuroko, Sambagawa, Rio Tinto, Fornas) macht er deutlich, wie stark Tektonik und Metamorphose die ursprünglichen Merkmale der Umgebung verwischen, was gleichzeitig eine Minderung der Korrelation zwischen Umgebung und Lagerstätte und somit auch der Wirksamkeit der indirekten Prospektierung bedeutet. Die Prospektierung des Kuroko-Vorkommens erfolgt praktisch so gut wie völlig indirekt, während für die Prospektierung der Sulfiderzvorkommen des Fornas-Typs fast ausschließlich die direkte Methode in Frage kommt.

Insgesamt läßt sich im Metallerzbergbau von der indirekten Prospektion viel erwarten, doch hat das Verfahren seine Grenzen, so daß die Prospektoren die Vervollkommenung direkter, tiefer dringender und empfindlicherer Verfahren stets dankbar begrüßen werden.

The first conclusion seems to be that a considerable effort must be made for homogenizing geological vocabulary and particularly for rendering observations objective. Only in this way, may we hope to improve the definition of the types and consequently increase the value of the « environment - deposit » correlation rate sufficiently to be able to make efficient, economic use of the indirect procedure.

b) Real correlation between environment and mineralization.

By choosing the theme of massive sulfide deposits, the author limits his analysis to pre-orogenic volcanized flexures. The examination of a certain number of models (Kuroko, Sambagawa, Rio Tinto, Fornas) makes it possible to see how greatly the action of tectonics and metamorphism obliterates the characteristics of initial environments of the type that decreases each time the « environment - deposit » correlation and hence the efficiency of the indirect procedure.

The prospection of Kurokos is practically almost totally indirect, that of massive sulfide ore bodies of the Fornas type is necessarily almost totally direct.

On the whole, although much may be expected of indirect prospection in Economic Geology, this method is unfortunately limited and the development of direct detection techniques which are becoming more and more penetrating and more and more sensitive, will always be favourably welcomed by prospector.

La prospection indirecte peut être définie comme la démarche qui consiste à mettre en évidence des sites géologiques susceptibles de recéler des masses minéralisées indétectables par leur seules propriétés intrinsèques. Cette démarche s'avère de plus en plus nécessaire au moment où les teneurs limite d'exploitabilité diminuant de plus en plus, les masses minéralisées ne se différencient plus que très faiblement de leur environnement stérile, au moins par leurs propriétés physiques; par ailleurs, les gisements affleurants ou sub-affleurants se faisant de plus en plus rares, il importe de circonscrire aussi étroitement que possible les structures susceptibles d'être minéralisées afin de focaliser l'emploi, onéreux, des techniques géophysiques pénétrantes ou des sondages miniers assortis de diagraphies ou de télélogging qui permettent soit de détecter, à faible

distance, l'anomalie due au gisement, soit d'y pénétrer par carottage. En d'autres termes, la démarche indirecte permet de hiérarchiser les investissements de recherche en fonction de la quantité et de la qualité des informations apportées par chacun des moyens à mettre en œuvre.

En tout premier lieu, on doit s'interroger sur le bien-fondé de la démarche indirecte. Elle repose sur la significativité de la corrélation que l'on peut faire, statistiquement, entre une structure et une minéralisation. Jusqu'à ces dernières années, ce problème n'avait pas reçu de solution autre que qualitative, les analogies et les différences entre différentes paires « minéralisations-environnement » étant subjectivement appréciées par un même observateur. Il y a, effectivement, dans cette manière de faire, un effort logique en vue de l'établissement d'une classification des

ensembles « minéralisations-environnement » que n'avaient pu réaliser auparavant les classifications génétiques, soit métallogéniques — fondées essentiellement sur les minéralisations, soit géologiques — fondées essentiellement sur les environnements. Le lecteur aura reconnu là les propositions sur lesquelles repose la notion de type de gisement définie dès 1955 par F. Blondel sur « les données empiriques observables et les analogies intuitives que le prospecteur et le mineur reconnaissent ». Depuis, encore que peu d'auteurs s'en soient effectivement préoccupé, cette notion de type factuel de gisement a passablement évolué. P. Routhier (1963) proposa notamment une fiche-type devant permettre de synthétiser les caractères essentiels d'une minéralisation et de son environnement, mais il n'est pas certain que la classification des types par « métal » qu'il utilisa dans son traité, par extension des premiers travaux de Blondel, soit totalement justifiée : un « porphyry-copper » est très souvent un « porphyry-molybdenum », de même un « Red Bed » uranifère est souvent vanadifère et/ou cuprifère.

La notion de métallotecte (Laffitte *et al.*, 1965) ne clarifie pas considérablement la situation : encore que se « voulant purement objectif et factuel », le métallotecte « objet géologique qui semble contribuer à l'édification d'une concentration minérale » (Routhier, 1969) acquit rapidement par l'illustration qui en fut donnée — faille profonde, complexe de volcanisme effusif, niveau stratigraphique... — une acception génétique regrettable parce que génératrice de confusion. Toutefois, cette notion est intéressante dans la mesure où elle souligne le souci de corréler un fait appartenant à l'environnement avec la présence d'une concentration minérale : c'est une démarche indirecte.

Les progrès de l'informatique géologique permettent aujourd'hui d'apprécier rigoureusement la significativité des caractères d'environnement pour une concentration minérale donnée : il s'agit de l'analyse de grappes (taxinomie numérique) utilisée par V. Sattran à propos des gisements de Beryllium. Cette méthode s'accommode d'une appréciation qualitative des caractères de la minéralisation et de son environnement (présent ou absent, susceptible d'être améliorée à trois états : présent, absent, douteux) et conduit par le calcul de coefficient de similarité à choisir les caractères (nombre et nature) qui permettent la définition optimum des types (ensembles minéralisations plus environnement) et, plus avant, d'apprécier la significativité des seuls paramètres d'environnement quant à la définition du type. Dans le cas du Beryllium, on constate tout d'abord que la prise en considération d'une quarantaine de caractères (internes et externes) suffit

pour mettre en évidence les principaux types de gisement : greisens, skarns, gisements stratiformes et pegmatites (fig. 1).

L'adjonction de caractères supplémentaires ne change pas sensiblement le niveau de groupement des types de gisements. Dans le cas du coefficient simple de Sokal et Michener, cela correspond à l'intervalle de 60-70 % de similarité.

On constate également (fig. 2) que la seule prise en considération des caractères d'environnement (50 gisements, 62 caractères) conduit à un groupement remarquablement compatible avec la classification réalisée, soit avec l'ensemble des caractères, soit avec les seuls caractères paragénétiques.

On doit en conclure, ce qui de prime abord surprend les géostatisticiens, qu'il existe une forte corrélation entre environnement et minéralisations. V. Sattran écrit textuellement :

« On obtient des groupes compatibles avec la classification faite avec des données purement minéralogiques, d'où l'on pourrait conclure que les deux types de caractéristiques sont interliés et que l'environnement géologique influence la formation des paragenèses. »

N'y a-t-il pas là une excellente justification de la démarche indirecte ?

Il reste toutefois à préciser « pour un même type de gisement » la valeur de la corrélation environnement-minéralisation. L'analyse de grappe, utilisée en mode qualitatif, ne permet pas de chiffrer cette corrélation : tout au plus peut-on espérer chiffrer comparativement les coefficients de correspondance pour les caractères de minéralisation et d'environnement reconnus significatifs au niveau de la classification des types et ce pour un même type de gisement : soit, pour fixer les idées, 30 et 60 respectivement. Il est facile alors de ne considérer que des minéralisations très similaires conduisant à un regroupement séparé, global, à très fort coefficient de correspondance : 0,85 à 0,90, et de calculer, parallèlement, le coefficient de correspondance global d'environnement qui pourra, en fonction des types osciller entre 0,9 et 0,1 ou 0,2. La comparaison de ces deux valeurs donnera une estimation de la corrélation entre environnement et minéralisation qui sera d'autant meilleure que le coefficient d'environnement sera élevé et plus proche du coefficient de minéralisation.

Rq. — Il importe de retenir tous les paramètres d'environnement ayant servi à la classification des types, de manière à préserver une bonne caractérisation géologique de l'environnement et de ne pas augmenter artificiellement le coefficient de correspondance d'environnement en ne retenant qu'un nombre restreint de



Dendrogrammes de 50 gisements de beryllium, suivant V. Sattran (1968). Méthode « pair group » pondérée : coefficient de Sokal et Michener.
Les groupements reposent sur : a) 18 caractères de minéralisation ; b) 44 caractères (minéralisation et environnement ; c) 62 caractères ; d) 90 caractères.
Les chiffres indiquent le n° répertoire du gisement, les lettres correspondent à des indications de genèse conformément au tableau suivant :

- A — Pegmatites granitiques normales
- B — Pegmatites métasomatiques à muscovite-albite
- C — Pegmatites métasomatiques à spodumène-albite, etc.
- D — Greisens
- E — Apogranites
- F — Filons pneumatolytiques et hydrothermaux
- G — Filons hydrothermaux non différenciés
- H — Skarns
- I — Imprégnations métasomatiques dans les calcaires
- J — Gîtes stratiformes dans les tufs rhyolitiques (Spor Mountains)
- K — Imprégnations dans les brèches calcaires.

Avec, au niveau du regroupement global :

- I — Gîtes pegmatitiques
- II — Gîtes hydrothermaux.

On constate qu'à partir de 40 caractères, le groupement des types de gisements reste presque invariant dans l'intervalle de 60-70 % de similarité.

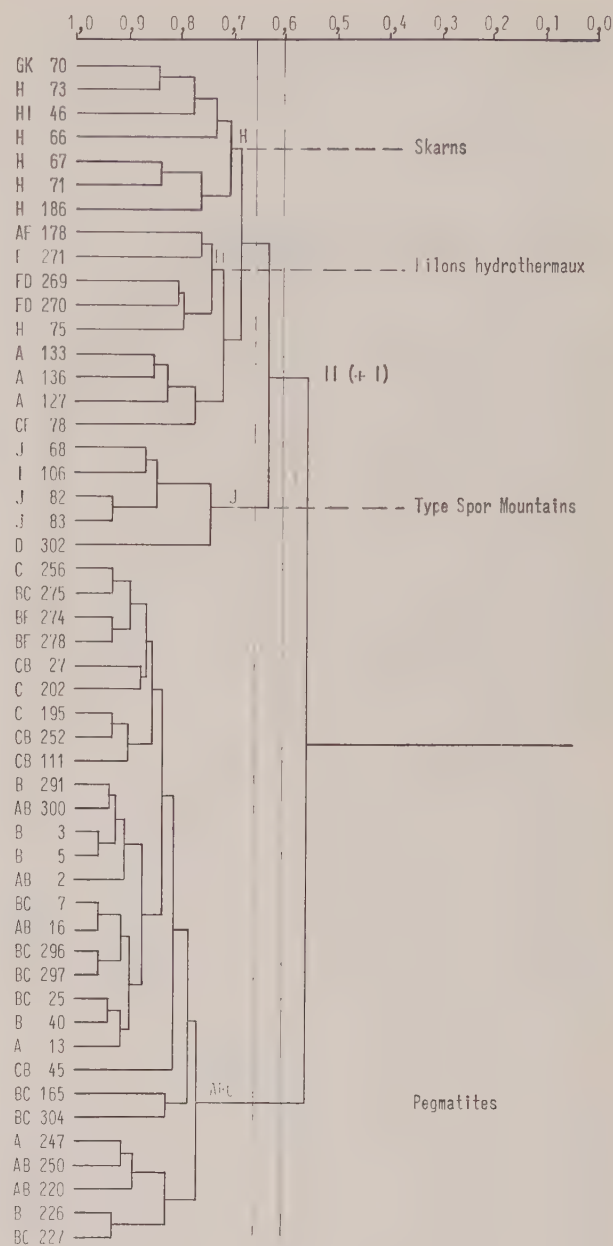


Fig. 2.

Dendrogramme de 50 gisements de Beryllium sur la base de 62 caractères d'environnement, suivant V. Sattran (1968).

Même légende que fig.1.

La classification obtenue dans l'intervalle de 60-70 % de similarité est tout à fait compatible avec celle obtenue à partir des caractères de minéralisation et d'environnement (c, d, fig. 1).

paramètres plus ou moins compréhensifs (roches métamorphiques, par exemple).

Revenant au niveau de la classification des types, il est désormais clair, pour un nombre de caractères donné et suffisant (40 pour les gisements de Beryllium), que la valeur du coefficient de correspondance (ou de similarité) pour un type donné dépend d'une part de la corrélation

réelle entre environnement et minéralisation, d'autre part et surtout de la significativité des caractères d'environnement pris en considération et par là de l'information géologique, statistique, que l'on possède sur le type de gisement.

A. INFORMATION GEOLOGIQUE SUR L'ENVIRONNEMENT.

Dans la très grande majorité des cas, les informations géologiques dont on dispose, actuellement, ne sont pas suffisantes pour procéder à la définition des types de gisements par analyse de grappe. Il convient en effet de disposer d'une information homogène portant autant, sinon davantage, sur l'environnement que sur la concentration minérale elle-même. Or, à l'évidence, la très grande partie des monographies minières traitent des minéralisations en ne consacrant à l'environnement que les quelques lignes introductives situant géographiquement et géologiquement le gisement.

De même, si le vocabulaire utilisé pour décrire les minéralisations est souvent homogène et précis — teneurs métal, géostatistiquement exprimées, espèces minéralogiques précisément déterminées, textures granulométriquement bien repérées en vue des problèmes de valorisation des minerais, ... bref tout caractère ayant une incidence économique directe — il en va tout différemment pour l'environnement géologique : deux exemples simples illustrent ce propos.

a) Les quartz-kératophyres.

En 1925, lors des excursions du Congrès International de Madrid, P. Fourmarier remarquait, sur le terrain, que ce qu'on lui présentait comme des filons ou des necks intrusifs de porphyres acides était, en fait, des tufs acides stratifiés de manière concordante avec les limites des amas pyriteux massifs de la province de Huelva (Espagne). Il fut sans doute le seul à concevoir les implications métallogéniques d'une telle constatation car, d'hydrothermaux en relation génétique avec les batholites granitiques lointains de la zone axiale de la Sierra Morena, les amas pyriteux se transformaient en minéralisations, certes hydrothermales, mais anté-tectoniques et liées à un volcanisme pré-orogénique dont on ignorait tout à l'époque.

Beaucoup plus tard, en 1940, H. Schneiderhöhn redonnait vigueur à la théorie « exhalative-sédimentaire » à propos des gisements de Lahn et Dill où il reconnaissait, à la suite des travaux de E. Lehman (1934), des laves d'émission sous-marine comme directement responsables des apports métallifères contemporains de la sédimen-

tation des produits volcaniques : nommément, la présence de spilites et de quartz-kératophyres justifiait cette interprétation.

Or, il s'avère, et nous le verrons plus loin, que cette reconnaissance des laves quartz-kératophyriques et de leurs tufs associés (Strauss, 1965; Soler, 1969; Schermerhorn, 1969) est l'argument stratégique caractérisant les provinces à amas sulfurés massifs (Huelva, Kurokos japonais, Bouclier canadien - Horne, Kidd River, Flin Flon... - ...). Il importe donc de les reconnaître comme telles, c'est-à-dire comme des laves albitophyriques acides et non de les considérer comme des rhyolites, rhyodacites ou dacites plus ou moins transformées par altération deutérique et/ou hydrothermale voire par métamorphisme ultérieur. Il va sans dire que ces laves d'émissions sous-marines (pour la plupart sont susceptibles d'être altérées par circulation hydrothermale et métamorphisme, mais) et je ne veux pas entrer là dans la discussion pétrographique d'envergure concernant leur genèse (cf. Amstutz, 1965, et le *Spilite Volume* à paraître), il est de plus en plus admis que le volcanisme acide sous-marin émet des laves quartz-kératophyriques primaires.

Or, tant au Japon qu'en Espagne, aux Etats-Unis, fréquemment au Canada et en Australie, la nature quartz-kératophyrique des roches acides associées aux minéralisations n'est pas reconnue et ce pour des raisons purement terminologiques. En revanche, les auteurs soviétiques utilisent assez systématiquement ce vocabulaire et depuis une dizaine d'années : à ce titre, la description des amas pyriteux massifs de l'Oural est particulièrement édifiante (*in* V.I. Smirnov, 1968).

En tout état de cause, se priver de l'argument quartz-kératophyrique pour particulariser l'environnement géologique de certains amas sulfurés massifs revient à diminuer considérablement la corrélation réelle entre environnement et minéralisations puisqu'aussi bien, une terminologie elucidant l'autre, la corrélation totale qui est très forte se trouve, en quelque sorte, disséminée entre les différents types rocheux en autant de corrélations partielles, évidemment très faibles. L'homogénéisation du vocabulaire géologique, qui repose quand même, en l'occurrence, sur l'emploi judicieux de connaissances fondamentales, entraînera évidemment un gain informatif considérable.

b) Les filons de Pierrefitte-Nestalas.

Depuis les travaux de L. de Launay (1904), le gisement plomb-zincifère de Pierrefitte-Nestalas fut unanimement considéré par ses exploitants miniers comme filonien, hydrothermal et d'âge tertiaire. Cette attitude s'appuie sur plusieurs

arguments forces qui furent peu discutés par les métallogénistes, sauf peut-être en ce qui concerne l'âge des minéralisations :

- Paragenèse mésothermale à blende, pyrite, galène et magnétite abondance, en gangue quartzreuse.

- Morphologie plane, à épontes nettes, des corps minéralisés « qui ne sont pas, à proprement parler, des filons-couches interstratifiés, bien qu'ils en affectent souvent l'allure, mais de véritables filons de fracture avec pénétration latérale dans les schistes voisins » (de Launay, 1913).

- Liaison spatiale avec des roches ignées porphyriques qui forment le mur de la veine sud.

Pour A. Bresson (1903), cette liaison est également génétique : ces minéralisations seraient tardi-hercyniennes et légèrement postérieures à la mise en place du granite de Cauterets qui affleure à quelques kilomètres au SW de Pierrefitte. Pour de Launay, l'ensemble de la province métallifère pyrénéenne est tertiaire et Pierrefitte n'échappe pas à la règle générale.

Depuis cette époque, tous les géologues miniers et métallogénistes qui visitèrent les travaux de Pierrefitte s'accordèrent dans leurs rapports inédits et parfois publiés pour reconnaître ce caractère filonien des minéralisations et leur âge, au moins hercynien tardif.

Etablissant en 1959 la première cartographie détaillée (1/10.000^e) de la zone métallisée de Barbazan (fig. 3), nous aboutîmes avec F. Fogliérini

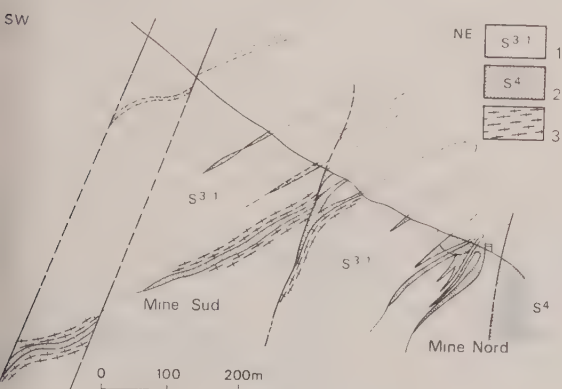


Fig. 3.

coupe NE-SW de la structure anticlinale de Barbazan-Pierrefitte-Nestalas, Hautes-Pyrénées, France) d'après Bernard et Fogliérini (1964), simplifiée.

Quartzites ordoviciens ; 2. Schistes carburés siluriens et horizon métallifère de base (amphibolite) ; 3. Laves porphyriques.

ni (1964) à des conceptions fort différentes : les minéralisations se distribuent dans une amphibolite para-dérivée (pour l'essentiel) dont le con-

trôle stratigraphique au mur des schistes carburés du Silurien est indéniable. Toutefois, cet horizon métallifère a été engagé dans une tectonique de plissement extrêmement intense et se retrouve aujourd'hui en synclinaux étroitement pincés entre des anticlinaux de quartzite ordoviciens.

Incidemment, les roches porphyriques qui jalonnent le mur géologique des amas minéralisés se révélèrent être des quartz-kératophyres (Dagallier, 1972).

En conclusion, la reconnaissance de la nature stratiforme de ces minéralisations permet d'affirmer leur mise en place anté-schistosité et de les rapporter à un volcanisme pré-orogénique d'âge ordovicien supérieur. Inutile d'ajouter que cette constatation comporta certaines conséquences en prospection minière, dans les Hautes-Pyrénées.

L'erreur d'observation relève là d'une mode, ou plutôt d'un mode de pensée : personne en 1905 ni en 1930 ne se serait préoccupé de couches métallisées situées à proximité d'un granite ! Cette incidence est grave car la Bible n'a-t-elle pas raison qui dit : « Ils ont des yeux pour ne pas voir ! » et l'acuité de nos observations dépend-elle tant de notre état d'esprit devant l'affleurement ? A Pierrefitte-Nestalas, les meilleurs observateurs, rares il est vrai et de Launay est de ceux-là, parlèrent de « filons-couches », ce qui était une manière d'accommoder leur conscience et leurs observations au goût et au langage du jour, mais semble décidément insuffisant pour les besoins d'une étude typologique cohérente.

Il ne s'agit là que d'exemples portant sur la description statique du gisement et de son environnement. Or, il est actuellement possible, dans bien des cas, de dresser l'histoire géologique de l'environnement d'une part, de la minéralisation d'autre part, et cela en utilisant les informations de la chronologie absolue ou stratigraphique ainsi que les relations qualitatives d'antériorité ou de postériorité que donnent la tectonique, et la pétrographie des roches cristallines (métamorphisme de contact, par exemple) ou sédimentaire (remaniements conglomératiques, par exemple). Rares sont les monographies qui tentent objectivement cette insertion chronologique du gisement dans l'histoire de l'environnement. Exceptionnelles sont les études monographiques suffisamment poussées qui permettent de suivre dans le temps la géochimie de l'environnement pour y inscrire la métallogénie de la concentration : certes, de tels travaux ne sont pas toujours réalisables. Encore faut-il les tenter et situer les difficultés insurmontables...

Bref, si tant est que la prospection minière indirecte prenne à l'avenir une importance croissante et qu'il nous faille nous pencher désormais

d'avantage sur l'environnement que sur les gisements eux-mêmes, un effort considérable est à entreprendre dans le sens d'une homogénéisation du vocabulaire géologique et surtout d'une objectivation des observations. On peut en attendre une amélioration que je crois considérable de la définition cohérente et rationnelle des types et par conséquent augmenter considérablement la connaissance des sites géologiques fortement corrélés à la présence de concentrations minérales. Les deux exemples précédents doivent au demeurant nous inciter à la plus grande prudence quant à l'utilisation géostatistique des monographies traditionnelles et il nous appartient sans doute de promouvoir la mise au point et la diffusion de descriptions précises et complètes des gîtes minéraux et de leur environnement. Peut-être est-il temps de s'en persuader : l'ordinateur ne transcende pas la qualité des informations qu'on lui donne et l'obtention de bonnes corrélations dépend avant tout de la véracité et de la précision des observations.

B. CORRELATION ENTRE ENVIRONNEMENT ET MINÉRALISATIONS.

Compte tenu de l'état d'avancement de la définition des types de gisements, il me sera difficile d'illustrer mon propos de manière autre que qualitative : j'ai choisi pour ce faire le thème des amas sulfurés massifs. L'intérêt de ces concentrations est semble-t-il croissant surtout pour les faibles teneurs de métaux chalcophiles (Cu, Pb, Zn, Au, Ag) que contiennent les amas à dominante de sulfures de fer (pyrite et/ou pyrrhotite). L'évocation précédente des quartz-kératophyres

me fournit par ailleurs une excellente introduction à ce thème des minéralisations dites exhalatives-sédimentaires.

Je n'ometts pas ce faisant les minéralisations sulfurées massives associées aux grands lopolites de type Sudbury, Bushveld ou Insizwa, mais limiterai volontairement mon propos aux masses sulfurées génétiquement et chronologiquement liées aux émissions sous-marines de laves acides et basiques : le sujet me paraissant encore trop vaste pour le temps dont je dispose, je le restreindrai encore en le limitant aux émissions de flexures géosynclinales - c'est-à-dire que j'éliminerai le type Chypre qui semble bien apparenté aux exhalaisons sulfurées récentes de la Mer Rouge, c'est-à-dire à des émissions basiques de dorsales océaniques (Bernard et Soler, 1971).

Si l'on en croit les auteurs japonais, deux types de flexures doivent être envisagés : elles sont représentées (fig. 4) sur un modèle géotectonique de Dewey et Bird (1970) afin de clarifier les idées.

Il s'agit de la coupe d'une cordillère au stade précoce de l'orogénèse : c'est à peu de chose près la structure de la partie septentrionale de Honshu (Japon) au Néogène. La flexure de type A, ou « Kuroko » est marquée par un volcanisme sous marin de type spilitique et kératophyrique. La flexure de type B, ou « Sambagawa », est, elle, marquée par une dominante de volcanisme basique et surtout par une liaison spatiale assez étroite avec les formations de fosse ortho-géosynclinale : ophiolites, schistes bleus, wild-flysch (mélanges)... Ainsi que le firent remarquer Juteau et Rocci (1968), on retrouve bien là l'a

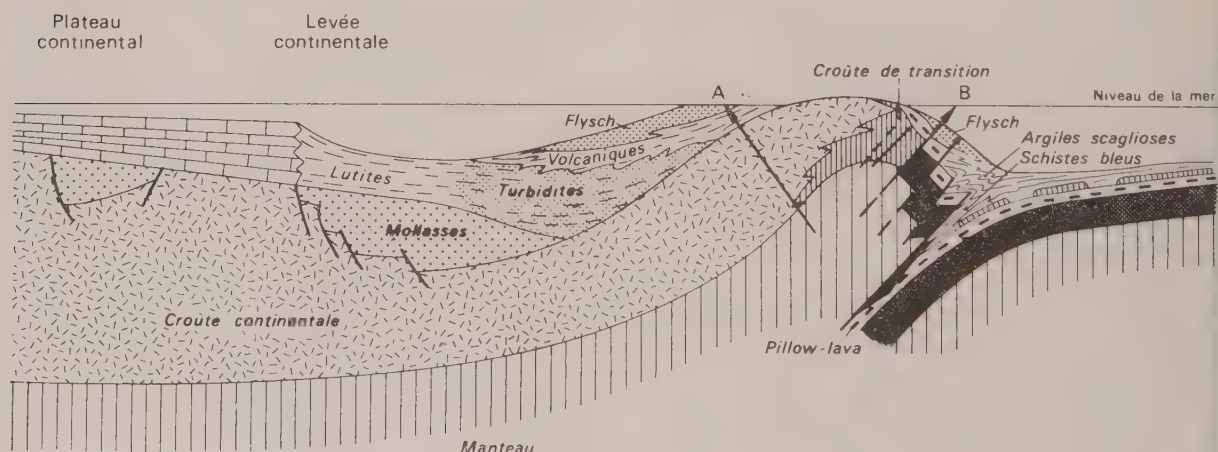


Fig. 4.

Les deux types de flexures pré-orogéniques lors d'une phase initiale de l'évolution d'un orogène du type cordillère suivant Dewey et Bird (1970).

En A, flexure à substratum sialique du type « Kuroko » (association hercynotype spilite-quartz kératophyre). En B, flexure à substratum de croûte océanique du type « Sambagawa » (association alpinotype à ophiolites et spilites).

association hercynotype « spilite-quartz-kératophyre » et l'association alpinotype « ophiolites-spilites » sans quartz-kératophyre, la différence s'expliquant par la présence d'un substratum sialique dans le premier cas, par son absence dans l'autre.

Le modèle « Kuroko » - Il est désormais bien connu depuis la publication d'E. Horikoshi

ensuite directement aux sondages de reconnaissance dont ils fixent les implantations au fur et à mesure de l'avancement de la campagne, c'est-à-dire en tenant systématiquement compte des informations acquises. En d'autres termes et, encore que coûteux, ce procédé s'avéra fructueux, les géologues japonais utilisant le sondage tacti-

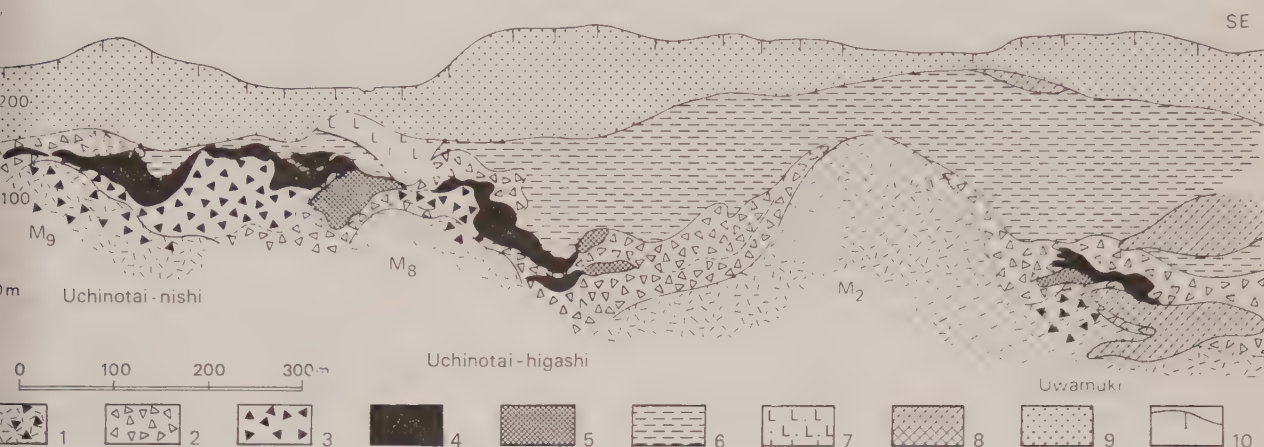


Fig. 5.

Coupe géologique des districts kurokos d'Uchinotai et d'Uwamuki (région de Kosaka, Japon), d'après Horikoshi (1969), simplifiée.

L'orientation (GH) est indiquée fig. 6.

1. Protrusions laviques, massives et bréchiques : les indices de la lettre M indiquent l'ordre probable de mise en place des « Motoyama Dacites » (en fait quartz-kératophyres) ; 2. Tufs bréchique d'Uwamuki : brèches phréato-magmatiques ; 3. Brèches volcaniques de Motoyama ; 4. Amas sulfurés ; 5. Amas gypsifères ; 6. Tufs ponceux et tuffites d'Akamori ; 7. Andésite de Yagaratai ; 8. Basalte de Kako (sills et coulées) ; 9. Formations quaternaires ; 10. Implantation de sondages.

Les émissions andésitiques (Yagaratai) et basaltiques (Kako) sont nettement tardives par rapport aux « Dacites de Motoyama ». Noter la densité d'implantations de sondages.

1969) qui synthétise, en fait, l'opinion de la plupart des auteurs japonais (Tatsumi, 1970).

Très schématiquement (fig. 5), les amas sulfurés se présentent comme des masses lenticulaires concordantes avec la stratification des roches encaissantes tufs quartz-kératophyriques au mur, schistes tuffacés au toit. Dans l'espace, ces formations reposent sur le flanc de protrusions laviques quartz-kératophyriques, en aval d'une structure tuffique d'explosions gazeuses qui termine, chronologiquement, l'activité effusive de la protrusion (fig. 6). Apparemment, c'est alors que se développe l'activité exhalative : ces émanations déposent d'abord les sulfures, puis par refroidissement et oxydation, des évaporites auxquelles succèdent latéralement, vers l'aval, les amas sulfurés.

La prospection indirecte conduite avec réussite par les géologues japonais consiste à repérer sous des recouvrements de l'ordre de 50 à 150 mètres, par cartographie, les alignements de protrusions quartz-kératophyriques : ils passent

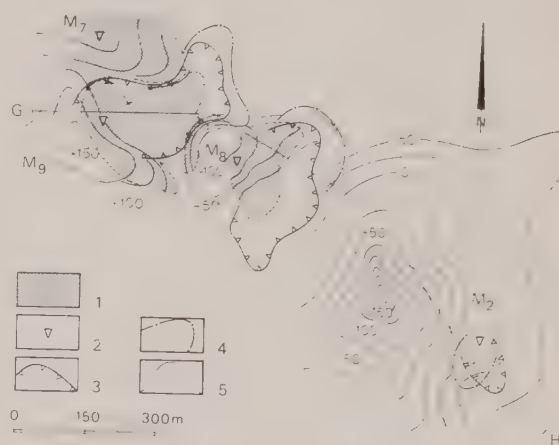


Fig. 6.

Plan indiquant en courbes de niveau la forme des protrusions (M₂, M₈, M₉) de « Dacite de Motoyama », et la distribution des tufs, des minéralisations sulfurées et des amas gypsifères.

D'après Horikoshi (1969), simplifiée.

1. Brèche volcanique de Motoyama : faisceau tuffacé quartz-kératophyrique ; 2. Centre explosif des protrusions ; 3. Limites des corps sulfurés ; 4. Limites des amas gypsifères ; 5. Courbe de niveau (protrusions).

que de manière indirecte : après quelques implantations, ils sont repérés par rapport aux protrusions, et tenant compte de la sédimentologie du faisceau tuffacé, orientent leurs nouvelles implantations vers les flancs minéralisés de ces structures. Evidemment, une traversée évaporitique ou

pyriteuse entraîne *ipso facto* l'implantation d'un quadrillage systématique serré : cette fois, la démarche, ultime, est directe.

Il est beaucoup plus délicat d'appréhender le modèle actuel des métallisations du type Samba gawa, qui, s'il exista au Néogène, doit se trouver

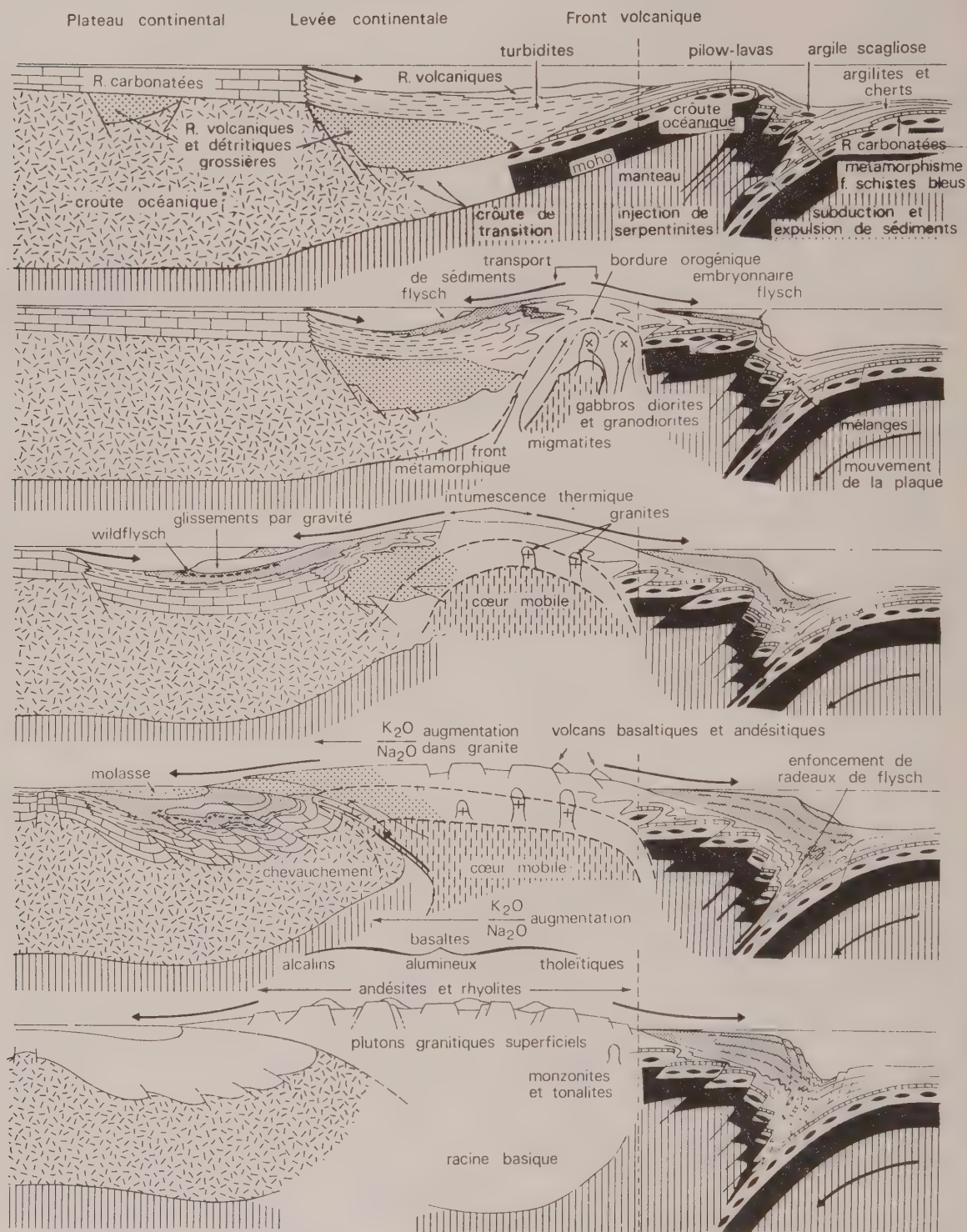


Fig. 7.

Evolution schématique d'une orogène de type cordillère, suivant Dewey et Bird (1970), simplifiée.

Rq — Il conviendrait suivant les cas d'incliner à partir de C ou D le plan de Bénéioff à 30° sous l'intumescence sialique.

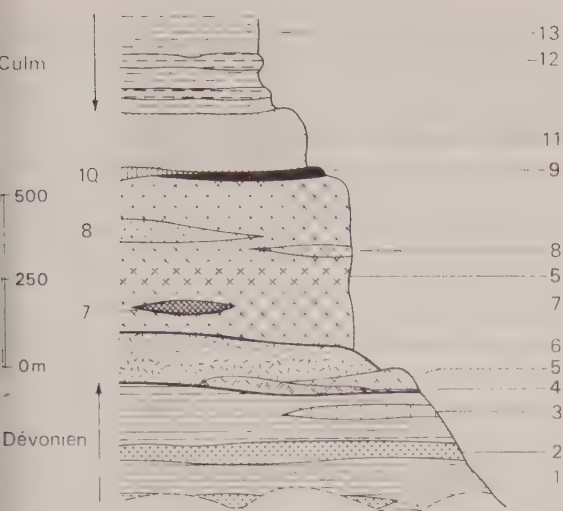


Fig. 8.

série lithostratigraphique dévono-dinantienne de la province de Huelva (Espagne), suivant Soler (1971).

L'échelle est indicative.

série dévonienne comporte des schistes (1) et des quartzites (2) ; au sommet quelques lentilles carbonatées (3) silifères. L'ensemble volcano-sédimentaire montre, à la base, quelques sills de dolérite albitique (4) et des masses pyriteuses (6) quartz-kératophyriques. Les amas pyriteux (7) sont contenus de manière concordante dans le faisceau facé quartz-kératophyrique (5) où se rencontrent également des coulées spilitiques (8). Le sommet du faisceau facé est généralement marqué par des couches siliceuses ferrifères bariolées (polvo-hématites) (9) auxquelles s'associent à l'occasion des amas manganésifères stratiformes (10). Le volcano-sédimentaire se termine par une formation micritique (ou tuffitique) plus ou moins puissante suivant les endroits. Le Culm enfin surmonte le volcano-sédimentaire : il s'agit de schistes (12) et grauweekes (13).

aujourd'hui à quelques milliers de mètres de profondeur dans la fosse océanique japonaise. Force nous est donc d'appréhender ce modèle dans les environnements anciens et plus précisément, dans la ceinture pyriteuse de Shikoku (fig. 11).

Il me paraît utile, pour simplifier l'exposé, d'envisager parallèlement le devenir des métallisations de type flexure A et de type flexure B en utilisant le modèle d'évolution des cordillères suivant Dewey et Bird (1970).

Le type Rio Tinto - L'évolution d'une force interne (fig. 7) en aval d'une flexure A montre après la sédimentation de flysch et l'émission quartz-kératophyrique et spilitique, le développement précoce de glissements gravitatifs qui conduisent à la formation de nappes du deuxième genre, sans flanc inverse. Puis, en raison du développement de l'intumescence géantictinale des chevauchements et des nappes de premier genre, de couverture ou penniques avec entraînement d'écaillés de socle, se produisent au moment de la phase orogénique majeure qui précède les premières sédimentations molassiques.

Le raccourcissement de la structure du bassin et du plateau continental est, semble-t-il, extrêmement important.

C'est bien dans un tel contexte que se trouvent les amas cuprifères de la province de Huelva (Espagne) ainsi que le montra récemment E. Soler (1971) : les amas pyriteux se rencontrent bien dans un faisceau tuffacé quartz-kératophyrique situé au-dessus d'épanchements laviques où se retrouvent occasionnellement des structures bréchiques d'exhalaisons (fig. 8). Mais, et ceci complique singulièrement les choses, ces structures métallisées ont été entraînées dans des nappes précoces, gravitatives, sans flanc inverse, qui furent ultérieurement plissées et schistifiées avec l'ensemble des formations de remplissage géosynclinal (Schermerhorn et Stanton, 1969), pendant la phase orogénique majeure (fig. 9 et 10). Des chevauchements tardifs, syn-schisteux, déformèrent encore ces nappes et leurs amas sulfurés associés.

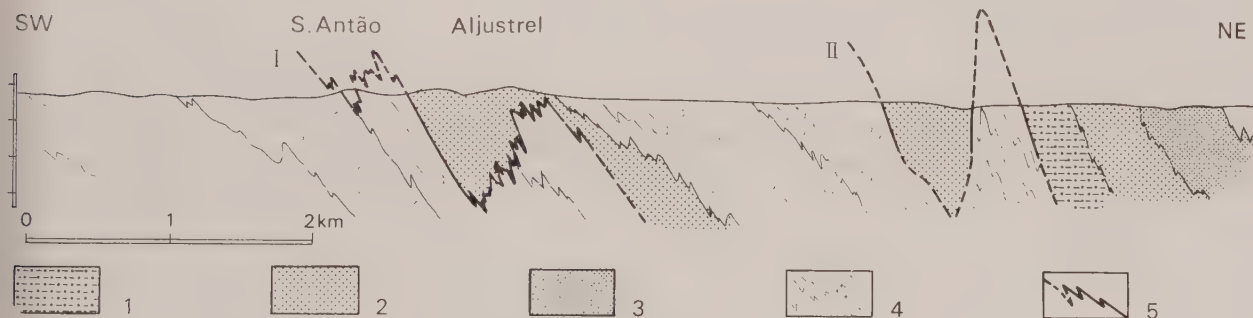


Fig. 9.

Coupe des charriages de la région d'Aljustrel (Portugal), suivant Schermerhorn et Stanton (1969) simplifiée.

On distingue deux surfaces anormales schistifiées : I) Charriage d'Aljustrel ; II) Charriage de Biguina.

1. Schistes et quartzites dévoniens ; 2. Volcano-sédimentaire inférieur (faisceau tuffacé) ; 3. Volcano-sédimentaire supérieur ; 4. Schistes et grauweekes du Culm ; 5. Surface de charriage schistifiée.

Rq — Les faciès du volcano-sédimentaire de la nappe de Biguina sont différents de ceux du volcano-sédimentaire, ici différencié, de la nappe d'Aljustrel (voir fig. 10).

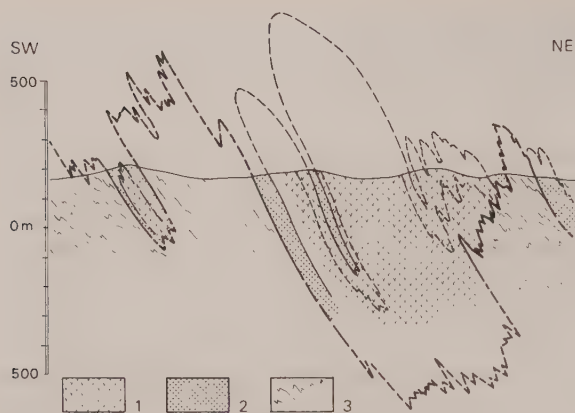


Fig. 10.

Agrandissement de la coupe précédente: synformes de la surface anormale d'Aljustrel au droit du district minéralisé, suivant Schermerhorn et Stanton (1969).

Même légende que la figure précédente: seul le volcanosédimentaire inférieur d'Aljustrel (faisceau tuffacé) a été différencié (1).

On remarquera la disharmonie structurale entre l'anticlinorium d'Aljustrel et la structure synforme de la surface de charriage.

En d'autres termes et si l'on s'en tient à l'environnement géologique, les amas sulfurés cuprifères du type Rio-Tinto apparaissent comme des

« kurokos », après évolution orogénique qui, dans ce cas précis, est essentiellement tectonique: il y en a, le métamorphisme régional est extrêmement léger! En tout état de cause, on attend encore la description d'une association épimétamorphique précise dans la ceinture pyriteuse sud-ibérique.

Dans de tels environnements, pousser la reconnaissance indirecte au-delà de la localisation des massifs effusifs quartz-kératophyriques, et essentiellement par cartographie géologique détaillée, devient une opération éminemment hasardeuse: il convient très tôt de passer aux techniques de prospection directe (gravimétrie, méthodes électriques). Par rapport aux Kurokos, la part de la prospection indirecte est ici appréciablement réduite.

Le type Sambagawa - Revenons au modèle Dewey et Bird sur l'évolution d'une zone flexure interne (fig. 7). Dès émergence de la croûte, elle est marquée par une sédimentation flysch et un volcanisme pré-orogénique qui est à dominante basique, spilitique ou non. C'est l'ensemble de ces formations, qui, avec des éléments de croûte océanique est entraîné dans la zone de subduction vers des zones profondes



Fig. 11.

Carte schématique de l'île de Shikoku, montrant l'extension des terrains de Sambagawa et la distribution des amas sulfurés cuprifères par rapport au terme moyen de la formation Minawa (cf. fig. 12), in Tatsumi (1970).

1. Terme moyen de la formation Minawa où les schistes basiques prédominent;
2. Couverture tertiaire.

Les coupes AB et CD sont représentées fig. 12.

se développent les conditions de métamorphisme à glaucophanites (schistes bleus) et élogites. C'est pendant cet entraînement que se produisent chevauchements et sous-charriages de la partie supérieure du manteau océanique (ultrabasites) au toit de la zone de subduction.

Tels sont, pour l'essentiel, les éléments de l'évolution géotectonique du géosynclinal de « Titibu » (fig. 11) qui furent particulièrement bien mis en évidence par S. Banno, dès 1964, bien avant la production des schémas de Dewey et Bird.

L'activité de cette fosse commence au Silurien au sud d'une aire géantictinale sialique dite de Ryoke : les schistes cristallins de Sambagawa représentent le Carbonifère et le Permien, marqués par d'abondantes émissions sous-marines basiques. L'ensemble de ces formations fut métamorphisé et plissé entre Lias et Crétacé moyen :

les roches basiques notamment sont portées dans le faciès schistes à glaucophane et localement élogite. Pendant le métamorphisme régional, se mirent en place de nombreux massifs d'ultrabasites (zone axiale de plis couchés, le long des grands accidents cassants) dont certains furent métamorphisés et d'autres peu atteints. Très schématiquement, ces informations apparaissent sur les coupes régionales de la zone de Besshi (fig. 12).

Les minéralisations sulfurées se développent de manière concordante avec la structure planaire des roches d'épentes, et, plus précisément le plongement de l'amas métallisé se fait suivant la linéation des schistes encaissants. Comme celle-ci change de S.70° E (36°) à N.30° W (55°) à 1200 m de profondeur (niveau 14), l'allure stratiforme très continue, qui apparaît sur la coupe classique de Besshi, est assez trompeuse (fig. 13). En fait,

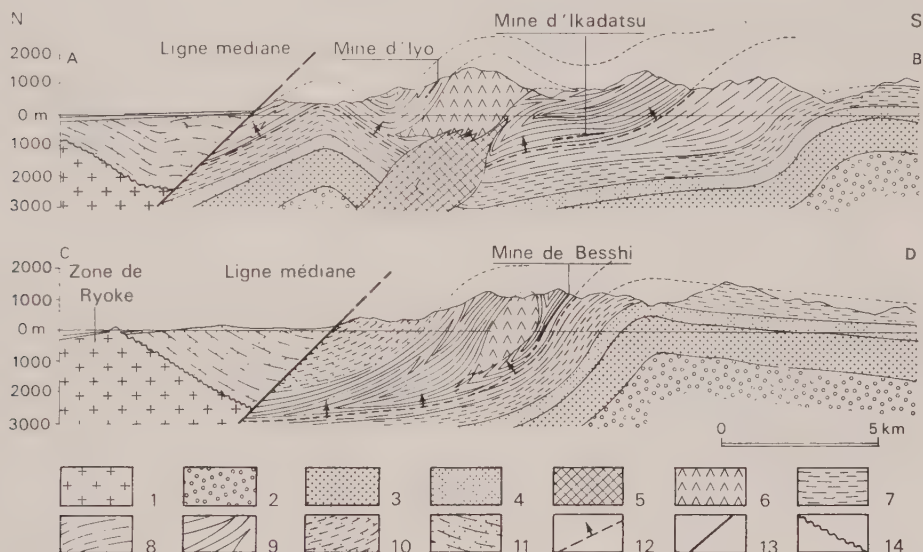


Fig.12.

Coupes régionales du district minier de Besshi, suivant le service géologique de la Sumimoto Metal Mining Co. (1970).

Le groupe de Yoshinogawa a été divisé en trois parties :

- **Inférieure** : Formation Oboke (2), schiste psammitique à passées conglomératiques schistoïdes.
Formation Kawaguchi (3), schistes pélitiques et intercalations de schistes basiques et de schistes quartzeux.
- **Moyenne** : Formation Koboku (4), schistes pélitiques.
Formation Minawa, elle-même subdivisée en :
 - Membre inférieur : schistes pélitiques (8 % des gisements sulfurés s'y rencontrent) (7)
 - Membre moyen (8) : schistes basiques (70 % des gisements sulfurés)
 - Membre supérieur (9) : schistes pélitiques et basiques (6 % des gisements sulfurés).
- **Supérieure** : Formation Ozyoin (10) : schistes pélitiques.

La formation d'Izumi (11) qui recouvre en discordance (14) le granite de Ryoke (1) est déjà mésozoïque et affleure au Nord de la ligne de dislocation médiane (13).

On notera la position des massifs d'amphibolites (6) (glaucophanites) et d'ultrabasites (5) (serpentinites). De même, les auteurs japonais accordent une grande importance à la porphyroblastèse albitique repérée en (12) par une limite bien marquée sur le terrain.

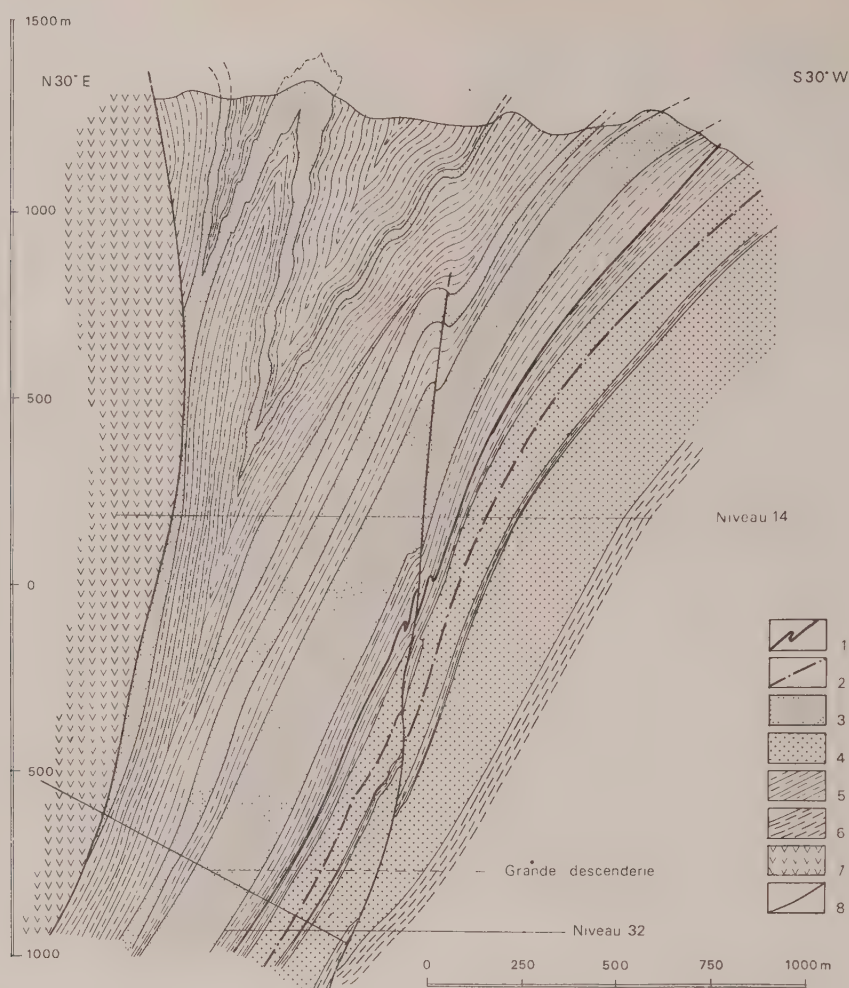


Fig. 13.

Coupe de la masse minéralisée principale de Besshi, d'après le Service géologique de la mine.

1. Corps minéralisé ; 2. Horizon de schistes siliceux ; 3. Schistes basiques « tachetés » : porphyroblastes d'albite ; 4. Schistes basiques non tachetés ; 5. Schistes pélitiques ; 6. Schistes phylliteux ; 7. Glaucophanites ; 8. Faille.

il s'agit d'une structure plissée (synforme ou anti-forme) dont l'axe suit les changements de linéation (fig. 14) : ce qui donne une idée de la complexité tectonique réelle des formations minéralisées.

Il est particulièrement ardu, dans l'état actuel des connaissances de remonter au modèle originel de la minéralisation : aussi bien, l'hypothèse exhalative-sédimentaire est-elle de plus en plus admise au Japon (cf. travaux de T. Watanabe, *in* Tatsumi, 1970).

Tous les amas du district de Besshi furent trouvés dans une puissance de 200 m (formation Minarva, terme moyen, fig. 11), c'est-à-dire dans un ensemble stratigraphique relativement mince comparativement à l'ensemble de Sambagawa. La démarche indirecte s'arrête à la cartographie détaillée de cet horizon métallifère. Très tôt, il

convient de passer à la prospection tactique directe (magnétique, géochimique).

Connaîtrait-on le modèle originel de Sambagawa, il est à craindre que l'oblitération tectonique et métamorphique rendrait très aléatoires l'utilisation indirecte des caractères géologiques de l'environnement.

Le type Fornas - Examinons rapidement, pour terminer, l'environnement géologique du gisement sulfuré massif de Fornas, près Saint-Jacques de Compostelle en Galice (Espagne).

En suivant les conclusions des chercheurs néerlandais qui travaillent en Galice depuis 1959 sous la direction de E. Den Tex (1967), on doit distinguer dans cette région un certain nombre de blocs structuraux anté-hercyniens qui persistent au sein d'un ensemble migmatitique et granitique varique.

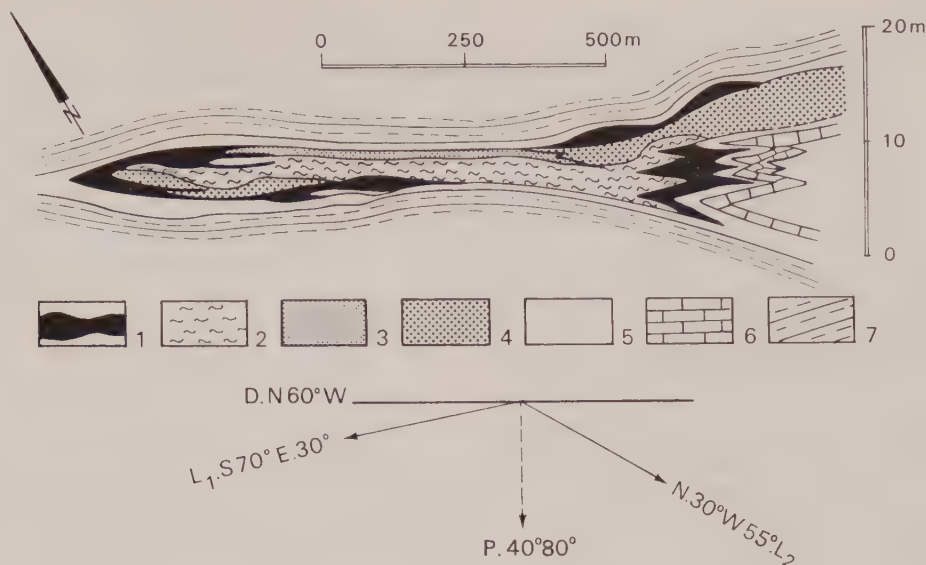


Fig. 14.

Plan schématique de la masse minéralisée principale de Besshi, d'après le Service géologique de la mine.

Ce plan est synthétique, les différents amas prenant plus ou moins d'importance suivant les niveaux. Le changement de linéation dans le plan de schistosité (D, P) se fait aux environs du 14ème niveau: du jour à la cote 200 suivant L_1 , de la cote 200 à —1000 m suivant L_2 .

1. Minéral massif; 2. Minéral rubané; 3. Roche basique massive; 4. Schiste basique; 5. Schistes siliceux; 6. Calcaire; 7. Schistes pélitiques.

On notera le caractère syn ou antiforme de cette structure (horizon calcaire et formation de schistes siliceux).

La plus importante de ces structures anciennes s'étend de manière pratiquement continue depuis le Cabo Ortegal jusqu'à la frontière portugaise. C'est à l'intérieur de ce grand complexe d'Ordnes qu'apparaît à l'Est immédiat de Saint-Jacques de Compostelle, un massif de metabasites constitué essentiellement d'amphibolites à grenat et à épidote. C'est dans ces amphibolites que furent mis en évidence les gisements de Fornas et d'Arin-teiro (Rimbaud, 1970).

Il s'agit d'amas massifs à pyrrhotite et pyrite, chalcopryrite et blende (fig. 15).

L'antophyllite a été reconnue en abondance dans le minéral de Fornas. Quant aux minéralisations d'Arin-teiro, elles sont de même type, mais souvent diffuses.

L'intérêt de ce district réside dans l'extraordinaire complexité de l'environnement: le tableau I résume cette histoire géologique remarquablement dépouillée par A. Van Zurren (1969).

— Métamorphisme - Toutes les metabasites furent vraisemblablement portées durant M_1 dans les conditions du granulite faciès (hornblendes plagiopyrigarnites) et rétrotransformés progressivement par la suite:

M_2 : amphibolites à grenat et amphibolites à linéation (F_2).

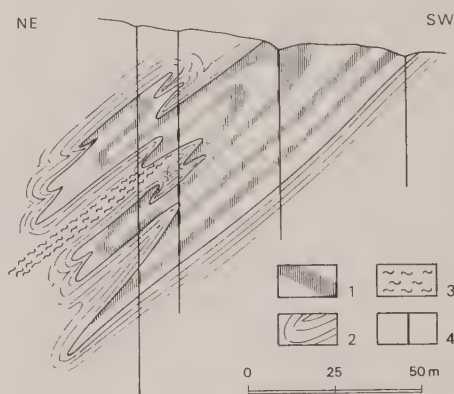


Fig. 15.

Allure des minéralisations de Fornas, d'après Ypma (1967).

1. Répartition hypothétique des amas sulfurés dans les amphibolites à antophyllite; 2. Amphibolites à épidote; 3. Amphibolites à grenat; 4. Sondages miniers.

Cette coupe est purement indicative.

M_3 : amphibolites à épidote, corrélées avec les déformations (F_4).

M_4 : schistes verts rétro-morphiques associés à F_0 ainsi qu'aux phases tardives de phyllonitisation et de mylonitisation.

— Tectonique - Il serait trop long de restituer ici le détail microtectonique des six phases de

Tableau I
Relations entre phases de plissement et phases de métamorphisme régional,
dans le complexe d'Ordenas, suivant Van Zurren (1969)

	Pré-hercynien	Hercynien	
Phases de plissement	F ₁ F ₂ F ₃	F ₄ F ₅ F ₆	Phyllonitisation Mylonitisation
Phase de métamorphisme régional	M ₁ M ₂	M ₃ M ₄	
Schistosité ou plan axial de clivage	S ₁ S ₂ S ₃	S ₄ S ₅ S ₆	

plissement mises en évidence par Van Zurren. Deux schémas suffisent à illustrer mon propos, c'est-à-dire l'extraordinaire complexité tectonique de l'environnement (fig. 16 et 17).

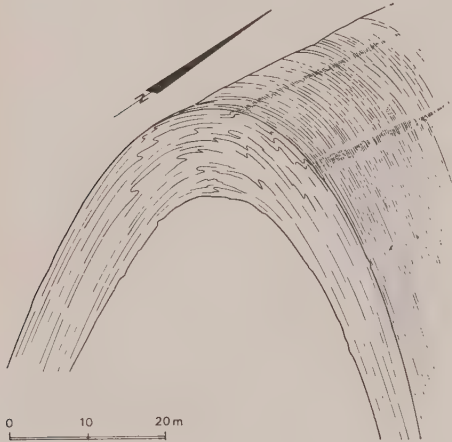


Fig. 16.

Figure d'interférence entre des plis F₁ supposés couchés et un grand antiforme d'âge hercynien (F₄), in Van Zurren (1969).

Toutes les ressources de la pétrofabrique et la comparaison systématique des déformations enregistrées par les métasédiments et par les metabasites furent nécessaires pour débrouiller cet imbroglio tectonique et métamorphique.

Inutile de dire que dans de telles conditions d'environnement il est illusoire de vouloir reconnaître le modèle originel. L'absence de Nickel, l'abondance des roches basiques, la présence locale d'ultra-basite dans le Massif de Saint-

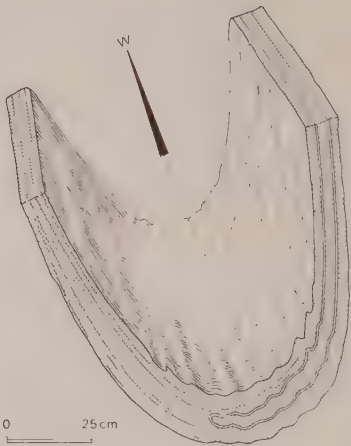


Fig. 17.

Figure d'interférence entre des micro-plis F₂ replissés suivant un nouveau plan axial très incliné (S₃) in Van Zurren (1969).

Jacques-de-Compostelle, l'intensité du métamorphisme M₁, laissent à penser qu'il s'agit du type Sambagawa — et non, comme cela fut avancé, d'une lopolite type Sudbury (Ypma, 1967) — Toutefois, cette assimilation, pour plausible qu'elle soit, n'apporte rien à la prospection indirecte de tels amas sulfurés : la présence de pyrrhotite — sans doute liée à l'évolution métamorphique des pyrites originelles — permet, dans le cas présent, l'utilisation des méthodes magnétiques (aéroportées et au sol) en stratégie et en tactique (où furent également utilisés la polarisation provoquée, la résistivité et quelques profils géochimiques) avant de reconnaître par sondages (Rambaud, 1970).

CONCLUSIONS

En conclusion, il est évident que les oblitérations dues aux déformations tectoniques et aux recristallisations métamorphiques affaiblissent considérablement la valeur des corrélations entre environnements et minéralisations. La typologie demeure certes possible, après des études extrêmement précises des environnements, mais la complexité de ces derniers rend illusoire toute utilisation indirecte.

La démarche indirecte, s'appuyant éventuellement sur des techniques géophysiques et géochimiques, ne peut donc actuellement s'appliquer qu'aux modèles simples présentant de bonnes corrélations environnement-gisement. Elle a un magnifique champ d'activité dans le domaine de la détection des gisements enfouis en environnement simple.

Dès que les environnements se compliquent la cartographie géologique demeure une arme indirecte très efficace au niveau stratégique, mais la détection directe s'impose rapidement au niveau tactique. Dans les cas extrêmes, type Fornas — mais la métallogénie présente bien des modèles d'une extrême complexité —, seule la démarche directe demeure efficace. C'est pourquoi toute nouvelle technique ou toute amélioration des techniques actuellement connues seront encore particulièrement bienvenues dans l'arsenal du prospecteur, et ce, pour très longtemps encore.

BIBLIOGRAPHIE

AMSTUTZ, C.C. (1965) — Some comments on the genesis of ores. in *Symposium Problems of Postmagmatic Ore Deposition*, Prague, vol. 2, pp. 147-150.

BANNO, S. (1964) — Petrologic studies on Sambagawa crystalline schists in the Bessi-Ino District, Central Shikoku, Japan. *Journal of Fac. Sc., Tokyo University*, Sec. II, vol. 15, Part 3, pp. 203-319.

BLONDEL, F. (1955) — Les types de gisements de fer. *Chron. Mines colon.*, Paris, n° 231, pp. 226-244.

BERNARD, A., FOGLIERINI, F. (1964) — A propos des « filons hydrothermaux » de Pierrefitte-Nestalas. *C.R.Ac.Sc.*, Paris, t. 258, pp. 274-277.

BERNARD, A., SOLER, E. (1971) — Sur la localisation géo-tectonique des amas pyriteux massifs du type Rio-Tinto. *C.R.Ac.Sc.*, Paris, t. 273, pp. 1087-1090.

BRESSON, A. (1903) — Etudes sur les formations anciennes des hautes et basses Pyrénées. *Bull. Serv. Carte Géol. Fr.*, Paris, t. 14, n° 93, pp. 45-322.

DAGALLIER, G. — Communication orale, note à paraître en 1972.

DEWEY, J.F., BIRD, J.M. (1970) — Mountain Belts and the New Global Tectonics. *Journ. of Geophys. Res.*, Washington, t. 75, n° 14, pp. 2625-2647.

FOURMARIER, P. (1925) — Discussion XIX^e Congr. géol. International, Madrid, vol. n° 3, pp. 1193-1195.

HORIKOSHI, E. (1969) — Volcanic activity related to the formation of the Kuroko-type Deposits in the Kosaka District, Japan. *Mineral. Deposita*, Berlin, t. 4, n° 4, pp. 321-345.

LAFFITTE, P., PERMINGEAT, F., ROUTHIER, P. (1965) — Cartographie métallogénique, métallogénie et géochimie régionale. *Bull. Soc. Fr. Mineral Crist.*, Paris, t. 88, pp. 3-6.

LAUNAY, L. de (1904 et 1913) — Gisement visité en 1904 et décrit en 1913 in *Traité de Métallogénie*, Ch. Béranger, Paris et Liège, t. III, p. 137.

LEHMANN, E. (1934) — Der magmatische Mineral und Gesteinsprovinz im Mitteldevon des Lahn-Dill Gebiets. *Zeit. Deutsch. Geol. Ges.*, Hannover, vol. 86, pp. 348-359.

RAMBAUD, F. (1970) — Cursillo de Geologia aplicada al estudio de los yacimientos minerales: sulfuros masivos. Inédit, Madrid, Mai 1970.

ROCCI, G., JUTEAU, Th. (1968) — Spilites-Kératophyres et ophiolites. Influence de la traversée d'un socle sialique sur le magmatisme initial. *Geol. en Mijnbouw*, Rotterdam, t. 47, n° 5, pp. 330-339.

ROUTHIER, P. (1963) — Les gisements métallifères. Géologie et principes de recherche. *Masson et Cie*, Paris, 2 vol.

ROUTHIER, P. (1969) — Essai critique sur les méthodes de la géologie (de l'objet à la genèse). *Masson et Cie*, Paris, 1 vol., p. 204.

SATTRAN, V. (1968) — La systématique naturelle par mesure des ressemblances des gîtes de béryllium (Taxinomie numérique en métallogénie). Ronéo. Centre d'Informatique de Fontainebleau, à paraître in *Mineral. Deposita*, Berlin (1972).

SCHERMERHORN, L.J.G. (1969) — Mafic geosynclinal volcanism in the Lower Carboniferous of South Portugal. *Geol. en Mijnbouw*, Rotterdam, vol. 49, n° 6, pp. 439-450.

SCHERMERHORN, L.J.G., STANTON, W.I. (1969) — Folded overthrusts at Aljustrel (South Portugal). *Geol. Mag.*, Cambridge, vol. 106, pp. 130-141.

SCHNEIDERHÖHN, H. (1941) — Lehrbuch der Erz-lagerstättenkunde. 1 vol., Iéna, G. Fischer Ed., pp. 742-760.

SMIRNOV, V.I. (1968) — Pyritic Deposits. *International Geology Rev.*, Washington, vol. 12, n° 8, pp. 881-908 (Part I) et vol. 12, n° 9, pp. 1039-1058 (Part. II).

SOLER, E. (1969) — L'association spilites-kératophyres de la Province de Huelva (Espagne). 1 vol., thèse 3ème cycle, Paris, p. 105.

- SOLER, E. (1971) — Observations préliminaires sur la province métallogénique de Huelva (Espagne). Stratigraphie et tectonique. *C.R.Ac.Sc.*, Paris, t. 272, pp. 1197-2000.
- STRAUSS, G.K. (1965) — Zur geologie der SW-Iberischen Kiesprovinz und ihrer Lagerstätten, mit besonderer Berücksichtigung der Pyritgrube Lousal (Portugal). Thèse ronéo, 1 vol., Munchen, p. 152.
- TATSUMI, T. (1970) — Volcanism and ore genesis. *Tatsumi Ed.*, Tokyo, University Press, 1 vol., p. 448.
- TEX, E. den (1967) — Aperçu pétrologique et structural de la Galice cristalline. *Leidse Geol. Medede.*, Leiden, vol. 36, pp. 211-222.
- YPMA, P.J.M. (1967) — Sumario de la mineralización metalífera y su génesis en Galicia occidental (España). *Leidse. Geol. Medede.*, Leiden, vol. 36, pp. 279-291.
- ZUUREN, A. van (1969) — Structural Petrology of an area near Santiago de Compostella (NW Spain). *Leidse Geol. Medede.*, Leiden, vol. 45, pp. 1-71.

DISCUSSION

M. Snoep.

Quels sont tonnage et teneurs du gisement de Fornas ?

A. Bernard.

Lors du « *Cursillo sobre Yacimiento Masivos de sulfuro* », en mai dernier, à Madrid, F. Rambaud fit état de 25.10^6 T à $1,0 + 0,2\%$ Cu.

M. Raucq.

L'étude statistiques des gîtes connus par la corrélation des données de l'environnement et des minéralisations a-t-elle déjà conduit à la découverte d'occurrences non connues ?

A. Bernard.

Non. On en est encore au stade de la corrélation intuitive, c'est-à-dire à l'individualisation qualitative des types de gisements. Des organismes internationaux (notamment COGEODATA) se préoccupent de la corrélation quantitative des paramètres de gisement et d'environnement.

M. de Magnée.

Suivant qu'un même type de gisement est métamorphisé ou non, sa minéralogie est très différente. Dès lors, les caractères minéralogiques respectifs ne montreront guère de corrélation significative. L'analyse par grappes conduira donc à ranger ces deux sous-types dans des ensembles distincts. N'est-ce pas un inconvénient du système ? Peut-on y remédier sans perdre en objectivité ?

A. Bernard.

La transformation minéralogique de la paragenèse primaire va évidemment de pair avec la transformation métamorphique de l'environnement. Il n'est pas certain que la corrélation minéralisation/environnement s'affaiblisse, mais elle concerne certainement une expression différente de la concentration primaire : on aboutirait ainsi

à l'individualisation de sous-types, le type étant défini par l'ensemble gisement/environnement caractérisant le mieux la phénoménologie de la concentration primaire (le plus récent, ou, effectivement, le moins transformé).

M. Bartholomé.

La méthode de recherche proposée par M. Bernard est cependant du plus haut intérêt. Toutefois, elle risque de se heurter à un écueil. En effet, tandis que les observations faites à petite échelle (par exemple les déterminations minéralogiques et de paragenèse), présentent une reproductibilité élevée, celles qui sont faites à grande échelle, sont, comme chacun le sait, peu reproductibles; car en fait, ce sont plutôt des interprétations basées dans la plupart des cas sur un grand nombre d'observations élémentaires. Des corrélations entre caractères qui ne peuvent pas être déterminés avec une grande reproductibilité, risquent d'avoir peu de signification. L'affleurement paraît être le plus grand objet géologique dont les caractères peuvent dans la plupart des cas être déterminés avec une grande reproductibilité.

M. Jedwab.

Suite à l'intervention du Prof. Bartholomé et sur l'exemple précis de la difficulté de reconnaître objectivement des actions tectoniques, on souligne l'intérêt qu'il y aurait à mesurer systématiquement les volumes de pores et fissures d'échantillons recueillis sur affleurements (travaux de Goni, Ragot et Sima). Un effort de systématisation de la terminologie et des concepts utilisés par géologues, tectoniciens et physico-chimistes des solides (naturels et artificiels) serait urgent.

A. Bernard.

L'exemple de l'application de l'analyse de grappe aux gisements de Beryllium que j'ai emprunté à V. Sattran n'a d'autre objet que didactique : exprimer l'idée qu'il existe une certaine corrélation entre l'environnement et la

minéralisation pour chaque type de gisement. Intuitivement, de nombreux métallogénistes et géologues-miniers en sont persuadés et orientent certaines prospections en se fondant sur les caractères de l'environnement : ils utilisent une démarche indirecte.

Ceci dit, la démarche informatique qui implique introduction de données qualitatives ou quantitatives dans un traitement statistique soulève de nombreux problèmes dont je ne suis pas spécialiste. M. Bartholomé pose une question concernant la qualité de l'information (en l'occurrence appréciée à sa reproductibilité) en fonction de l'échelle analytique. Je le suivrai volontiers en reconnaissant qu'au niveau de l'élément chimique ou de l'espèce minéralogique voire de l'association minérale — quand l'affleurement est homogène — la reproductibilité est actuellement bien meilleure que celle relevant d'observations à grande échelle (1/1.000 à 1/1.000.000). C'est en partie ce que j'ai voulu souligner en m'élevant en revanche contre notre incapacité apparente à appréhender le fait géologique, c'est-à-dire à grande échelle. L'intervention de M. Jedwab me tranquillise : il est possible d'accéder aux propriétés « en grand » de la matière par intégration de mesures réalisées « en petit ». Je crois également, en deçà, que les cartes géologiques sont des documents qui relèvent d'échelle mégascopique et qu'ils présentent une certaine reproductibilité : c'est précisément dans le sens d'une amélioration de la qualité de l'information mégascopique, par la géologie, que j'ai présenté cette communication. Je crois en effet que l'opération est possible et, qu'à défaut, il nous resterait peut-être l'intégration de données élémentaires ou minéralogiques qui ressort de la compétence de l'ordinateur. Je crois surtout que bien que l'on connaisse parfaitement la structure du quartz, on ignore, la plupart du temps, la structure du banc de quartzite. Je crois enfin que chaque échelle phénoménologique comporte ses objets qu'il convient d'appréhender comme tels par des moyens analytiques directs : quoiqu'on puisse en penser, la

carte géologique et ses techniques, qui varient d'échelle à échelle, répondent encore le plus efficacement et le plus logiquement à cette sorte de problèmes épistémologiques.

M. Panou.

Dans les études géostatistiques, le choix du modèle statistique est, à mon avis, important. Peut-on être sûr a priori que deux modèles statistiques conduisent aux mêmes conclusions et sinon quel degré de confiance peut-on attribuer aux résultats quantitatifs obtenus à l'aide d'un tel schéma ?

A. Bernard.

Ce problème n'est important que dans la mesure où le choix d'un modèle statistique impose de longs et pénibles traitements. Si les modèles sont programmés et les résultats visualisables, le choix est pragmatique et a posteriori. C'est du moins, je pense, l'attitude du géologue-minier. Quant au fond, il nous faudra bien sûr réfléchir à votre question.

Dans cette optique et en ce qui concerne l'analyse de grappes, il me paraît utile de rappeler une réflexion de Sattran : il convient sans doute à partir de la matrice des caractères, du document brut, d'accorder plus d'importance aux caractères présents et à la similarité ou à la ressemblance qui leur accorde une importance judicieuse plutôt qu'aux caractères douteux ou absents sous crainte de créer des analogies fondées sur du vide. Pour être plus concret et sauf cas particuliers, il n'est pas logique, dans les domaines qui nous préoccupent, d'éliminer les cas défavorables quand la liste des possibilités n'est pas exhaustive : la démarche est toujours plus longue et fastidieuse que celle qui consiste à mettre d'abord en évidence les cas favorables et ce pour des résultats a priori identiques ou, pour le moins, peu différents, pour un même ensemble de possibilités. En définitive, le critère est encore pragmatique !

Observations sur l'influence de l'environnement géomorphologique et climatologique sur la genèse des gîtes d'étain secondaires

L. KROL *

RESUME

On discutera les gîtes d'étain secondaires en Indonésie, en Malaisie, en Thaïlande et au Brésil. Etant donné la présence d'une minéralisation d'étain primaire et le fait que la surface d'érosion a rencontré la minéralisation primaire, deux facteurs sont d'une importance primordiale, à savoir, une morphologie mûre et un climat tropical humide. Dans ces conditions, l'altération due aux influences chimiques peut l'emporter sur l'érosion mécanique.

Par suite de cette altération, presque tous les minéraux furent dissous, à l'exception des plus persistants, comme la cassitérite et le quartz.

En raison de cette morphologie, les fleuves perdent une grande partie de leur pouvoir de transporter les solides plus grossiers et plus lourds.

Les minéraux lourds furent donc en grande partie relativement enrichis in situ par la dissolution de tous les autres minéraux, mais également par prélèvement dans de l'eau de minéraux légers, grain fin, comme, par exemple, l'argile et le sable quartzeux fin.

Le plus souvent il n'est donc pas question de transport de la cassitérite sur de grandes distances.

En principe, ces gisements d'étain sont résistants, bien que d'autres processus de concentration exogène aient également pu jouer un rôle. Parmi ces processus, on relève l'abrasion causée par la transgression marine, des phénomènes de cristallisation et une tectonique récente.

SAMENVATTING

Worden besproken : de secundaire tinafzettingen in Indonesië, Maleisië, Thailand en Brazilië.

Gelet op de primaire tinmineralisering en het feit dat het erosieoppervlak in contact is gekomen met de primaire mineralisering zijn twee factoren van fundamenteel belang, nl. een voltooide morfologie en een vochtig tropisch klimaat. In die omstandigheden kan de scheikundige verwerking het winnen van de mechanische erosie.

Bijna alle mineralen werden als gevolg van deze verwerking opgelost, de duurzaamste zoals tinerts en kwarts uitgezonderd.

Omwille van deze morfologie waren de stromen voor een groot deel niet meer in staat de grovere en de zwaardere vaste stoffen te vervoeren.

De zware mineralen werden dus grotendeels in situ verrijkt door de oplossing van alle andere mineralen, maar eveneens door het transport in water van fijnkorrelige, lichte mineralen, zoals bijvoorbeeld klei en fijn kwartshoudend zand.

In de meeste gevallen is er dus geen sprake van dat cassiteriet over grote afstanden zou zijn vervoerd.

Deze tinafzettingen zijn in principe residuair alhoewel ook andere processen van exogene concentratie een rol hebben kunnen spelen. Van deze processen worden genoemd de abrasie, die door transgressie van de zee werd veroorzaakt, de karstverschijnselen en een recente tektoniek.

INHALTSANGABE

Thema dieses Aufsatzes sind die sekundären Zinnvorkommen in Indonesien, Malaya, Thailand und Brasilien. Sie gehen auf primäre Zinnvererzungen zurück, bis zu deren Oberfläche die Erosion vorgedrungen ist. Infolgedessen spielen zwei Faktoren eine entscheidende Rolle : die reife Morphologie und das feuchte tropische Klima. Unter diesen Voraussetzungen kann die Verwitterung durch chemische Einwirkung einen stärkeren Einfluß ausüben als die Erosion. Fast sämtliche Mineralien, mit Ausnahme der widerstandsfähigsten wie Zinnstein und Quarz, sind durch die Verwitterung zersetzt worden. Infolge dieser Morphologie sind die Flüsse zum großen Teil nicht mehr imstande, die gröberen und schwereren Feststoffe mitzunehmen. So kommt es, daß man die schweren Mineralien an Ort und Stelle in verhältnismäßig hohem Grade angereichert findet, nicht nur infolge der Auflösung der anderen Minerale, sondern auch dadurch, daß die leichteren und feinkörnigen wie Ton und Quarzsand vom Wasser weggespült worden sind. Nur in Ausnahmefällen wird der Kassiterit über größere Entfernungen weggeschwemmt.

Im wesentlichen handelt es sich bei diesen Zinnvorkommen um residuale Lagerstätten, obwohl auch andere exogene Konzentrationsvorgänge bei ihrer Bildung eine Rolle gespielt haben können, wie Abrasion durch marine Transgression, Verkarstung und jüngste Tektonik.

Je considère comme un grand honneur l'invitation que vous m'avez adressée, en tant que géologue praticien, à donner une conférence à cette réunion d'hommes de métier, ingénieurs des mines et géologues belges.

Je dois vous avouer que ce n'est pas sans quelque inquiétude que je me trouve en votre présence. Surtout, parce que pour la première fois de ma vie, je dois faire une conférence en langue française, langue que j'admire entre toutes à cause de sa beauté d'expression et son harmonie, mais que j'ai appris à craindre pendant les examens auxquels j'ai dû me présenter au lycée.

Je voudrais consacrer mon attention à plusieurs types de gisements d'étain secondaires que j'ai pu étudier au cours de mes trente-deux années d'expérience de géologue spécialisé dans la géologie de l'étain. Toutefois, l'étude de ces gisements ne comprend même pas les minerais d'étain secondaires du Zaïre et du Ruanda.

SUMMARY

Secondary tin deposits in Indonesia, Malays, Thailand and Brazil will be discussed.

Postulating the presence of a primary mineralization of tin and the fact that the erosion surface has encountered this primary mineralization, two factors are of prime importance, namely, a mature morphology and a humid tropical climate. In these conditions, the alteration due to chemical influences may be of greater importance than the mechanical erosion.

As a result of this alteration, nearly all the minerals were dissolved, with the exception of the most resistant, such as cassiterite and quartz.

On account of this morphology, the rivers lose a good deal of their transporting power of the large and heavier solids.

The heavy minerals were therefore, for the most part, relatively enriched in situ by the dissolution of all the other minerals, but also by the removal by water of the light, fine-grained minerals, such as clay and fine quartz sand.

In most cases therefore, cassiterite has not been transported over great distances.

Generally speaking, these tin deposits are residual, though other processes of exogenous concentration may also have an influence. Among these processes, is that of abrasion caused by marine transgression, phenomena of karstification and recent tectonics.

Je voudrais vous exposer quelque chose sur les conditions de concentration favorables, telles que j'ai appris à les connaître en Indonésie, en Malaisie et en Thaïlande. Dans tous ces pays et dans tous ces gisements dont je vais parler, il y a deux facteurs qui ont joué un rôle principal, à savoir la climatologie et la géomorphologie. L'altération dans les zones tropicales humides a joué un rôle important dans la dissolution chimique de presque tous les minéraux pour ne laisser que les plus résistants, tels que le quartz, la cassitérite, la monazite, l'ilménite, le zircon, la tantalite, la colombite, etc.

La géomorphologie a joué un rôle important en ce sens que ce n'est que dans les formes de paysage géomorphologiquement mûres que l'altération chimique peut l'emporter sur l'érosion mécanique. Les éléments chimiquement dissous sont transportés dans l'eau souterraine vers les fleuves et la mer. Les fleuves ont perdu leur pouvoir de transporter les débris lourds ou grossiers. Ces fleuves ne transportent que l'argile et le sable.

ans toutes les régions que je vais discuter, de
ix paysages très mûrs et souvent même la
éplaine se manifestent. Il se peut que dans
régions d'autres facteurs aient également joué
rôle, tels que, par exemple, l'abrasion causée
une mer transgressive, les phénomènes de
viation se produisant dans des calcaires et
ablement même une tectonique de failles
ente.

INDONESIE

Nous avons affaire à une vieille surface terres-
(pénéplaine) dont les parties basses, de vieil-
vallées formées par des rivières aussi bien que
interfluves sont couverts de sédiments du
aternaire et probablement même du Tertiaire.
es concentrations de cassitérite s'y présentent
deux façons, à savoir :

Une concentration de base se trouvant sous les
sédiments récents et directement sur le « bed-
rock » profondément altéré et se composant de
granites ou de quartzites, de grès et de schistes
argileux, appartenant au paléo-mésozoïque;
c'est le « kaksa » des mineurs chinois;

Une concentration interstratifiée dans les sédi-
ments de couverture, rarement de grande
importance dans les îles de Billiton et de
Singkep, bien que cette concentration revête
une grande importance dans l'île de Banka.
Par le passé, ce « kaksa » a donné lieu à un
grand nombre de controverses parmi les
savants. Essentiellement, le « kaksa » est une
brèche ou un conglomérat de base se compo-
sant de grains quartzeux grossiers et angulai-
res et de morceaux angulaires de quartz filo-
nien aussi bien que de tous les minéraux résis-
tant à l'altération. Pour la plupart, ces miné-
raux sont également angulaires et peu arron-
dis. Quelquefois, on y trouve aussi des concrét-
ions de bauxite et quelques cailloux arrondis
de quartz et de tourmalinite, la bauxite pro-
venant de la vieille croûte latéritique, tandis
que les derniers proviennent de périodes
antérieures d'érosion (fig. 1).

Cette brèche ou ce conglomérat de base se
trouve presque partout, mais n'est riche en cas-
sitrite que là où dans le bedrock il y a des
minéralisations de cassitérite sous forme de grei-
sen, sous forme de filons de quartz/cassitérite/
topaze dans des granites et sous forme de filons
de cassitérite/sulfures ou d'une foule de petits
filons de quartz/cassitérite dans les sédiments
paléo-mésozoïques. Dès lors, la richesse du kaksa
est de toute évidence liée à la présence d'une
minéralisation stannifère primaire dans le sous-
sol.

Les îles de Billiton, Banka et Singkep sont les
parties élevées, non-englouties du vieux plateau
de la Sonde, pénéplaine datant du Tertiaire.

Comme je l'ai déjà dit, le bedrock est partout
profondément altéré. Il s'agit d'une pénéplaine, à
morphologie fort avancée/très mûre, formée dans
un climat tropical; un terrain dans lequel l'éro-
sion chimique l'avait emporté complètement sur
l'érosion mécanique et où les fleuves avaient
perdu leur pouvoir de transporter des débris
grossiers et des minéraux lourds.

Ce fut le docteur J.W.H. Adam, ancien géolo-
gue en chef de la Société Billiton, qui, en 1932,
expliqua à partir de la climatologie et de la géo-
morphologie la genèse des gisements de vallée
secondaires. Pour cette raison, il considéra ces
minerais comme des *dépôts terrestres résiduels*,
dépôts, qui, pour ainsi dire, furent formés à la
surface. Il a donc repoussé les théories qui
étaient basées sur une origine alluviale ou fluvia-
tile. Une définition fut formulée par lui en peu
de mots, à savoir :

- 1) *Concentration résiduelle est érosion sélective.*
- 2) *Concentration alluviale (fluviale) est sédi-
mentation sélective.*

Dans le premier cas, les minéraux non résis-
tants furent dissous et transportés en solution,
tandis que les restes non dissous pour la plupart
légers furent enlevés par de l'eau courante sous
forme d'argile et d'éléments fins. Les débris plus
grossiers et les minéraux résistants lourds ne
furent pas ou à peine transportés. *Les concentra-
tions sont résiduelles.*

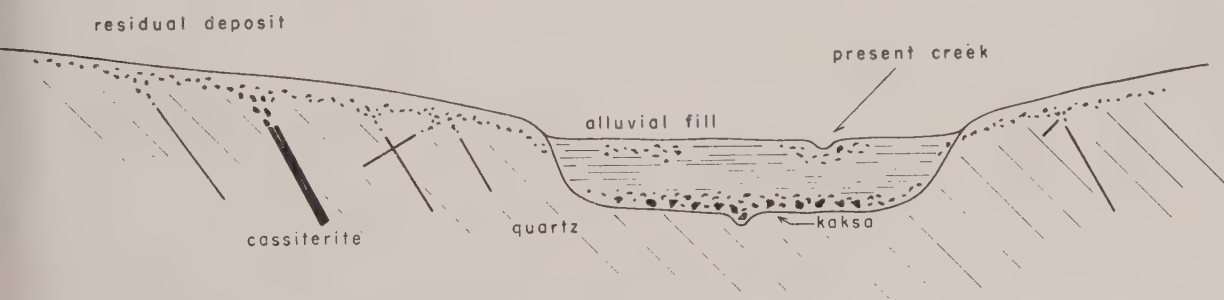


Fig. 1.

Coupe transversale d'une vallée caractéristique de l'île de Billiton, Indonésie.

Dans le second cas, cette dissolution joue un rôle moins important. Les fleuves avaient encore un pouvoir de transport et les minéraux plus grossiers et plus lourds ainsi transportés furent déposés dans des lieux propices. Il était donc bien question de transport par les fleuves et il s'agit donc ici de véritables dépôts alluviaux/fluviaux.

Les concentrations interstratifiées ne s'expliquent pas si facilement. Probablement, elles tirent leur origine d'éluvions riches en cassitérite qui descendirent par « creep » dans les vallées et puis furent lavées par le fleuve sans pourtant être transportées sur une grande distance.

MALAISIE

Dans ce pays également, les plaines côtières occidentales et orientales fournissent des indications nettes de paysages mûrs et vieux, séparés au milieu par une chaîne de montagnes qui a résisté à l'érosion pendant le Tertiaire et le Quaternaire.

Dans ce pays aussi, l'on constate en de nombreux endroits les mêmes phénomènes de concentration que ceux qui se présentent dans les îles indonésiennes, de sorte qu'il n'est pas nécessaire de les décrire encore une fois. En Malaisie aussi, le « kaksa » constitue la concentration de base. Les concentrations interstratifiées s'y présentent aussi, bien qu'elles ne contribuent à la production d'étain qu'à un degré limité.

En Malaisie également, la minéralisation pri-

maire est constituée par la greisenisation du granite; cependant, il se présente un phénomène nouveau sous la forme de granite aplitique minéralisé, riche en albite, d'un plus grand nombre de pegmatites contenant de la cassitérite, ainsi que de petits filons quartzeux de cassitérite/topaze dans le granite et dans des schistes et des grès paléo-mésozoïques. Cependant, les calcaires vont maintenant jouer un rôle important dans la formation de gisements d'étain secondaires et ce sont surtout les gisements de Kinta Valley qu'il y a lieu de discuter.

Il est bien remarquable que des publications récentes dans le domaine de la géologie concentrent si peu d'attention à cette vallée qui contient les plus grands gisements d'étain secondaires interrompus du monde et qui, sans doute, compte pour elle seule pour une très grande partie de la production mondiale. Depuis Scrivenor, qui y travaillait pendant les années vingt et trente, personne n'a plus fait de synthèse à ce sujet. Sur ce sujet de cette vallée, mes observations se basent sur une dizaine de visites que j'ai faites à quelques mines se trouvant dans cette région, entre les années 1948 et 1968.

Mais d'abord, quelques données statistiques. Kinta Valley est longue de 60 km, tandis que sa largeur varie entre 5 km et 18 km. Autant qu'on sache à présent, sa production totale annuelle monte à environ 2 M tonnes d'étain métal.

La figure 2 illustre par des coupes verticales la situation géologique. Nous avons affaire à

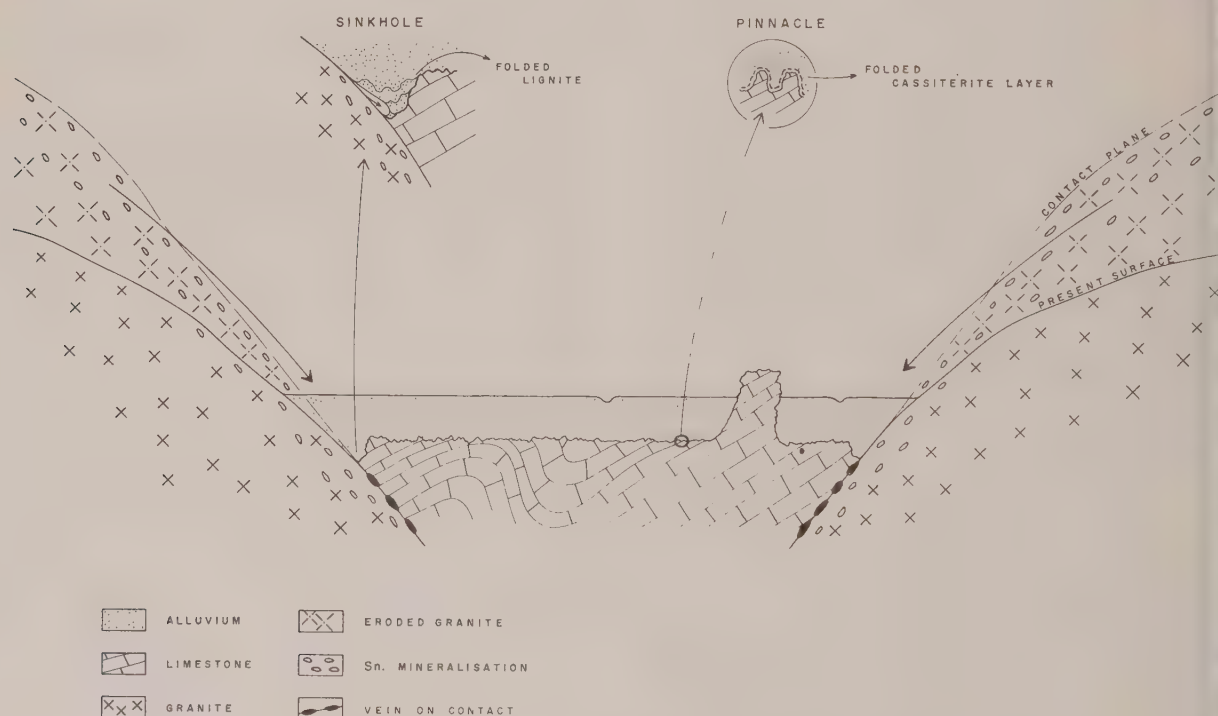


Fig. 2.

Vallée Kinta — Coupe explicative idéalisée.

ée large à fond plat dans laquelle un fleuve, s la mesure où il n'est pas encore canalisé, le lentement vers le sud en décrivant des andres. Des deux côtés, cette vallée est flan- e de collines granitiques profondément alté- s. En quelques endroits, des schistes paléozoï- s prennent la place du granite. Les alluvions composent de couches de sable quartzeux gros- alternant avec des argiles et des argiles rtzeuses. Sous cette alluvion on trouve le plus vent du calcaire affecté de phénomènes karsti- s : dolines, champs de lapiés et structures en uilles.

Le long des côtés de la vallée, contre les gra- es, on trouve des cavités très profondes, eignant parfois des profondeurs de plus de 0 m, dues à la dissolution. Elles sont parallèles bord de la vallée, remplies d'argile et de sable, is aussi de lignite (tourbe) et d'éboulis de nites altérés. Mais où trouvons-nous les con- tractions de cassitérite ?

Une concentration dans la partie supérieure altérée des granites sur les pentes dominant le fond de la vallée.

Des concentrations dans plusieurs horizons des sédiments qui remplissent les cavités creusées par la dissolution le long des bords de la val- lée. Quelquefois, ceci se manifeste très claire- ment dans les glissements (éboulements) du granite altéré auxquels j'ai déjà fait allusion. Il faut également relever le fait que les ligni- tes sont, pour ainsi dire, plissées dans ces cavités par suite de l'effondrement inégal.

Enfin, un type de concentration de base (le « kaksa ») sur le bedrock calcaire, en cou- che d'allure souvent plissée, pour ainsi dire, en épousant les contours des lapiés. Ceci indi- que que le « kaksa » existait avant que la dis- solution ne commence et que, de fait, le pseudo-plissement représente un effondrement ultérieur.

En général, on constate ici également qu'il n'est question de transport sur de grandes distan- ces pour aucune des trois formes sous laquelle les concentrations se présentent. Partout, la plu- rt des minéraux lourds concentrés sont en ins anguleux et ne montrent pas signe d'abra- sion due au transport.

Ceci se comprend lorsqu'il s'agit des éluvions sur les pentes granitiques et les concentrations d'étain dans les cavités dues à la dissolution le long des bords de la vallée.

Il est plus difficile d'expliquer la concentration de base au centre de la vallée. Le fait est qu'il est difficile d'envisager une concentration fluvia- ire comme étant le seul facteur entrant en jeu. C'est pour cette raison que je regrette que si peu

soit encore connu de l'histoire géologique et géo- morphologique de la Kinta Valley (*).

Scrivenor a suggéré pour la Kinta Valley une structure d'effondrement (« graben ») dans laquelle, pendant une certaine période, la mer transgressait, de sorte qu'il se peut que le fond antérieur à la formation du karst ait été une plate-forme d'abrasion et que la concentration de base soit donc une concentration sur cette plate- forme d'abrasion marine.

Quoi qu'il en soit, il y a de nouveau deux fac- teurs principaux qui ont joué un rôle, à savoir la *climatologie* et la *géomorphologie*. La facilité avec laquelle le calcaire se dissout a joué un rôle supplémentaire dans le processus de concentra- tion.

THAILANDE

En ce qui concerne la Thaïlande, je voudrais me limiter à la côte occidentale, c'est-à-dire à la bande côtière le long du Golfe du Bengale, région qui fournit une partie considérable de la produc- tion d'étain du pays.

Ici, nous avons également affaire à une chaîne de montagnes centrale, accusant des formes d'éro- sion récente, tandis qu'à l'ouest il se trouve une plaine avec des monadnocks formés de schistes et de quartzites appartenant à la série de Phuket, dont l'origine remonte peut-être au Silurien. Dans cette région, la minéralisation primaire est entièrement liée au granite et aux pegmatites qui pénètrent dans la série de Phuket non loin du contact.

Le granite à l'est a été minéralisé sous forme de cassitérite dans une zone marginale aplitique, riche en albite, du granite. Le granite a été com- plètement altéré jusqu'à une profondeur de plus de 10 mètres. On exploite non seulement les élu- vions enrichies mais aussi le granite altéré in situ se trouvant au niveau des crêtes.

La morphologie mûre ainsi que la lixiviation intense se produisant sous les tropiques ont pro- voqué cette altération profonde. Elle a formé des éluvions riches, mais aussi un enrichissement relatif dans le granite altéré lui-même.

Néanmoins, les concentrations de minerai d'étain dans les alluvions récentes couvrant la série de Phuket stérile sont aussi très importan- tes. Ici, la cassitérite doit avoir été transportée d'ailleurs.

(*) Après avoir préparé cet exposé j'ai lu un article par R.A. Newell dans le Bulletin no. 4 de la « Geological Society of Malaysia », publié en juin 1971, qui sur la base d'explorations sédimentologiques des alluvions de Kinta Valley arrive à la conclusion que « the placer tin deposits are thus believed to have formed under fluvial conditions ».

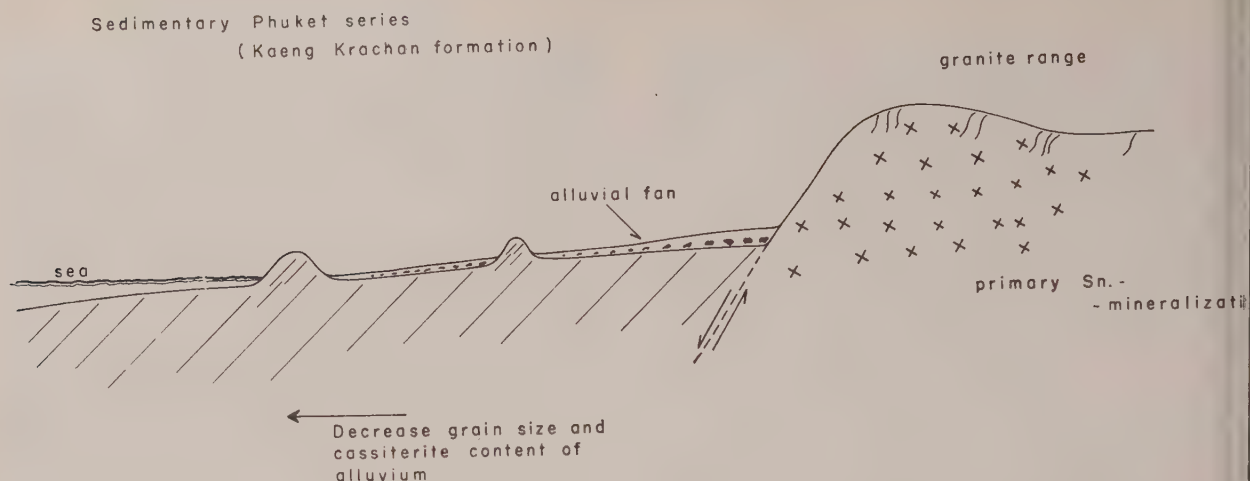


Fig. 3.

Coupe transversale schématique à travers la région de Ranong, Thaïlande occidentale.

Sur le terrain l'on constate l'existence d'une faille récente le long de laquelle le granite s'élève au-dessus de la plaine en pente rapide, le granite dur, pratiquement inaltéré, se trouvant à l'est et le granite profondément altéré sur le côté ouest, au toit de la faille. Dans le granite, l'on distingue encore clairement des vallesuses (vallée suspendue). La faille est donc encore très récente et remonte probablement au Pliocène/Pléistocène.

La couche alluviale au pied du granite se compose de gros blocs granitiques et de gros sables quartzeux accompagnés de cassitérite. Vers l'ouest, le nombre de gros blocs et de gros cailloux diminue rapidement, et la même chose s'applique au sable quartzeux et à la cassitérite. Les sédiments deviennent plus argileux. Ici, également, l'on trouve le plus de cassitérite et certainement la plus grosse en dessous du profil alluvial. Ceci se comprend, étant donné qu'après que la faille se fut formée, le paquet de granite altéré, riche en étain, fut enlevé par érosion et déversé sur la pénéplaine côtière (fig. 3).

La genèse est à mon avis fort claire. La région était autrefois une pénéplaine située pratiquement au niveau de la mer. La série de Phuket et le granite intrusif étaient profondément altérés. La cassitérite se concentrait principalement sur et autour du granite minéralisé; elle revêtait alors un caractère nettement résiduel.

La faille récente, qui éleva le granite d'au moins 100 mètres, perturba l'équilibre morphologique. L'érosion mécanique accélérée attaqua l'épaisse couverture détritique et la déversa sur la plaine de la série de Phuket, sur une largeur de quelques kilomètres.

Ici, nous avons donc maintenant affaire à des minerais d'étain transportés par voie fluviatile et sédimentés, ce qui a été rendu possible grâce à des mouvements tectoniques récents.

La pénéplaine de la série de Phuket a été inclinée pour la plus grande partie par la mer progressant vers le sud, probablement à une époque subactuelle. En un seul endroit, le granite minéralisé était tout juste entamé par la plaine d'érosion de la pénéplaine. La mer transgressive inclina une plate-forme d'abrasion dans le granite profondément altéré et concentra la cassitérite dans une formation de base qui fut bientôt recouverte de sédiments marins plus jeunes. Cette concentration de base reste limitée aux zones à sous-granitique et n'a été trouvée que rarement sur la série de Phuket.

Ici, nous avons donc de nouveau affaire à une genèse nettement résiduelle à la surface, suivie d'une abrasion causée par une transgression marine.

BIBLIOGRAPHIE

- ADAM, J.W.H., 1932-1933.
Kaksa-Genese.
De Mijnningenieur van Ned.-Indië, 1932, No. 1933, Nors. 1, 2, 5.
- ARANYAKANON, P., 1961.
The cassiterite deposit of Haad Som Pan, Ranong Province, Thailand.
Royal Dept. of Mines, Bangkok.
Report of Investigation, No. 4.
- GRABERT, H., 1966.
Die neue Zinnerz Provinz Rondônia.
Zeitschr. für Erzbergbau und Metallhüttenw. 19, No. 3, pp. 398-399.
- INGHAM, F.T., BRADFORD, E.F., 1960.
Geology and Mineral resources of the Kinta Valley, Perak.
Federation of Malaya Geological Survey — District Memoir, 9.
- KROL, G.L., 1960.
Theories on the genesis of « kaksa ».
Geologie en Mijnbouw, 39ste Jaargang, No. 10.

INGGREN, P., 1964.

The tin deposits of Rondônia, Brazil as compared with the Bolivian Tin Mineralization.

Geol. Föreningens i Stockholm Förhandlingar, Vol. 85, pp. 431-435.

WELL, R.A., 1971.

Characteristics of the stanniferous alluvium in the Southern Kinta Valley, West Malaysia.

Geological Society of Malaysia — Bulletin No. 4.

OVEREEM, A.J.A. van

The geology of the cassiterite placers of Billiton (Indonesia).

Geologie en Mijnbouw, 39ste Jaargang, No. 10.

SCRIVENOR, J.B., 1931.

The geology of Malaya.

SCRIVENOR, J.B., 1928.

The Geology of Malayan Ore Deposits.

DISCUSSION

Raucq

Je tire l'attention sur deux faits observés au Manie (Zaïre), dans un district stannifère également en forêt équatoriale, et qui se rattachent à ceux qui viennent d'être exposés, sans être exactement semblables :

L'existence fréquente, dans des dépôts dits « éluviaux », d'une couche de *gravier roulé* (jusqu'à 2 m) correspondant à des niveaux de haute terrasse, surmontant un colluvium riche, souvent épais de plusieurs mètres, à quartz anguleux et à cassitérite avec formes cristallines : ce colluvium est enrichi pratiquement sur place par départ de substances solubles ou très fines (argileuses et sableuses).

La présence d'un réseau serré de vallées sèches correspondant à des bandes enrichies en cassitérite (« placers »); c'est dû à l'enlèvement des mêmes matériaux par les eaux d'infiltration circulant au-dessus du bedrock pourri (granite ou schiste), mais en place; la cassitérite peut y être légèrement usée (publication de 1949).

Krol

Je vous remercie cordialement d'avoir bien voulu compléter mes observations.

Malheureusement, je ne connais pas les gisements de minerai d'étain secondaire en Zaïre.

Dans la littérature technique à ce sujet, je crois avoir retrouvé la présence d'une ou de plusieurs phases de pénéplaine.

Ici il s'agit donc de nouveau d'une morphologie propre sous les tropiques, qui créa les circonstances favorisant le dégagement des minéraux lourds aboutissant à une concentration résiduelle.

Naturellement, il est possible que grâce à des mouvements tectoniques plus récents, il y eût une érosion renouvelée, amenant :

une concentration de cassitérite dans les vallées plus récentes;

la couverture de colluvium par du gravier roulé provenant d'une phase d'érosion mécanique.

Mais, comme je vous l'ai déjà indiqué, je ne

connais pas le Zaïre, ce qui dicte une certaine prudence dans mes conclusions.

J. Snoep

Comment la concentration s'opère-t-elle dans la nouvelle province stannifère de l'Etat de Rondônia (Brésil) ?

G. Krol

Brésil

Nous nous trouvons ici dans le bouclier de l'Anté-Cambrien du Brésil. L'on y constate de nouveau l'existence d'une très vieille pénéplaine. Dans cet Anté-Cambrien figurent des granites intrusifs (âgés de 950.10⁶ ans) qui furent également entamés par la surface de la pénéplaine. Parmi ces granites il y a quelques granites stannifères. Nous constatons donc qu'il y a des rapports étroits entre les gisements d'étain secondaires et l'affleurement de ces granites. Ce n'est que très rarement que ces gisements d'étain se trouvent en dehors des contacts des granites.

La toute première impression des vieux géologues de la Billiton n'admettait pas de doute. Une pénéplaine se trouvant dans un climat tropical humide, des gisements secondaires nettement liés à la minéralisation primaire dans ces granites stannifères. La conclusion dès lors s'imposa : une concentration résiduelle ! Et ceci correspondait avec le premier gisement étudié par nous.

Il y avait clairement une concentration de base avec de gros morceaux de quartz, avec beaucoup de cassitérite, toujours anguleuse, et contenant, assez singulièrement, des cristaux de topaze, dont le diamètre atteint jusqu'à 2 à 3 centimètres. Par endroits, la concentration de base se trouvait presque à la surface sous quelques décimètres de sédiments, ces vallées peu accusées se distinguant par une végétation dense. On se serait cru sur la pénéplaine du plateau de la Sonde avant la mise en place des sédiments récents terrestres ou marins. Un examen ultérieur, pourtant, démontra qu'il y avait encore une autre espèce de gisement d'étain secondaire d'une plus grande envergure, mais accusant une sédimentologie tout à fait différente.

Nous avons examiné une vallée relativement étroite où nous trouvâmes un placer riche avec une concentration de base, mais également une concentration interstratifiée. Sur les versants de la vallée on avait fait des forages à faible profondeur, qui montrèrent un exemple d'une terre composée de schistes ou de granite, non stratifiée et altérée in situ. Par conséquent, des éluvions normales avec un peu de cassitérite à grain fin.

La surprise ne se présenta que lorsqu'on fit des travaux préparatoires à l'exploitation en creusant un canal pour détourner les eaux de la rivière. La terre altérée parut avoir un caractère nettement sédimentaire caractérisé par des argiles latéritiques tachetées, peu stratifiées et contenant des lentilles et des couches de gros sables quartzes et de sables argileux avec une stratification bien marquée. Dans les sables et les argiles quartzes on trouvait souvent de riches concentrations de cassitérite (grosse et fine < 3 millimètres). Néanmoins, dans les argiles on trouvait

également par endroits de la grosse et de la fine cassitérite. La vallée examinée primitivement représente donc une incision plus récente dans le remblaiement d'une vallée plus vieille et plus large.

Ceci ne serait pas tellement étrange en soi, si l'on n'avait pas plus tard relevé le fait qu'en d'autres endroits cette sorte de dépôt se trouvait aussi dans des dépressions de la pénéplaine et également dans les interfluvies actuels.

En outre, la sédimentologie que j'ai déjà signalée, en particulier celle des argiles latéritiques contenant de la cassitérite, était étrange, moins pour nous, géologues de la Société Billiton. Nous n'avons pas encore d'explication bien claire. Probablement, devons-nous envisager la *solifluction* d'un sol profondément altéré le long de faibles pentes, dans les bas-fonds desquels des courants d'eau peu importants et divagants («braided») formèrent les lentilles de sable avec leur concentration de cassitérite.

Les conceptions métallogéniques nouvelles et leur influence sur la stratégie et la tactique de la prospection minière

de MAGNEE *

RESUME

En matière de production de métaux, la prépondérance va de plus en plus à l'exploitation des gisements sédimentaires ou du moins liés à la stratification, aux dépens de celle des gisements du type filonien.

Parallèlement, l'effort de prospection et aussi les recherches métallogéniques qui lui servent de point de départ, portent de plus en plus sur les gisements stratiformes, dont plusieurs types nouveaux ont été reconnus dans toutes espèces de roches sédimentaires et dans leurs équivalents métamorphiques. Pour d'autres types, l'interprétation a profondément évolué.

La plupart de ces gisements sont liés à des milieux sédimentaires formés en bordure de terres émergées soumises à l'altération et l'érosion. Certains sont dus à l'émersion temporaire elle-même. Leur localisation dépend, d'une part, du « stock géochimique » remis en mouvement à la faveur de l'érosion, d'autre part, de l'existence momentanée de « pièges » comparables aux « stratigraphic traps » des pétroliers.

La stratégie de la prospection minière consiste dès lors à rechercher, pour chaque époque géologique, les zones côtières favorables, sans exclure les îles et les lacs. Pour les métaux chalcophiles, la précipitation aux dépens de solutions très diluées n'est efficace qu'en milieu réducteur, dont l'existence est liée à la pullulation biologique, c'est-à-dire en gros aux facteurs qui par ailleurs déterminent la formation de pétrole.

Il ne faut donc pas s'étonner de ce qu'il existe,

SAMENVATTING

Inzake ertsproduktie krijgt de ontginning van sedimentaire afzettingen of afzettingen die ten minste met de gelaagdheid verbonden zijn, steeds meer de bovenhand op de ontginning van afzettingen van het adertype.

Parallel hiermee hebben de prospektie-inspanning en ook het metallogenetisch onderzoek dat het vertrekpunt ervan is, meer en meer betrekking op de gelaagde afzettingen, waarvan verscheidene nieuwe types werden erkend in allerlei sedimentaire gesteenten en hun metamorfe equivalenten. Voor andere types is de interpretatie grondig veranderd.

Het merendeel van deze afzettingen is verbonden met de sedimenten die zich hebben gevormd aan de kust van continenten en eilanden die aan vertering en erosie onderhevig zijn. Sommige moeten aan tijdelijke emersies zelf worden toegeschreven. Enerzijds is hun lokalisering afhankelijk van de « geochemische stock » die zich door toedoen van de erosie opnieuw in beweging heeft gezet, anderzijds van het kortstondig bestaan van « vallen » die met de « stratigraphic traps » van de petroleumgeologie kunnen worden vergeleken.

De strategie van de mijnprospektie bestaat dus in het bepalen van de gunstige kustzones voor elk geologisch tijdperk. Voor de sulfiden is de bezinking ten koste van zeer verdunde oplossingen slechts doeltreffend in een reducerende sfeer, waarvan het voorkomen verbonden is met een zeer sterke biologische groei d.w.z. grosso modo met de factoren die elders de petroleumvorming bepalen.

à toutes les époques, une coïncidence géographique entre bassins pétroliers et certaines provinces de gisements sulfurés stratiformes, car les deux jalonnent les anciennes ceintures tropicales, tout comme le font les édifices coralliens. Les importants changements de latitude liés à la dérive continentale ont déplacé et morcelé ces ceintures, mais les résultats des méthodes paléomagnétiques et paléoclimatiques permettent maintenant de les reconstituer.

Quant à la tactique de la prospection, elle dérive essentiellement de la nature des pièges considérés, de la minéralogie des gisements et des climats anciens et actuels. C'est ici que le géologue de terrain reprend tous ses droits, car il s'agit non seulement de lever en détail les horizons favorables, mais aussi de reconstituer l'environnement paléogéographique et d'en déduire la situation hydrologique ancienne.

Ce travail nécessaire n'est cependant pas toujours possible, faute d'affleurements. Même s'il est possible, il conduit rarement à des découvertes directes, car la majorité des gisements qui restent à découvrir n'affleurent pas, qu'ils soient « aveugles » ou cachés par des recouvrements discordants.

Mais il conduit à des cartes prévisionnelles, qui circonscrivent les zones où seront appliquées avantageusement les méthodes géochimiques et géophysiques, les premières plus efficaces dans les zones chaudes et tempérées, les autres dans les zones froides.

Le choix de la méthode optimale et de la densité de mesure, la délimitation des périmètres à étudier et finalement l'interprétation des résultats en termes concrets, font aussi partie des responsabilités du géologue de terrain.

Les vieilles régions minières, réputées épuisées, constituent souvent des objectifs intéressants, car elles peuvent contenir des gisements stratiformes dont la nature et la géométrie avaient échappé aux anciens mineurs. Certains horizons peuvent contenir en quantités intéressantes un métal qui n'était pas valorisé ou encore une teneur en métaux considérée à l'époque comme trop basse, ou enfin des minerais présentant des difficultés de traitement métallurgique qui n'étaient pas surmontées.

INHALTSANGABE

Was die Metallerzeugung betrifft, bevorzugt man mehr und mehr den Abbau der sedimentäre oder am wenigstens schichtgebundenen Lagerstätten, in Gegensatz zu den Ganglagerstätten.

Man versucht ebenfalls die Prospektion und die metallogenetischen Untersuchungen, die als Ausgangspunkt benutzt werden, auf die schichtkonkor-

Het hoeft ons dus niet te verwonderen dat in alle tijdperken een geografische samenhang bestaat tussen petroleumbekkens en sommige gelaagde zwavelige afzettingsprovincies want beide bakenen de oude tropische gordels af, helemaal zoals dat met de koraalkonstrukties het geval is. De belangrijke breedtewijzigingen die verbonden zijn met de continentale verschuiving, hebben deze gordels verplaatst en verbrokken maar met de uitslagen van de paleomagnetische en paleoklimatologische methodes kunnen ze nu heropgebouwd worden.

Wat de taktiek van de prospektie betreft, zal worden voornamelijk afgeleid van de aard van de bestudeerde « vallen », van de mineralogie van de afzettingen en van het oude en het huidige klimaat. Hier herneemt de geoloog al zijn rechten want het gaat niet alleen om de gunstige lagen in detail op te tekenen, maar ook om de paleogeografische omgeving terug op te bouwen en er de oude hydrologische toestand uit af te leiden.

Dit noodzakelijk werk is echter niet altijd mogelijk omwille van gebrek aan ontsluitingen. Zelfs indien het mogelijk is, leidt het zelden tot rechte streekse ontdekkingen want het merendeel van de nog te ontdekken afzettingen zijn niet zichtbaar omdat ze « blind » zijn of door discordante overdekkingen verborgen.

Maar het leidt tot « prognostische » kaarten die de zones omschrijven waar de geochemische en geofysische methodes met voordeel zullen worden toegepast: de eerste doeltreffender in de warme en gematigde zones, de andere in de koude.

De keuze van de optimale methode en van de metingsdichtheid, de afbakening van de te bestuderen perimeters en uiteindelijk de interpretatie van de uitslagen in konkrete termen behoren ook tot de verantwoordelijkheden van de veldgeoloog.

De als uitgeput bekend staande oude mijnstreken vormen vaak interessante doelen want ze kunnen gelaagde afzettingen bevatten waarvan de aard en de geometrie eertijds aan de mijnwerkers zijn ontsnapt. Sommige lagen kunnen interessante hoeveelheden bevatten van een metaal dat destijds geen waarde had, of ook een gehalte metaal dat als te laag werd beschouwd, of ten slotte complex ertsen waarvoor de metallurgische behandeling moeilijkheden niet overwonnen waren.

SUMMARY

In the domain of ore production, increasing emphasis is given to sedimentary or at least stratiform deposits, at the disadvantage of the vein type ores.

Parallely, the prospection effort and the metallogenetic research on which it is based, bear more and more on stratiform deposits, several new type

zenten Lagerstätten zurück zu bringen. Mehrere neue Lagerstätten-Typen wurden in verschiedene Sedimenten und in ihren metamorphen Äquivalenten erkannt. Die Auffassung der Genese für anderen Typen hat sich völlig geändert.

Der grössere Teil dieser Lagerstätten sind in Beziehung zu den littoralen Sedimenten, gebildet am Rand des an Verwitterung und Erosion unterworfenen Festland. Einige wurden gebildet durch das vorübergehende Auftauchen der Sedimente. Die Lokalisierung hängt einerseits ab von dem geochemischen Stock » die durch die Erosion in Bewegung gebracht wird und anderseits von dem Vorhandensein von « Fallen » die man mit den stratigraphic traps » der Erdölgeologen vergleichen kann.

Die Strategie der Prospektion besteht seitdem im Auffinden, für jeden geologischen Zeitabschnitt, der günstigen Küstenzonen. Für die Schwermetallsulfiden ist die Niederschlagung nur wirksam in reduzierende Lösungen. Das Bestehen dieses Mittels steht in Verbindung mit dem biologischen Wuchern d.h. annähernd mit den Faktoren die die Erdölformation hervorbringen.

Man soll also sich nicht wundern über die Existenz einer geografischen Übereinstimmung zwischen Erdölbecken und bestimmten sulfidhaltigen sedimentäre Lagerstätten.

Beiden folgen die alten tropischen Zonen, so wie die korallischen Konstruktionen. Bedeutenden Verschiebungen in Beziehung zu dem Kontinentalverschiebung haben diese Zonen versetzt und zerstückelt, aber die Ergebnisse der paläomagnetischen und paläoklimatischen Methoden erlauben jetzt die Wiederherstellung.

Was die Taktik der Prospektion betrifft, Sie hängt hauptsächlich ab von der Natur der berücksichtigten « Fallen », von der Mineralogie der Lagerstätten und von der früheren und jetzigen Klimate.

Hier nimmt der Geolog alle seine Rechte weil es sich nicht nur handelt um die Bestimmung der günstigen Schichten, aber auch um das Wiederherstellen der paläografischen Umgebung und der alten hydrologischen Lage.

Diese notwendige Arbeit ist nicht immer möglich infolge Ausbissmangels. Wenn es aber doch möglich wäre, gelangt man selten zu direkten Entdeckungen weil der grössere Teil der Lagerstätten, die noch zu finden sind, nicht zu Tage streichen. Sie sind « blind » oder verborgen durch diskordante Bedeckungen.

Aber so entstehen Prognostische Karten die die Zonen ungrenzen wo die geochemischen und geophysikalischen Methoden vorteilhaft angewendet werden können. Die geochemischen Methoden sind wirksamer in wärmeren und gemässigten Klimata und die geophysikalischen in den kalten Zonen.

of which have been recognized in all types of sedimentary rocks and their metamorphic equivalents. For other types, the interpretation has deeply changed.

Most of these deposits are linked to coastal sediments. Some are due to temporary emergences within the sedimentary series. Their position depends partly on the « geochemical stock » set in motion again by the erosion, and partly on the momentary existence of « traps » comparable to the « stratigraphic traps » well known in petroleum geology.

The strategy of mining prospection consists thus in seeking, for each geological period, the favourable coastal zones. As to sulfides, precipitation from very diluted solutions is only efficient in a reducing medium, the existence of which is linked with biological hyperactivity i.e. in general with the factors which also determine the formation of petroleum.

It is not surprising therefore that, at all periods, there exists a geographical coincidence between petroleum basins and certain provinces of stratiform sulfide deposits, for both are to be found all along the old tropical belts, in the same way as coral formations. The important latitude shifts connected with the continental drift have displaced these belts and cut them up, but the results of paleomagnetic and paleoclimatic methods now enable us to reconstruct them.

The tactics of prospection derive essentially from the nature of the traps under consideration, the mineralogy of the deposits and the former and present day climates. Here the work of the field geologist is essential : he has not only to survey in detail the favourable horizons, but should also reconstruct the paleogeographic environments and derive the ancient hydrological situation.

This necessary work however is not always possible, for lack of outcrops. Even if it is possible, it rarely leads to direct discoveries, for the majority of the deposits still to be discovered do not outcrop, either because they are « blind » or because they are hidden by discordant covers.

But it does lead to prognosticative maps, which outline the zones where geochemical and geophysical methods could be profitably applied, the former being more effective in hot and temperate zones, the others in cold zones.

Der Geolog ist auch verantwortlich für die Wahl der optimalen Methode und des Vermessungsnetzes, für die Bestimmung der Grenze des Arbeitsgebietes und schliesslich für die konkrete Erklärung der Ergebnisse.

Die alten, vollständig ausgebeuteten Bergwerkgebiete bilden oft interessante Ziele, weil Sie manchmal schichtgebundenen Lagerstätten enthalten deren Natur und Geometrie von den alten Bergleuten nicht bemerkt wurden. Bestimmte Horizonte enthalten manchmal bedeutende Mengen eines Metalles, das keine Wert hatte oder ein Metallgehalt das man früher nicht hoch genug schätzte oder endlich Erze die Hüttenaufbereitungsschwierigkeiten gaben, die ehemals nicht gelöst wurden.

The selection of the best method, the measurement density, the delineation of the perimeters to be studied and eventually the interpretation of the results in concrete terms are also part of the field geologists responsibility.

Old mining areas, supposedly worked out, are often interesting targets, for they may contain stratiform deposits whose nature and geometry have been overlooked by the old miners. Certain horizons may contain, in considerable quantities, metal which had no value or was too low grade or else ores presenting metallurgical difficulties which were not solved.

INTRODUCTION

Les métallogénistes passent leur vie à essayer de faire mentir le dicton « Ore is where you find it ».

A cet effet et à grand renfort de méthodes ultra-modernes et de raisonnements savants, ils démontrent que le gisement se trouve bien là où il fallait s'y attendre en vertu de l'environnement géologique : « Ore is where it should be ».

Le malheur est que cette démonstration est faite a posteriori, sauf rares exceptions, et que dès lors les mineurs restent quelque peu sceptiques et les financiers réticents lorsqu'il s'agit de prévisions théoriques. Ils ont beau demander de l'imagination à leurs cadres, ils se défient de celle des géologues.

Par exemple les métallogénistes auront de la peine à décider leurs dirigeants à forer sur des sites qu'ils déclarent favorables, alors qu'il n'existe aucun indice en surface qui soit positif et spécifique. L'esprit de risque calculé, doublé d'une confiance frisant la crédulité, n'est pas très répandu dans la corporation minière.

Ce stade de prudence excessive est depuis longtemps dépassé en matière de prospection pétrolière et le métallogéniste envie donc son équivalent pétrolier et se félicite de ce que les grandes sociétés pétrolières aient décidé de se diversifier dans la direction des matières minérales solides, minerais y compris.

Il serait fastidieux d'énumérer toutes les raisons qui justifient ce déphasage relatif en matière de prospection pour métaux. La raison principale est sans doute la diversité énorme des gisements métallifères et l'ignorance relative dans laquelle nous nous trouvons encore en ce qui concerne la genèse de certains types. Les controverses auxquelles nous aurons à faire allusion ne contribuent pas à la crédibilité du métallogéniste théoricien.

A cette attitude de prudente expectative des responsables financiers, il existe de brillantes exceptions : ce sont celles où les leviers de commande sont confiés aux métallogénistes eux-mêmes. Notre distingué président de séance M. Routhier, concrétise à lui seul cette situation privilégiée.

La prospection minière doit s'appuyer sur l'ensemble des connaissances acquises sur les gisements métallifères, ensemble que l'homme ne peut maîtriser que si ces données descriptives sont triées, classées suivant une logique intrinsèque finalement assemblées en ensembles et sont des ensembles isogénétiques, mais néanmoins basés sur des caractères objectifs. C'est une des tâches essentielles de la métallogénie moderne et le point de départ des théories physico-chimiques portant sur le mécanisme de formation des gisements.

Ces théories explicatives sont encore peu pressées, pleines de lacunes et probablement d'erreurs.

partout lorsque la nature actuelle ne fournit pas d'exemples accessibles des mécanismes invoqués.

Mais ce n'est pas une raison de croire que la métallogénie soit restée une science conjecturale quant aux causes, seuls les effets étant convenablement décrits.

Dès à présent, comme pour les combustibles, beaucoup de théories sont devenues fiables, universellement admises, et dès lors servent normalement de base à la prospection.

D'autres sont encore dans l'enfance, donc en pleine contestation. Le fait qu'une théorie n'est pas encore bien établie ou reconnue n'empêche d'ailleurs pas qu'elle puisse être utile et serve au moins d'hypothèse de travail. Et si pour un même objet on a le choix entre plusieurs conceptions opposées, la meilleure n'est pas nécessairement celle qui se rapproche le plus de la vérité, mais celle qui donne des angles d'attaque ou fils conducteurs nouveaux pour la prospection. C'est évidemment une attitude qui peut paraître paradoxale, mais qui correspond cependant à la mentalité du prospecteur et de l'ingénieur géologue, pour qui les théories valent ce que valent les résultats pratiques de leur application.

EVOLUTION DES THEORIES METALLOGENIQUES

Les géologues et mineurs qui ont fait leurs études avant 1960 ont été profondément influencés par les théories purement magmatiques, telles que proposées par L. de Launay, complétées par Waldemar Lindgren et poussées à l'extrême par ses disciples. Dans cette conception, les rochesignées intrusives apportent et distribuent les métaux constitutifs des minerais : le mécanisme essentiel est la différenciation magmatique. Les gisements formés par la circulation souterraine d'eaux minéralisées ne seraient eux-mêmes que des termes extrêmes de cette différenciation, quelle que soit la température de formation de ces gisements et leur environnement géologique.

Dans cette optique, le rôle essentiel était joué par les intrusions granitiques : en cristallisant, le granite fournissait des solutions riches en métaux qui allaient finalement se déposer sous forme de filons, éventuellement très loin de la roche intrusive. Il n'était pas nécessaire de faire appel à d'autres apports métallifères et l'environnement ne jouait qu'un rôle de récepteur plus ou moins favorable à la formation de gisements économiques.

A l'exception de la pyrrhotine nickelifère et de la chalcopryrite des roches basiques, tous les gisements sulfurés étaient attribués à l'influence d'intrusions granitiques, même lorsque ceux-ci n'apparaissaient nulle part; il suffisait de supposer qu'ils étaient cachés en profondeur.

Ce granite, véritable *deus ex machina*, devint une obsession. Il était la clef de la prospection minière, ceci d'autant plus légitimement que l'exploration des contacts granitiques avait conduit à de nombreux succès en ce qui concerne l'étain et les métaux associés.

Comme dans cette conception toute minéralisation sulfurée se fait *per ascensum*, on dépensa des sommes incroyables en vaines recherches des « racines » des gisements connus, même si ceux-ci étaient franchement stratiformes.

Certains auteurs admettaient cependant que les célèbres Kupferschiefer du Mansfeld, mince horizon très continu de schiste bitumineux riche en sulfures de Cu, Pb, Zn, étaient d'origine sédimentaire. Cela restait une exception, un monstre.

D'autre part, la palingénèse, la granitisation de vastes portions de l'écorce terrestre externe était admise, de sorte qu'il fallait admettre aussi que le stock métallique des roches granitisées pouvait être mobilisé et se retrouver en partie sous forme d'auréole métallifère autour des massifs granitiques. C'était une première forme de la notion de remobilisation, notion qui allait se développer dans la suite.

Ces conceptions théoriques, séduisantes par leur unité, mais maintenant dépassées pour nombre de types de gisements (même filoniens), avaient l'avantage de conduire à une classification très simple et didactique, dans laquelle on parvenait à caser tant bien que mal la presque totalité des gisements, à part les placers, les évaporites et les gisements sédimentaires de fer et de manganèse.

Universellement admise jusque vers 1955, la théorie magmatique s'imposait, à l'Université comme sur le terrain. Il y avait cependant quelques précurseurs qui s'en étaient écartés sur des points précis, pour interpréter autrement un type de gisement déterminé. Par exemple, dès 1931, le Professeur Hans Schneiderhöhn¹⁷ considérait comme sédimentaires les gisements de cuivre du Copperbelt, suivi en 1958 par Anton Gray, le père des géologues de l'Union Minière. Les preuves furent apportées dans la suite par W.G. Garlick et ses associés¹².

Le bon géologue de terrain n'avait d'ailleurs jamais vraiment adopté comme règle de prospection universelle la théorie magmatique, du moins dans sa forme simpliste. Confrontée avec la réalité multiforme, elle est en effet stérilisante pour le géologue, qu'elle dispense de lever une carte géologique détaillée. A juste raison, celui-ci aime suivre des horizons sédimentaires bien choisis, quitte à se désintéresser d'autres formations ne renfermant jamais de minerai.

Comme l'a dit plaisamment le regretté géologue finlandais Vladi Marmo¹⁰, : « le géo-

logue est instinctivement non-magmatiste pendant son travail de prospection sur le terrain, mais il devient magmatiste dès qu'il franchit le seuil d'une salle de cours ou de conférences». Cette réflexion désabusée date de 1960.

Mais depuis cette date, les idées ont évolué rapidement en ce qui concerne les gisements stratifiés, en même temps que prenait son essor la jeune science de la sédimentologie. Celle-ci vint fournir en abondance les critères permettant d'identifier un sédiment, quelles que soient ses composantes minéralogiques, et ensuite de suivre son évolution diagénétique et sa recristallisation.

C'est ainsi que, l'un après l'autre, plusieurs types importants de gisements stratiformes, qui avaient toujours été considérés comme d'origine magmatique, furent reconnus comme sédimentaires, ou encore volcano-sédimentaires, de moins en ce qui concerne la première concentration. D'autres, spécialement ceux logés systématiquement dans des calcaires et dolomies, présentent des caractères contradictoires du fait qu'ils ont été profondément remaniés, voire déplacés et recristallisés sous l'influence d'eaux circulantes connées, phréatiques ou artésiennes. Inutile de dire qu'à leur sujet nous sommes toujours en pleine controverse, controverse féconde car génératrice de recherches approfondies.

Celles-ci ont déjà donné des résultats très importants du point de vue génétique, notamment grâce à la détermination de la composition isotopique des métaux et métalloïdes associés dans un même minéral et par l'étude des inclusions liquides et gazeuses.

L'évolution des idées ne concerne pas uniquement les gisements stratiformes, mais aussi des gisements franchement épigénétiques, tels certains filons. De plus en plus, on se rend compte que le remplissage des filons formés à basse température n'a rien à voir avec des phénomènes magmatiques. Souvent ces filons ne contiennent que ce que la roche encaissante a perdu par lixiviation, opérant soit en profondeur, soit à la surface du sol, c'est-à-dire dans la zone d'altération oxydante (ou de dissolution dans le cas des calcaires). Ce dernier mécanisme peut conduire lui aussi à la minéralisation en sulfures de Zn et Pb des parties profondes d'un karst, phénomène si bien étudié par le Professeur A.J. Bernard³. Dans ce cas, comme dans le cas de certains filons de pechblende et de fluorine, il s'agit essentiellement d'une minéralisation « per descensum ». Dans d'autres cas, le transport se fait par un circuit artésien complet, se terminant par une source thermominérale (continentale ou sous-marine) et comporte dès lors une branche descendante et une branche ascendante, système hydraulique

dans lequel le transport horizontal peut devenir prédominant.

Le simple bon sens indique que tous les gisements anciens formés à basse température peuvent subir un métamorphisme intense, pouvant aller jusqu'à la fusion partielle. Naturellement, leur minéralogie en est profondément affectée et ne comporte plus que des minéraux de haute température. Invariablement, dans la littérature ancienne, ils étaient classés comme pneumatolytiques ou pyrometasomatiques, à l'exception de certains gisements de fer et de manganèse, vraiment d'allure trop franchement sédimentaire. Le magmatisme peut être la cause du métamorphisme, mais de là à considérer ces gisements comme un apport granitique, il y a de la marge. Notons en passant que l'on connaît maintenant de véritables placers à éléments roulés, encaissés dans des gneiss et migmatites, en concordance avec la foliation.

Il y a lieu de relever un aspect curieux de cette révolution des idées, qui a forcé pas mal de géologues chevronnés à renoncer à des interprétations « magmatistes » qu'ils avaient longtemps défendues.

Le fait est que les leaders de cette révolution sont essentiellement des géologues formés dans les pays d'Europe occidentale : Routhier et Bernard en France, Schneiderhöhn, Maucher et Amstutz en Allemagne, C.F. Davidson en Angleterre. Il faut ajouter les géologues australiens et ceux de Zambie et d'Afrique du Sud, de même que quelques scandinaves.

Rares sont par contre les géologues américains et russes qui aient abandonné la doctrine magmatique. La situation est inverse en Europe occidentale. Il en résulte une controverse permanente et parfois virulente entre les « magmatistes », en majorité américains, et les « sédimentaristes », en majorité européens. Ces derniers temps, une évolution se marque aux Etats-Unis. C'est ainsi que l'un des derniers fascicules d'Economic Geology, la principale revue américaine en matière de métallogénie, est entièrement consacré à une réinterprétation des immenses gisements stratiformes de zinc du Tennessee. La théorie magmatique est abandonnée en faveur de la « paleoaquifer theory », terme que l'on pourrait traduire par « théorie des paléo-nappes aquifères ».

Ne nous attardons pas davantage à l'aspect théorique des choses et essayons plutôt de dégager l'influence des conceptions nouvelles sur la prospection minière, spécialement en ce qui concerne les gisements liés à des phénomènes sédimentaires et diagénétiques.

INFLUENCE DES CONCEPTIONS METALLOGENIQUES SUR LA STRATEGIE ET LA TACTIQUES DE LA PROSPECTION MINIERE

Nous envisagerons la *stratégie* de l'exploration minière à l'échelle mondiale et dans l'optique d'un groupe minier cherchant à s'assurer de nouvelles ressources minérales et se trouvant donc devant le problème du choix de la région à prospecter.

Actuellement, le premier critère est le régime politique du pays considéré, sa stabilité, sa législation minière et l'ensemble des conditions socio-économiques.

Les données géologiques et géographiques n'interviennent qu'en deuxième ligne et encore ne sont-elles utilisées, comme le critère précédent, que pour éliminer les espaces défavorables : grands bassins sédimentaires récents, zones inaccessibles etc...

Je dirais volontiers que le critère suivant est très voisin du raisonnement qui guidait les participants aux célèbres « gold rush » de Californie ou du Klondike : il faut bien constater que, dès qu'il se produit une découverte inattendue et importante, ce succès déclenche aussitôt une ruée de toutes les sociétés minières internationales et des investissements importants en exploration.

Je ne citerai comme exemple qu'un « rush » de ce genre, celui dont la verte Irlande fût le théâtre au cours de la dernière décennie, pendant que la Mer du Nord subissait l'assaut des pétroliers.

Les deux entreprises furent couronnées de succès, ce qui paraît justifier le principe quelque peu moutonnier du rush : le succès appelle le succès.

A vrai dire, sous l'angle des données géologiques connues au moment de la prise de décision, les pétroliers avaient infiniment plus de raisons d'aller en Mer du Nord que les miniers en Irlande. Autrement dit, avant la première découverte, ni les données géologiques, ni les théories métallogéniques admises ne désignaient l'Irlande comme un pays riche en Pb, Zn, Cu.

Les métallogénistes ont donc des raisons d'être modestes et ne peuvent jeter la pierre aux Conseils d'Administration qui préfèrent les régions voisines de gisements déjà connus à des zones où tout reste à faire et à découvrir. Les « wilds-cats » profonds restent une notion pétrolière.

Après tout, ces zones quasi inconnues sont parcourues par des géologues appointés par les gouvernements ou des organismes internationaux à l'aide au développement. De plus les prospecteurs individuels, les chercheurs d'or classiques, ont

toujours un rôle d'éclaireur à jouer. Enfin, certaines méthodes géophysiques à caractère extensif, spécialement la magnétométrie et la radiométrie aéroportées, sont maintenant considérées, à l'égal de la carte topographique, comme une tâche incombant à la puissance publique. Elles fournissent à elles seules des données suffisantes pour qu'une société privée coure le risque d'implanter des sondages sur des anomalies situées loin de tout gisement connu. Mais cette stratégie géophysique se limite à la recherche de gisements d'uranium et de ceux contenant de la magnétite et/ou de la pyrrhotine.

Cependant, le bilan de la métallogénie n'est pas totalement négatif sous l'angle stratégique. Dans le passé, la notion des provinces métallogéniques associées aux chaînes orogéniques et aux provinces magmatiques a rendu de grands services, spécialement en ce qui concerne les gisements directement associés aux intrusions acides et basiques et à leurs équivalents volcaniques et subvolcaniques.

Dans la mesure où la géologie est connue et que ces connaissances sont matérialisées par des cartes géologiques détaillées, il est possible d'établir des cartes prévisionnelles, à l'exemple de nos confrères russes. Mais elles concernent surtout les gisements magmatiques et sub-volcaniques et n'offrent pas un guide suffisant pour les autres types de gisements, en particulier pour les gisements sédimentaires et plus généralement stratiformes.

Leur formation et leur localisation dépendent de conditions paléogéographiques, paléoclimatologiques et paléohydrologiques assez particulières. L'existence de ces conditions ne peut que rarement être déduite directement des cartes géologiques ou lithologiques, pas plus d'ailleurs que les teneurs géochimiques en métaux des différentes roches communes dont dérivent ces gisements stratiformes. Or, le rôle de ces teneurs est important et souvent déterminant.

Dans un avenir encore lointain, on disposera sans doute de « cartes géochimiques » générales, couvrant de vastes régions.

En attendant, nous disposons déjà d'énormément de données locales. Il faut bien constater qu'elles interviennent peu en matière de choix de la région à prospecter et qu'on ne les considère qu'a posteriori et à l'échelle tactique.

L'intérêt des teneurs en métaux lourds des roches sédimentaires (métamorphisées ou non) tient surtout au fait que la sédimentation constitue en elle-même un processus de différenciation plus efficace que la différenciation magmatique.

Faut-il rappeler que beaucoup de « schistes noirs » sont de véritables proto-minerais de

métaux lourds, la teneur de 1 pour 1000 étant souvent atteinte.

La granitisation et le métamorphisme remobilisent cet immense stock de métaux, de même que les circulations d'eau météorique et connée, du moins en ce qui concerne les roches plus ou moins perméables ou devenues perméables par écrasement tectonique. Mais le processus de remobilisation le plus efficace est évidemment l'érosion continentale elle-même.

Il est donc normal que, dans une région comportant deux ou plusieurs formations sédimentaires nettement discordantes l'une sur l'autre (par exemple l'une plissée, l'autre subhorizontale), un back-ground géochimique anormalement élevé en un métal donné « traverse » les discordances, qu'il existe ou non des roches ignées, la contamination faisant tâche d'huile, concept que P. Routhier dénomme « héritage »¹⁶.

Bien entendu, ce seront les premières couches transgressives, donc littorales, qui seront le plus « contaminées ». On peut en citer de nombreux exemples.

Ce qui vaut pour le back-ground géochimique en métaux lourds, vaut aussi pour les gisements qui résultent d'une reconcentration au départ d'un stock géochimique important et cela quel que soit le mécanisme géologique opérant cette deuxième (ou nⁱème ?) concentration métallogénique.

Les zones littorales correspondant à chaque étage géologique sont donc des objectifs stratégiques privilégiés. Encore faut-il que nos connaissances géologiques suffisent pour les tracer (ce qui n'est que rarement le cas pour le Précambrien).

Plus privilégiés encore, sont les rivages et bassins côtiers, qui étaient situés en zone tropicale aride. On sait qu'ils sont caractérisés par le grand développement des constructions récifales et par la fréquence des bassins évaporitiques. L'existence temporaire de bassins plus ou moins fermés, à faible sédimentation détritique, y est normale (lagons, lacs salés, cours d'eau abandonnés, mangroves etc...).

De telles conditions favorisent la prolifération de microorganismes et, en eau plus ou moins stagnante, se développent des milieux euxiniques, à sédiments sapropéliques. Les bactéries anaérobies, réductrices des sulfates marins, foisonnent. Ce sont les pièges qui, particulièrement pour le plomb, le zinc et le cuivre, donnent naissance aux gisements sédimentaires sulfurés. Comme beaucoup de roches mères du pétrole se forment dans les mêmes conditions, il est donc normal de trouver dans les sulfures à la fois des microgouttes de pétrole et de solutions sursaturées, de composition très voisine des eaux de gisement du pétrole.

Reste à expliquer l'arrivée accidentelle de métaux en quantités anormalement élevées. Plusieurs mécanismes peuvent jouer, depuis les effluents de zones émergées à back-ground géochimique élevé, jusqu'au volcanisme des flexures bordières et arcs insulaires, en passant par les sources sous-marines.

Les phénomènes littoraux des mers froides peuvent cependant, eux aussi, créer des pièges comparables. Mais dans ce cas les évaporites sont absentes et les vases des eaux stagnantes sont plutôt argilo-siliceuses que calcaires, mais toujours riches en carbone organique.

RECONSTITUTIONS PALEOGEOGRAPHIQUES ET PALEOCLIMATOLOGIQUES. LA TECTONIQUE DES PLAQUES

Pour traduire ces conceptions en principes de prospection stratégique, il faut évidemment pouvoir reconstituer pour chaque époque, non seulement les rivages anciens, mais aussi les paléoclimats. Or les anciennes ceintures tropicales ont été disloquées et déplacées, en longitude et en latitude, par la dérive continentale.

Rappelons que depuis peu d'années la théorie mobiliste semble l'avoir emporté sur le fixisme et que tant d'arguments convergents confirment maintenant les idées de Wegener, que la « tectonique des plaques » est devenue une doctrine solide, qui n'a plus guère d'adversaires^{14,20}.

Dès lors, il importe d'en tirer des explications et des conclusions en ce qui concerne la répartition mondiale des provinces métallogéniques.

Bornons-nous à la grande dérive *post-triasique* celle qui a donné naissance aux continents actuels. C'est la seule qui soit bien connue, grâce notamment aux méthodes d'étude paléomagnétiques, paléoclimatiques et géochronologiques.

On sait que les chaînes orogéniques post-triasiques, de même que le volcanisme associé, caractérisent les « bords d'attaque » des continents et la dérive, c'est-à-dire les rivages continentaux sur lesquels s'enfonce lentement l'écorce océanique.

Ces chaînes orogéniques récentes, à volcanisme pré- et postorogénique, coïncident avec des provinces métallogéniques caractéristiques, et sont donc des zones stratégiquement favorables au point de vue qui nous occupe. Mais cette constatation n'a rien de nouveau, si ce n'est que le mécanisme invoqué, du fait de la refusion en profondeur d'immenses volumes de roches basaltiques, pourrait bien être la cause première de ces minéralisations en question¹⁴.

Chose intéressante, seules les chaînes orogéniques du type cordillère, résultant de l'affrontement d'une plaque océanique et d'une plaque continentale,

mentale (guirlandes d'îles y comprises), sont en minéralisées. Les chaînes résultant d'une collision « continent contre continent » semblent à peu près stériles (par exemple l'Himalaya).

En raison de ce que nous avons dit des zones climatiques favorables à la formation de certains types de gisements sédimentaires, c'est la dérive en latitude qui revêt une importance particulière(*). Elle est maintenant bien connue en ce qui concerne les périodes géologiques postérieures au Paléozoïque et pas mal de conclusions de valeur stratégique dérivent de cette connaissance. Sachant d'avance pour une formation donnée quels sont les types de gisements qu'il peut espérer, le géologue de terrain peut y adapter ses méthodes de prospection. A l'échelle tactique, cette prévision théorique n'est donc pas sans valeur pratique.

Pour les périodes orogéniques antérieures au Permien, on ne possède pas encore de reconstitutions complètes des continents anciens. Mais les données paléomagnétiques et paléoclimatiques concernant les roches paléozoïques et précambriennes s'accumulent rapidement et il est à prévoir qu'à bref délai elles suffiront pour reconstituer les rivages anciens sans trop de lacunes et sans trop d'erreurs sur la latitude.

Pour faire ressortir l'importance stratégique de telles reconstitutions, il suffit de citer la découverte assez récente de l'énorme gisement de zinc de Pine Point, dans le Nord de l'Alberta. La blende y minéralise un énorme récif-barrière évaporitique, qui par ailleurs s'est révélé particulièrement riche en pétrole.

ROLE METALLOGENIQUE DES SAUMURES CONCENTREES

Avant de citer quelques types de gisements qui méritent le titre de « nouveaux », je voudrais revenir sur le rôle des évaporites. Le regretté géologue écossais, le Prof. C.F. Davidson, a mis en évidence la corrélation spatiale remarquable qui existe, statistiquement parlant, entre les évaporites et les gisements stratiformes de Pb, Zn, Cu⁶.

Cette coïncidence est connue depuis longtemps dans des pays « jeunes » comme la Tunisie, où existent nombre de percées diapiriques de sel triasique à travers la couverture sédimentaire du Tertiaire. Les minéralisations en PbZn connues dans ces sédiments se trouvent systématiquement à courte distance d'un affleurement de Trias salin.

Cette relation est à rapprocher de deux découvertes sensationnelles relativement récentes : les saumures très minéralisées et chaudes du Salton Sea (Golfe de Californie) et celles des « trous profonds » du graben central de la Mer Rouge. Dans ce dernier cas, on est en présence d'un véritable minerai liquide ou du moins pompable. Les vases contiennent jusque 10 % Zn et 4 % Cu.

Dans les deux cas, on se trouve à l'aplomb d'un rift en pleine activité, le long duquel se forme un nouveau fond océanique de nature essentiellement basaltique. On a donc commencé par croire qu'il s'agissait de véritables solutions hydrothermales, d'origine magmatique. Ensuite il a été prouvé à Salton Sea qu'il s'agissait d'eaux météoriques infiltrées, comme dans la plupart des « points chauds » que constituent les champs géothermiques. Dans la Mer Rouge, les saumures constituent un liquide dense qui s'est probablement écoulé suivant la tranchée centrale, du sud vers le nord, en provenance des dômes de sel de l'extrême sud. C'est la série évaporitique disparue qui constitue la source des métaux.

Ce mécanisme, comme d'autres mécanismes expliquant la liaison spatiale évaporites-gisements sulfurés stratiformes, est à rapprocher du fait que, par rapport à l'eau normale, la solubilité des sulfures de métaux lourds est multipliée, dans une saumure concentrée, par un facteur de l'ordre de 10 à 100. Il en est de même pour la barytine, associée habituelle de la galène. Les eaux sursaturées sont donc spécifiquement des eaux capables de dissoudre et de transporter d'importants tonnages de métaux chalcophiles, pourvu que la circulation soit de longue durée.

Pour que cette circulation finisse par former un gisement à son extrémité aval, il faut qu'elle aboutisse à un « piège » la mettant à l'abri d'une dilution par des eaux normales, marines ou continentales.

Beaucoup de ces pièges ressemblent aux « stratigraphical traps » de la géologie du pétrole : biseaux sédimentaires, discordances, brèches de talus, récifs, « paléoinsules », etc. D'autres sont des pièges tectoniques : failles, diapirs. Toutes ces structures sont des cibles tactiques valables.

Un « piège chimique » de type inattendu est invoqué par J.C. Samama¹⁷ pour expliquer le grand gisement stratiforme de Largentière, où la minéralisation en galène argentifère est légèrement discordante sur la stratification des grès littoraux, eux-mêmes transgressifs sur le massif cristallin des Cévennes. Il a montré que le gisement suit la surface de contact entre l'eau salée et la nappe d'eau douce qui la surmontait, situation hydrologique commune à toutes les côtes formées de roches perméables.

(*) Rappelons que l'on trouve des évaporites permienues au Spitzberg. On pourrait donc aussi y trouver des vases calcaires minéralisées du type back-reef, si fréquentes dans le trias calcaire des Alpes.

Les bassins subsidents à évaporites évoluent normalement par tassement et diagenèse sous couverture de sédiments argileux. Ceux-ci deviennent bientôt imperméables et compacts. L'expulsion de l'eau connée, saturée en sel, ne peut se faire qu'en bordure du bassin, à moins qu'une tectonique diapirique perce la couverture. Il en est de même pour les eaux météoriques qui s'infiltrèrent plus tard et circulent sous l'effet d'un gradient hydraulique créé par un basculement du bassin. Les biseaux terminaux du bassin salifère, de même que les couches discordantes qui les recouvrent, sont donc des objectifs stratégiques intéressants (cfr. Touissit - Bou Beker).

Notons qu'au surplus la réduction des sulfates par les « bactéries du soufre » fournit le H_2S biogénique nécessaire à la formation et la précipitation des sulfures (anhydrites calcitisées).

TYPES NOUVEAUX DE GISEMENTS

Nous ne ferons que mentionner les types de gisements sulfurés stratiformes à dominance de Fe, Cu, Zn, Pb, les uns liés au volcanisme sous-marin, les autres liés à des discordances ou à des couches sédimentaires transgressives sur un socle (par exemple gisements Cu-Co de Zambie-Kanaga).

Ils sont connus et exploités depuis longtemps. Mais les idées au sujet de leur mode de formation ont profondément évolué depuis une quinzaine d'années.

Ils ne constituent pas des « types nouveaux », mais l'évolution des conceptions commande des approches nouvelles pour la stratégie et la tactique d'exploration, comme vient de le montrer le Prof. Bernard pour les minerais massifs pyriteux d'origine volcano-sédimentaire.

Plus franchement nouveaux, sont les gisements sédimentaires de tungstène, accompagné ou non d'antimoine ou de mercure, les schistes à « monazite grise » et les dépôts karstiques et carapaces à fluorine et barytine.

A vrai dire, certains de ces gisements étaient eux aussi connus depuis longtemps, mais attribués à des « accidents », tels que la proximité d'une intrusion magmatique, d'une faille ou d'un filon. Cette conception n'incitait pas à pousser la recherche loin de ces accidents, ni à s'intéresser à des formations sédimentaires peu métamorphiques et dépourvues d'intrusions granitiques.

D'autre part, le rôle métallogénique important joué par le volcanisme sous-marin était généralement méconnu.

Enfin, les minerais sédimentaires interstratifiés dans des sédiments à grain très fin (argiles, silts, vases calcaires) sont eux-mêmes à grain très fin

et de ce fait souvent difficiles à identifier sur le terrain. Le fait est que certains sont passés inaperçus alors qu'ils affleuraient largement.

Soit dit en passant, la finesse de grain a aussi une influence économique défavorable, du fait des difficultés de concentration par voie mécanique.

Tout naturellement, les mêmes types de gisements ont été trouvés récemment dans des massifs métamorphiques du type paragneiss. Ici la minéralisation est souvent plus visible, mais la difficulté d'établir une stratigraphie et la tectonique très complexe ont souvent découragé le géologue. Il y subsiste un beau domaine d'exploration.

1°) Gisements sédimentaires de W, Sb, Hg

Il y a lieu de distinguer deux types.

Le premier, encore peu connu, consiste en ferberite disséminée dans des schistes noirs précambriens appartenant au Tungsten-belt du Rwanda qui se poursuit en Uganda¹. Il a été d'abord découvert en Uganda, où la ferberite forme des nodules, souvent aplatis suivant la stratification, pouvant dépasser 1 cm de diamètre. Au Rwanda on le connaît maintenant en fines disséminations dans des schistes noirs et siltites grises associées. Sous cette forme, la ferberite est quasi invisible.

Comme dans les filons de quartz à ferberite qui se cantonnent dans l'horizon sédimentaire tungstifère, le minéral primaire semble toujours être la scheelite. Celle-ci est presque complètement pseudomorphisée par la ferberite poreuse (reinite).

Plus complexe est le deuxième type, connu surtout grâce aux recherches de A. Maucher et de ses collaborateurs¹¹. L'association W, Sb, Hg est rarement complète, un ou deux de ces métaux manquant généralement.

La minéralisation est intimement associée à des roches volcaniques sous-marines, alternant avec des schistes graphiteux et des quartzites à grain très fin. La scheelite est répartie en très fines strates dans des microquartzites, schistes et tuffites. La stibine peut former de petites couches quasi monominérales, mais toujours très finement stratifiées. Le cinabre a davantage le caractère d'une imprégnation dans des quartzites des schistes (*), avec pyrite et parfois mispickite.

Près de Mittersill, dans le Felberthal (Autriche), un grand gisement sédimentaire de scheelite a été reconnu et va être mis en exploitation.

Les gisements identifiés jusqu'à présent situent dans les noyaux paléozoïques de la chaîne alpine, en Autriche et en Turquie. En Autriche

(*) Le célèbre gisement d'Almaden semble bien appartenir à ce type.

sont associés à l'épisode de volcanisme sous-marin situé vers le milieu du Silurien. Cet horizon très continu, d'âge probablement Ashgillien, existe également en Belgique et en Angleterre.

A noter que ce type de gisement de scheelite a été découvert dans le Paléozoïque inférieur de la Sardaigne.

Les mêmes gisements sédimentaires de scheelite sont maintenant connus dans des paragneiss dérivant du métamorphisme régional de séries volcanosédimentaires.

La première description complète d'un important gisement métamorphique est due à Urban²¹. Il se situe dans le sud de la Norvège, dans l'Ördsalen (Rogaland). La minéralisation en scheelite recrystallisée est confinée à un horizon continu d'amphibolite contenant du granite. La scheelite est en petite partie transformée en ferberite et accompagnée d'un peu de molybdénite.

D'autres gîtes de ce type ont été signalés dans des gneiss à silicates calciques du Colorado et du Wyoming, ainsi que dans le massif cristallophylien du Tanneron et celui des Cévennes méridionales¹⁶.

Ces découvertes remettent en question l'origine des importantes minéralisations en scheelite trouvées dans des tactites (skarns) et largement exploitées (Corée, King Island, etc.).

Gisements sédimentaires de « monazite grise »

Depuis longtemps on exploite au Kivu, comme compagnateur de la cassitérite alluviale, une monazite spéciale qui se présente sous forme de petites lentilles grises ayant l'aspect et la structure de micronodules aplatis. Leur structure et l'alignement régulier de leurs inclusions suggèrent une origine sédimentaire⁷, mais les gisements en place n'avaient pas été trouvés.

Cette monazite est très pauvre en thorium, mais, au contraire, relativement riche en europium (jusqu'à 0,4 % Eu_2O_3), de sorte qu'elle a connu un certain gain d'intérêt.

En Sibérie, les géologues russes ont découvert un gisement en place, dans des schistes noirs. Les géologues du B.R.G.M. avaient eux aussi signalé la fréquence de la monazite grise dans les alluvions du Massif Armoricaïn⁵. Récemment, ils ont découvert des gîtes en place dans des schistes de l'Ordovicien et du Carbonifère. La nature sédimentaire de ces concentrations de terres rares paraît incontestable.

L'euporium est un « métal nouveau » typique, pour lequel la « vieille Europe représente un champ d'action aussi vierge que les pays neufs » (J. Bertraneu).

Ajoutons que ce type de monazite vient d'être signalé dans divers autres pays.

3°) Gisements karstiques et carapaces à fluorine et barytine

Différents types de gisements sont directement liés aux surfaces de discordance.

Les mieux connus sont probablement ceux logés dans des paléokarsts, grâce surtout aux recherches de A.J. Bernard³ et de P. Zuffardi¹³.

Nous nous contenterons de décrire très brièvement ceux découverts par D. Soulé de Lafont²⁴ en bordure et sur le massif essentiellement granitique du Morvan, extrémité septentrionale du Massif Central.

Suivant le contact du Lias transgressif et sur des kilomètres de distance, affleure une roche blanchâtre à grain grossier, dure et résistante à l'érosion. Elle est formée par une association de fluorine blanche, barytine, quartz et calcite. Dans certaines plages, la teneur en fluorine dépasse 50 %. La barytine est accompagnée d'un peu de galène.

Le terme « carapace » est justifié par sa résistance à l'érosion et le fait que, dans de larges zones, elle constitue la couverture conservée du grand dôme paléozoïque du Morvan.

Les réserves se chiffrent en millions de tonnes de minerai à bonne teneur en fluorine et exploitables à ciel ouvert.

Le mode de gisement et la structure massive, géodique et non stratifiée du minerai suggèrent une analogie avec certains gisements résiduels. Signalons qu'un gisement de barytine géodique et ferrugineuse recouvre localement le granite de Boma (Zaïre) en bordure du recouvrement côtier daté du Crétacé. Il est vraisemblable qu'il s'agit d'un résidu de dissolution d'évaporites.

L'origine des importants gisements du Morvan reste cependant assez mystérieuse.

BIBLIOGRAPHIE

1. ADERCA, B. et de MAGNEE, I.: Contribution à la connaissance du tungstenbelt ruandais. *Ac. Roy. Sc. Outremer*, Mém. Nlle. série, t. XI, fasc. 7, 1960.
2. AMSTUTZ, G.C.: Remobilization — Facts and fancy. In « Remobilization of ores minerals ». P. ZUFFARDI éd. Cagliari, 322 p., 1969.
3. BERNARD, A.J.: Metallogenic processes of intrakarstic sedimentation, in « Ores in Sediments ». S.G.A. Symposium, Heidelberg 1971.
4. BRONGERSMA-SANDERS, M.: On the geographical Association of Strata-Bound Ore Deposits with Evaporites. *Mineralium Deposita* 3, 286-291, 1968.
5. CHAURIS, L. et GUIGUES, J.: Gîtes minéraux de la France. Vol. 1, Massif Armoricaïn. *Mém. du B.R.G.M.*, no. 74, 1969.

6. DAVIDSON, C.F. : A possible mode of origin of strata-bound copper ores. *Economic Geology*, **60**, 942-954, 1965.
7. de MAGNEE, I. : L'avenir du thorium congolais. *Bull. Ac. Roy. Sc. d'Outremer*, t. IV, 2, 457-474, 1958.
8. GRAY, A. : The future of mineral exploration. *Bull. Inst. Min. Metall.*, **68**, 23-34, 1958.
9. HONNOREZ, J. : La formation actuelle d'un gisement sous-marin de sulfures fumeroliens à Vulcano (mer Tyrrhénienne). Partie I. Les minéraux sulfurés des tufs immergés à faible profondeur. *Mineralium Deposita*, Vol. 4, No. 2, 1969.
10. MARMO, V. : On the origin of ores. *N. Jb. Miner. Abh.*, **94**, 77-89, 1960.
11. MAUCHER, A. : Die Antimon — Wolfram — Quecksilber Formation und ihre Beziehungen zu Magmatismus und Geotektonik. *Freiberger Forschungshefte*, C. 186, 173-188, Leipzig 1965.
12. MENDELSON, F., GARLICK, W.G. et al. : The Geology of the Northern Rhodesian Copperbelt. *Ed. Macdonald*, London, 1961.
13. PADALINO, G., PRETTI, S., TAMBURRINI, D., TOCCO, S., VIOLO, M., ZUFFARDI, P. : Ore formations in karsts. Examples from Sardinia — in « Ores in Sediments ». *S.G.A. Symposium*, Heidelberg, 1971.
14. PETRASCHECK, W.E. : Kontinentalverschiebung und Erzprovinzen. *Mineralium Deposita*, Vol. 3, 56-65, 1968.
15. RAMDOHR, P. : Über Metamorphose und sekundäre Mobilisierung. *Geol. Rundschau*, **42**, 11-19, 1953.
16. ROUTHIER, P. : Quelques grands concepts de métallogénie : familiarité, héritage, etc... illustrés par des exemples. *Bull. de l'Ac. Roy. Sc. d'Outremer*, **3**, 573-605, 1971.
17. SAMAMA, J.C. : Contrôle et modèle génétique des minéralisations en galène de type « Red-beds » : Gisement de Largentière, Ardèche, France. *Mineralium Deposita*, Vol. 3, 261-271, 1968.
18. SCHNEIDERHÖHN, H. : Mineralische Bodenschätze im südlichen Afrika. *NEM Verlag*, Berlin, 1931.
19. SCHNEIDERHÖHN, H. : Die Erzlagerstätten Metamorphen Abfolge. In : *Erzlagerstätten*. Jena, Fischer, 1962.
20. SCHUILING, R.D. : Tin belts on the Continents around the Atlantic Ocean. *Economic Geology*, **62**, 540-549, 1967.
21. URBAN, H. : Zur Kenntnis der Schichtgebunde des Wolfram. Molybdän — Vererzung im Örsdalen (Rogaland), Norwegen. *Mineralium Deposita*, Vol. 4, No. 3, 177, 1971.
22. VOKES, F.M. : Some aspects of the regional metamorphic mobilization of preexisting sulphide deposits. *Mineralium Deposita*, Vol. 6, no. 2, 122-129, 1971.
23. DEGENS, E.T., ROSS, D.A. : Hot brines and related heavy metal deposits in the Red Sea. *Ed. Springer*, 1969.
24. D. SOULE DE LAFONT : Les gîtes de fluorine stratiformes de la bordure nord du Morvan. *Chronique des Mines et de la Recherche Minière*, **35**, n° 85-108, 1967.

DISCUSSION

A. Bernard

Il est de plus en plus admis que les granites intrusifs contiennent un certain pourcentage d'eau qu'on ne retrouve pas (ou que partiellement) dans les roches consolidées : il est donc quasi certain qu'une libération d'eau magmatique accompagnera le refroidissement de la roche éruptive et qu'elle doit s'accompagner de minéralisations (départ acide, par exemple). Cette remarque m'amène à déclarer que le fait d'être étiqueté comme « sédimentariste » n'entraîne aucune exclusion de ma part quant à l'existence de gisements filoniens hydrothermaux périlithiques ou, plus généralement, de circulations hydrothermales là où des gradients de température suffisamment grands et pérennes déterminent des circulations aquifères convectives.

I. de Magnée

Je pense que je me suis mal fait comprendre. Comme le Prof. Bernard, j'admets le rôle métallogénique important des solutions hydrothermales provenant de magmas se différenciant et cristallisant en profondeur.

Mais mon propos ne concernait que les gisements stratiformes formés à basse température,

que les anciens auteurs attribuaient également à l'action d'intrusions magmatiques lointaines (gisements « télé-magmatiques »).

Lorsque de tels gisements n'ont pas subi de métamorphisme intense, ils conservent des caractères sédimentaires suffisamment nets pour qu'on ne puisse les confondre avec des dépôts hydrothermaux, surtout s'ils sont logés dans des roches sédimentaires à grain fin et quasi imperméables.

Mais lorsqu'ils ont recristallisé sous l'influence d'un métamorphisme thermique intense, la confusion devient possible, spécialement dans l'auréole des granites. Effectivement, de nombreux gisements interstratifiés dans des gneiss, micaschistes et amphibolites ont été considérés comme magmatiques simplement parce qu'ils ont une métallogénie de haute température²². Même d'anciens placers ont été considérés comme magmatiques.

A. Safiannikoff

1) Monazite lenticulaire.

Ce minéral a été rencontré au Sud Kivu, Twangitza, dans un schiste noir métamorphisé au voisinage immédiat des albitites intrusives. Les dernières affleurent suivant l'axe d'un anticlinorium en affectant la forme de croissants; leur

nde épaisseur se trouve dans l'axe de l'anticli-
Néanmoins certaines albitites recoupent les
es encaissantes. Les albitites sont constituées
tout par de l'albite avec environ 25 % de car-
nates, soit de l'ankérite et de la calcite. La
sence de la monazite a été décelée à l'aide
n scintillomètre. La monazite lenticulaire de
leur grise se rencontre par endroits dans le
iste fracturé et les teneurs de ce minéral tom-
t rapidement en s'éloignant du contact avec
bitite. L'albitite elle-même renferme régulière-
nt de la monazite, mais sous la forme habi-
elle de couleur jaune cireuse. Visiblement, il
t produit une migration de la monazite vers
roches encaissantes, qui sont le schiste et le
artzite. Dans le quartzite, la monazite reste
me comme dans les albitites. La même migra-
n s'observe pour les sulfures très abondants
as les albitites et qui migrent dans les roches
caissantes, dans les zones fracturées. L'exemple
Twangitza démontre que la monazite lenticu-
re, au moins dans cette région, est sans aucun
te d'origine intrusive.

le signale aussi la présence assez fréquente de
monazite jaune dans les filons quartzeux à
lfram et cuivre et dans les filons aurifères.

2) Sans contester l'existence des gisements sul-
eux autres que magmatiques, je pense qu'il ne
it pas tomber dans l'excès contraire, car les
ements à sulfures et autres minéraux peuvent
e liés incontestablement à des intrusions grani-
ques. De multiples exemples peuvent être don-
s sur l'existence de tels gisements au Sud Kivu,
ais le plus typique est le gisement de Nzombe,
nnu d'ailleurs par M. de Magnée, et qui repré-
ite un gros filon de plusieurs centaines de
ètres de longueur et de 5 mètres de puissance
moyenne. Ce filon qui affleure au milieu d'un
anite, a été exploité pour la cassitérite, mais
réalité la proportion des divers autres miné-

raux y était de loin plus importante. Les princi-
aux de ces minéraux sont la pyrite, le mispickel,
la chalcoppyrite, la sidérose, la calcite, etc. Ces
minéraux ont été déposés postérieurement à la
cassitérite.

Le premier minéral déposé en abondance, et
avant la cassitérite, était la tourmaline.

I. de Magnée

1) Je remercie M. Safiannikoff pour son inté-
ressante communication sur la « monazite grise »
qu'il a trouvée en place dans les schistes noirs
du gisement aurifère de Twangitza. N'ayant pas
visité ce gisement, je ne puis discuter son inter-
prétation. Le rôle des « albitites » est d'autant
plus difficile à éclaircir que l'on n'est pas fixé
sur la nature et l'origine de ces roches hybrides
(intrusives, volcaniques, sédimentaires ?).

A mon avis, la question reste ouverte et il y
a lieu de comparer les gisements primaires de
monazite grise trouvés en Sibérie, en Bretagne et
au Kivu. Je ne crois pas que ceux de Bretagne
puissent être attribués à des intrusions ou autres
phénomènes magmatiques. Il paraît invraisembla-
ble qu'un faciès aussi spécial de monazite, tou-
jours lié à des schistes carbonés, puisse avoir deux
origines radicalement différentes.

2) Le grand filon de Nzombe appartient incon-
testablement au type classique des filons hypother-
maux quartzeux et stannifères, liés aux intru-
sions granitiques, type si fréquent au Zaïre. Les
sulfures mentionnés par M. Safiannikoff ont été
rencontrés dans de nombreux filons stannifères de
l'Afrique centrale. Mais la présence à Nzombe,
dans le remplissage filonien, d'une assez forte pro-
portion de carbonates est un caractère exception-
nel qu'il était intéressant de signaler. La forma-
tion de carbonates ferrifères est plus commune
pour les filons de quartz aurifères, ces carbona-
tes se développant surtout dans les épontes.

Les domaines d'application de deux propriétés des minéraux : l'absorbance dans le spectre visible et la thermoluminescence

BEUGNIES *

RESUME

L'absorbance des minéraux dans le spectre visible

Après un rappel des divers mécanismes d'absorption lumineuse dans les minéraux, on définit les absorptions sélective et métallique et les granurs qui permettent d'en mesurer les effets : l'indice d'extinction, le coefficient d'absorption, l'absorbance et la biabsorbance. L'absorption sélective dans les milieux peu absorbants intéresse tous les minéraux colorés ou pléochroïques et conduit à des méthodes d'identification rapide : exemples des grenats, des actinotes et des épidotes. Pour les milieux très absorbants, l'absorption sélective peut être exploitée avec succès par la diascopie dans le proche infrarouge : exemples des wolframites, des columbo-tantalites et du diamant. Les minéraux à absorption métallique peuvent être étudiés en réflexion oblique par une technique ellipsométrique qui permet d'en mesurer les indices de réfraction et d'extinction : exemples des chromites et des arsénosulfures.

La thermoluminescence des minéraux

Après un rappel des bases théoriques qui permettent d'expliquer les phénomènes de luminescence cristalline en général et de thermoluminescence en particulier, on précise la méthode de détection et d'enregistrement utilisée puis on passe en revue les facteurs physico-chimiques susceptibles d'influencer les courbes de thermoluminescence naturelle et artificielle d'un minéral donné : les potentiels chimiques de cristallisation,

SAMENVATTING

1. Het opslorplingsvermogen van de mineralen in het zichtbaar spectrum

Nadat de verschillende mechanismen van lichtopslorping bij de mineralen in herinnering werden gebracht, volgt een beschrijving van de selektie- en metaalabsorptie en van de grootheden waarmee de uitwerking kan worden gemeten : de dempingsindex, de opslorplingskoëfficiënt of het opslorplingsvermogen en de biabsorptie. De selektie-opslorping in de weinig opslorpende milieus belangt alle gekleurde of pleochroïstische mineralen aan en leidt tot snelle identificeringsmethodes; als voorbeeld : granaat, tremoliet en biotiet. Voor de zeer absorberende milieus kan de selektie-opslorping suksesrijk aangewend worden bij de diaskopie in het nabije infrarood; als voorbeelden : wolframiet, columbotantaliet en diamant. De mineralen met metaalopslorping kunnen in een schuine weerkaatsing met een ellipsometrische techniek worden bestudeerd waarmee de brekings- en dempingsindexen kunnen worden gemeten; als voorbeelden : chromiet en arsenosulfide.

2. De termoluminescentie van de mineralen

Eerst wordt herinnerd aan de teoretische grondslagen waarmee de verschijnselen van kristallijne luminescentie in het algemeen en van termoluminescentie in het bijzonder kunnen worden verklaard; dan volgt een nauwkeurige beschrijving van de aangewende opsporings- en registreringsmethode, waarna een overzicht wordt gegeven van de fysicochemische factoren die de krommen van de natuurlijke en kunstmatige termoluminescen-

la température, la pression et les irradiations en provenance d'une source radioactive. L'incidence des potentiels de cristallisation conduit à une méthode d'identification des faciès : applications en pétrographie, en stratigraphie, en océanographie et en prospection (logs en séries calcaires tabulaires). L'incidence de la température conduit à la mise au point d'une méthode de thermométrie géologique : applications aux zones métamorphiques et aux zones minéralisées. Les effets de la radioactivité naturelle ou artificielle illustrés par la courbe de saturation de thermoluminescence permettent des applications intéressantes dans deux domaines différents : la dosimétrie des énergies radioactives reçues et la mesure des âges absolus (datation des poteries en archéologie et des granites en géologie).

INHALTSANGABE

1. Die Absorptionskapazität der Mineralien im kontinuierlichen Spektrum

Nachdem noch einmal auf die verschiedenen Mechanismen der Lichtabsorption bei den Mineralien eingegangen worden ist, wurden die selektiven und metallischen Absorptionen und die Meßgrößen, die deren Wirkung zu messen ermöglichen, definiert : Extinktionsindex, Absorptionskoeffizient oder Absorptionskapazität und doppelte Absorptionskapazität. Die selektive Absorption bei schwach absorbierenden Medien betrifft alle bunten oder pleochroischen Mineralien und ermöglicht Methoden zur schnellen Identifikation; Beispiele dafür sind die Granate, die Stralite und die Biotite. Bei stark absorbierenden Medien kann die selektive Absorption in der Diaskopie erfolgreich in dem Rot nahen Ultrarot-Bereich ausgenutzt werden; Beispiele dafür sind die Wolframite, die Kolumbium-Tantalite und der Diamant. Die Mineralien mit metallischer Absorption können mittels Schrägspiegelung unter Anwendung einer ellipsometrischen Technik untersucht werden, welche es ermöglicht, ihren Brechungsindex und ihren Extinktionsindex zu messen; Beispiele dafür sind die Chromite und die Arsensulfide.

2. Die Wärmestrahlung der Mineralien

Nachdem die theoretischen Grundlagen, durch die sich die Phänomene der Kristallumineszenz im allgemeinen und die der Wärmestrahlung im besonderen erklären lassen, in Erinnerung gerufen worden sind, wurde die angewandte Dedektions-

tie van een gegeven mineraal zouden kunnen beïnvloeden : de scheikundige kristalliseringspotentialen, de temperatuur, de druk en de bestuuringen door een radio-actieve bron. De invloed van de kristalliseringspotentialen leidt tot een identificeringsmethode van de faciës : toepassingen in de petrografie, in de stratigrafie, in de oceanografie en in de prospektie (reeksen optekendogrammen van tafelkalksteen). De invloed van temperatuur leidt tot de uitwerking van een geologische termometriemethode : toepassingen in metamorfische en in de gemineraliseerde zones. De werking van de natuurlijke of kunstmatige radio-activiteit die door de kromme van thermoluminescentieverzadiging wordt geïllustreerd, maakt in twee verschillende domeinen interessante toepassingen mogelijk : de dosimetrie van de opgenomen radio-actieve energie en de meting van absolute ouderdom (datering van het aardewerk in de archeologie en van het graniet in geologie).

SUMMARY

1. The absorbance of minerals in the visible spectrum

After a brief reminder of the various mechanisms of luminous absorption in minerals, a definition is given of the selective and metallic absorptions and the dimensions whereby the effect can be measured : extinction index, coefficient of absorption or absorbance and biabsorbance. The selective absorbance in only slightly absorbing media concerns all the coloured or pleochroic minerals and leads to methods of rapid identification : for example garnets, actinolites and biotites. In very absorbant media, the selective absorption may be successfully exploited by diascopy in the near infrared : e.g. wolframites, columbite-tantalites and diamond. The metallic absorption of minerals may be studied in oblique reflection by an ellipsometric technique which makes it possible to measure the refraction and extinction indices : e.g. chromites and arseno-sulphurs.

2. The thermoluminescence of minerals

After recalling the theoretical bases for explaining the phenomena of crystalline luminescence in general and thermoluminescence in particular, details are given of the method of detection and recording and after that is a

und Aufzeichnungsmethode erläutert; daran anschließend wurden die physikalisch-chemischen Faktoren aufgezählt, die die Kurven der natürlichen und der künstlichen Wärmestrahlung eines gegebenen Minerals beeinflussen können: die chemischen Kristallisationspotentiale, die Temperatur, der Druck und die Überstrahlungen radioaktiver Art. Die Wirkungsweise der Kristallisationspotentiale führt zu einer Identifikationsmethode der Gesteinsstrukturen: Anwendungen in der Geotektonik, der Formationskunde, der Beschreibung der Meere und in der Bodenforschung (synthetische dekandische Logarithmenreihe für Kalkstein). Die Wirkungsweise der Temperatur führt zur Adaptation einer Methode zur geologischen Wärmemessung: Anwendungen in metamorphen und vererzten Zonen. Die Wirkungen der natürlichen oder künstlichen Radioaktivität, dargestellt durch die Sättigungskurve der Wärmestrahlung, ermöglichen interessante Anwendungen auf zwei verschiedenen Gebieten: Messung der eingefangenen radioaktiven Energie mittels Dosimeter und exakte Bestimmung des Alters (Datierung von Töpferwaren in der Archäologie und in Graniten in der Geologie).

view of the physico-chemical factors likely to influence the natural and artificial luminescence curves of a given mineral: the chemical potentialities of cristallization, temperature, pressure and radiations from a radio-active source. The influence of the cristallization potentialities leads to a method of identification of the facies: applications in petrography, stratigraphy, oceanography and prospection (logs in tabular calcareous series). The influence of the temperature leads to the development of a method of geological thermometry: applications to metamorphic zones and mineralized zones. The effects of natural or artificial radio-activity illustrated by the curve of saturation of thermoluminescence permit interesting applications in two different fields: the dosimetry of radio-active energies received and the measurement of absolute ages (the dating of pottery in archeology and of granites in geology).

Le choix du sujet de notre propos axé sur les propriétés d'absorption aux radiations visibles et la thermoluminescence des minéraux, relève de plusieurs raisons, à savoir:

- le coût relativement peu élevé (environ 300.000 FB) des appareils nécessaires à leur exploitation;
- les bases théoriques très différentes, l'absorption s'appuyant sur la théorie classique de l'optique cristalline connue de longue date, la thermoluminescence encore imparfaitement expliquée de nos jours et faisant appel à la mécanique ondulatoire;
- les connaissances pratiques acquises dans les deux domaines au terme de plusieurs années de recherches consacrées à leur étude dans le laboratoire de Minéralogie de la Faculté polytechnique de Mons.

L'ABSORBANCE DES MINERAUX DANS LE SPECTRE VISIBLE

L'absorption de la lumière par un milieu quelconque obéit à une loi de la forme

$$a = a_0 e^{-\beta s} \quad (1)$$

où a_0 représente l'amplitude de l'onde incidente,

à l'amplitude de l'onde ayant traversé une épaisseur s du milieu considéré dont l'absorbance mesurée par le coefficient d'absorption β (en mm^{-1}) est elle-même fonction de la longueur d'onde λ de la radiation lumineuse d'après la relation

$$\beta = \frac{2 \pi k}{\lambda} \quad (2)$$

où k désigne l'indice d'extinction du milieu, nombre sans dimension susceptible de varier avec la longueur d'onde.

Le mécanisme de l'absorption diffère selon que le milieu absorbant est ou n'est pas électriquement conducteur. Dans les milieux non conducteurs, la perte d'énergie lumineuse correspond à une *absorption sélective* provoquée par un phénomène de résonance entre les vibrations propres des charges oscillantes et les vibrations lumineuses. En pareil cas, la fonction

$$k = f(\lambda) \quad (3)$$

passse par un maximum dans une bande d'absorption centrée sur la longueur d'onde propre λ_0 des charges oscillantes. Un minéral absorbant dans le spectre visible se caractérise par une bande d'absorption située, soit au voisinage du spectre visi-

ble (cas des minéraux colorés et pléochroïques), soit dans le spectre visible (cas des minéraux plus ou moins opaques aux radiations visibles). En vertu de la relation (2), l'opacité dans le spectre visible fait place à une transparence dans le domaine infrarouge, d'autant meilleure que la longueur d'onde est plus grande, d'où l'intérêt de la microscopie par transmission dans le proche infrarouge.

Dans les milieux électriquement conducteurs, la perte d'énergie lumineuse correspond à une *absorption métallique* par conductibilité pour laquelle l'absorbance et l'indice d'extinction vérifient les relations.

$$\beta = \frac{\sigma}{c_0 n} \quad (4)$$

et
$$k = \frac{\sigma \lambda}{2 c_0 n} \quad (5)$$

où σ représente la conductibilité électrique, n l'indice de réfraction et c_0 une constante. En pareil cas, l'indice d'extinction apparaît toujours très élevé surtout dans le domaine infrarouge et la technique la plus simple pour la mesure de k et de β consiste à étudier les propriétés de la lumière réfléchie par de tels milieux à l'aide d'un microscope à réflexion.

La mesure de l'absorbance β des minéraux colorés ou pléochroïques est basée sur la comparaison des flux lumineux transmis, d'une part, par la lame mince d'épaisseur s du minéral étudié et, d'autre part, par une lame de même épaisseur d'un minéral étalon transparent. La technique, en tout point comparable à celle relative à la mesure du pouvoir réflecteur, nécessite l'emploi d'une source continue stabilisée, d'un tube photomultiplicateur jouant le rôle de cellule oculaire et d'un galvanomètre enregistreur. Les résultats obtenus avec les grenats (fig. 1) mettent en évidence une augmentation sensible de l'absorbance des variétés titanifères (Toubeau, 1963). Toute section anisotrope d'un minéral pléochroïque se caractérise à la fois par une biréfringence ($n_1 - n_2$) et par une *biabsorbance*

$$\mathcal{B} = \beta_1 - \beta_2 \quad (6)$$

dont la mesure par la méthode de l'analyseur tournant (Toubeau, 1962) s'avère extrêmement simple et rapide. Toute lame pléochroïque d'épaisseur s en position diagonale sur la platine du microscope et dont le retard a été compensé apparaît incomplètement éteinte entre nicols croisés à 90° ; on peut rétablir l'extinction en tournant l'analyseur d'un angle θ lié à la biabsorbance par la relation

$$\ln \operatorname{tg} (45^\circ \pm \theta) = \mathcal{B} s \quad (7)$$

Appliquée aux biotites (Toubeau, 1963), la

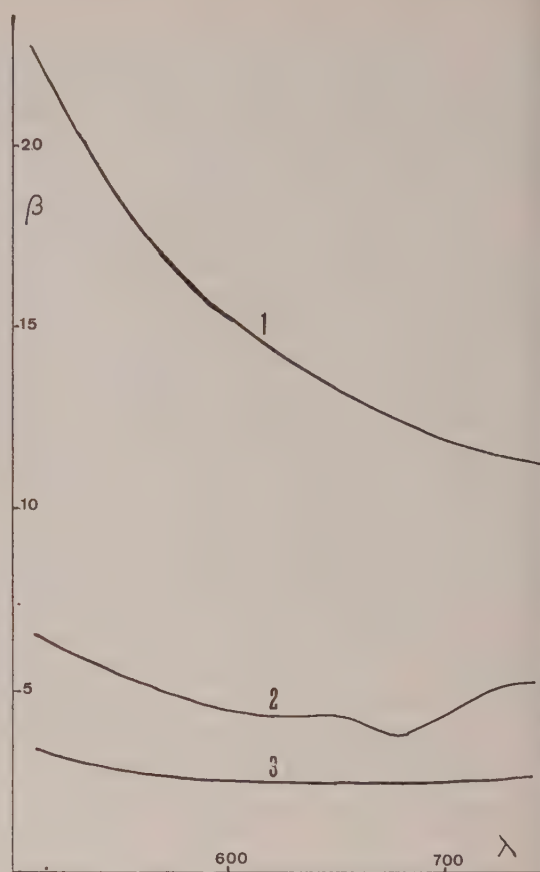


Fig. 1.

L'absorbance des grenats dans le spectre visible.
Légende : β : absorbance en mm^{-1} ; λ : longueur d'onde en $\text{m}\mu$;
1, 2, 3 : absorbances d'une mélánite, d'un almandin et d'un grossulaire.

méthode a conduit à la conclusion que la biabsorbance principale varie en fonction du rapport pondéral $\rho = 100 \text{ MgO}/A$ où A représente la somme $\text{FeO} + \frac{1}{2} [\text{Fe}_2\text{O}_3 + \text{TiO}_2]$ (fig. 2). Les biotites titanifères se caractérisent ici aussi par des valeurs nettement plus élevées de leur biabsorbance. Compte tenu du chimisme relativement complexe des micas, on voit tout le parti qu'on peut retirer de la biabsorbance, notamment dans l'établissement des isogrades de métamorphisme.

Les minéraux opaques dans le spectre visible mais transparents dans l'infrarouge comme la plupart des oxydes (ilménites, columbo-tantalites, ...) et certains sulfosels (cuivres gris, proustite, ...) peuvent être étudiés avec succès en *microscopie par transmission dans le proche infrarouge*, technique qui consiste à adjoindre au microscope ordinaire un convertisseur d'images infrarouge (Bailly, 1950; Toubeau, 1961). La microscopie infrarouge permet les observations diascopiques avec autant de facilité que celle offerte en diascopie classique avec des minéraux transparents dans le domaine visible (mesures de l'indice de réfraction, de la biréfringence principale, d'...

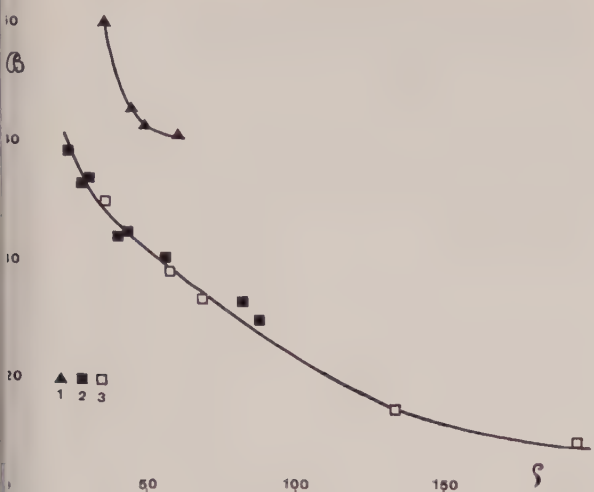


Fig. 2.

La biabsorbance principale des biotites ($\lambda = 525 \text{ m}\mu$).

Légende: β : biabsorbance principale en mm^{-1} ;
 ρ : rapport pondéral $100 \text{ MgO/FeO} + 1/2 (\text{Fe}_2\text{O}_3 + \text{TiO}_2)$;
 1: biotite rouge titanifère; 2: biotite brune;
 3: biotite verte.

angle d'extinction, de l'angle des axes optiques). Parmi les applications déjà nombreuses de la méthode, nous avons retenu l'étude des ilménites et des columbo-tantalites. Les ilménites, dont l'indice ordinaire de réfraction reste inférieur à 3, conviennent à la réfractométrie infrarouge ($\lambda = 50 \text{ m}\mu$) par immersion du minéral dans des liquides très réfringents et observation de la tache de Becke (Cervelle, 1967). Les résultats obtenus se traduisent par une relation simple (fig. 3) entre la teneur pondérale en MgO et l'indice de réfraction ordinaire, dont l'utilisation s'avère particulièrement intéressante en prospection diamantifère où les ilménites magnésiennes

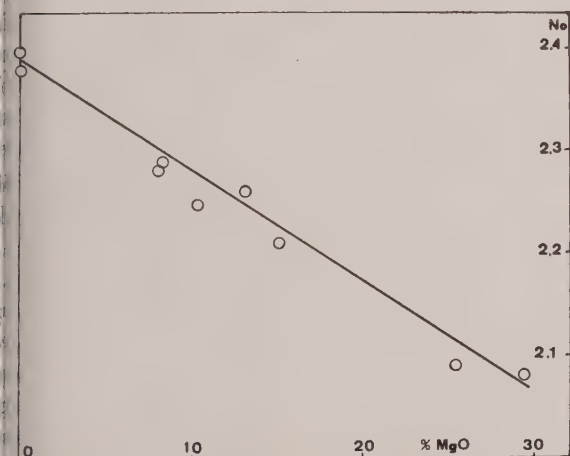


Fig. 3.

La réfringence des ilménites dans le proche infra-rouge ($\lambda = 950 \text{ m}\mu$).

Légende: N_o : indice ordinaire; τ : pourcentage pondéral de MgO.

apparaissent comme des minéraux accompagnateurs du diamant.

La biréfringence principale (N_g-N_p), des columbo-tantalites dans l'infrarouge proche ($\lambda = 950 \text{ m}\mu$), elle aussi liée à la teneur pondérale en Ta_2O_5 (fig. 4) (Beugnies et Mozafari, 1968), offre la possibilité d'un dosage du tantale, problème particulièrement ingrat à résoudre par les méthodes classiques de la chimie analytique.

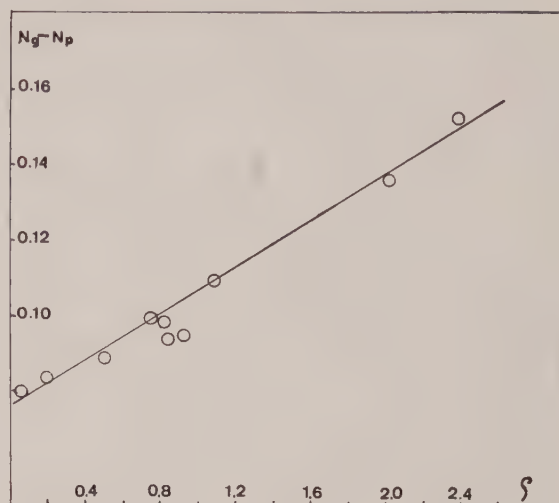


Fig. 4.

Biréfringence principale des columbotantalites dans le proche infrarouge ($\lambda = 950 \text{ m}\mu$).

Légende: N_g-N_p : biréfringence principale; ρ : rapport pondéral $\text{Ta}_2\text{O}_5/\text{Nb}_2\text{O}_5$.

L'absorption dans l'infrarouge lointain ouvre, dans certains cas particuliers, des perspectives intéressantes. C'est ainsi qu'on peut distinguer une variété de diamant (du type I) par la présence d'une bande d'absorption (fig. 5) centrée sur la longueur d'onde $\lambda = 8 \text{ microns}$.

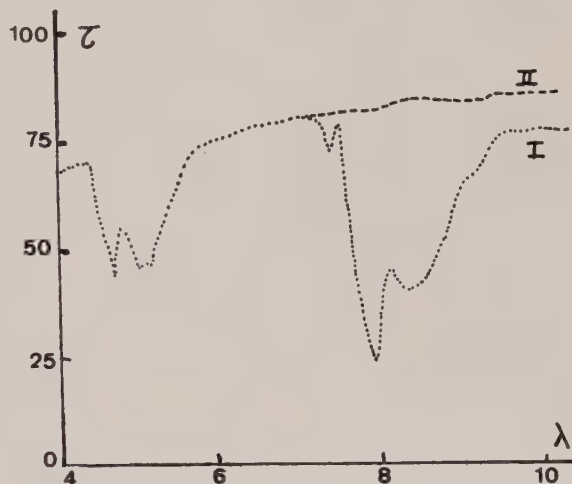


Fig. 5.

Spectres d'absorption infrarouge du diamant des types I et II.

Légende: λ : longueur d'onde en microns; τ : facteur de transmission en %.

Lorsque le minéral se caractérise, soit par une absorption sélective trop importante couvrant les domaines visible et infrarouge, soit par une absorption métallique, la mesure de l'absorbance ou de l'indice d'extinction doit nécessairement faire appel à la *microscopie par réflexion* qui dispose actuellement de deux techniques différentes, l'une basée sur la mesure du pouvoir réflecteur en réflexion normale, l'autre sur l'ellipsométrie par réflexion oblique.

Le pouvoir réflecteur R d'une surface polie d'un minéral dont les indices de réfraction et d'extinction valent respectivement n et k , dans un milieu incident transparent d'indice n_0 est exprimé par la relation

$$R = \frac{(n - n_0)^2 + k^2}{(n + n_0)^2 + k^2} \quad (8)$$

Deux mesures de R dans deux milieux incidents d'indices différents (généralement l'air et une huile) conduisent à deux valeurs de R permettant de résoudre deux équations du type (8) aux inconnues n et k .

La méthode a notamment permis de préciser l'absorbance de la zinkénite (Lopez-Zoler et Bosch-Figueroa, 1970), de la pyrrhotite (Cervelle, Caye et Billard, 1970) et des ilménites (Caye et Cervelle, 1968).

L'ellipsométrie par réflexion oblique, qui conduit à des résultats tout aussi précis sans nécessiter l'utilisation d'étalon réflecteur, consiste à préciser le caractère elliptique de l'onde réfléchie sous l'incidence oblique ($i = 45^\circ$) par une surface polie du minéral à étudier. L'onde réfléchie se caractérise par l'angle d'orientation (γ) qui fixe la position du grand axe ox de l'ellipse par rapport à la direction de polarisation incidente et l'angle d'ellipticité (δ) lié au rapport d'axes de l'ellipse par la relation

$$\tan \delta = \frac{\sigma_y}{\sigma_x} \quad (9)$$

Les angles γ et δ mesurés à moins de 0.1° près conduisent aux valeurs de n et de k (Beugnies, 1967, Beugnies et Robaszynski, 1969) par résolution d'un système d'équations dont les solutions générales préalablement établies sont fournies sous forme de tables numériques à double entrée. La méthode applicable aux minéraux isotropes ou anisotropes permet de résoudre des problèmes difficiles de diagnose et même de doser certains éléments dans les cas favorables de séries isomorphes. C'est ainsi qu'il est possible de distinguer rapidement le mispickel de la löllingite, cette dernière ayant une absorbance 4 à 5 fois plus élevée que celle du mispickel. Parmi les mispickels, où le rapport S/As peut subir certaines fluctuations, l'indice principal N_g varie de 4,91 à 4,46

lorsque le rapport précité passe de 0,80 à 1,11 (Beugnies et Robaszynski, 1969).

Il n'est pas exagéré de conclure que l'absorbance des minéraux dans le spectre visible a ouvert au microscope polarisant de nouvelles et fructueuses applications dont l'intérêt ne peut échapper aux minéralogistes, aux métallogénistes aux pétrographes ou aux prospecteurs.

LA THERMOLUMINESCENCE DES MINÉRAUX

Dans un cristal parfait, électriquement isolant, la mécanique quantique assigne aux électrons les plus externes des atomes constitutifs, une série de niveaux énergétiques possibles répartis dans la bande de valence E_v (fig. 6a) séparée de la bande de conduction E_c par une zone interdite couvrant une différence énergétique $E_c - E_v$ telle qu'aucun électron ne peut accéder à la bande supérieure de conduction. La présence d'imperfections dans le cristal (impuretés, dislocations, macles,...) perturbe la distribution électronique et introduit de nouveaux états énergétiques possibles localisés dans la zone interdite et jouant le rôle, soit de centres électropositifs susceptibles de fixer des électrons — ce sont alors des *pièges à électrons* — dont les niveaux sont relativement proches de la bande de conduction — soit des centres électro-négatifs capables de fixer des charges positives et ce sont alors des *pièges à trous* dont les niveaux se trouvent à proximité de la bande de valence (fig. 6b). Un piège à électron repéré par sa *profondeur* mesurée par la différence énergétique

$$\Delta E_n = E_c - E_n \quad (10)$$

peut contenir un certain nombre d'électrons piégés lorsque le cristal a subi une *excitation* provoquée par l'absorption d'une quantité excédentaire d'énergie lui conférant un état métastable (fig. 6c). En pareil cas, le retour des électrons piégés à l'un des niveaux de la bande de valence n'est pas possible directement. Il n'est possible que par le passage préalable de l'électron piégé à la bande de conduction sous l'effet d'une *impulsion énergétique* au moins égale à la profondeur du piège donnée par (10). Le retour à la bande de valence (fig. 6d) se produit alors avec libération d'énergie sous forme de *luminescence* qui peut être monochromatique et de fréquence

$$\nu = \frac{E_c - E_v}{h} \quad (11)$$

si le retour se fait en une fois, ou polychromatique lorsque le retour s'opère par paliers limités par des niveaux intermédiaires. La luminescence déclenchée par une impulsion thermique porte le nom de *thermoluminescence* et elle se manifeste à des températures d'autant plus élevées que l

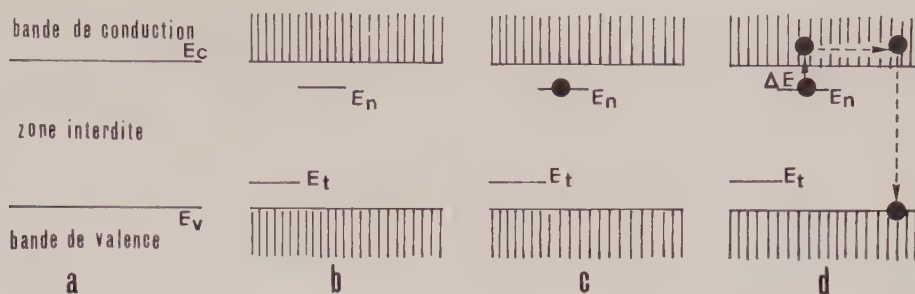


Fig. 6.

Les niveaux énergétiques des électrons d'un cristal.

Légende : a : cristal parfait ; b : cristal imparfait avec piège à électron E_n ; c : cristal thermoluminescent avec électron piégé ; d : mécanisme de la thermoluminescence.

pièges à électrons sont plus profonds, la limite de détection vers les hautes températures étant fixée par le seuil d'incandescence pratiquement situé vers 400 °C. La cellule de mesure de l'émission thermoluminescente comporte essentiellement un élément chauffant, un tube photomultiplicateur jouant le rôle de détecteur et d'amplificateur du flux lumineux émis, un système d'enregistrement à deux coordonnées permettant le relevé de l'intensité d'émission en fonction de la température. La courbe enregistrée présente un ou plusieurs pics dont la hauteur est proportionnelle au nombre d'électrons piégés et dont la température mesure la profondeur du piège (Daniels et Saunders, 1950 - Zeller, 1952 - Charlet, 1963, 1969). Habituellement obtenu à partir d'un certain volume de matière pulvérisée, l'enregistrement peut encore être réalisé à partir d'un grain monocristallin isolé dans le champ du microscope optique (Charlet, 1970).

Comme le quartz, les feldspaths et les carbonates se révèlent naturellement thermoluminescents, la quasi-totalité des roches peuvent faire l'objet d'une *analyse pétrographique par thermoluminescence* dont l'intérêt réside dans le fait que la thermoluminescence apparaît comme la restitution d'une énergie accumulée dans la roche pendant ou après sa formation. La courbe de thermoluminescence permet ainsi de préciser les actions syngénétiques ou épigénétiques subies par une roche ou un minéral sous la forme d'une énergie induite par la pression (tectonique, profondeur), par les potentiels de cristallisation (concentrations des constituants, présence d'impuretés, vitesse de refroidissement ou d'évaporation), par les transferts thermiques (température), par les irradiations (sources radioactives) et dont les effets peuvent se marquer à la fois sur le nombre et la distribution des pièges à électrons (température d'émission) et sur le nombre d'électrons piégés (intensité de l'émission).

L'effet thermique agissant sur un minéral comme le quartz qui se caractérise habituelle-

ment par une courbe de thermoluminescence à deux pics (fig. 7), se traduit à la fois par un *déclin* (diminution de la hauteur) et une *dérive* (déplacement vers les hautes températures) du pic de basse température. La thermoluminescence du quartz peut donc utilement faire office de *thermomètre géologique* susceptible de préciser, par exemple, les isogrades de métamorphisme ou l'existence locale d'un gradient thermique. Le premier cas est illustré (fig. 8) par le tracé des *zones de métamorphisme* dans les massifs cambriens de la Haute Ardenne, établi d'après la

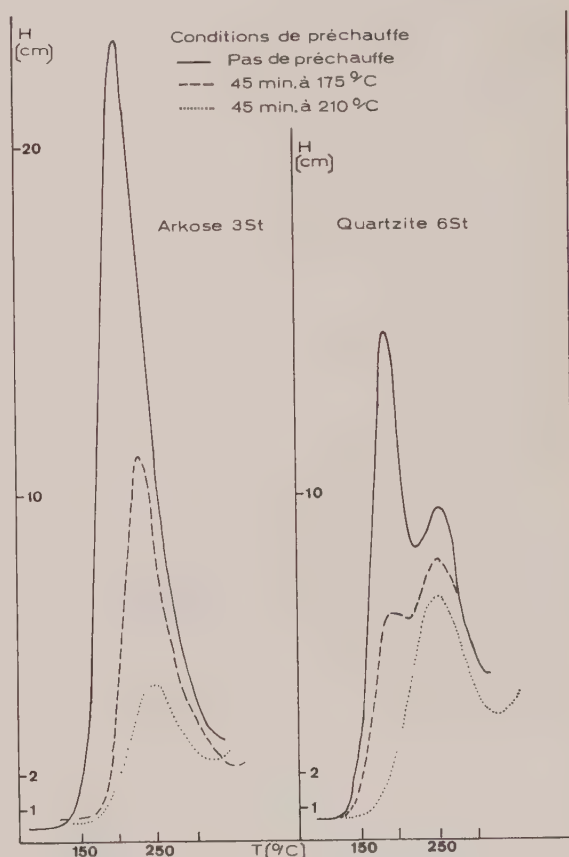


Fig. 7.

Déclin et dérive thermiques de la thermoluminescence naturelle.

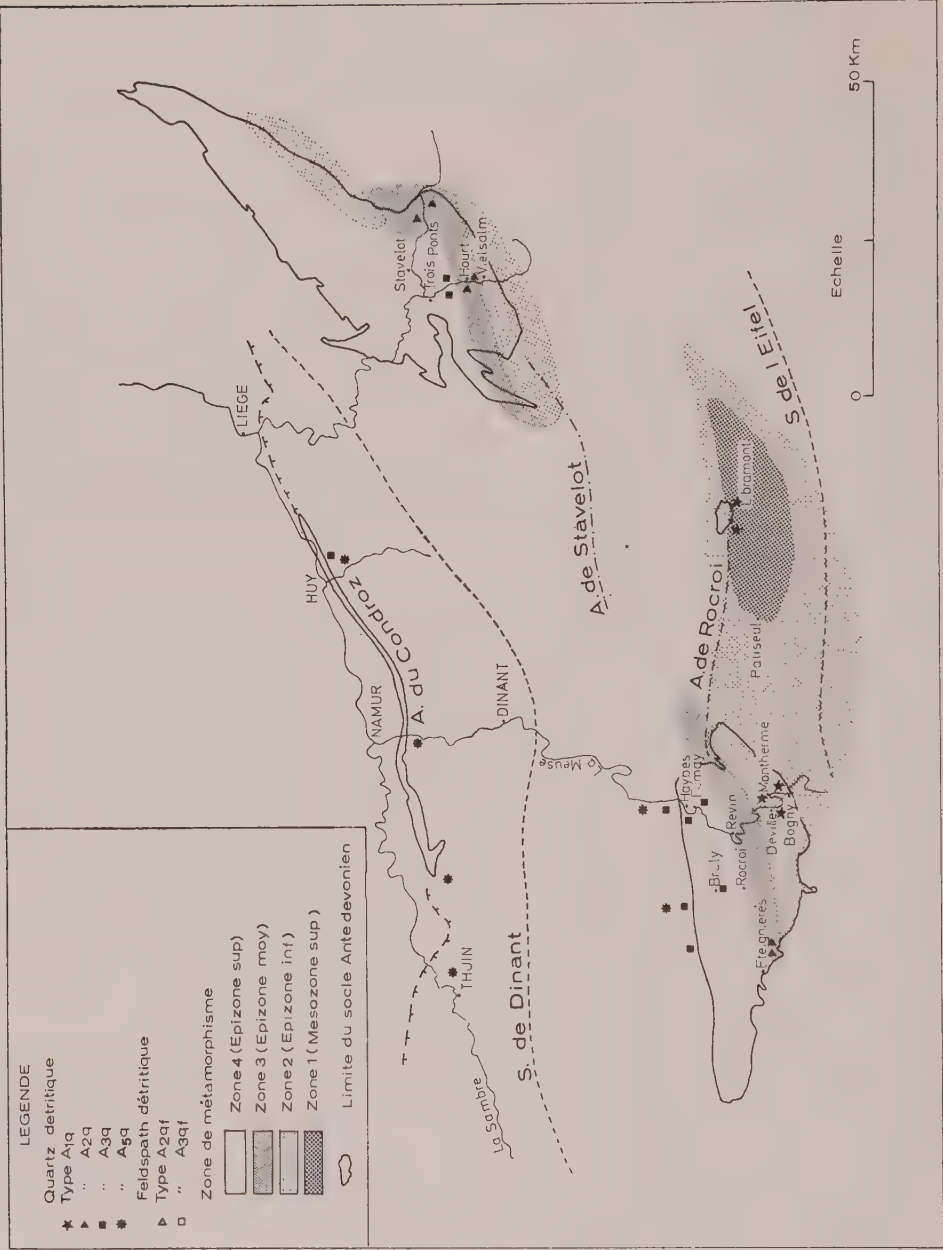


Fig. 8.
La thermoluminescence des quartzites dans ses relations avec le métamorphisme paléozoïque de l'Ardenne.

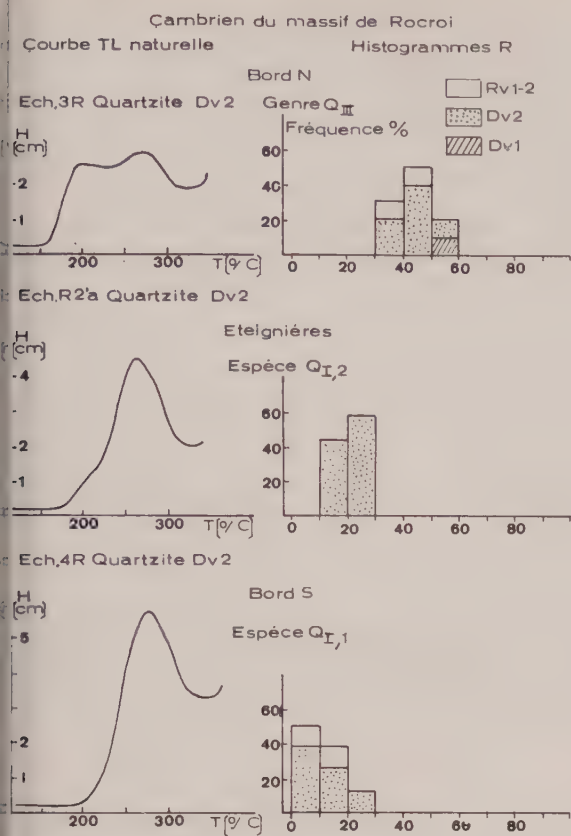


Fig. 9.

La thermoluminescence naturelle des quartzites cambriens de l'Ardenne.

thermoluminescence des quartzites (fig. 9), et comparé aux limites des faciès classiquement reconnus d'après les minéraux typomorphes tels que la spessartite, le chloritoïde ou l'ilménite. Dans bien des cas, la méthode par thermoluminescence s'avère plus précise et offre en outre l'avantage d'être applicable aux séries essentiellement arénacées, souvent peu propices aux paragenèses de métamorphisme. La localisation par thermoluminescence de *gradient thermique* résultant d'une minéralisation en filon ou en imprégnation peut utilement servir le prospecteur comme ce fut le cas pour la reconnaissance des gisements à chalcopryrite à Springdale, Canada (MacDougall, 1966).

Lorsque la thermoluminescence d'une roche sédimentaire découle exclusivement d'actions syngénétiques subies par ses constituants, elle peut contribuer à l'établissement de leur « fiche d'origine ». Utilisée dans ce sens, la thermoluminescence des roches des séries arénacées permet de *localiser les dépôts nourriciers* dans le cadre régional d'une géographie actuelle ou ancienne. C'est ainsi qu'on a pu mettre en évidence (Charlet, 1969), au cours des temps cambriens, l'existence d'une aire émergée occupant sensiblement l'actuelle bande silurienne du Condroz et séparant le bassin braban-

çon au nord (fig. 10), alimenté par un quartz principalement du type Q_I et accessoirement du type Q_{II}, d'un bassin ardennais au sud caractérisé essentiellement par un quartz Q_{II} en provenance du craton condrusien. La méthode d'analyse par thermoluminescence ouvre de la sorte aux stratigraphes, aux tectoniciens et aux océanographes des possibilités d'investigation confirmées à maintes reprises (Broquet et Charlet, 1965 - Charlet et Waterlot, 1969 - Beugnies, Broquet, Caire, Charlet, Duée, Mascle et Truillet, 1969).

En l'absence de toutes modifications ultérieures d'origine tectonique ou métamorphique, la thermoluminescence d'une roche peut être interprétée comme l'expression de l'action conjointe des facteurs physico-chimiques ayant conditionné sa formation. Elle permet alors l'identification des *lithofaciès* aussi bien dans les complexes magmatiques (Charlet, 1969 - Beugnies et Charlet, 1970) que dans les séries sédimentaires (Bergstrom, 1956 - Parks, 1953 - Charlet, 1963). En particulier, l'application au bassin crétacé de Mons (Charlet, 1963) montre la possibilité d'y établir des corrélations lithostratigraphiques (fig. 11). Une telle méthode ouvre de nouvelles perspectives à la prospection pétrolière où les *logs de thermoluminescence* peuvent remplacer ou compléter les logs de résistivité ou de radioactivité.

Pour étudier l'effet de la radioactivité sur un minéral thermoluminescent, il est commode d'annihiler préalablement sa thermoluminescence naturelle par chauffage à 500 °C, puis de lui restituer une thermoluminescence artificielle en le soumettant à des irradiations de durées croissantes fournies par une source radioactive comme le cobalt 60. En portant l'intensité de thermoluminescence en fonction de la durée d'exposition, on établit une *courbe de saturation*, où l'on distingue habituellement (fig. 12) un premier tronçon à croissance linéaire traduisant le remplissage progressif des pièges à électrons, un deuxième tronçon marqué par un maximum résultant de la saturation des pièges et un troisième tronçon où l'intensité décroît sous l'effet destructeur des fortes doses de radioactivité. La courbe de saturation, dans sa partie linéaire, exprime la proportionnalité entre l'intensité de thermoluminescence H (mesurée par la hauteur du pic ou l'aire sous-tendue par la courbe) et la dose de radiation emmagasinée, elle-même proportionnelle au produit de l'intensité i_0 de la source et du temps τ d'exposition, soit

$$H = K_0 i_0 \tau \quad (12)$$

où K_0 est une constante expérimentale. L'exploitation de la relation (12) conduit à la dosimétrie des radiations γ et à la détermination de l'âge absolu des roches.

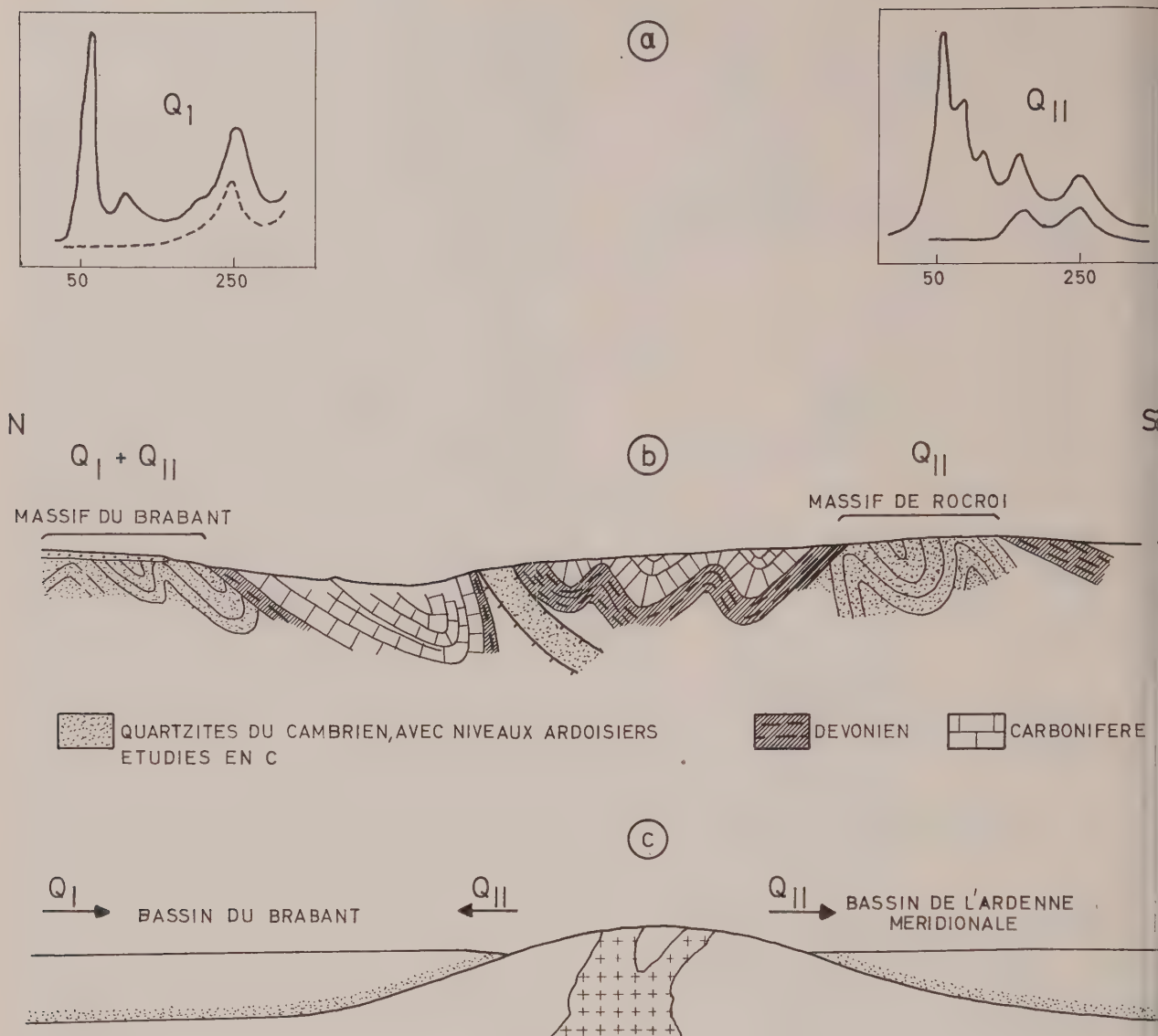


Fig. 10.

La thermoluminescence des quartzites dans ses relations avec la paléogéographie cambrienne de l'Ardenne.

- Légende:** a — Courbes de thermoluminescence naturelle et artificielle des quartzites cambriens (type Q_I et Q_{II}) de l'Ardenne;
 b — Localisation actuelle des types Q_I et Q_{II} sur la coupe du paléozoïque de l'Ardenne;
 c — Schéma paléogéographique de l'Ardenne à l'époque cambrienne déduit de l'analyse par thermoluminescence.

Les dosimètres par thermoluminescence utilisés comme indicateurs de contrôle dans les laboratoires comportent essentiellement un minéral thermoluminescent (fluorine ou feldspath) choisi pour ses qualités de sensibilité (K_0 élevé) et de reproductibilité (K_0 constant sur de très longues périodes d'utilisation) (Bruaux, 1962 - Grogler, Houtermans et Stauffer 1958 - Schayes, Lorthoir et Lheureux, 1963).

La méthode de datation par thermoluminescence consiste à reproduire dans la roche une thermoluminescence artificielle de même intensité H que sa thermoluminescence naturelle, supposée induite par les seuls effets de sa radioactivité propre d'intensité i ayant agi depuis sa formation jusqu'à nos jours soit pendant une durée couvrant son âge géologique t . Si la source radioactive naturelle est comparable dans ses effets

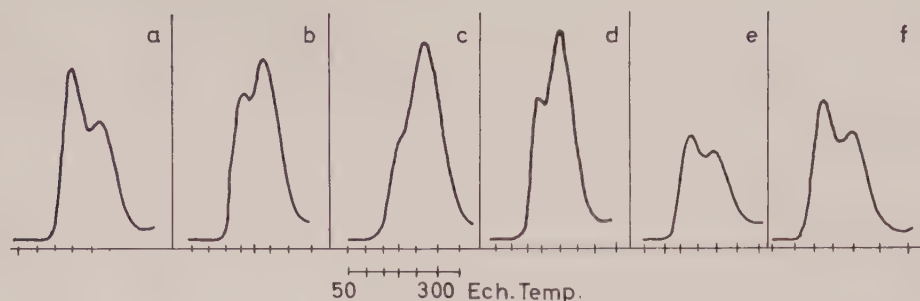


Fig. 11.

Tension tube 1100 V. - granulométrie 150-200 M. - poids d'échantillon 0,450 g - shunt 1.

thermoluminescence naturelle des craies du Bassin crétacé de Mons au voisinage de la limite des assises d'Obourg et de Trivières.

- légende : a — Craie de Trivières à 2,5 m en dessous du conglomérat à Belemnites ;
 b — Idem au contact du conglomérat ;
 c — Conglomérat à Belemnites et « hard ground » du mur ;
 d — Craie d'Obourg près du contact avec le conglomérat ;
 e — Idem à 2 m au-dessus du conglomérat ;
 f — Idem à 5 m au-dessus du conglomérat.

source artificielle, on peut écrire une relation analogue à (12), à savoir

$$H = K i t \quad (13)$$

(12) et (13), on tire :

$$t = c \frac{\tau}{i} \quad (14)$$

La relation (14) permet la datation de la roche par mesure de la durée équivalente d'irradiation et l'activité propre i . La constante c , qui dépend des conditions expérimentales et des unités de

mesure, est préalablement établie à partir d'une série de roches d'âge connu. La méthode est utilisée avec succès pour la *datation des événements récents*, notamment en archéologie pour la datation des poteries dont la radioactivité dépend essentiellement du carbone 14 (Kennedy, Knopoff et Higgins, 1960 - Aitken, Tite et Reid, 1964). La *datation des granites*, qui met en jeu la radioactivité de l'uranium, du thorium ou du potassium, soulève des difficultés d'ordre expérimental et théorique, mais les résultats déjà acquis (Zeller et Ronca, 1962 - Charlet, 1969) laissent entrevoir d'énormes possibilités.

De ce bref aperçu, on emporte la conviction que la thermoluminescence des minéraux, malgré la connaissance encore imparfaite que nous en avons, constitue un outil à la fois précis et puissant qui ouvre à la géologie moderne, les plus brillantes perspectives.

BIBLIOGRAPHIE

- AITKEN M.J., TITE M.S., REID J. — 1964 — Thermoluminescent dating of ancient ceramics. *Nature G.B.*, 202, 4936, 1032-1033.
 BAILLY R. — 1950 — Nouvelles méthodes de recherches en infra-rouge proche. *Revue Un. Min.*, 6, n° 6.
 BEUGNIES A. — 1967 — Ellipsométrie par réflexion oblique de la lumière sur les sections polies des minéraux opaques et isotropes. *Bull. Cl. Sc. Ac. R. de Belgique*, 53, 10, 1219-1234.
 BEUGNIES A., BROQUET P., CAIRE A., CHARLET J.M., DUEE G., MASOLE G., TRUILLET R. — 1969 — Contribution de la thermoluminescence à la paléogéographie de la Méditerranée centrale. *Bull. Soc. Géol. France*, 11, 307-322.
 BEUGNIES A., CHARLET J.M. — 1970 — Sur l'âge hercynien des microgranites du Massif Cambrien de

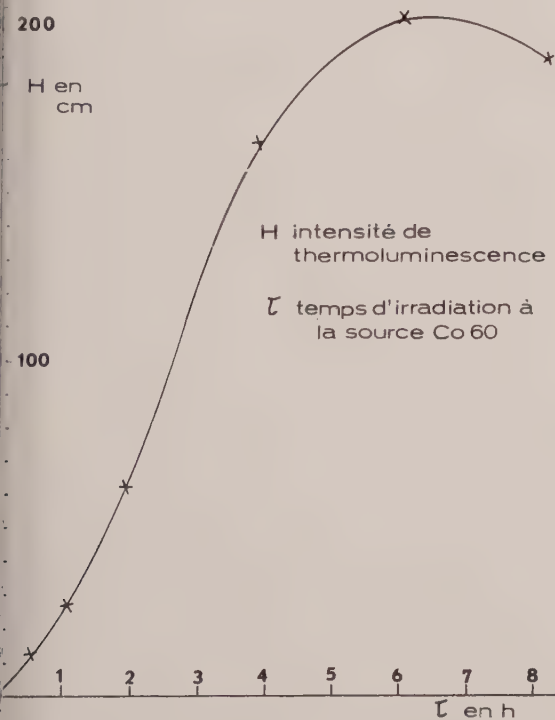


Fig. 12.

Courbe de saturation du granite de Gien-sur-Cure.

- Rocroi (données pétrographiques et analyse par thermoluminescence).
Ann. Soc. Géol. Belgique, 93, 431-451.
- BEUGNIES A., MOZAFARI Ch. — 1968 — Contribution à l'étude des Columbotantalites et des Tapiolites.
Ann. Soc. Géol. Belgique, 91, 35-91.
- BEUGNIES A., ROBASZYNSKI Fr. — 1969 — Réfractométrie et absorptiométrie de la Löllingite, du Mispickel et de la Rammelsbergite.
Bull. Soc. Belge Géol., 78, 199-212.
- BERGSTROM R.E. — 1956 — Surface correlation of some Pennsylvanian limestones in Mid Continent by thermoluminescence.
Bull. amer. An. Petrol. Geol., 5, 40, 918-942.
- BROQUET P., CHARLET J.M. — 1965 — Utilisation de la thermoluminescence naturelle des quartz et des feldspaths détritiques dans l'étude de quelques formations sédimentaires siciliennes.
Ann. Soc. Géol. Nord, 85, 79-96.
- BRUAUX A. — 1962 — La dosimétrie par thermoluminescence.
Revue Manuf. Belge Lampes et Mat. Electr., Bruxelles (revue M.B.L.E.), 5, n° 4, 272-297.
- CAYE R., CERVELLE B.D. — 1968 — Détermination de l'indice de réfraction et du coefficient d'absorption des minéraux non transparents.
Bull. Soc. Fr. Miner. Crist., 91, 284-288.
- CERVELLE B.D. — 1967 — Contribution à l'étude de la série Ilménite-Geikielite.
Bull. B.R.G.M., 6.
- CERVELLE B.D., CAYE R., BILLARD — 1970 — Détermination de l'ellipsoïde des indices de cristaux uniaxes fortement absorbants. Application à la pyrrhotite hexagonale.
Bull. Soc. Fr. Min. Crist., 93, 72-82.
- CHARLET J.M. — 1963 — La thermoluminescence des roches et son utilité en géologie.
Ann. Soc. Géol. Nord, 83, 243-258.
- CHARLET J.M. — 1969 — La thermoluminescence des roches quartzofeldspathiques. Application à l'étude des séries sédimentaires détritiques; intérêt dans la datation des granites.
Bull. B.R.G.M., 2ème série, Sect. II, 2 et 3.
- CHARLET J.M. — 1970 — Le photomètre de micro-thermoluminescence; son intérêt dans les applications de la TL à la géologie.
Ann. Soc. Géol. Nord, 90, 23-31.
- CHARLET J.M., WATERLOT M. — 1969 — La thermoluminescence utilisée dans l'étude de quelques sédiments quartzofeldspathiques du Paléozoïque des Pyrénées centrales.
Bull. Soc. Géol. France, 11, 298-306.
- DANIELS F., SAUNDERS D.F. — 1950 — Thermoluminescence of rocks.
Science U.S.A., 3, 462.
- GROGLER N., HOUTERMANS F.G., STAUFFER H. — 1958 — The use of thermoluminescence for dosimetry and in research on the radiation and thermal history of solids.
Proc. 2^d Int. Conf. of Atomic Energy, Geneva, 226-229.
- KENNEDY G.C., KNOPOFF L., HIGGINS G. — 1960 — Attempt to determine the antiquity of ancient fire objects by determination of thermoluminescence glow curves.
Geol. Soc. Amer. Progr. Ann. Meet., 135-136.
- LOPEZ-SOLER A., BOSCH-FIGUEROA J.M. — 1970 — Etude optique de la Zinkénite ($PbSb_2S_4$). Détermination de l'indice de réfraction, du coefficient d'absorption et de l'indice d'absorption sur sections orientées.
Bull. Soc. Fr. Minér. Crist., 93, 83-88.
- MAC DOUGALL D.J. — 1966 — A study of the distribution of thermoluminescence around an ore deposit.
Econ. Geol., 61, 1090-1103.
- MAC DOUGALL D.J. — 1968 — Thermoluminescence of geological materials.
Academic Press, London and New York, 678 p.
- PARKS J.M. — 1953 — Use of thermoluminescence of limestones in subsurface stratigraphy.
Bull. Amer. Ass. Petr. Geol., 37, 125-142.
- SCHAYES R., LORTHOIR M., LHEUREUX M. — 1963 — La dosimétrie par thermoluminescence.
Revue M.B.L.E., 6, n° 1, 4-30.
- TOUBEAU G. — 1961 — Etude des minéraux opaques dans l'infra-rouge proche.
Bull. Soc. Belge Géol., 70, 281-289.
- TOUBEAU G. — 1962 — Nouvelles méthodes optiques de mesure de la biabsorbance dans les milieux cristallins transparents.
Bull. Cl. Sc. Ac. R. Belgique, 68, 99-126.
- TOUBEAU G. — 1963 — Etude théorique et pratique de l'absorption de la lumière par les milieux cristallins transparents.
Thèse de doctorat, Faculté Polytechnique de Mons.
- ZELLER E.J. — 1952 — Thermoluminescence as a radiation damage method of geologic age determination in carbonate sediments.
19ème Cong. Geol. Int., Alger, sect XII, f.XII, 365-366.
- ZELLER E.J., RONCA L.B. — 1962 — New developments in the thermoluminescence method of geological determination.
Rad. Datin Proc. Symp., Athens, Vienna, International Atomic Energy Agency, 73-85.

DISCUSSION

J.P. Herin

Peut-on expliquer le phénomène de dérive thermique de la thermoluminescence ?

A. Beugnies

Jusqu'à présent le phénomène reste inexpliqué malgré les recherches des physiciens pour tenter

de le résoudre. Il semble toutefois que la dérive thermique soit la conséquence d'un mécanisme de recapture d'un électron au niveau du piège après son passage préalable à la bande de conduction.

M. Denaeyer

Avez-vous appliqué l'analyse par thermoluminescence aux carbonatites ?

Beugnies

ien que jusqu'à présent nous n'ayons pas
ore étudié la thermoluminescence des carbona-
s, on peut cependant affirmer que les carbo-
tes sont thermoluminescentes comme toutes
roches carbonatées. La thermoluminescence
duirait sans doute à discerner parmi les car-
atites plusieurs faciès correspondant à des con-
ons différentes de formation (température,
ssion, chimisme du milieu).

es essais effectués sur une dizaine d'échantil-
s permettraient éventuellement de se faire une
e plus précise de la validité de la méthode à
égard. Toutefois, il paraît exclu d'utiliser la
moluminescence des carbonatites en vue de
terminer l'âge de leur formation, la thermolu-
escence des carbonates étant beaucoup trop
sible aux facteurs autres que la radio-activité.

G. Panou

es courbes de dosage des wolframites et des
umbo-tantalites sont-elles influencées par la
sence d'autres métaux (Ti, Sn) ou par la
eur du rapport Fe/Mn ?

Beugnies

n ce qui concerne les wolframites, les proprié-
optiques étudiées ($N_g - N_p$; $2V$; $N_g \wedge c$) sont

uniquement fonction du pourcentage en Fe ou en
Mn. Pour les columbo-tantalites, les valeurs de
la biréfringence principale comme celles des indi-
ces principaux apparaissent uniquement influen-
cées par les proportions relatives de Ta_2O_5 et
 Nb_2O_5 ; seule la biabsorbance semble croissante
avec la teneur en FeO.

J.M. Legrand

Vous êtes-vous intéressé à la qualité de la
lumière émise par thermoluminescence ?

A. Beugnies

Jusqu'à présent, nous n'avons pas abordé
l'analyse spectrale de l'émission de thermolumi-
nescence relativement facile à réaliser en prin-
cipe, mais dont la difficulté technique est liée aux
flux lumineux extrêmement faibles à détecter. Le
problème a été résolu par utilisation d'un analy-
seur à multicanaux permettant un enregistrement
à 3 coordonnées dont l'une correspond à l'échelle
des longueurs d'onde. Les résultats obtenus,
notamment aux U.S.A., offrent de nouvelles pos-
sibilités d'utilisation de la thermoluminescence.
Il est en effet évident que la longueur d'onde des
radiations émises constitue un paramètre supplé-
mentaire qui permet d'affiner encore la méthode
d'analyse.

Utilité de la représentation d'un réseau d'aérage suivant la méthode Budryk

Nut van de grafische « Budryk »-voorstelling van een ondergronds kolenmijnventilatiernet

HAUSMAN *

RESUME

L'auteur donne une extension à la notion de maille et de diagonale.

Partant de cette notion, il donne le moyen de terminer systématiquement :

Toutes les mailles d'un réseau.

Si un tronçon de circuit appartient à une ou des mailles qui ont des diagonales.

Dans quelle(s) maille(s) un tronçon peut être une diagonale.

Il applique la méthode dans le cas d'un incendie et dicte rapidement et sans calcul les mesures immédiates à prendre :

Pour éviter le retournement du courant d'air dans certains tronçons de circuit.

Pour diminuer le danger d'explosion lors de la construction de barrages.

Enfin, il donne un exemple d'application de la méthode qui permet en général de préjuger :

De ce qui pourrait se passer si on modifie fortement la résistance d'un tronçon de circuit.

De la cause d'une inversion dans un tronçon de circuit.

SAMENVATTING

De auteur geeft een uitbreiding aan het begrip van maas en diagonaal.

Vertrekkend van dit begrip, geeft hij het middel tot systematische bepaling van :

a) Al de mazen van een net.

b) Het feit of een gedeelte van de omloop tot één of meerdere mazen met diagonalen behoort.

c) In welke maas of mazen een gedeelte diagonaal kan zijn.

Hij past de methode toe op een geval van brand, om snel en zonder berekeningen de onmiddellijk te nemen maatregelen te bepalen :

a) Ter vermindering van een luchtstroomomkering in bepaalde gedeelten van de omloop.

b) Ter vermindering van het ontplofingsgevaar tijdens de bouw van dammen.

Tenslotte geeft hij een voorbeeld van toepassing van de methode, die over het algemeen toelaat zich voorafgaandelijk een oordeel te vormen :

a) Over hetgeen zou kunnen gebeuren wanneer men in belangrijke mate de weerstand van een gedeelte van de omloop zou wijzigen.

b) Over de mogelijke oorzaken van een luchtstroomomkering in een gedeelte van de omloop.

INHALTSANGABE

Der Verfasser legt den Begriffen « Masche » und « Diagonale » einen umfassenderen Sinn bei. Mit Hilfe dieser erweiterten Begriffe kann man systematisch bestimmen :

- a) sämtliche Maschen eines Wetternetzes;
- b) ob ein Zweig zu einer der Maschen gehört, in denen Diagonalen auftreten;
- c) in welcher Masche oder welchen Maschen ein Zweig eine Diagonale bilden kann.

Der Verfasser zeigt, wie man im Falle eines Grubenbrandes ohne Berechnungen sofort bestimmen kann, welche Maßnahmen unverzüglich zu ergreifen sind, um die Umkehrung des Wetterstromes in einzelnen Zweigen des Netzes zu verhindern und die Gefahr einer Explosion beim Bau der Absperrdämme einzuschränken.

Schließlich gibt er ein Beispiel für die Anwendung der Methode, mit der man im allgemeinen vorherbestimmen kann :

- a) was bei einer starken Erhöhung des Wetterwiderstandes in einem Zweig des Netzes eintreten könnte;
- b) aus welchem Grunde es zur Umkehr der Wetterrichtung in einem Zweig gekommen ist.

SUMMARY

The author gives an extension to the notions of the mesh and of the diagonal.

On the basis of this notion, he demonstrates the means of determining systematically :

- a) All the meshes of a network.
- b) Whether a section of circuit belongs to one or several meshes which have diagonals.
- c) In which mesh or meshes a section may have a diagonal.

He applies the method in the case of a fire in a mine, to dictate, rapidly and without calculation, the immediate steps to be taken :

- a) To avoid the reversal of the air current in certain sections of the circuit.
- b) To reduce the danger of explosion when workings are under construction.

Lastly, he gives an example of the application of the method which, generally speaking, makes it possible to presume :

- a) What might happen if the resistance of a certain section of the circuit is modified.
- b) The cause of an inversion in a section of the circuit.

Pour représenter graphiquement un réseau d'aérage, nous utilisons le schéma canonique dit ouvert de Budryk et le schéma fermé de Bystron. Mais dans l'exposé qui suit nous n'envisageons pas la maille et la diagonale dans le sens rigoureux de Budryk.

A) EXTENSION DE LA NOTION DE MAILLE ET DE DIAGONALE

Pour Budryk, une maille est constituée par la division d'un courant qui se reconstitue ensuite. Exemple : voir figure 1.

La maille 1 est constituée par un courant qui à partir de 1 se divise en deux branches 1 - 2 - 3 et 1 - 4 - 3, les deux branches se rejoignant en 3 pour reformer le courant primitif dans son intégralité.

Voor het op grafische wijze voorstellen van een kolenmijnventilatiernet gebruiken wij het zo genaamde open kanonieke « Budryk »-schema en het gesloten « Bystron »-schema, maar in de hier volgende uiteenzetting beschouwen wij de maille en de diagonaal niet helemaal in de betekenis die Budryk er aan gaf.

A) UITBREIDING VAN HET BEGRIIP VAN MAAS EN DIAGONAAL

Volgens Budryk wordt een maas gevormd door een zich verdelende luchtstroom, die zich vervolgens opnieuw samenvoegt zoals bij wijze van voorbeeld op de figuur 1 is aangegeven.

De maas 1 is gevormd door een luchtstroom die zich vanaf het punt 1 in de twee takken 1 - 2 - 3 en 1 - 4 - 3 verdeelt, welke twee takken zich in het punt 3 opnieuw verenigen en de oorspronkelijke luchtstroom integraal herenstellen.

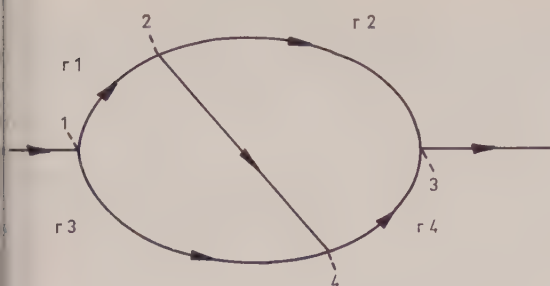


Fig. 1.

Une diagonale est une liaison entre les deux branches de la maille soit 2 - 4, et le sens du courant dans cette diagonale est conditionné par le rapport des résistances de différents tronçons des branches. Le courant va de 2 vers 4 si $r_1/r_2 < r_3/r_4$.

Nous avons dans tout ce qui va suivre donné l'extension à cette notion de maille. Par exemple dans le schéma de la figure 2, Budryk prendrait uniquement comme branches de maille 6 - 5 et 1 - 2 - 4 - 5 et uniquement comme diagonale 6 - 3 - 4.

Dans ce schéma nous considérons six mailles : 6 - 5 et 1 - 2 - 4 - 5, avec 6 - 3 - 4 comme diagonale ; 6 - 3 - 4 et 1 - 2 - 4, avec 2 - 3 comme diagonale.

6 - 5 et 6 - 3 - 4 - 5, sans diagonale.
6 - 3 et 1 - 2 - 3, sans diagonale.
4 et 2 - 3 - 4, sans diagonale.
2 - 3 - 4 - 5 et 1 - 6 - 5, avec 6 - 3 comme diagonale.

Mailles et diagonales définies de cette façon, nous constatons que :

Un tronçon peut faire partie d'une branche de maille et être en même temps diagonale dans une autre maille.

6 - 3 - 4 est diagonale dans la maille 1 - 6 - 5 et 1 - 2 - 4 - 5 et appartient aussi à une branche dans la maille 1 - 6 - 3 - 4 et 1 - 2 - 4 (fig. 2). Le réseau ainsi disséqué, il y a beaucoup de mailles et beaucoup de diagonales. Il fallait trouver un moyen pour les déterminer systématiquement.

B) DETERMINATION SYSTEMATIQUE DES MAILLES ET DES DIAGONALES ENVISAGEES SUIVANT NOTRE DEFINITION

Moyen de déterminer :

a) Toutes les mailles d'un réseau

Partir d'un schéma fermé.

Prendre systématiquement chaque nœud et retenir ceux d'où partent deux courants.

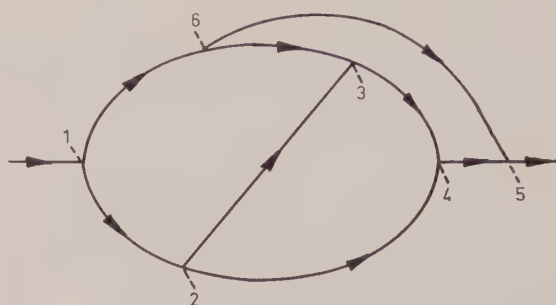


Fig. 2.

Een diagonaal is een verbinding tussen de twee takken van een maas, namelijk de verbinding 2 - 4 op de figuur 1, en de richting van de luchtstroom in deze diagonaal wordt bepaald door de aard van de weerstand in verschillende gedeelten van de takken. De lucht stroomt van 2 naar 4 wanneer r_1/r_2 kleiner is dan r_3/r_4 .

Aan dit begrip van een maas hebben wij in onze huidige nota een bredere betekenis gegeven. Op het schema van de figuur 2 zou Budryk enkel 1 - 6 - 5 en 1 - 2 - 4 - 5 als tak van een maas en alleen 6 - 3 - 4 als diagonaal beschouwen. Op dit zelfde schema nemen wij zes mazen in aanmerking :

1 - 6 - 5 en 1 - 2 - 4 - 5, met 6 - 3 - 4 als diagonaal.

1 - 6 - 3 - 4 en 1 - 2 - 4, met 2 - 3 als diagonaal.

6 - 5 en 6 - 3 - 4 - 5, zonder diagonaal.

1 - 6 - 3 en 1 - 2 - 3, zonder diagonaal.

2 - 4 en 2 - 3 - 4, zonder diagonaal.

1 - 2 - 3 - 4 - 5 en 1 - 6 - 5, met 6 - 3 als diagonaal.

Mazen en diagonalen op deze wijze bepaald zijnde, stellen wij vast :

- Een gedeelte kan een deel zijn van een tak van een maas en tegelijkertijd in een andere tak een diagonaal vormen. Zo is 6 - 3 - 4 een diagonaal in de maas 1 - 6 - 5 en 1 - 2 - 4 - 5, maar tevens een tak in de maas 1 - 6 - 3 - 4 en 1 - 2 - 4 (zie de figuur 2).
- Bij dusdanige ontleding van het net blijken er veel mazen en veel diagonalen te zijn. Daarom zochten wij een systematisch middel voor opsporing ervan.

B) SYSTEMATISCHE DETERMINATIE VAN DE VOLGENS ONZE DEFINITIE BESCHOUWDE MAZEN EN DIAGONALEN

Middel ter bepaling :

a) Van alle mazen van een ventilatienet

Vertrekkend van een gesloten schema, beschouwen wij systematisch ieder knooppunt en weerhouden wij deze waarvan twee luchtstromen vertrekken.

Pour chacun d'eux, considérer successivement chacun des nœuds suivants et voir s'il est relié au nœud étudié par au moins deux branches n'ayant aucun autre point commun.

b) Si un tronçon de circuit appartient à une ou plusieurs mailles qui ont une ou plusieurs diagonales

— **Première méthode**

Partir d'un schéma fermé.

- 1°) Ecrire tous les tronçons dont le tronçon considéré fait partie.
- 2°) Pour chacun de ces tronçons :
 - Rechercher s'il existe d'autres tronçons ayant même point de départ et même point d'arrivée et n'ayant aucun autre point commun.
 - Ecrire les mailles ainsi trouvées.
- 3°) Pour chacune de ces mailles, associer systématiquement chaque nœud du premier tronçon avec chaque nœud du second. Lorsqu'une telle dérivation existe, elle est une diagonale dans la maille considérée.

— **Deuxième méthode**

Une autre méthode, plus rapide lorsque le schéma est simple, consiste à :

- 1) Ecrire tous les tronçons dont le tronçon considéré fait partie.
- 2) Examiner pour chacun de ces tronçons toutes les dérivations qui en partent ou y arrivent. Une dérivation qui aboutit sur un autre tronçon qui a un point de départ et d'arrivée communs avec le premier est une diagonale à condition que cette dérivation aboutisse sur le deuxième tronçon en un point situé à l'intérieur de la maille formée par les deux tronçons envisagés.

A titre d'exercice nous utilisons la première méthode dans l'exemple d'application qui suit et tantôt l'une et tantôt l'autre au chapitre D.

c) Dans quelle(s) maille(s) un tronçon de circuit peut être diagonale ou peut faire partie d'une diagonale

Partir d'un schéma fermé.

- 1°) Ecrire tous les tronçons dont le tronçon considéré fait partie.
- 2°) Pour chacun de ces tronçons :
 - a) Prendre en considération chaque nœud situé en amont aérage et d'où partent à la

Voor ieder van hen beschouwen wij achterevolgens elk der volgende knooppunten en ga wij na of zij met het bestudeerde knooppunt verbonden zijn door ten minste twee takken zonder enig ander gemeenschappelijk punt.

b) Of een gedeelte van het ventilatienet behoort tot één of meerdere mazen met één of meerdere diagonalen

— **Eerste methode**

Vertrekken van een gesloten schema.

- 1°) Alle gedeelten noteren waarvan beschouwde gedeelte deel uitmaakt.
- 2°) Voor elk van deze gedeelten :
 - Opzoeken of er andere gedeelten bestaan met hetzelfde begin- en eindpunt maar zonder enig ander gemeenschappelijk punt.
 - Al de aldus gevonden mazen noteren.
- 3°) Voor elk van deze mazen systematisch ieder knooppunt van het eerste gedeelte met knooppunt van het tweede gedeelte associëren. Wanneer een zulkdanige derivatie bestaat, is zij een diagonaal in de beschouwde maas.

— **Tweede methode**

Een andere methode, die in het geval van een eenvoudig schema een snellere uitvoering daaraan bestaat uit :

- 1) Alle gedeelten noteren waarvan het beschouwde gedeelte deel uitmaakt.
- 2) Voor elk van deze gedeelten de er van vertrekkende en de er aankomende derivaties zoeken. Een derivatie, uitlopend op een ander gedeelte dat met het eerste een vertrekpunt en een aankomstpunt gemeenschappelijk heeft, is een diagonaal, op voorwaarde dat zij op het tweede gedeelte uitloopt in een punt, gelegen binnen de maas, gevormd door de twee beschouwde gedeelten.

Bij wijze van oefening gebruiken wij de eerste methode in het hierna volgende toepassingsvoorbeeld en passen wij in het hoofdstuk D nu eens de eerste en dan weer de tweede methode toe.

c) In welke maas of mazen een gedeelte van de luchtstroomomloop een diagonaal of een gedeelte van een diagonaal kan zijn

Vertrekken van een gesloten schema.

- 1°) Alle gedeelten noteren waarvan beschouwde gedeelte deel uitmaakt.
- 2°) Voor elk van deze gedeelten :
 - a) Ieder luchtstroomopwaarts gelegen knooppunt beschouwen waarvan tegelijkertijd

fois une branche passant par son extrémité amont et une branche passant par son extrémité aval.

b) A partir de chacun des nœuds retenus en a :

— Ecrire toutes les branches qui passent par son extrémité amont, qui ne commencent pas à cette extrémité et n'ont aucun point commun avec lui. L'ensemble de ces branches constitue le groupe A.

— Ecrire toutes les branches qui passent par son extrémité aval, qui ne se terminent pas à cette extrémité et n'ont aucun point commun avec lui. L'ensemble de ces branches constitue le groupe B.

2) Pour former les mailles où le tronçon étudié pourrait être diagonale :

— Considérer l'une après l'autre chaque branche du groupe A.

— Accoupler à chacune de ces branches la ou les branches du groupe B qui partent du même point, arrivent au même point, et n'ont aucun nœud commun avec la branche du groupe A.

Exemple d'application :

Nous partons du réseau représenté par le schéma canonique donné figure 3. Un quelconque des schémas fermés est dessiné (fig. 4).

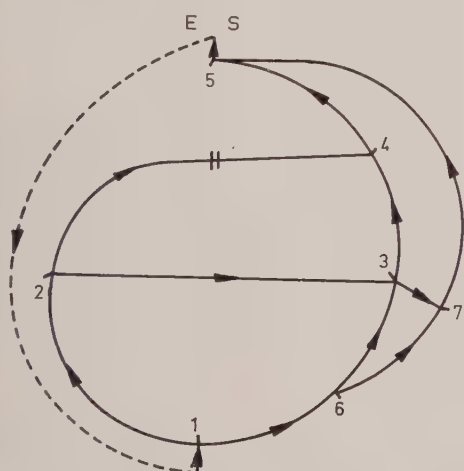


Fig. 3.

Partant de ce schéma fermé :

a) Trouver toutes les mailles

— Prendre successivement chaque nœud.

een door zijn luchtstroomopwaartse en een door zijn luchtstroomafwaartse uiteinde passerende tak vertrekt.

b) Vertrekkend van ieder van de weerhouden knooppunten :

— Noteren wij alle door hun luchtstroomopwaartse uiteinden passerende takken, die hun oorsprong niet aan deze uiteinden hebben en die er tevens geen punt mee gemeenschappelijk hebben. Het geheel van deze takken vormt dan de groep A.

— Noteren wij alle door hun luchtstroomafwaartse uiteinden passerende takken, die hun eindpunt niet aan deze uiteinden hebben en die er tevens geen punt mee gemeenschappelijk hebben. Het geheel van deze takken vormt dan de groep B.

3°) Voor het vormen van de mazen waarin het bestudeerde gedeelte een diagonaal zou kunnen zijn :

— Beschouwen wij één na één iedere tak van de groep A.

— Associëren wij met elk van deze takken de tak of takken van de groep B die van hetzelfde punt vertrekken, in hetzelfde punt aankomen en geen enkel knooppunt gemeenschappelijk met de tak van groep A hebben.

Voorbeeld van toepassing :

Wij vertrekken van het ventilatiernet, voorgesteld door het kanonieke schema van de figuur 3. Om het even welk gesloten schema wordt getekend (figuur 4).

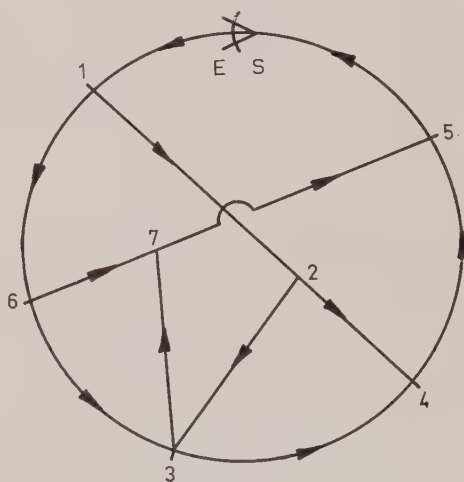


Fig. 4.

Vertrekkend van dit gesloten schema :

a) Alle mazen opzoeken :

— Achtereenvolgens ieder knooppunt beschouwen.

— Chercher à le relier systématiquement à chacun des nœuds suivants.

Nœud 1

- Entre 1 et 2 : pas d'autre branche que 1 - 2.
- Entre 1 et 3 : 1 - 2 - 3 et 1 - 6 - 3, formant une maille.
- Entre 1 et 4 : 1 - 2 - 4 et 1 - 6 - 3 - 4, formant une maille.
- Entre 1 et 5 : branches

1 - 2 - 4 - 5
1 - 2 - 3 - 4 - 5
1 - 6 - 7 - 5
1 - 6 - 3 - 7 - 5
1 - 2 - 3 - 7 - 5

Les branches n'ayant aucun point commun et formant donc une maille sont :

- 1 - 2 - 4 - 5 et 1 - 6 - 7 - 5
- 1 - 2 - 4 - 5 et 1 - 6 - 3 - 7 - 5
- 1 - 2 - 3 - 4 - 5 et 1 - 6 - 7 - 5

- Entre 1 et 6 : pas d'autre branche que 1 - 6.
- Entre 1 et 7 : 1 - 2 - 3 - 7 et 1 - 6 - 7, formant une maille.

Nœud 2

- Entre 2 et 3 : pas d'autre branche que 2 - 3.
- Entre 2 et 4 : 2 - 4 et 2 - 3 - 4, formant une maille.
- Entre 2 et 5 : 2 - 4 - 5 et 2 - 3 - 7 - 5, formant une maille.
- Entre 2 et 7 : une seule branche : 2 - 3 - 7.

Nœud 3

- Entre 3 et 4 : pas d'autre branche que 3 - 4.
- Entre 3 et 5 : 3 - 4 - 5 et 3 - 7 - 5, formant une maille.
- Entre 3 et 7 : pas d'autre branche que 3 - 7.

Nœud 4

Il n'y a pas deux branches qui en partent.

Nœud 5

Il n'y a pas deux branches qui en partent.

Nœud 6

- Entre 6 et 3 : pas d'autre branche que 6 - 3.
- Entre 6 et 4 : pas d'autre branche que 6 - 3 - 4.
- Entre 6 et 5 : 6 - 7 - 5 et 6 - 3 - 4 - 5, formant une maille.
- Entre 6 et 7 : 6 - 7 et 6 - 3 - 7, formant une maille.

Nœud 7

Il n'y a pas deux branches qui en partent.

Nous avons donc 11 mailles au total.

- b) Chercher si un tronçon de circuit appartient à une ou des mailles qui ont des diagonales (par la première méthode)

Chercher par exemple si le tronçon 2 - 4 appartient à des mailles qui ont des diagonales. Si tel

— leder van deze knooppunten systematisch met elk van de volgende knooppunten trachten verbinden.

Knooppunt 1

- Tussen 1 en 2 : geen andere tak dan 1 - 2.
- Tussen 1 en 3 : 1 - 2 - 3 en 1 - 6 - 3, een maas vormend.
- Tussen 1 en 4 : 1 - 2 - 4 en 1 - 6 - 3 - 4, een maas vormend.
- Tussen 1 en 5 : takken

1 - 2 - 4 - 5
1 - 2 - 3 - 4 - 5
1 - 6 - 7 - 5
1 - 6 - 3 - 7 - 5
1 - 2 - 3 - 7 - 5

De takken die geen enkel punt gemeenschappelijk hebben en die dus een maas vormen zijn :

- 1 - 2 - 4 - 5 en 1 - 6 - 7 - 5
- 1 - 2 - 4 - 5 en 1 - 6 - 3 - 7 - 5
- 1 - 2 - 3 - 4 - 5 en 1 - 6 - 7 - 5

- Tussen 1 en 6 : geen andere tak dan 1 - 6.
- Tussen 1 en 7 : 1 - 2 - 3 - 7 en 1 - 6 - 7, een maas vormend.

Knooppunt 2

- Tussen 2 en 3 : geen andere tak dan 2 - 3.
- Tussen 2 en 4 : 2 - 4 en 2 - 3 - 4, een maas vormend.
- Tussen 2 en 5 : 2 - 4 - 5 en 2 - 3 - 7 - 5, een maas vormend.
- Tussen 2 en 7 : enkel de tak 2 - 3 - 7.

Knooppunt 3

- Tussen 3 en 4 : geen andere tak dan 3 - 4.
- Tussen 3 en 5 : 3 - 4 - 5 en 3 - 7 - 5, een maas vormend.
- Tussen 3 en 7 : geen andere tak dan 3 - 7.

Knooppunt 4

Er zijn geen twee takken die er van vertrekken.

Knooppunt 5

Er zijn geen twee takken die er van vertrekken.

Knooppunt 6

- Tussen 6 en 3 : geen andere tak dan 6 - 3.
- Tussen 6 en 4 : geen andere tak dan 6 - 3 - 4.
- Tussen 6 en 5 : 6 - 7 - 5 en 6 - 3 - 4 - 5, een maas vormend.
- Tussen 6 en 7 : 6 - 7 en 6 - 3 - 7, een maas vormend.

Knooppunt 7

Er zijn geen twee takken die ervan vertrekken.

Wij hebben dus elf mazen in het totaal.

- b) Opzoeken of een gedeelte van het ventilatiemazennet tot één of meerdere mazen met diagonales behoort (volgens de eerste methode)

Bijvoorbeeld opzoeken of het gedeelte 2 - 4 tot één of meerdere mazen met diagonalen behoort. Indien zulke

le cas, l'ouverture des portes dans 2 - 4 pour-
it occasionner une inversion dans ces diagonales.

) 2 - 4 fait partie des tronçons 2 - 4, 2 - 4 - 5,
1 - 2 - 4 - 5 et 1 - 2 - 4.

) Chercher les mailles formées par chacun de
ces tronçons avec un autre tronçon ayant les
mêmes extrémités :

— Tronçon 2 - 4 : forme une maille avec
2 - 3 - 4.

— Tronçon 2 - 4 - 5 : forme une maille avec
2 - 3 - 7 - 5.

— Tronçon 1 - 2 - 4 - 5 : forme deux mailles
avec respectivement 1 - 6 - 7 - 5 et
1 - 6 - 3 - 7 - 5.

— Tronçon 1 - 2 - 4 : forme une maille avec
1 - 6 - 3 - 4.

) Pour chaque maille, associer chaque nœud
d'un tronçon avec chaque nœud de l'autre :

— Maille	$\left \begin{array}{l} 2 - 4 \\ 2 - 3 - 4 \end{array} \right $	Pas de diagonale.
----------	--	-------------------

— Maille	$\left \begin{array}{l} 2 - 4 - 5 \\ 2 - 3 - 7 - 5 \end{array} \right $	— Entre 4 et 3 : diagonale 3 - 4. — Entre 4 et 7 : pas de diagonale.
----------	--	---

— Maille	$\left \begin{array}{l} 1 - 2 - 4 - 5 \\ 1 - 6 - 7 - 5 \end{array} \right $	— Entre 2 et 6 : pas de diagonale. — Entre 2 et 7 : diagonale 2 - 3 - 7. — Entre 4 et 6 : diagonale 6 - 3 - 4. — Entre 4 et 7 : pas de diagonale.
----------	--	--

— Maille	$\left \begin{array}{l} 1 - 2 - 4 - 5 \\ 1 - 6 - 3 - 7 - 5 \end{array} \right $	Deux nouvelles possibilités : — Entre 2 et 3 : diagonale 2 - 3. — Entre 4 et 3 : diagonale 3 - 4.
----------	--	---

— Maille	$\left \begin{array}{l} 1 - 2 - 4 \\ 1 - 6 - 3 - 4 \end{array} \right $	— Entre 2 et 6 : pas de diagonale. — Entre 2 et 3 : diagonale 2 - 3.
----------	--	---

Récapitulons :

3 - 4 est diagonale dans	$\left \begin{array}{l} 2 - 4 - 5 \\ 2 - 3 - 7 - 5 \end{array} \right $	(fig. 5)
et dans	$\left \begin{array}{l} 1 - 2 - 4 - 5 \\ 1 - 6 - 3 - 7 - 5 \end{array} \right $	(fig. 6)

het geval is, kan het openen van de ventilatie-
deuren in 2 - 4 een luchtomkering in deze diago-
nalen veroorzaken.

1°) 2 - 4 maakt deel uit van de gedeelten 2 - 4,
2 - 4 - 5, 1 - 2 - 4 - 5 en 1 - 2 - 4.

2°) Opzoeken welke mazen gevormd worden
door ieder van deze gedeelten met een ander
gedeelte met dezelfde uiteinden :

— Gedeelte 2 - 4 : vormt een maas met
2 - 3 - 4.

— Gedeelte 2 - 4 - 5 : vormt een maas met
2 - 3 - 7 - 5.

— Gedeelte 1 - 2 - 4 - 5 : vormt twee mazen,
respektievelijk met 1 - 6 - 7 - 5 en met
1 - 6 - 3 - 7 - 5.

— Gedeelte 1 - 2 - 4 : vormt een maas met
1 - 6 - 3 - 4.

3°) Voor iedere maas elk knooppunt van een
gedeelte associëren met ieder knooppunt van
het andere gedeelte :

— Maas	$\left \begin{array}{l} 2 - 4 \\ 2 - 3 - 4 \end{array} \right $	Geen diagonaal.
--------	--	-----------------

— Maas	$\left \begin{array}{l} 2 - 4 - 5 \\ 2 - 3 - 7 - 5 \end{array} \right $	Tussen 4 en 3 : diagonaal 3 - 4. Tussen 4 en 7 : geen diagonaal.
--------	--	---

— Maas	$\left \begin{array}{l} 1 - 2 - 4 - 5 \\ 1 - 6 - 7 - 5 \end{array} \right $	Tussen 2 en 6 : geen diagonaal. Tussen 2 en 7 : diagonaal 2 - 3 - 7. Tussen 4 en 6 : diagonaal 6 - 3 - 4. Tussen 4 en 7 : geen diagonaal.
--------	--	--

— Maas	$\left \begin{array}{l} 1 - 2 - 4 - 5 \\ 1 - 6 - 3 - 7 - 5 \end{array} \right $	Twee nieuwe mogelijkheden : — Tussen 2 en 3 : diagonaal 2 - 3. — Tussen 4 en 3 : diagonaal 3 - 4.
--------	--	---

— Maas	$\left \begin{array}{l} 1 - 2 - 4 \\ 1 - 6 - 3 - 4 \end{array} \right $	Tussen 2 en 6 : geen diagonaal. Tussen 2 en 3 : diagonaal 2 - 3.
--------	--	---

Rekapitulerend :

3 - 4 is diagonaal in	$\left \begin{array}{l} 2 - 4 - 5 \\ 2 - 3 - 7 - 5 \end{array} \right $	(fig. 5)
	$\left \begin{array}{l} 1 - 2 - 4 - 5 \\ 1 - 6 - 3 - 7 - 5 \end{array} \right $	(fig. 6)

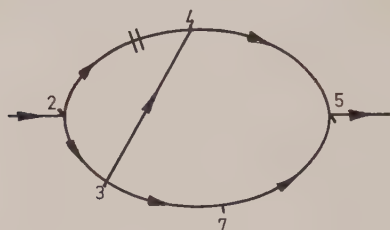


Fig. 5.

2 - 3 - 7 est diagonale dans $\left| \begin{array}{l} 1 - 2 - 4 - 5 \\ 1 - 6 - 7 - 5 \end{array} \right.$ (fig. 7)
 6 - 3 - 4 est diagonale dans $\left| \begin{array}{l} 1 - 2 - 4 - 5 \\ 1 - 6 - 7 - 5 \end{array} \right.$ (fig. 8)

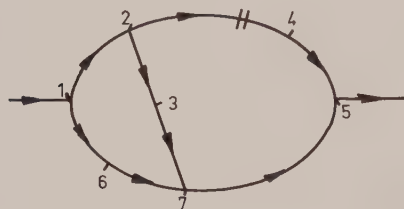


Fig. 7.

2 - 3 est diagonale dans $\left| \begin{array}{l} 1 - 2 - 4 - 5 \\ 1 - 6 - 3 - 7 - 5 \end{array} \right.$ (fig. 9)
 et dans $\left| \begin{array}{l} 1 - 2 - 4 \\ 1 - 6 - 3 - 4 \end{array} \right.$ (fig. 10)

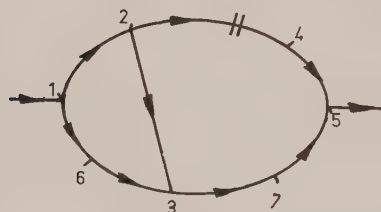


Fig. 9.

L'ouverture des portes en 2 - 4 pourrait donc provoquer une inversion :

- Dans 3 - 4, d'après les figures 5 et 6.
- Dans 2 - 3 - 7, d'après la figure 7.
- Dans 6 - 3 - 4, d'après la figure 8.
- Dans 2 - 3, d'après les figures 9 et 10.

C'est-à-dire tous les tronçons qui partent ou aboutissent au nœud 3, et ces tronçons seuls, sont susceptibles d'une inversion.

c) Chercher dans quelle(s) maille(s) un tronçon peut être diagonale ou peut faire partie d'une diagonale

Cherchons par exemple dans quelles mailles le tronçon 3 - 4 peut être diagonale.

- 1°) 3 - 4 fait partie des tronçons 3 - 4, 2 - 3 - 4 et 6 - 3 - 4.

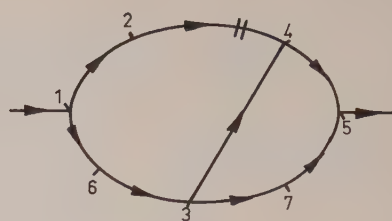


Fig. 6.

2 - 3 - 7 is diagonaal in $\left| \begin{array}{l} 1 - 2 - 4 - 5 \\ 1 - 6 - 7 - 5 \end{array} \right.$ (fig. 7)
 6 - 3 - 4 is diagonaal in $\left| \begin{array}{l} 1 - 2 - 4 - 5 \\ 1 - 6 - 7 - 5 \end{array} \right.$ (fig. 8)

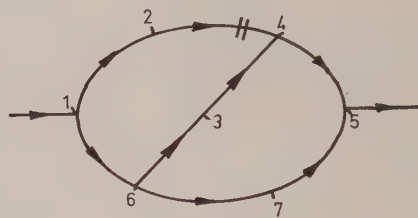


Fig. 8.

2 - 3 is diagonaal in $\left| \begin{array}{l} 1 - 2 - 4 - 5 \\ 1 - 6 - 3 - 7 - 5 \end{array} \right.$ (fig. 9)
 en in $\left| \begin{array}{l} 1 - 2 - 4 \\ 1 - 6 - 3 - 4 \end{array} \right.$ (fig. 10)

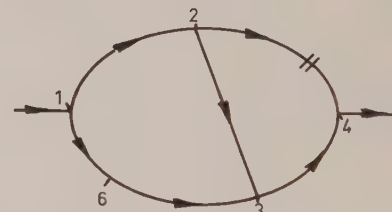


Fig. 10.

Het openen van de ventilatiedeuren in 2 - 4 zou dus een luchtstroomomkering kunnen veroorzaken in :

- 3 - 4, volgens de figuren 5 en 6.
- 2 - 3 - 7, volgens de figuur 7.
- 6 - 3 - 4, volgens de figuur 8.
- 2 - 3, volgens de figuren 9 en 10.

Dit wil zeggen dat al de gedeelten, en enkel de gedeelten, vertrekkend van of aankomend in het knooppunt 3, aan een luchtstroomomkering onderhevig kunnen zijn.

c) Opzoeken in welke maas of mazen een gedeelte een diagonaal of een deel van een diagonaal kan zijn :

Zoeken wij bijvoorbeeld op in welke mazen het gedeelte 3 - 4 een diagonaal kan zijn.

- 1°) 3 - 4 is een deel van de gedeelten 3 - 4, 2 - 3 - 4 en 6 - 3 - 4.

1°) — Tronçon 3 - 4 :
Les nœuds en amont aérage sont : 2, 1 et 6.

Partant du nœud 2, nous avons :

Groupe A : 2 - 3 - 7 - 5

Groupe B : 2 - 4 - 5

Partant du nœud 1, nous avons :

Groupe A : 1 - 2 - 3 - 7 - 5

1 - 6 - 3 - 7 - 5

Groupe B : 1 - 2 - 4 - 5

Partant du nœud 6, nous avons :

Groupe A : 6 - 3 - 7 - 5

Groupe B : Néant

— Tronçon 2 - 3 - 4 :

Un seul nœud en amont aérage : 1

Partant du nœud 1, nous avons :

Groupe A : Néant

Groupe B : Néant

— Tronçon 6 - 3 - 4 :

Un seul nœud en amont aérage : 1

Partant du nœud 1, nous avons :

Groupe A : 1 - 6 - 7 - 5

Groupe B : 1 - 2 - 4 - 5

2°) Rassemblons les groupes A et B :

A : 2 - 3 - 7 - 5

6 - 3 - 7 - 5

1 - 2 - 3 - 7 - 5

1 - 6 - 7 - 5

B : 2 - 4 - 5

1 - 2 - 4 - 5

Accouplons chaque tronçon de A avec ceux de B :

2 - 3 - 7 - 5 2 - 4 - 5	Maille où 3 - 4 est diagonale.
2 - 3 - 7 - 5 2 - 4 - 5	Pas de point de départ commun.
2 - 3 - 7 - 5 2 - 4 - 5	Pas de point de départ commun.
2 - 3 - 7 - 5 2 - 4 - 5	Pas de point de départ commun.
2 - 2 - 3 - 7 - 5 2 - 4 - 5	Pas de point de départ commun.
2 - 2 - 3 - 7 - 5 2 - 2 - 4 - 5	Point 2 en commun.
2 - 6 - 7 - 5 2 - 4 - 5	Pas de point de départ commun.
2 - 6 - 7 - 5 2 - 2 - 4 - 5	Maille où 6 - 3 - 4 est diagonale.

2°) — Gedeelte 3 - 4 :

De luchtstroomopwaartse knooppunten zijn : 2, 1 en 6.

Vertrekkend van het knooppunt 2 hebben wij :

Groep A : 2 - 3 - 7 - 5

Groep B : 2 - 4 - 5

Vertrekkend van het knooppunt 1 hebben wij :

Groep A : 1 - 2 - 3 - 7 - 5

1 - 6 - 3 - 7 - 5

Groep B : 1 - 2 - 4 - 5

Vertrekkend van het knooppunt 6 hebben wij :

Groep A : 6 - 3 - 7 - 5

Groep B : Nihil

— Gedeelte 2 - 3 - 4 :

Eén enkel luchtstroomopwaarts knooppunt : 1

Vertrekkend van het knooppunt 1 hebben wij :

Groep A : Nihil

Groep B : Nihil

— Gedeelte 6 - 3 - 4 :

Eén enkel luchtstroomopwaarts knooppunt : 1.

Vertrekkend van het knooppunt 1 hebben wij :

Groep A : 1 - 6 - 7 - 5

Groep B : 1 - 2 - 4 - 5

3°) Verzamelen wij nu de groepen A en B :

A : 2 - 3 - 7 - 5

6 - 3 - 7 - 5

1 - 2 - 3 - 7 - 5

1 - 6 - 7 - 5

B : 2 - 4 - 5

1 - 2 - 4 - 5

Associëren wij ieder gedeelte van de groep A met dit van de groep B :

2 - 3 - 7 - 5 2 - 4 - 5	Maas waarin 3 - 4 een diagonaal is.
2 - 3 - 7 - 5 1 - 2 - 4 - 5	Geen gemeenschappelijk vertrekpunt.
6 - 3 - 7 - 5 2 - 4 - 5	Geen gemeenschappelijk vertrekpunt.
6 - 3 - 7 - 5 1 - 2 - 4 - 5	Geen gemeenschappelijk vertrekpunt.
1 - 2 - 3 - 7 - 5 2 - 4 - 5	Geen gemeenschappelijk vertrekpunt.
1 - 2 - 3 - 7 - 5 1 - 2 - 4 - 5	Punt 2 is gemeenschappelijk.
1 - 6 - 7 - 5 2 - 4 - 5	Geen gemeenschappelijk vertrekpunt.
1 - 6 - 7 - 5 1 - 2 - 4 - 5	Maas waarin 6 - 3 - 4 een diagonaal is.

Finalelement :

3 - 4 est uniquement diagonale dans la maille
2 - 3 - 7 - 5/2 - 4 - 5.

6 - 3 - 4 est uniquement diagonale dans la maille 1 - 6 - 7 - 5/1 - 2 - 4 - 5.

2 - 3 - 4 n'est pas diagonale.

Une inversion dans 3 - 4 proviendra très probablement d'une modification très importante dans une des branches de ces deux mailles.

**C) QUE DEVIENT DANS CE CAS
LA RELATION
EXPRIMANT LE SENS DU COURANT D'AIR
DANS UNE DIAGONALE
EN FONCTION DES RESISTANCES
DES TRONÇONS DES BRANCHES DE LA MAILLE ?**

La relation donnée en A ($r_1/r_2 < r_3/r_4$) et exprimant le sens du courant d'air dans une diagonale en fonction des résistances des tronçons des branches de la maille n'est plus rigoureuse, mais il reste valable qu'une modification importante dans la résistance d'une branche d'une maille ainsi considérée, si on ne change rien dans le reste du réseau, peut modifier de façon très importante l'intensité et même le sens du courant d'air dans la diagonale.

Compte tenu de la réflexion ci-dessus, il faut bien remarquer que les indications que donne cette méthode sont qualitatives et pas quantitatives. Elles ne sont pas non plus rigoureuses.

Nous disons : « Il est très probable que cela se passera comme cela, ou il est très possible que la modification observée provienne de cela ».

Mais il est déjà très important de pouvoir déterminer ce qui pourrait se passer ou ce qui pourrait être la cause de telle ou telle modification. Le calcul du réseau par ordinateur est certainement l'idéal, mais pour cela il faut un ordinateur qui possède tous les circuits en mémoire, et il faut aussi avoir mesuré les pressions en chaque nœud et calculé la résistance de tous les tronçons du réseau.

Et même quand on possède un ordinateur, il y a grand intérêt à dessiner les circuits d'aérage sous la forme Budryk, car alors, sachant ce qui pourra probablement se passer, on connaît les questions à poser à l'ordinateur et on peut très rapidement obtenir des valeurs chiffrées exactes. C'est ce que Patigny, dans une communication faite à l'Université de Louvain, et Casadamont dans une communication faite aux journées d'études de Saarbrücken (Journées internationales

Uiteindelijk :

3 - 4 is alleen diagonaal in de maas
2 - 3 - 7 - 5/2 - 4 - 5.

6 - 3 - 4 is alleen diagonaal in de maas
1 - 6 - 7 - 5/1 - 2 - 4 - 5.

2 - 3 - 4 is geen diagonaal.

Een luchtomkering in 3 - 4 zal zeer waarschijnlijk voortkomen van een zeer belangrijke wijziging in één van de takken van deze twee mazen.

**C) WAT ZAL ER IN DIT GEVAL GEWORDEN
VAN DE RELATIE
DIE DE RICHTING VAN DE LUCHTSTROOM
IN EEN DIAGONAAL AANGEEFT
IN FUNKTIE VAN DE WEERSTAND
VAN DE GEDEELTEN VAN DE TAKKEN
VAN EEN MAAS ?**

De in A gegeven verhouding (r_1/r_2 kleiner dan r_3/r_4), die de richting van de luchtstroom in een diagonaal uitdrukt in funktie van de weerstand van de takgedeelten van de maas, is niet meer zo absoluut, maar toch blijft gelden dat een belangrijke wijziging in de weerstand van een tak van de aldus beschouwde maas de intensiteit en zelfs de richting van de luchtstroom in de diagonaal in aanzienlijke mate kan veranderen, wanneer men voor het overige aan het ventilatienet niets wijziget.

Rekening houdend met deze bedenking, dient duidelijk aangestipt dat de aanduidingen van deze methode kwalitatief en niet kwantitatief zijn. Zij zijn trouwens ook niet absoluut. Daarom zegge men : Het is waarschijnlijk dat dit op deze wijze zal gebeuren of het is zeer goed mogelijk dat de beschouwde wijziging van dit of dat voortkomt.

Het is echter reeds zeer belangrijk te kunnen bepalen wat zich zou kunnen voordoen of welke de oorzaak zou kunnen zijn van deze of gene wijziging.

Een berekening met behulp van een ordinator zou zeker meer juiste gegevens kunnen verstrekken, maar hiervoor zou de ordinator alle luchtstroomomlopen in het geheugen moeten hebben en zouden de druk van ieder knooppunt en de weerstand in alle ventilatienetgedeelten moeten bepaald zijn. Zelfs wanneer men over een ordinator beschikt, blijft het van groot belang de luchtstroomomlopen onder de Budryk-vorm te tekenen, want alsdan, wetend wat er kan gebeuren, kent men de aan de ordinator te stellen vragen en kan men zeer snel de juist berekende waarden bekomen. Zulks werd aangeduid door Patigny bij gelegenheid van een voordracht aan de Katholieke Universiteit van Leuven en door Casadamont in een uiteenzetting op de informatiedagen

étude et d'information sur les problèmes de sécurité minière à l'intention des ingénieurs des mines, organisées par l'Organe Permanent pour Sécurité et la Salubrité dans les Mines de l'Assemblée des Communautés européennes) ont montré. Tous deux associent le schéma Budryk et l'ordinateur.

D'aucuns ont dit que le schéma était difficile à faire pour les mines ayant un réseau d'aérage compliqué. C'est précisément lorsque le réseau est compliqué que le schéma canonique peut donner plus d'aide. Avec un peu d'exercice et si on commence par des cas simples, on acquiert très vite la doigté nécessaire. L'exemple choisi par Patigny dans son exposé était le réseau d'aérage de la mine « Holland » dans le bassin de la Ruhr (République Fédérale Allemande). C'était un réseau très compliqué et c'est grâce au schéma Budryk qu'on a pu rapidement résoudre toutes les questions à poser à l'ordinateur. Il y aurait, quant à nous, très grand avantage que chaque ingénieur de division possède le schéma canonique de sa division.

Si un incendie se déclare à quelque endroit, il dessine le circuit fermé en mettant en opposition géométrique la force aéromotrice qui se situe entre l'entrée et la sortie d'air de sa division et la force aéromotrice de l'incendie. Il peut ainsi rendre compte immédiatement des dangers (renversement d'aérage, explosion, etc...) et des mesures à prendre.

D) EXEMPLE D'APPLICATION DE LA METHODE DANS LE CAS D'UN INCENDIE

Cette méthode permet en cas d'incendie de décider rapidement et sans calcul les mesures immédiates à prendre :

- a) Pour éviter le retournement du courant d'air dans certains chantiers ou tronçons de voie.
- b) Pour diminuer le danger d'explosion lors de la construction de barrages.

Pour faciliter l'exposé, nous traiterons un exemple.

La figure 11 représente plus ou moins en perspective le schéma d'aérage d'un quartier.

Dans ce quartier il y a deux tailles en exploitation : la taille 12 - 13 avec aérage montant et la taille 3 - 4 avec aérage descendant.

Partant de la figure 11 nous dessinons le schéma canonique de Budryk (fig. 12). Ce schéma

te Saarbrücken/Duitse Bondsrepubliek (internationale studie- en informatiedagen aangaande veiligheidsproblemen in de steenkolenmijnen, ter intentie van de mijningenieurs georganiseerd door het Permanent Orgaan voor de Veiligheid en de Gezondheidsvoorwaarden in de Steenkolenmijnen van de Kommissie van de Europese Gemeenschappen). Beiden associëren zij het « Budryk »-schema en de ordinator.

Sommigen hebben gezegd dat het « Budryk »-schema moeilijk te maken is voor hetgeen betreft de mijnen met een ingewikkeld ventilatienet. Het is nochtans precies dan dat het kanonieke schema de meeste hulp bieden kan. Met een weinig oefening en door met eenvoudige gevallen te beginnen verwerft men vlug de vereiste behendigheid.

Het door Patigny gekozen voorbeeld voor zijn voordracht te Leuven was het ventilatienet van de « Holland »-mijn van het Ruhr-gebied (Duitse Bondsrepubliek). Dit net was zeer ingewikkeld, maar door toepassing van de « Budryk »-methode konden alle aan de ordinator te stellen vragen bepaald worden, zonder ook maar één te vergeten.

Het ware wenselijk dat iedere afdelingsingenieur het kanonieke schema van zijn divisie zou bezitten. Bij het uitbreken van een brand zou hij aldus het gesloten schema kunnen tekenen door de aëromotorische kracht van het vuur en deze gelegen tussen de luchtingang en de luchtuitgang van zijn afdeling in geometrische oppositie te plaatsen. Op deze manier zou hij zich dan onmiddellijk rekenschap kunnen geven van de gevaren (luchtstroomomkering, ontploffing, enz...) en van de te treffen maatregelen.

D) VOORBEELD VAN TOEPASSING VAN DE METHODE IN GEVAL VAN BRAND

De besproken methode maakt het mogelijk in geval van brand snel en zonder rekenen de onmiddellijk te nemen maatregelen te bepalen :

- a) Ter vermindering van een omkering van de luchtstroom in bepaalde werkplaatsen of galerijgedeelten.
- b) Ter vermindering van het ontplofingsgevaar bij het oprichten van afdammingen.

Voor het gemak van de uiteenzetting zullen wij een voorbeeld behandelen.

De figuur 11 stelt, min of meer in perspectief, het verluchtingsschema van een afdeling voor. In deze afdeling zijn er twee pijlers in uitbating :

- 1°) De pijler 12 - 13 met stijgende verluchting.
- 2°) De pijler 3 - 4 met dalende verluchting.

Vertrekkend van de figuur 11, tekenen wij het kanonieke « Budryk »-schema op de figuur 12, op

fait abstraction de toute contrainte géométrique.

welk schema abstractie wordt gemaakt van iedere geometrische gedwongenheid.

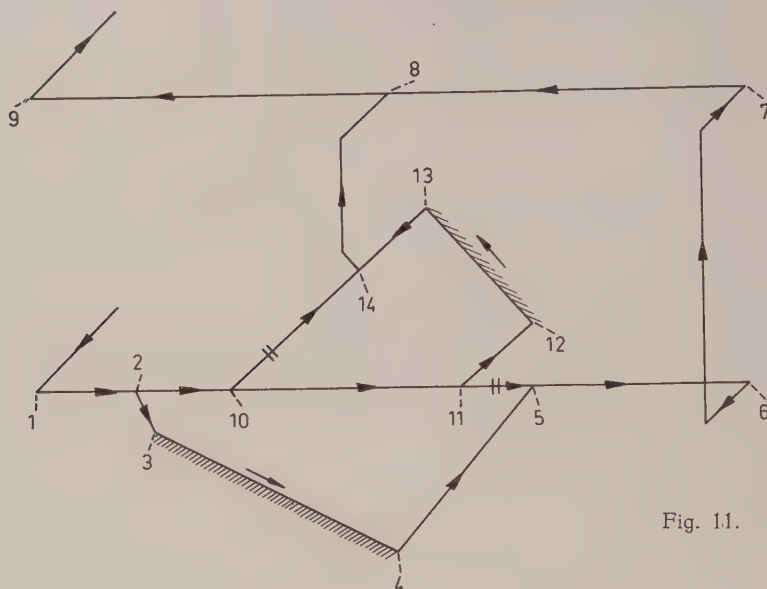


Fig. 11.

Pour passer de la figure 11 à la figure 12 :

- 1°) Nous numérotons tous les nœuds.
- 2°) Nous dessinons tous les circuits d'aérage en prenant comme convention que l'entrée d'air pour le quartier se situe en bas du dessin et que la sortie se place en haut du dessin.

Om van de figuur 11 naar de figuur 12 over te gaan :

- 1°) Nummeren wij alle knooppunten.
- 2°) Teken wij alle verluchtingsomlopen, waar bij wij bij wijze van konventie aannemen dat de luchtingang van de afdeling onderaan de tekening en de luchtuitgang ervan boven aan de tekening gelegen is.

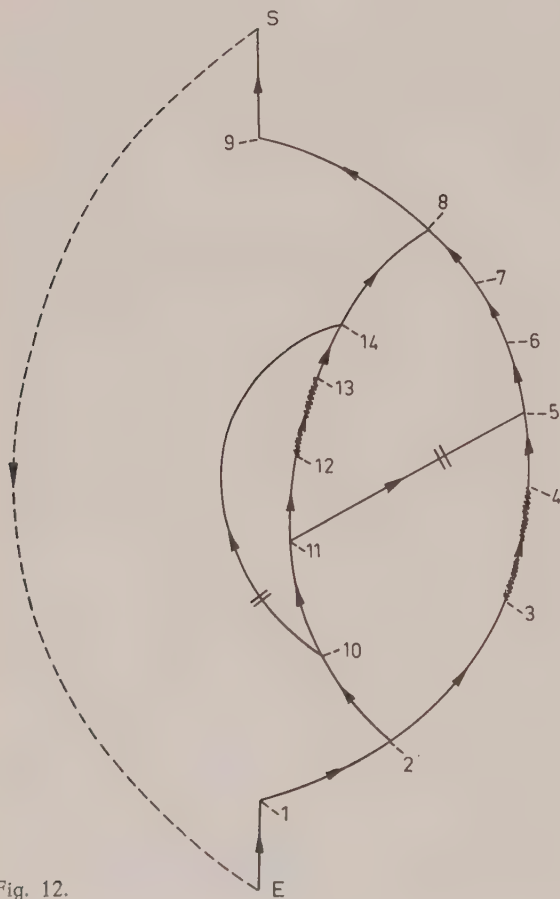


Fig. 12.

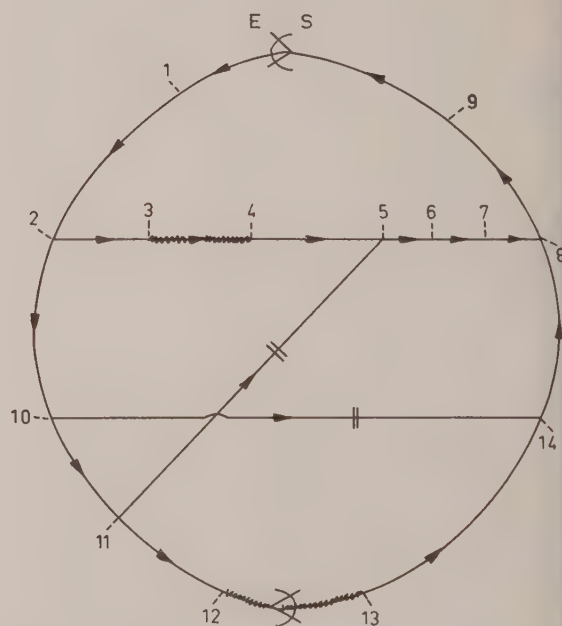


Fig. 13.

nous remarquons que, si nous connaissons les potentiels des nœuds et que si nous situons ceux-ci sur notre dessin en corrélation avec une échelle verticale tracée sur le côté de la figure, tous les montants sont montants.

Puis une branche est voisine de l'horizontale, le courant y est instable et si, par suite de modifications dans le réseau, l'inclinaison de la branche change de sens, le sens du courant y est aussi inversé.

Incendie dans une taille avec aérage montant
Supposons qu'un incendie se déclare dans la taille 12 - 13 (aérage montant). Partant du schéma canonique figure 12, nous dessinons le schéma fermé (fig. 13) en plaçant 12 - 13 en opposition avec la force aéromotrice principale. La force aéromotrice du feu agit dans le même sens que la force aéromotrice du ventilateur et la pression en 14 diminue. Si elle devient inférieure à la dépression en 10, le courant sera inversé en 10 - 14.

Dans ce cas les fumées passeront en partie sur le tronçon 10 - 11 et peut-être 11 - 5 - 6 - 7 - 8.

Pour nous éviter cela, il faut, dès que l'incendie est déclaré, prendre immédiatement les mesures suivantes :

Augmenter la résistance de 11 - 14 en barrant de suite entre 11 et 12.

Augmenter le passage d'air en 10 - 14, donc ouvrir les portes.

Le chantier 12 - 13 étant grisouteux, nous allons essayer d'y garder environ le même débit avant l'incendie.

Nous faisons une modification importante dans la taille d'une maille peut apporter des modifications importantes dans les diagonales qui appartiennent à cette maille. Voyons si le tronçon 10 - 14 fait partie d'une ou plusieurs mailles qui ont des diagonales.

Le 14 fait partie des tronçons :

10 - 14
10 - 14 - 8
2 - 10 - 14
2 - 10 - 14 - 8

Nous recherchons si l'un ou plusieurs de ces tronçons fait partie d'une ou plusieurs branches de maille qui ont une ou plusieurs diagonales (1ère méthode). Pour chaque tronçon, on recherche s'il en existe d'autres ayant mêmes points de départ et d'arrivée et n'ayant aucun autre point commun. Sur chacune des mailles ainsi trouvées, on recherche les diagonales.

Wij merken op dat, indien wij de potentialen van de knooppunten kennen en wij deze op onze tekening in korrelatie met een bezijden de figuur getrokken vertikale schaal situeren, alle luchtstromen stijgend zijn.

Hoe meer een tak het horizontale benadert, des te meer is de luchtstroom er onstabiel en, indien de inklinatie van de tak ter oorzaak van wijzigingen in het luchtstroomnet zou gewijzigd worden, zou de richting van de luchtstroom er ook omgekeerd worden.

a) Brand in een pijler met stijgende verluchting

Veronderstellen wij dat er een brand zou uitbreken in de pijler 12 - 13 met stijgende verluchting.

Vertrekkend van het kanonieke schema van de figuur 12, tekenen wij het gesloten schema op de figuur 13, waarbij wij 12 - 13 in oppositie met de voornaamste aëromotorische kracht plaatsen. De aëromotorische kracht van het vuur ageert in dezelfde richting als de aëromotorische kracht van de ventilator en de onderdruk in 14 vermindert. Indien deze onderdruk geringer zou worden dan de onderdruk in 10, zal de luchtstroom in 10 - 14 omgekeerd worden. In dat geval zal de brandrook gedeeltelijk in het gedeelte 10 - 11 en misschien ook in het gedeelte 11 - 5 - 6 - 7 - 8 doorstromen. Om dit te vermijden, dient onmiddellijk na het uitbreken van het vuur :

- 1°) De weerstand in 11 - 14 verhoogd te worden door tussen 11 en 12 af te dammen.
- 2°) De luchtdoorgang in 10 - 14 vermeerderd te worden, hetgeen het openen van de ventilatiedeuren vereist.

Daar 12 - 13 echter mijngashoudend is, dient getracht te worden er ongeveer hetzelfde debiet als vóór het uitbreken van de brand te behouden.

Een belangrijke wijziging in de tak van een maas kan echter aanzienlijke veranderingen aanbrengen in de tot deze maas behorende diagonalen.

Laten wij nazien of het gedeelte 10 - 14 deel uitmaakt van één of meer mazen met diagonalen.

10 - 14 maakt deel uit van de gedeelten :

10 - 14
10 - 14 - 8
2 - 10 - 14
2 - 10 - 14 - 8

Laten wij vervolgens opzoeken of één of meerdere van deze gedeelten deel uitmaken van één of meerdere maastakken die één of meerdere diagonalen hebben (eerste methode). Hiervoor wordt voor ieder gedeelte nagegaan of er eventueel andere gedeelten bestaan met hetzelfde vertrek- en eindpunt maar zonder ander gemeenschappelijk punt. Voor elk van de aldus gevonden mazen worden dan de diagonalen opgezocht.

10 - 14 forme une maille avec 10 - 11 - 12 - 13 - 14 : pas de diagonale.

2 - 10 - 14 : pas de maille.

2 - 10 - 14 - 8 forme une maille avec

2 - 3 - 4 - 5 - 6 - 7 - 8 : pas de diagonale.

10 - 14 - 8 forme une maille avec

10 - 11 - 5 - 6 - 7 - 8 et le tronçon 11 - 12 - 13 - 14 est diagonale dans cette maille (fig. 14).

10 - 14 vormt een maas met 10 - 11 - 12 - 13 - 14 : geen diagonaal.

2 - 10 - 14 : geen maas.

2 - 10 - 14 - 8 vormt een maas met

2 - 3 - 4 - 5 - 6 - 7 - 8 : geen diagonaal.

10 - 14 - 8 vormt een maas met 10 - 11 - 5 - 6 - 7 - 8 en het gedeelte 11 - 12 - 13 - 14 is een diagonaal in deze maas (zie de figuur 14).

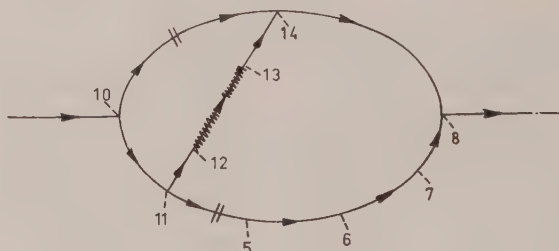


Fig. 14.

Si j'ouvre trop fort 10 - 14, il est possible d'avoir un retournement dans 11 - 12 - 13 - 14, retour des gaz de combustion sur le feu et possibilité d'explosion.

Il faut ouvrir 10 - 14 mais *prudemment* d'autant plus que l'arrivée d'air frais en 14 pourrait provoquer un feu secondaire. L'ouverture de 10 - 14 risque aussi d'inverser 10 - 5 par 2 - 3 - 4 - 5.

Il y a une autre latérale où on pourrait craindre un renversement : c'est 11 - 5 - 6 - 7 - 8.

A moins d'un incendie excessivement violent, il y a moins de chance d'avoir ce retournement, la différence de pression entre 11 et 8 étant importante. Il faut d'ailleurs être très prudent aussi dans l'ouverture de 11 - 5 si on veut le faire, car on risque aussi d'après le schéma précédent (fig. 14) d'avoir un retournement dans 11 - 12 - 13 - 14.

Maintenant que les mesures immédiates sont prises, il faut barrer l'incendie. L'idéal est de barrer 11 - 12 et 13 - 14.

Avec les moyens actuels de barrages au plâtre soit pneumatique ou hydraulique, ce n'est ordinairement plus un problème de faire un barrage résistant à une explosion dans une voie de chantier surtout que le transport peut se faire à longue distance.

Le problème est l'étanchéité, mais, par le réglage des portes dans 10 - 14 et 11 - 5 (fig. 14), il y a probablement moyen d'avoir des pressions peu différentes en 11 et 14. Donc s'il y a moyen, il ne faut pas hésiter à placer les barrages en 11 - 12 et 13 - 14.

Indien 10 - 14 al te veel geopend wordt, het mogelijk een luchtstroomomkering in 11 - 12 - 13 - 14, terugkeer van de verbrandingsgassen op het vuur en gevaar voor ontploffing bekomen.

Daarom moet 10 - 14 zeer voorzichtig geopend worden, te meer omdat de aanvoer van frische lucht in 14 een sekundair vuur zou kunnen veroorzaken. Door het openen van 10 - 14 loopt men tevens het gevaar 10 - 5 om te keren langs 2 - 3 - 4 - 5.

Ook in de laterale 11 - 5 - 6 - 7 - 8 zou men een luchtstroomomkering mogen vrezen, maar, houdens in geval van uitzonderlijk hevige brand is deze minder te verwachten, omdat het drukschil tussen 11 en 8 groot is. Men dient trouwen ook bij het eventueel openen van 11 - 5 zeer voorzichtig te zijn, vermits men volgens het schéma van de figuur 14 gevaar loopt een luchtstroomomkering te krijgen in 11 - 12 - 13 - 14.

Nu de onmiddellijk te nemen maatregelen getroffen zijn, dient de brand afgedamd te worden. Hiervoor verspert men best 11 - 12 en 13 - 14.

Met de huidige mogelijkheden van pneumatische of hydraulische oprichting van gipsdammings is het over het algemeen niet moeilijk in een werkplaatsgalerij een aan ontploffingen weerstaande dam op te richten, vooral omdat gipsaanvoer van op grote afstand gebeuren kan.

Het bekomen van een voldoende dichtheid vormt het grootste probleem, maar in 11 en 14 kan een praktisch gelijke druk bereikt worden door regeling van de ventilatiedeuren in 10 - 14 en in 11 - 5 (zie figuur 14). Indien daartoe de mogelijkheid bestaat, moet dus niet gearmd worden de afdammingen in 11 - 12 en in 13 - 14 te plaatsen.

proposons qu'il ne soit pas possible de barrer 1 - 12 et que nous soyons obligés de le faire 0 - 11, 13 - 14 et 11 - 5. Dans quel ordre arrêter ces barrages pour avoir le moins de danger possible d'explosion ?

Barrage en 10 - 11.

Que pourrait-il se passer lorsque je barre complètement 10 - 11 ?

Chercher si 10 - 11 fait partie d'une branche d'une ou plusieurs mailles qui ont une ou plusieurs diagonales (2e méthode).

10 - 11 fait partie de 2 - 10 - 11 - 12 - 13 - 14 - 8 qui a une bifurcation 11 - 5 qui aboutit à 2 - 3 - 4 - 5 - 6 - 7 - 8.

11 - 5 est diagonale (fig. 15).

En barrant 10 - 11, je risque l'inversion dans 11 - 5 par le circuit 2 - 3 - 4 - 5, ce qui n'a pas d'inconvénient pour l'explosion.

10 - 11 fait aussi partie de 10 - 11 - 5 - 6 - 7 - 8 qui a une dérivation 11 - 12 - 13 - 14 qui aboutit à 10 - 14 - 8.

11 - 12 - 13 - 14 est diagonale (fig. 16).

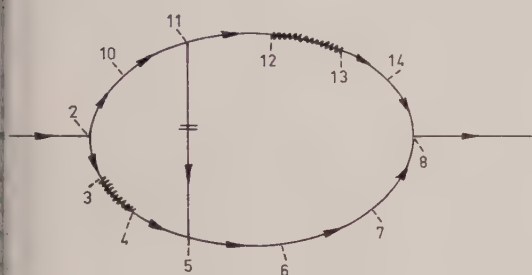


Fig. 15.

En barrant 10 - 11 je risque d'inverser le courant d'air en 12 - 13 par le circuit 10 - 14 et d'avoir l'explosion. Donc prudence.

En résumé :

En barrant 10 - 11, il peut y avoir inversion dans 11 - 5 par 2 - 3 - 4 - 5 ou inversion dans 12 - 13 (danger d'explosion) par 10 - 14.

Barrer 11 - 5.

Que pourrait-il se passer en barrant 11 - 5 ? Chercher si 11 - 5 fait partie d'une branche d'une ou plusieurs mailles qui ont une ou des diagonales (2e méthode). Le tronçon 10 - 11 - 5 - 6 - 7 - 8 a une dérivation 11 - 12 - 13 - 14 qui arrive en 14 sur le tronçon 10 - 14 - 8.

In de veronderstelling dat het onmogelijk zou blijken een dam in 11 - 12 op te richten en dat men verplicht zou zijn de afdammingen in 10 - 11, 13 - 14 en 11 - 5 te plaatsen, in welke volgorde zouden dan deze afdammingen moeten gebouwd worden om het ontplofingsgevaar zoveel mogelijk te verminderen ?

1°) Wat zou er kunnen gebeuren bij volledige afdamming van 10 - 11 ?

Vooreerst dient opgezocht te worden of 10 - 11 deel uitmaakt van een tak van één of meerdere mazen met één of meerdere diagonalen (tweede methode).

10 - 11 is een gedeelte van 2 - 10 - 11 - 12 - 13 - 14 - 8, die een vertakking 11 - 5 heeft, uitlopend in 2 - 3 - 4 - 5 - 6 - 7 - 8.

11 - 5 is een diagonaal (zie de figuur 15).

Door 10 - 11 af te dammen zou men in 11 - 5 een luchtstroomomkering kunnen veroorzaken door de omloop 2 - 3 - 4 - 5, hetgeen niet ontplofingsgevaarlijk is.

10 - 11 is tevens een gedeelte van 10 - 11 - 5 - 6 - 7 - 8, die een derivatie 11 - 12 - 13 - 14 heeft, die uitloopt op 10 - 14 - 8.

11 - 12 - 13 - 14 is een diagonaal (zie de figuur 16).

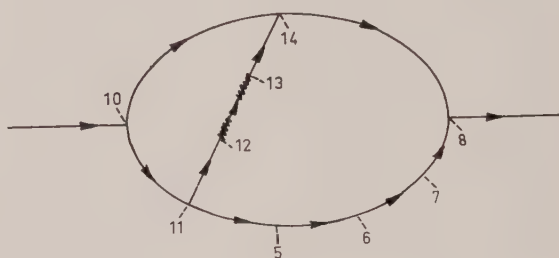


Fig. 16.

Door afdamming van 10 - 11 riskeert men door de omloop 10 - 14 de luchtstroom in 12 - 13 om te keren en aldus een ontplofing te veroorzaken.

Men moet derhalve voorzichtig te werk gaan. Samenvattend kan dus gezegd worden dat door 10 - 11 af te dammen er zich langs 2 - 3 - 4 - 5 in 11 - 5 een luchtstroomomkering zou kunnen voordoen of langs 10 - 14 in 12 - 13 (gevaar voor ontplofing).

2°) Wat zou er kunnen gebeuren bij afdamming van 11 - 5 ?

Vooreerst dient opgezocht te worden of 11 - 5 deel uitmaakt van een tak van één of meerdere mazen met één of meerdere diagonalen (tweede methode).

Het gedeelte 10 - 11 - 5 - 6 - 7 - 8 heeft de derivatie 11 - 12 - 13 - 14, die in 14 op het gedeelte 10 - 14 - 8 aankomt.

11 - 12 - 13 - 14 est diagonale (fig. 17).

Si je barre 11 - 5, je renforce 11 - 14 et donc le courant d'air sur le feu par le circuit 10 - 11.

3°) Barrer 13 - 14.

Que pourrait-il se passer en barrant 13 - 14 ? Chercher si 13 - 14 fait partie d'une branche d'une ou plusieurs mailles qui ont une ou des diagonales (2e méthode).

2 - 10 - 11 - 12 - 13 - 14 - 8 a une dérivation 11 - 5 qui arrive en 5 sur le tronçon 2 - 3 - 4 - 5 - 6 - 7 - 8.

Nous avons la maille figure 18 avec 11 - 5 diagonale.

Si je barre 13 - 14, je renforce 11 - 5 par le circuit 2 - 10 - 11.

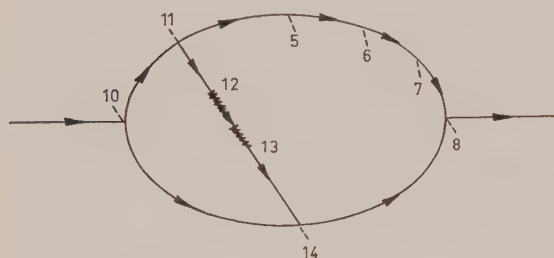


Fig. 17.

Donc :

Barrer 10 - 11 = Risque d'inverser 11 - 5 par le circuit 2 - 3 - 4 - 5, et danger d'explosion par renversement dans 12 - 13 par le circuit 10 - 14.

Barrer 11 - 5 = Renforcer 12 - 13 par le circuit 10 - 11.

Barrer 13 - 14 = Renforcer 11 - 5 par le circuit 2 - 10 - 11.

Logiquement fermer les 3 barrages ensemble ou 11 - 5 et 10 - 11 ensemble et 13 - 14 après.

b) Incendie au pied d'un puits intérieur

Supposons maintenant que l'incendie se déclare au pied du puits intérieur 14 - 8 (fig. 11). Ce sous-puits étant revêtu en bois, la force aéromotrice $H/3$ peut devenir très vite importante. Quelles mesures doit-on prendre immédiatement ?

Faire le schéma fermé en mettant le feu en opposition géométrique avec le ventilateur principal (fig. 19). La force aéromotrice agit dans le même sens que celle du ventilateur.

11 - 12 - 13 - 14 is een diagonaal (zie figuur 17).

Door afdamming van 11 - 5 versterkt 11 - 14 en door de omloop 10 - 11 dus te de luchttoevoer op het vuur.

3°) Wat zou er kunnen gebeuren door afdamming van 13 - 14 ?

Vooreerst dient opgezocht te worden of 13 - 14 deel uitmaakt van een tak van één of meerdere mazen met één of meerdere diagonalen (tweede methode).

2 - 10 - 11 - 12 - 13 - 14 - 8 heeft de derivatie 11 - 5, die in 5 op het gedeelte 2 - 3 - 4 - 5 - 6 - 7 - 8 aankomt.

Men heeft de maas van het schema van figuur 18 met 11 - 5 als diagonaal.

Door 13 - 14 af te dammen versterkt 11 - 5 langs de omloop 2 - 10 - 11.

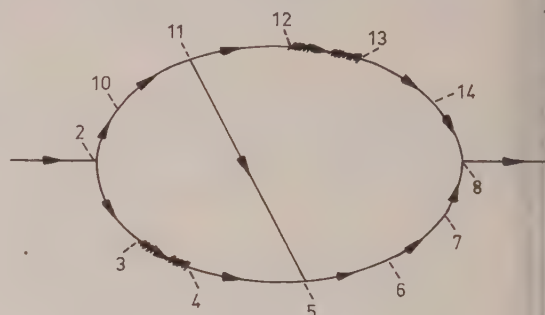


Fig. 18.

Dus :

10 - 11 afdammen = Mogelijkheid van luchtstroomomkering in 11 - 5 langs de omloop 2 - 3 - 4 - 5 en gevaar voor ontploffing of luchtstroomomkering in 12 - 13 langs de omloop 10 - 14.

11 - 5 afdammen = Versterking van 12 - 13 langs de omloop 10 - 11.

13 - 14 afdammen = Versterking van 11 - 5 langs de omloop 2 - 10 - 11.

Logischerwijze dienen de drie dammen gelijktijdig gesloten te worden ofwel 11 - 5 en 10 - 11 samen en daarna 13 - 14.

b) Brand aan de voet van een binnenschacht

Veronderstellen wij nu dat de brand uitbreekt aan de voet van de binnenschacht 14 - 8 (zie figuur 11). Door de aanwezigheid van een houtbekleding aldaar zou de aéromotorische kracht $H/3$ zeer belangrijk kunnen worden. Daar dient men zich af te vragen welke maatregelen onmiddellijk genomen dienen te worden.

Om dit te bepalen maakt men het gesloten schema, waarbij men het vuur in geometrische oppositie met de hoofdventilator plaatst (zie figuur 19). De aéromotorische kracht ageert in dezelfde zin als deze van de ventilator.

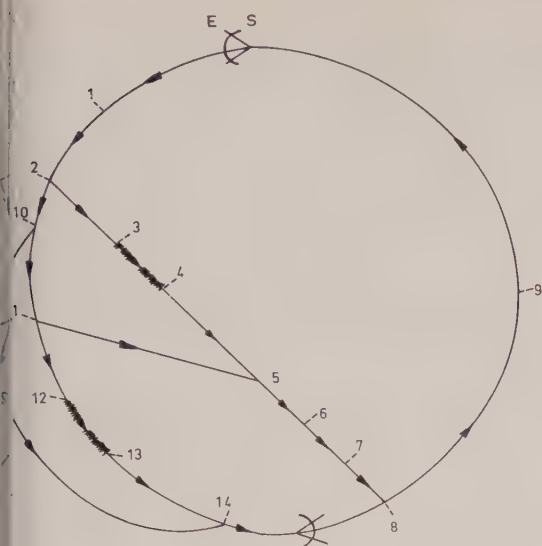


Fig. 19.

De feu in 14 - 8 tire sur 12 - 13 : pas de danger immédiat d'inversion en 12 - 13. Mais si la pression en 8 devient supérieure à la pression en 2, inversion de 8 vers 2 et passage des fumées en 4, ce qui est très dangereux.

De même si la pression en 8 devient supérieure à la pression en 11, inversion dans 8 - 7 - 6 - 5 - 11 par le fait même les fumées passeront en 12 - 13, ce qui est très dangereux.

Donc : ouvrir 11 - 5 et 2 - 3 - 4 - 5 - 6 - 7.

Barrer si possible au pied de 14.

Si ce n'est pas possible, barrer entre 11 et 12 de façon à ce qu'il ne passe pas plus d'air qu'il y a en 12 - 13 (grisou) et barrer le plus possible entre 10 et 14. Pour étudier les dangers résultant de la construction de barrages nous raisonnons de la même façon que pour le cas précédent.

Incendie dans une taille avec aérage descendant

Supposons enfin que l'incendie se déclare dans la taille 3 - 4 avec aérage descendant.

Quelles mesures prendre ?

Dessiner le schéma fermé qui met en opposition géométrique la force aéromotrice de l'incendie avec la force aéromotrice du ventilateur (Fig. 20).

Dans ce cas la force aéromotrice de l'incendie est dans le sens opposé à celle du ventilateur.

En regardant le schéma, nous voyons que si la force aéromotrice du feu est importante on pour-

Het vuur in 14 - 8 trekt op 12 - 13 : geen onmiddellijk gevaar voor luchtstroomomkering. Indien echter de druk in 8 groter zou worden dan deze in 2, dan zal er zich een luchtstroomomkering van 8 naar 2 voordoen en zullen de brandgassen in 3 - 4 binnendringen, hetgeen zeer gevaarlijk is. Zo ook zal, indien de druk in 8 groter zou worden dan deze in 11, er zich in 8 - 7 - 6 - 5 - 11 een luchtstroomomkering voordoen en zullen door het feit zelf de brandgassen in 12 - 13 binnendringen, hetgeen eveneens zeer gevaarlijk is.

Dus moeten 11 - 5 en 2 - 3 - 4 - 5 - 6 - 7 geopend worden.

Indien mogelijk dient afgedamd te worden aan de voet van 14.

Moest zulks niet mogelijk blijken, kan tussen 11 en 12 afgedamd worden, zodanig dat er in 12 - 13 niet meer lucht dan voorheen doorstroomt (mijn gas) en dient tussen 10 - 14 zoveel mogelijk afgedicht te worden.

De gevaren, voortspruitend uit de oprichting van deze dammen, worden bestudeerd door op dezelfde wijze als voor het voorgaande geval te redeneren.

c) Brand in een pijler met dalende verluchting

Veronderstellen wij tenslotte dat er een brand zou uitbreken in de pijler 3 - 4 met dalende verluchting.

Om te bepalen welke maatregelen in dit geval moeten genomen worden, tekenen wij het gesloten schema van de figuur 20, waarbij wij de aëromotorische kracht van het vuur in geometrische oppositie met de aëromotorische kracht van de ventilator plaatsen. In dit geval ageert de aëromotorische kracht van het vuur in tegengestelde zin van deze van de ventilator. Wij kunnen aan de hand van dit schema vaststellen dat, indien de

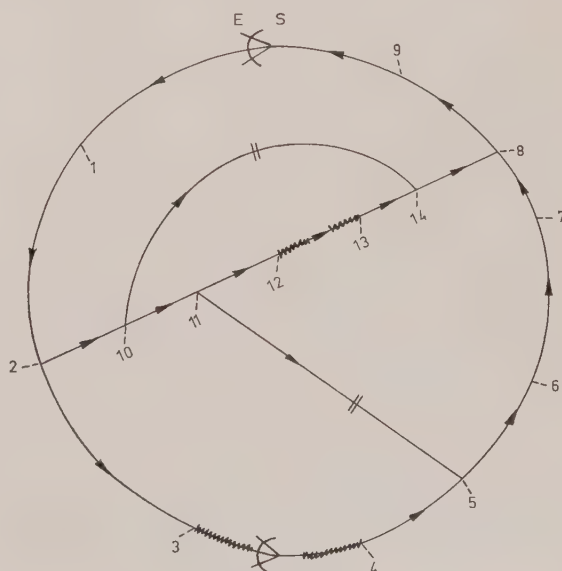


Fig. 20.

rait avoir renversement du courant d'air dans 2 - 3 et des fumées pourraient repasser sur la taille 12 - 13.

Pour éviter cela : renforcer le courant d'air dans la direction 3 - 4. Ouvrir 2 - 3. Barrer partiellement 2 - 10. Ne pas ouvrir 11 - 5 ni 10 - 14.

Pour la construction des barrages raisonner comme nous avons fait dans le premier cas.

E) EXEMPLE D'APPLICATION DE LA METHODE DANS D'AUTRES CAS QUE CEUX DE L'INCENDIE

Le schéma fermé peut aussi être utilisé dans d'autres cas que ceux de l'incendie :

- 1) On peut préjuger de ce qui pourrait se passer si on modifie fortement la résistance d'un tronçon. Par exemple : ouverture de portes ou éboulements massifs. Pour cela on raisonne comme nous l'avons fait pour voir les modifications importantes qui pourraient se produire lors de la construction des barrages. Une modification importante dans la branche d'une maille peut apporter des modifications importantes dans les diagonales qui appartiennent à cette maille. Il faut donc, comme nous l'avons fait au paragraphe b du chapitre B ainsi que pour l'établissement des barrages, chercher si le tronçon où on a apporté la modification importante fait partie d'une ou plusieurs branches de maille qui ont une ou plusieurs diagonales.

Nous ne reviendrons pas sur ce problème. Il a été traité.

- 2) Si on constate une inversion dans un tronçon, on peut chercher d'où cela pourrait provenir.

S'il y a inversion, c'est que ce tronçon est diagonale dans une maille dont on a modifié fortement la résistance d'une des branches. Il faut chercher à quelle(s) maille(s) appartient cette diagonale.

Il y a moyen de le faire systématiquement :

Supposons que nous constatons une inversion dans 12 - 13 (voir paragraphe c du chapitre B).

aëromotorische kracht van het vuur beland zou zijn, men in 2 - 3 een luchtstroomomkering zou kunnen krijgen en dat de brandgassen men den kunnen terugstromen in de pijler 12

Om zulks te vermijden dient de luchtstroom in de richting 3 - 4 versterkt te worden, men 2 - 3 openen, 2 - 10 gedeeltelijk afdammen en noch 11 - 5 noch 10 - 14 openen.

De bouw van de dammen dient beredeneerd worden op dezelfde wijze als gedaan voor de eerstvernoemde geval.

E) VOORBEELD VAN TOEPASSING VAN DE METHODE OP ANDERE DAN BRANDGEVALLEN

Het gesloten schema kan ook in andere gevallen dan bij gelegenheid van brand gebruikt worden.

- a) Men kan zich voorafgaandelijk een oorschetsen van hetgeen zou kunnen gebeuren, en men de weerstand van een gedeelte van de ventilatiekring in aanzienlijke mate wijzigen.

Nemen wij bij wijze van voorbeeld het geval van opening van ventilatiedeuren of het geval van massale instortingen. Hierbij redeneert men op dezelfde wijze als gedaan voor de opsporen van door het bouwen van dammen veroorzaakte belangrijke wijzigingen.

Een belangrijke wijziging in de tak van een maas kan aanzienlijke veranderingen veroorzaken in de tot deze maas behorende diagonalen. Zoals zulks ook in de paragraaf b van het hoofdstuk B en voor de bepaling van het aantal richtingen van afdammingen gedaan werd, dient ook hier dus opgezocht te worden of het gedeelte waarin men een belangrijke wijziging heeft aangebracht deel uitmaakt van één of meerdere maastakken met één of meerdere diagonalen. Daar dit probleem reeds hoger behandeld werd, komen wij er hier niet meer op terug.

- b) Wanneer men in een gedeelte een luchtstroomomkering vaststelt, kan men de oorsprong daarvan opsporen.

In geval van luchtstroomomkering beweert men dat het gedeelte een diagonaal is in een maas, in dewelke men de druk van één der takken in aanzienlijke mate gewijzigd heeft. Men dient in dit geval op te zoeken tot welke maas of mazen deze diagonaal behoort, welke opzoeking systematisch doorgevoerd kan worden.

Veronderstellen wij dat wij een luchtstroomomkering in 12 - 13 zouden vaststellen (zie paragraaf c van het hoofdstuk B). In dat geval handelen wij op de hierna volgende wijze.

Ecrire tous les tronçons auxquels appartient le tronçon à étudier (fig. 13) :

1 - 12 - 13 - 14
 0 - 11 - 12 - 13 - 14
 1 - 12 - 13 - 14 - 8
 0 - 11 - 12 - 13 - 14 - 8
 2 - 10 - 11 - 12 - 13 - 14
 2 - 10 - 11 - 12 - 13 - 14 - 8

Pour chaque tronçon prendre en considération chaque nœud situé en amont aérage d'où partent à la fois : une branche passant par l'extrémité amont et une branche passant par l'extrémité aval du tronçon considéré.

A partir de chacun de ces nœuds :

1°) Ecrire toutes les branches qui passent par l'extrémité amont, qui ne commencent pas à cette extrémité et n'ont aucun point commun avec le tronçon considéré.
 Ceci constitue le groupe A.

2°) Ecrire toutes les branches qui passent par l'extrémité aval, qui ne se terminent pas à cette extrémité et qui n'ont aucun point commun avec le tronçon considéré.
 Ceci constitue le groupe B.

Pour 11 - 12 - 13 - 14 il y a deux nœuds amont : 10 et 2.

Partant de 10 :

— Groupe A : 10 - 11 - 5 - 6 - 7 - 8
 — Groupe B : 10 - 14 - 8

Partant de 2 :

— Groupe A : 2 - 10 - 11 - 5 - 6 - 7 - 8
 — Groupe B : 2 - 10 - 14 - 8

Pour 11 - 12 - 13 - 14 - 8 il y a deux nœuds amont : 10 et 2.

Partant de 10 : aucun tronçon ne peut être retenu, car 10 - 11 - 5 - 6 - 7 - 8 - 9 qui passe par 11 a le point 8 commun avec le tronçon considéré, et 10 - 14 - 8 - 9 qui passe par 8 a les points 14 et 8 communs avec le tronçon considéré.

Partant de 2 : aucun tronçon ne peut être considéré pour les mêmes raisons que plus haut.

Pour 10 - 11 - 12 - 13 - 14 il y a un nœud amont : 2.

Partant de 2 : aucun tronçon ne peut être con-

a) Wij schrijven alle gedeelten tot dewelke het te bestuderen gedeelte behoort (zie de figuur 13) :

11 - 12 - 13 - 14
 10 - 11 - 12 - 13 - 14
 11 - 12 - 13 - 14 - 8
 10 - 11 - 12 - 13 - 14 - 8
 2 - 10 - 11 - 12 - 13 - 14
 2 - 10 - 11 - 12 - 13 - 14 - 8

b) Voor ieder van deze gedeelten beschouwen wij elk luchtstroomopwaarts gelegen knooppunt van hetwelk tegelijkertijd vertrekken :

— Een tak die door het luchtstroomopwaartse uiteinde van het beschouwde gedeelte passeert.
 — Een tak die door het luchtstroomafwaartse uiteinde van het beschouwde gedeelte passeert.

Vertrekkend van ieder van deze knooppunten :

1°) Schrijven wij alle takken die door het luchtstroomopwaartse uiteinde passeren, die niet aan dit uiteinde ontspringen en die geen enkel punt gemeenschappelijk met het beschouwde gedeelte hebben.
 Dit vormt de groep A.

2°) Schrijven wij alle takken die door het luchtstroomafwaartse uiteinde passeren, die niet op dit uiteinde uitlopen en die geen enkel punt gemeenschappelijk met het beschouwde gedeelte hebben.
 Dit vormt de groep B.

— Voor 11 - 12 - 13 - 14 zijn er twee luchtstroomopwaartse knooppunten : 10 en 2.

Vertrekkend van 10 :

— Groep A : 10 - 11 - 5 - 6 - 7 - 8
 — Groep B : 10 - 14 - 8

Vertrekkend van 2 :

— Groep A : 2 - 10 - 11 - 5 - 6 - 7 - 8
 — Groep B : 2 - 10 - 14 - 8

— Voor 11 - 12 - 13 - 14 - 8 zijn er twee luchtstroomopwaartse knooppunten : 10 en 2.

Vertrekkend van 10 kan er geen enkel gedeelte weerhouden worden, omdat 10 - 11 - 5 - 6 - 7 - 8 - 9, die door 11 passeert, het punt 8 met het beschouwde gedeelte gemeenschappelijk heeft en omdat 10 - 14 - 8 - 9, die door 8 passeert, de punten 14 en 8 met het beschouwde gedeelte gemeenschappelijk heeft.

Vertrekkend van 2 kan om dezelfde reden als hiervoor uiteengezet geen enkel gedeelte in beschouwing genomen worden.

— Voor 10 - 11 - 12 - 13 - 14 is er één luchtstroomopwaarts knooppunt : 2.

Vertrekkend van 2 kan er geen enkel gedeelte

sidéré, car le tronçon qui passe par 10 passe par 11 ou par 14 et le tronçon qui passe par 14 passe par 10.

Pour des raisons identiques il n'y a aucun tronçon à prendre en considération pour :

10 - 11 - 12 - 13 - 14 - 8
2 - 10 - 11 - 12 - 13 - 14
2 - 10 - 11 - 12 - 13 - 14 - 8

Nous avons donc :

Groupe A : 10 - 11 - 5 - 6 - 7 - 8
2 - 10 - 11 - 5 - 6 - 7 - 8

Groupe B : 10 - 14 - 8
2 - 10 - 14 - 8

Ensuite pour former les mailles où la branche étudiée est diagonale :

- Considérer l'une après l'autre chaque branche du groupe A.
- Accoupler à chacune de ces branches la ou les branches du groupe B qui partent du même nœud et arrivent au même nœud et qui n'ont aucun tronçon commun avec la branche du groupe A prise en considération.

— Branche du groupe A : 10 - 11 - 5 - 6 - 7 - 8.
On peut accoupler à cette branche la branche 10 - 14 - 8 du groupe B. Elles partent toutes deux de 10, arrivent en 8 et n'ont aucun point commun.

La maille formée par 10 - 11 - 5 - 6 - 7 - 8 et 10 - 14 - 8 a donc 11 - 12 - 13 - 14 comme diagonale.

— Branche du groupe A : 2 - 10 - 11 - 5 - 6 - 7 - 8.
On ne peut accoupler à cette branche la branche 10 - 14 - 8 du groupe B, parce qu'elles ne partent pas du même nœud. On ne peut non plus lui accoupler 2 - 10 - 14 - 8, parce qu'elles ont un point commun : 10.

Donc en résumé : 11 - 12 - 13 - 14 n'est diagonale que dans une maille formée par les branches : 10 - 11 - 5 - 6 - 7 - 8 et 10 - 14 - 8 (fig. 21).

weerhouden worden, omdat het door 10 passerende gedeelte door 11 of door 14 passeert en omdat het door 14 passerende gedeelte door 10 passeert.

Om dezelfde redenen is er geen enkel gedeelte in beschouwing te nemen voor hetgeen betreft :

10 - 11 - 12 - 13 - 14 - 8
2 - 10 - 11 - 12 - 13 - 14
2 - 10 - 11 - 12 - 13 - 14 - 8

Wij hebben dus :

Groep A : 10 - 11 - 5 - 6 - 7 - 8
2 - 10 - 11 - 5 - 6 - 7 - 8

Groep B : 10 - 14 - 8
2 - 10 - 14 - 8

Om de mazen, in dewelke de bestudeerde tak een diagonaal is, te vormen :

- Beschouwt men achtereenvolgens alle takken van de groep A.
- Worden aan ieder van deze takken de takken van de groep B geassocieerd die van hetzelfde knooppunt vertrekken en op hetzelfde knooppunt aankomen en die geen gedeelte gemeenschappelijk hebben met de beschouwde tak van de groep A.

— Tak van de groep A : 10 - 11 - 5 - 6 - 7 - 8.
Men kan aan deze tak de tak 10 - 14 - 8 van de groep B associëren.

Zij vertrekken beiden uit 10, komen beiden aan in 8 en hebben geen enkel gemeenschappelijk punt. De door 10 - 11 - 5 - 6 - 7 - 8 en 10 - 14 - 8 gevormde maas heeft 11 - 12 - 13 - 14 als diagonaal.

— Tak van de groep A : 2 - 10 - 11 - 5 - 6 - 7 - 8.
Men kan aan deze tak de tak 10 - 14 - 8 van de groep B niet verbinden, omdat deze beide takken niet van hetzelfde knooppunt vertrekken, noch hem verbinden met de tak 2 - 10 - 14 - 8, omdat zij beiden het knooppunt 10 gemeenschappelijk hebben.

Samengevat kan dus gezegd worden : 11 - 12 - 13 - 14 slechts een diagonaal is in een netaal gevormd door de takken 10 - 11 - 5 - 6 - 7 - 8 en 10 - 14 - 8 (zie de figuur 21).

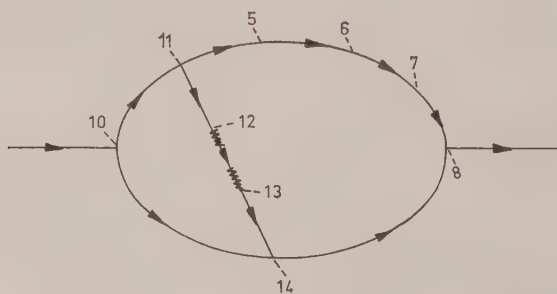


Fig. 21.

ne inversion ou même une très forte diminution du courant d'air dans 12 - 13 pourrait provenir soit d'une ouverture trop grande de 10 - 14 et 11 - 8 (par exemple : ouverture des portes entre 10 et 14, et/ou ouverture des portes entre 11 et 5), soit d'une augmentation très grande de la résistance en 10 - 11 et en 14 - 8 (par exemple : colmatage dans un de ces deux tronçons).

In pratique, grâce au travail précédent fait à l'occasion pour tous les tronçons particulièrement dangereux (nous pensons que ce travail serait à effectuer au moyen d'un ordinateur), on peut, dès l'annonce d'une modification importante, donner des ordres pour faire vérifier immédiatement les points reconnus comme dangereux (portes, passages en très mauvais état...).

In 12 - 13 zou een luchtstroomomkering of zelfs een zeer aanzienlijke vermindering van de ventilatie kunnen veroorzaakt worden door een te groot openen van 10 - 14 of van 11 - 8 (bijvoorbeeld : openen van de ventilatiedeuren tussen 10 en 14 en/of openen van de ventilatiedeuren tussen 11 en 5) of door een te grote vermeerdering van de weerstand in 10 - 11 en in 14 - 8 (bijvoorbeeld veroorzaakt door een instorting in één van de twee gedeelten).

Door toepassing van de hiervoor beschreven methode, op voorhand uitgevoerd voor hetgeen alle bijzonder gevaarlijke gedeelten betreft (wij zijn van mening dat zulksdanige studie met gebruik van een ordinator zou dienen uitgevoerd te worden), kan men in de praktijk onmiddellijk na aankondiging van een belangrijke wijziging de nodige bevelen geven om ogenblikkelijk de als zijnde gevaarlijk erkende punten te onderzoeken (ventilatiedeuren, doorgangen in zeer slechte staat, enz...).

Sélection des fiches d'INIEX

INIEX publie régulièrement des fiches de documentation classées, relatives à l'industrie charbonnière et qui sont adressées notamment aux charbonnages belges. Une sélection de ces fiches paraît dans chaque livraison des Annales des Mines de Belgique.

Cette double parution répond à deux objectifs distincts :

- 1) *Constituer une documentation de fiches classées par objet*, à consulter uniquement lors d'une recherche déterminée. Il importe que les fiches proprement dites ne circulent pas ; elles risqueraient de s'égarer, de se souiller et de n'être plus disponibles en cas de besoin. Il convient de les conserver dans un meuble ad hoc et de ne pas les diffuser.
- 2) *Apporter régulièrement des informations groupées par objet*, donnant des vues sur toutes les nouveautés.

C'est à cet objectif que répond la sélection publiée dans chaque livraison.

A. GEOLOGIE. GISEMENTS. PROSPECTION. SONDAGES.

IND. A 25423

Fiche n° 58.523

1. **KARRENBURG et COLLABORATEURS.** Die Karbon-Ablagerungen in der Bundesrepublik Deutschland. Eine Uebersicht. The Carboniferous deposits in the Federal Republic of Germany. A review. *Les dépôts du Carbonifère de la République Fédérale d'Allemagne. Un aperçu.* (Textes allemand, anglais et français). — *Fortschritte in der Geologie von Rheinland und Westfalen*, Vol. 19, 1971, mai, 649 p., nombr. fig.

Ce livre-guide est rédigé à l'adresse des participants au 7ème Congrès International de Stratigraphie et de Géologie du Carbonifère qui, pour la première fois, en 1971 se tient en Allemagne. Cette monographie du Carbonifère de l'Allemagne Occidentale, élaborée par un collègue d'au-

teurs, placés sous le patronage du Prof. Karrenberg, paraît dans les 3 langues véhiculaires du Congrès. Elle vise, avant celui-ci, à arriver à une saine compréhension des problèmes qui seront exposés et débattus, ainsi qu'à un échange fructueux des connaissances scientifiques entre les congressistes. Le plan de l'ouvrage fait la distinction usuelle entre milieu paralique et milieu limnique. Le premier est constitué par une série de gisements étalés selon une bande qui s'aligne de l'avant-fosse subvarisque, depuis la Belgique par Aix-la-Chapelle - Erkelenz, la région Rhin-Ruhr et la région d'Ibbenbüren vers l'est et qui, d'après des sondages récents, s'étend également loin vers le nord, dans le soubassement N-W de l'Allemagne et de la Mer du Nord. Quant au milieu limnique, il comprend essentiellement le bassin de la Sarre-Nahe. Un aperçu sur la suite strati-

graphique dans les régions principales permet de déduire que la sédimentation dans la région d'Aix-la-Chapelle et dans la Ruhr, s'étend du Dinantien, par le Namurien, jusqu'au Westphalien B et C, tandis que la série de la région d'Ibbenbüren monte jusqu'au Westphalien D. En Allemagne septentrionale, des sondages ont montré la présence du Westphalien D et du Stéphanien Inférieur. Les mines de la Sarre montrent des sédiments allant du Westphalien jusqu'au Stéphanien et Rotliegend. Dans chacun de ces milieux, les co-auteurs ont été invités à décrire séparément le développement stratigraphique et sédimentaire, ainsi que le style tectonique pour les différentes régions houillères. On a également pu inclure dans cette description le Carbonifère Supérieur dans le soubassement du NW de l'Allemagne et de la Mer du Nord. Pour tous ces bassins houillers, les questions de la houillification et du dégagement de gaz sont importantes et l'on traite ces sujets en conséquence, surtout en ce qui concerne les gisements de gaz naturel dans le soubassement du NW de l'Allemagne et de la Mer du Nord. Les régions houillères Rhin-Ruhr et Aix-la-Chapelle - Erkelenz montrent, à côté de ces dépôts houillers, une minéralisation importante en Pb/Zn. Un autre chapitre traite de la présence des « tonsteins Kaolin-charbons » et du contenu fossilifère, ainsi que de leur importance stratigraphique. Le développement paléogéographique a été résumé séparément pour le milieu paralique et pour le milieu limnique. Un chapitre final est consacré au charbon comme matière première. On examine l'importance pratique de la composition pétrographique du charbon, le charbon comme source d'énergie pour l'avenir, ainsi que le développement et l'état actuel de l'exploitation houillère.

Biblio. : 362 réf.

IND. A 47

Fiche n° 58.866

J.A. HANSULD, H.C. SAKRISON, H.A. LEE, F.D. FORGERON, R.J. ALLAN, R.W. BOYLE, W.J. WOLFE et C.F. GLEESON. Geochemical exploration in the Canadian Shield. State of the art. *L'exploration géochimique du Bouclier Canadien. Etat actuel.* — Canadian Mining and Metallurgical Bulletin, 1971, novembre, p. 27/81, 42 fig.

Dans une série d'articles traités par plusieurs auteurs, l'état actuel des connaissances acquises sur la morphologie du bouclier Canadien est développé sous ses divers aspects : stratigraphie, composition des roches, prospection géochimique. Les six articles sont intitulés : Le géochimie des roches - son emploi courant dans le bouclier Canadien. La découverte minérale dans le bouclier Canadien par l'emploi des aspects physiques du manteau de recouvrement. La géochimie des sols dans le bouclier Canadien. Les sédiments

lacustres : moyen de prospection géochimie régional du bouclier Canadien. Méthodes hydrogéochimiques - Leur application du bouclier Canadien. La prospection biogéochimique en terrain glaciaire du bouclier Canadien précambrien. Les recherches relevant des méthodes géochimiques comprennent l'analyse chimique des sols, le recouvrement, en relation avec les roches anciennes sous-jacentes, l'analyse des eaux de rivières, lacs, puits, de la végétation. Ces analyses conduisent à la connaissance de la répartition des localisations et gisements des éléments métalliques et autres. Des cartes peuvent être dressées sur des données fournissant la représentation de l'état actuel des notions acquises sur la composition du sol et du sous-sol de la région prospectée.

B. ACCES AU GISEMENT. METHODES D'EXPLOITATION

IND. B 116

Fiche n° 58.867

U. OTTO. Vollmechanisches Teufen eines Blindschachtes. *Fonçage entièrement mécanisé d'un puits intérieur.* — Glückauf, 1971, 25 novembre, p. 921/923, 4 fig.

Pour la première fois dans un charbonnage européen, c'est au puits Emil Mayrisch de Eschweiler Bergwerk-Verein (EBV) que réunit le forage en descendant d'un puits intérieur, diamètre de 4,5 m, de 240 m de hauteur. Les firmes Deilmann-Haniel GmbH et Thyssen Schachtbau GmbH œuvrant en association utilisent pour le creusement descendant une foreuse GSB-V-450/500 et des tiges de forage de la firme Alfred Wirth und C^o K.G. Ce puits intérieur met en communication les étages 470 m et 710 m fut terminé le 10 août 1971, par achèvement. L'alésage au ϕ de 4,5 m d'un trou pilote creusé en descendant au ϕ initial de 1 m. Ce trou pilote effectué par la Deutsche Tiefbohr AG. (société filiale de la C. Deilmann AG.) n'avait accusé, à la hauteur finale de 240 m, qu'un écart horizontal de 26 cm entre le point visé et le point réellement atteint. L'auteur décrit la foreuse à alésage GSB-V-450/500 de Wirth, ainsi que l'organisation du travail du fonçage du puits intérieur. A noter que l'achèvement de l'alésage du puits intérieur a nécessité 50 jours de forage à la vitesse moyenne d'enfoncement (puits équipé de son revêtement) de 4,5 m/jour; la meilleure performance réalisée fut de 8,50 m/jour.

IND. B 31

Fiche n° 58.868

C. LOUIS. Construction de tunnels par la nouvelle méthode autrichienne. — Journées d'Etudes « Les procédés modernes de construction des tunnels », Lyon 1971, 14-15 octobre. Communication n° 15, 31 p., 15 fig. — Industrie Minérale, 1972, janvier, p. 11/21, 17 fig.

L'auteur décrit la nouvelle méthode autrichienne de construction de tunnels, mise en œuvre depuis une dizaine d'années dans les pays de langue allemande. Cette méthode est basée sur l'utilisation du béton projeté (avec une épaisseur de 20 à 30 cm) comme revêtement définitif, mis en place dès l'ouverture de l'excavation en section partielle ou totale. Le béton projeté, renforcé par un treillis soudé, et éventuellement des cintres hydrauliques en terrains très difficiles, bloque le massif pour réduire au maximum la décompression et les désordres qui en résultent. Le revêtement est rendu solidaire du terrain par des ancrages qui contribuent à accroître la pression de confinement stabilisatrice engendrée par effet voûte au contact béton-rocher. Le domaine d'utilisation des techniques autrichiennes est très vaste, c'est pourquoi dans les terrains bouillants sans cohésion ou trop plastiques qu'elles ne peuvent s'appliquer. Elles nécessitent en effet de pouvoir réaliser une excavation d'une vingtaine de mètres de diamètre, stable pendant un temps suffisant pour mettre en place le revêtement. La nouvelle méthode autrichienne constitue un progrès certain dans le domaine de la construction de tunnels, elle présente en plus l'avantage d'être intéressante sur le plan économique.

Résumé de la revue.

Biblio. : 12 réf.

B 31 Fiche n° 58.895
GLOVER et M.P. O'REILLY. Tunnelling in the U.S.A. Creusement de tunnels aux U.S.A. — *Tunnelling*, 1971, novembre-décembre, p. 431/440, 15 fig.

L'article présente un compte rendu d'une visite sur les chantiers de creusement mécanique de tunnels aux Etats-Unis. Les machines sont de plusieurs types de construction, Robbins, Lawrence, Smith, Caldwell. Les diamètres vont de 3 à 5,40 m. La traversée de rivières, souvent les tunnels sont du type immergé, raccordés aux parties creusées en roche aux rives. Les revêtements sont hydrauliques avec béton derrière. Dans de nombreux cas, le tunnel se compose de deux sections circulaires juxtaposées. Les terrains traversés sont de natures diverses, tendres ou durs. Les destinations sont multiples : rail, routes, aqueducs, égouts etc. L'article, ainsi que la discussion qui lui fait suite, fournit de nombreux renseignements techniques sur leur mode d'exécution, les difficultés rencontrées, les prix de revient et les particularités de leur situation. Certains de ces travaux, dans les grandes villes américaines, atteignent des proportions gigantesques.

B 413 Fiche n° 58.832
FLINT et C. TAYLOR. Pillar extraction with conventional trackless mechanised units. La reprise de piliers à l'aide d'unités sur pneus mécanisées. — *Journal*

of the South African Institute of Mining and Metallurgy, 1971, septembre, p. 47/56, 7 fig.

Les auteurs décrivent, dans une exploitation souterraine par chambres et piliers, la reprise des piliers, dans une couche dont l'ouverture normale varie de 3 à 4,25 m en utilisant des unités conventionnelles mécanisées, sur pneus. En recourant à la méthode d'extraction des piliers par refente, on élimine les dépenses d'investissement élevées consacrées aux étançons hydrauliques et on rend possible un déhouillement de la couche pouvant aller jusqu'à 90 %. Cette méthode de dépilage concrétise la possibilité d'extraire d'importants tonnages de charbon qui, sans elle, auraient été définitivement abandonnés in situ sous forme de piliers résiduels. Les principaux bénéfices à récolter vraisemblablement de cette technique sont les suivants : 1. Taux accru de déhouillement du gisement (jusqu'à 90 %). 2. Vie du panneau accrue et transferts moins fréquents de sections. 3. Préservation des réserves naturelles du pays. Les auteurs traitent de l'histoire de ce développement au charbonnage de Springfield (Afrique du Sud), discutent des résultats atteints à ce jour et soulignent les tendances futures à la lumière des expériences en cours.

IND. B 9

Fiche n° 58.972

J. DEVAUX-CHARBONNEL. Le régime juridique de la recherche et de l'exploitation des gisements d'hydrocarbures des plateaux continentaux français. — *Revue Française de l'Energie*, 1971, septembre, p. 522/529.

La mise en valeur des gisements marins d'hydrocarbures a pris une dimension mondiale et intéresse la plupart des pays qui ont une vocation maritime. Les pays riverains de la mer furent ainsi conduits à se préoccuper du statut juridique de cette plaine maritime adjacente à leurs rivages — dénommée plateau continental — qui s'abaisse jusqu'à 200 mètres environ sous les flots. En ce qui concerne la France, bien que dès 1951 des recherches d'hydrocarbures aient été autorisées dans le Golfe de Gascogne et quoique la France ait adhéré en 1965 à la Convention Internationale de Genève du 29 avril 1958 relative au Plateau Continental, ce n'est qu'en 1968 qu'une loi intervint pour fixer le statut des plateaux continentaux français et seulement en mai 1971 que furent publiés les décrets fixant les modalités d'application de cette loi. Exposer quels sont le fondement et les principes posés par la loi n° 68-1181 du 30 décembre 1968 et par les décrets du 6 mai 1971, qui fixent notamment le régime de la recherche et de l'exploitation des gisements d'hydrocarbures situés dans les plateaux continentaux adjacents aux côtes françaises, tel est l'objet de la présente étude.

Résumé de la revue.

C. ABATTAGE ET CHARGEMENT.

IND. C 21

Fiche n° 58.817

G. CAGNIONCLE. Les techniques de prédécoupage dans le creusement des tunnels. — Journées d'Etudes « Les procédés modernes de construction des tunnels », Lyon, 1971, 14-15 octobre. Communication n° 8, 2^{me} partie, 3 p.

Pour le creusement des tunnels, dans le cas de tir à l'explosif, de nouvelles possibilités se font jour grâce à deux techniques essayées récemment : 1) le prédécoupage par havage, 2) le prédécoupage par trous parallèles positionnés automatiquement. *I. Prédécoupage par havage.* Les Sociétés Secoma - Perrier - Dumeny et Chapelle se sont réunies pour associer en une seule machine deux techniques de creusement : le havage et le tir. Ces essais ont consisté à réaliser, à l'aide d'une haveuse à lames minces de 53 mm d'épaisseur, des havées courbes de 1,50 m de profondeur et respectant la section du tunnel. Le tir exécuté sur ce prédécoupage a fait apparaître que la volée pouvait être sortie avec quatre fois moins d'explosif et un respect intégral du profil. Les haveuses actuelles réalisent des saignées de 3 m de profondeur dans des roches pouvant aller jusqu'à 1800 kg/cm² de résistance. Les possibilités de ces haveuses sont de l'ordre de 20 à 35 m² de saignée à l'heure. *II. Prédécoupage par trous parallèles.* Pour qu'il soit efficace, certaines précautions doivent être prises : 1) les bras supports doivent être rigides surtout lorsqu'on travaille dans de grandes sections, 2) le positionnement doit être automatique. La Firme Secoma propose pour ce type de travail une machine composée d'un châssis portant, pour le prédécoupage, des bras télescopiques tubulaires de forte section dont les axes de rotation sont placés parallèlement à l'axe du tunnel. Deux bras de ce type placés de part et d'autre du châssis peuvent exécuter tout le profilage. Au moyen de chacun d'eux, deux automatismes très simples permettent de garantir de façon très précise la position des trous : a) un contrôle de la rotation du bras par 2 potentiomètres variables, b) un contrôle de l'allonge télescopique à vis du bras en comptant le nombre de tours de celle-ci à l'aide d'un petit comp- teur électronique.

IND. C 21

Fiche n° 58.825

R. CORDEL. Prédécoupage et béton projeté dans les ouvrages souterrains de l'Arc Moyen. — Journées d'Etudes « Les procédés modernes de construction des tunnels », Lyon, 1971, 14-15 octobre. Communication n° 14, 28 p., 10 fig.

I. Le réaménagement de l'Arc Moyen. 1. Ensemble de projet. 2. Caractéristiques communes aux 3 chutes nouvelles. 3. Géologie sommaire du site. *II. Le prédécoupage.* Il peut se définir sommairement

comme une méthode de dérochement mettant d'obtenir une destruction et un éblouissement minima du rocher en parement de façon qu'on se rapproche le plus possible du tour théorique désiré. 1. Généralités. 2. Bases. 3. Principes généraux. 4. Applications pratiques. *Le béton projeté de soutènement.* 1. Généralités. 2. Les machines. 3. Le matériau projeté. 4. Mise en œuvre. 5. Considérations diverses. *Résultats obtenus.* 1. Résultats techniques. 2. Résultats économiques. *Annexes.* Sous forme de figures ou de graphiques, entre autres : 1. Plan de tir : a) de la cheminée d'équilibre d'Oberlin, b) de la galerie de la Saussaz (réalésage); c) la galerie de la Saussaz, pleine section; d) la galerie d'accès à l'usine d'Echaillon. 2. Coupe de la guniteuse Meyco GM 57. 3. Installation complète de gunitage. 4. Courbe granulométrique du mélange béton projeté. 5. Essais de durcissement du béton projeté. 6. Diagramme des prix revient du mètre d'une galerie circulaire de 3 m de Ø au dérochement et de 5,30 m de Ø au béton projeté.

IND. C 2212

Fiche n° 58.826

J.P. PASSELEGUE. Marteau perforateur hydraulique. — Journées d'Etudes « Les procédés modernes de construction des tunnels », Lyon, 1971, 14-15 octobre. Communication n° 9, 2^{me} partie, 2 p.

Le marteau hydraulique mis au point par les Etablissements Montabert pour avanceurs de forage permet de réaliser la foration percutante. Plusieurs variantes existent pour la foration de trous de diamètre respectivement : 1) de 41 à 51 mm; 2) de 51 à 64 mm; 3) de 76 à 152 mm. L'auteur expose les principaux avantages de ce type de perforation : a) Du point de vue augmentation de performance comparativement aux gros marteaux perforateurs à air comprimé en particulier, augmentation de l'ordre de 50 % des vitesses instantanées de foration. b) Sur le plan de l'économie : le marteau hydraulique nécessite une puissance installée de 30 cv, alors qu'un perforateur pneumatique en nécessite 120 cv, soit une économie de 75 %. c) Du point de vue amélioration des conditions de travail.

IND. C 222

Fiche n° 58.827

L. DUCLOS. Pantofore Montabert. — Journées d'Etudes « Les procédés modernes de construction des tunnels », Lyon, 1971, 14-15 octobre. Communication n° 9, 3 p.

Le Pantofore étudié spécialement pour le forage canadien réalise le plan de tir complet en minimum de temps, en utilisant des marteaux relativement légers, montés sur avanceur et, éventuellement, un seul marteau équipé pour la foration de gros trous, également sur avanceur.

L. Le constructeur (Montabert) a voulu : a) petite section, conserver des marteaux relativement légers (32 ou 42 kg) équipés en barre hexagonale de 22 ou 25 mm pour les trous de boue périphérique et les trous extérieurs de \varnothing 39 à 39 mm; b) en grande section seulement, utiliser des marteaux avec barre ronde ou hexagonale de 32 mm pour trous chargés de \varnothing 48 à 48 mm; c) monter les perforateurs sur avanceur et les placer dans les conditions les meilleures : poussée en ligne à la valeur optimale; d) monter et réaliser le bras support et cet avanceur avec les dispositions techniques nécessaires pour que la glissière se déplace parallèlement à elle-même avec précision, chaque position pouvant être repérée facilement; e) simplifier les mouvements et les commandes : un seul homme conduit facilement 2 bras; f) chercher la diminution du temps de forage par multiplication du nombre de trous de foration; g) confier la réalisation des trous centraux de grand diamètre à un marteau spécialement équipé.

D. C 240 Fiche n° 58.953

H. GRANT. Comment faire mieux travailler les explosifs. — *Explosifs*, 1971, n° 3, 3^{me} trimestre, p. 1/89, 16 fig.

L'auteur décrit quelques-unes des techniques les plus récentes, mises au point pour augmenter l'efficacité des explosifs et des procédés de chargement dans les exploitations à ciel ouvert. En particulier, il expose certains aspects pratiques de techniques modernes et il analyse les principes auxquels ils se fondent, à savoir : 1) Utilisation d'oscilloscopes pour mesurer l'énergie engendrée par les explosifs; les sondes convertissent les ondes de choc en impulsions électriques, transmises à des oscilloscopes et enregistrées sur films Polaroid. 2) Vitesse de propagation de l'onde de choc et répartition de l'intensité du choc vis-à-vis de l'énergie due à l'effet des gaz. 3) Mécanisme de l'effet des gaz. 4) Catégories de roches (élastiques, plastiques) d'où diversité dans la susceptibilité à transmettre une onde de choc. Plans de faible résistance. 6) Effet optimum de l'explosion. 7) Détonation de charges explosives avec retards. 8) Trous en oblique.

D. C 34 Fiche n° 58.824

FORLEN et F. BUDIN. Engins de marinage Joy. Journées d'Etudes « Les procédés modernes de construction des tunnels », Lyon, 1971, 14-15 octobre. Communication n° 13, 4 p.

Présentation — avec caractéristiques essentielles — des principaux engins de marinage fabriqués en France, sous licence, par la firme Joy et Gozet. Chargeuses à pinces « Hard Rock ». Les engins sont à entraînement électrique, sur chenil-

les avec commande hydraulique de l'orientation du convoyeur et du tablier de ramassage. 1) Le modèle 18.HR : Puissance installée 85 kW; capacité de chargement 12 t/min; 2) Le modèle 14.HR : 114 kW; 12 t/min; 3) Le modèle 19.HR : 232 kW; 20 t/min. Le camion articulé « Expadump » à benne télescopique, conçu pour s'insérer sous le convoyeur des chargeuses et prendre une charge complète en rapport avec leur capacité. La gamme actuelle de fabrication comporte 4 modèles dont les capacités s'échelonnent entre 8 et 13 m³ avec des charges maximales de 15 à 22 t. Les puissances installées vont de 140 à 240 cv. Dans la même gamme de matériel s'inscrit le « Dumper Joy » qui, avec la benne de 18 m³ de capacité, peut recevoir une charge maximale de 30 t. Tous ces engins conçus pour travailler au fond sont du type surbaissé : hauteur hors tout des camions variant de 1,75 m pour le 14 HR à 2,60 m pour le Dumper. Tous ces engins ont un angle de braquage total de 120°, ce qui leur permet de tourner dans des galeries à angle droit de 4,5 à 5 m de largeur. L'Expascoop est un véhicule articulé à benne télescopique de 8,7 m³ de capacité, entraîné par un moteur Diesel de 195 cv et qui prend une charge maximale de 16 t. Largeur hors tout : 2,92 m; rayon de braquage intérieur 1,74 m, extérieur 5,10 m. Vitesse de déplacement à vide et à plat 31 km/h. Le chargement avec godet de 1,6 m³ nécessite une galerie de 3,6 m de hauteur.

IND. C 41 Fiche n° 58.964

J.J. BATES. Assessing and improving the engineering performance of coal face equipment. *L'établissement et l'amélioration des performances techniques et minières de l'équipement des tailles au charbon*. — *The Mining Engineer*, 1971, décembre, p. 111/121, 9 fig.

Au début de 1969, une petite équipe d'ingénieurs fut formée à Brethby pour entreprendre l'étude des performances des équipements de mécanisation des longues tailles à charbon. Une telle tâche fut rendue possible par la mise au point d'une nouvelle gamme d'équipements d'enregistrement au fond. Le but essentiel de cette étude est d'évaluer le niveau des performances techniques qui sont actuellement en cours d'achèvement et de fixer les disponibilités potentielles qui peuvent vraisemblablement résulter d'une meilleure conception de l'installation, de sa construction confiée à des firmes compétentes, du montage de l'équipement et de l'attention consacrée aux détails techniques pratiques et à l'entretien. Une telle information s'avère vitale à la production future et au programme du développement des équipements; par ailleurs, le fait d'être exposé à des insuffisances techniques peut conduire au développement à court terme des équipements en cours. L'article discute brièvement des

progrès effectués et de l'orientation des études actuelles; il suggère qu'en recourant aux instruments et aux techniques d'assemblages et d'essais exposés en ces lignes, il est possible de réaliser des performances optimales avec fiabilité accrue.

IND. C 4215

Fiche n° 57.917

F. PECHALAT. Evolution en service des caractéristiques des chaînes de mine et équipages mobiles de convoyeur. — *Charbonnages de France*, Publications Techniques n° 6, 1971. Mémoires, p. 349/372, 10 fig. — Publication Cerchar n° 2199.

Il s'agit ici d'étudier plus particulièrement l'évolution des caractéristiques mesurables des chaînes et pièces de raccordement, qui ont été suivies au cours des quatre campagnes de mesures dans quatre installations de rabot et de convoyeur. On prélevait, à intervalles de temps réguliers, des tronçons de chaîne, et on examinait leurs caractéristiques : dimensions, poids, résistance à la rupture, résilience, fatigue, etc... L'évolution de ces caractéristiques était ensuite mise en corrélation avec les données d'utilisation au chantier : tonnage abattu ou transporté, temps, etc... On a pu ainsi présenter des directives pour le remplacement préventif du matériel, proposer une méthode pour la prévision de la durée de vie, proposer des calibres de chaînes plus adéquats.

Résumé Cerchar, Paris.

IND. C 44

Fiche n° 58.810

M. GERVAIS. Possibilités économiques et techniques actuelles d'application des tunneliers Robbins. — *Journées d'Etudes « Les procédés modernes de construction des tunnels »*, Lyon, 1971, 14-15 octobre. Communication n° 2, 8 p., 4 fig.

L'auteur analyse d'abord brièvement les éléments de l'économie et de la technique de l'application des machines à creuser les boueaux, à savoir : A) temps de mise en œuvre - B) amortissement - C) résistance des roches - D) fiabilité de l'équipement - E) prix de revient d'exploitation en général - F) pénétration et autres paramètres des outils de coupe. Il résume comme suit les caractéristiques de pointe de certaines machines Robbins : plus gros diamètre de la machine : 11,17 m, modèle 371 - machine la plus lourde : 500 t, modèle 341 - machine la plus puissante : 1500 cv, modèle 341 - plus grande poussée : 7264 t, modèle 341; meilleurs avancements enregistrés à ce jour : a) modèle 104-120, au tunnel de Blanco (Colorado) : 41 m/poste - b) modèle 104-121 A : au tunnel d'Oslo (Colorado) : 47 m par poste. En annexes : les courbes suivantes : 1) coût du mètre de tunnel en fonction de la vitesse d'avancement - 2) poussée critique par outil en fonction du taux de pénétration efficace - 3) poussée par outil en fonction du taux de pénétration par

tour dans des roches, caractérisées par diverses résistances s'étalant de 390 à 3500 kg/cm².

IND. C 44

Fiche n° 58

H.W. BRODBECK. Récents développements et états des machines pleine section Atlas Copco. *Journées d'Etudes « Les procédés modernes de construction des tunnels »*, Lyon, 1971, 14-15 octobre. Communication n° 3, 3 p., 6 fig.

Après avoir énuméré les nombreux avantages que possèdent les machines de creusement pleine section (Fullfacer) avec têtes de forage, l'auteur analyse brièvement les caractéristiques principales des machines Fullfacer Atlas Copco ainsi que leurs composants de base, tels que : fraiseuse de forage, double convoyeur à chaîne intégrée à la machine, centrale hydraulique. Pour illustrer les performances d'une telle machine, l'auteur fournit certaines données relatives au creusement qui vient de s'achever d'une galerie de 460 m de longueur, au diamètre de 3,40 m devant servir de collecteur d'égoûts sous la ville de Rorschach (Suisse). Dans la gamme des machines non conventionnelles construites par Atlas Copco, l'une est connue sous le nom de FF 1321 ou Mini-Fullfacer. Elle ne possède qu'une tête de fraisage se déplaçant suivant un mouvement alternatif et, pour cette raison, découpe une galerie de dimension d'un homme. Pour conclure, l'article esquisse des perspectives d'amélioration pour les machines pleine section et c'est en vue d'exploiter celles-ci que les ingénieurs de recherche des firmes Atlas Copco et Sandvik s'efforcent de trouver certains systèmes additionnels ou certaines méthodes pour faire du creusement au rocher une opération plus sûre, plus rapide et complètement mécanisée. Parmi les-ci, on cite : la reconnaissance continue du terrain, le transport continu et le soutènement continu.

IND. C 44

Fiche n° 58

P. HAMBACH. L'utilisation des foreuses Wirth. L'agencement du tunnel de Sonnenberg et le puits incliné de Wehr. — *Journées d'Etudes « Les procédés modernes de construction des tunnels »*, Lyon, 1971, 14-15 octobre. Communication n° 4, 15 p.

Après une incursion dans le domaine des procédés d'alésage au rocher, l'auteur donne un aperçu des galeries et puits déjà forés à l'aide de machines Wirth, en cours d'exécution ou en préparation. Il se borne à décrire ici, avec quelques détails, deux chantiers des plus importants à savoir : le puits incliné de Wehr (Allemagne) et les deux tunnels autoroutiers de Lucerne (Suisse). I) *Puits incliné de Wehr.* Inclinaison 55 %; il est creusé dans du granit dont la résistance peut atteindre 2400 kg/cm². L'opération comporte 2 phases : la première, forage d'un puits pilote au diamètre de 3 m (section 7 m²). La seconde, l'alésage porte 26 trépan à picots. La vitesse

la machine au terrain. Ramassage des déblais. Bouclier haut de protection. Mise en place des cintres. Elimination de la poussière. Forage de reconnaissance à l'avancement. Bétonnage de la galerie. Repli de la machine. II. Avantages de la machine Blanzky : 1. Il n'y a pas de disques de forage. 2. Les outils sont disposés à l'extrémité de bras. 3. La vitesse de rotation est élevée. 4. Le dispositif de ramassage des déblais est indépendant de la rotation de la tête de forage. 5. Le pas de balayage est réglable. III. Conclusion.

IND. C 44

Fiche n° 58.987

K. RIENOESSL et K. MIGNON. Stollenbauten bei den Zemmkraftwerken. *Ouvrages miniers en galeries souterraines creusés pour les centrales de Zemm.* — Montan-Rundschau, 1971, novembre, p. 275/283, 7 fig.

Après avoir schématiquement décrit les ouvrages souterrains d'infrastructure que nécessite l'installation du complexe de centrales hydrauliques de Zemm, les auteurs donnent les caractéristiques géométriques, géologiques et minières du creusement de chacun d'eux, étalé tant dans l'espace que dans le temps. C'est en 1967, pour le creusement mécanique des galeries d'adduction d'eau Illoite, que fut mis en service le prototype TBI-214 de machine à forer de la firme Wirth und Co. Avec cet équipement, 264 m de galeries furent creusés en gneiss granitiques à 2 micras. Les expériences récoltées au cours de cette phase expérimentale furent mises à profit par la firme pour construire une autre machine du type TB, mais cette fois au diamètre utile de forage de 3 m; elle fut utilisée de septembre 1968 à août 1969 pour creuser 1140 m de galeries inclinées devant servir pour le puits de pression « Corbes » de la centrale Emosson. Entretemps, on exécutait simultanément une série de galeries et de puits inclinés avec des machines de forage fournies par divers constructeurs. Dans le cadre des centrales de la TKW AG., depuis l'été 1971, avec la machine Wirth TB 214/240 améliorée, on a achevé environ 5 km de longueur de la galerie Hirzbach qui reliera les vallées de Fuchs et de Kaprunt. Au cours des dernières années, tant les constructeurs que les utilisateurs de matériels miniers se sont efforcés de réduire le coût de la construction et d'accroître la rentabilité des installations; ils y sont parvenus, d'une part, par la normalisation des types de sections et, d'autre part, par une adaptation des méthodes de soutènement et de revêtement au creusement mécanisé, c'est-à-dire en plaçant des éléments préfabriqués directement derrière la machine.

Biblio. : 5 réf.

IND. C 5

Fiche n° 58.951

X. Water jet mining. *L'exploitation par jet d'eau.* — Colliery Guardian, 1971, novembre, p. 524/527, 8 fig.

La division hydromécanique de la Exotec Incorporated de Maryland, U.S., a étudié l'emploi des jets d'eau sous forte pression sur l'attaque des roches. La pression atteint 7000 kg/cm². Elle est appliquée sous forme de « pulses » et dépasse de 10 à 100 fois la résistance à la compression des roches. En général, le volume de roche brisé par une pulse est proportionnel à l'énergie cinétique dans la pulse élevée à une puissance légèrement supérieure à un, soit 1600 ou 16.000 kgm. Un engin d'attaque mécanique est incapable de développer une telle puissance. Le canon à eau utilisé est initialement un cylindre avec un piston, dont une face reçoit la pression d'une explosion de gaz et l'autre la transmet à une chambre à eau munie d'une petite ouverture qui forme le jet instantané discontinu. Dans un autre système, le piston vient heurter un anneau de liquide et l'onde de choc produit une pression qui projette un jet central à haute pression. Cette technique de cumulation annulaire obtient des résultats pratiques intéressants avec 1,6 mm de diamètre de jet. La première technique d'extrusion par choc du piston est mécaniquement plus facile à réaliser, mais ne permet pas d'obtenir des pressions aussi élevées.

D. PRESSIONS ET MOUVEMENTS DE TERRAINS. SOUTÈNEMENT.

IND. D 124

Fiche n° 58.92

H. MILITZER et R. STOLL. Vibratorseismische Messungen zur Bestimmung struktureller und substantieller Eigenschaften von Festgestein in natürlicher Lagerung. *Mesures sismiques au vibreur en vue de déterminer les propriétés structurelles et substantielles des roches compactes in situ.* — Bergakademie, 1971, novembre, p. 643/650, 17 fig.

De plus en plus s'impose la nécessité, particulièrement en géophysique appliquée, de développer et de mettre à la disposition des ingénieurs de génie civil et des mines, des méthodes aptes à mesurer le comportement global des constructions de surface et du sol de leurs fondations. Il est possible actuellement de déterminer des données structurelles et des caractéristiques dynamiques de ce comportement, au moyen d'un appareil sismique à vibration (développé à la section « Sciences » de l'Académie des Mines de Freiberg). Les auteurs présentent les valeurs mesurées comme fonction complexe de la transmission (amplitude et spectre de phase, courbe locale).
Biblio. 7 réf.

IND. D 47

Fiche n° 58.96

R.S. WEBB. Economics of powered roof support. *L'économie des soutènements de toit mécanisés.* — The Mining Engineer, 1971, décembre, p. 133/141 (avec discussion), 3 fig.

l'auteur étudie successivement les raisons qui ont motivé la mise en œuvre des soutènements mécanisés, comment ils ont réussi et pourquoi ils ne le seront plus encore ils continueront à être utilisés. Après avoir discuté certaines considérations générales, il expose les conclusions à tirer de ceux-ci. Il discute les moyens complémentaires aptes à améliorer davantage la rentabilité des soutènements mécanisés. Il décrit les difficultés que pose le maintien en service de soutènements tombant en désuétude. On discute également de la façon de faire absorber, de la manière la plus raisonnable, par les sièges la charge financière que représentent pour eux les soutènements mécanisés. **Sommaire :** 1. Historique. 2. Considérations générales. 3. Effets des soutènements mécanisés : sur la sécurité, sur le climat social, sur le moral. 4. Indications spéciales et circonstances générales. 5. Le coût de revient des systèmes de soutènements de tailles. 6. Effet financier du soutènement mécanisé sur une seule taille. 7. Idem sur tout le siège. 8. Idem sur toute l'Area du North Derbyshire. 9. Les soutènements mécanisés considérés comme un actif de capital. 10. Méthodes de revêtement des soutènements mécanisés. 11. Conclusions.

IND. D 63

Fiche n° 58.822

ARRAS et R. RINGOT. Construction de soutènements en béton pour tunnels avec tôles de coffrage armature système Bernold. — *Journées d'Etudes sur les procédés modernes de construction des tunnels*, 1971, 14-15 octobre. Communication n° 11.

La haute résistance statique du système Bernold est assurée par une mince coquille en béton adhérent au rocher, sans laisser de cavités. Les auteurs, après avoir décrit les éléments du système, exposent le principe de leur mode d'action, exposent la séquence des opérations nécessaires à la construction du revêtement et du revêtement d'un tunnel et, en particulier, du tunnel de l'autoroute de Flon-Flon à l'est de Lausanne. Pour l'exécution de ce revêtement, on a appliqué le principe de la construction « Kernbauweise » (méthode de construction par tranches) en appliquant la protection de l'avancement par le moyen du couteau hydraulique (de 6 m de longueur jusqu'à 50 cm d'épaisseur). Les opérations successives sont les suivantes : 1) placement des cintres-guides au front d'attaque ; 2) après installation du coffrage frontal avec sa armature Bernold, dans la cavité entre la paroi et les couteaux et la tôle Bernold, on introduit la pompe à béton et on le pousse jusqu'à ce qu'il coule à travers les moulures. Ce coffrage frontal reste dans l'ouvrage. Suivent les travaux d'excavation de la prochaine

tranche et le bétonnage. Le procédé Bernold s'applique également utilement dans le cas des tunnels creusés mécaniquement à la fraise, par exemple dans la construction à Zurich d'une galerie pour le chauffage urbain (longueur 3800 m au Ø de 3,70 m, creusée avec une machine Robbins, dans la molasse de résistance comprise entre 400 et 800 kg/cm²).

IND. D 63

Fiche n° 58.889

E. MUELLER. Der Aufbau von Betonmischungen mit gezielter Endfestigkeit für den Ausbau von Grubenräumen. *La composition de mélange de béton — visant à une résistance finale — destiné au soutènement des cavités minières.* — *Bergbau*, 1971, novembre, p. 285/295, 5 fig.

La présente étude se fonde sur les clauses du nouveau projet de norme allemande DIN 1045 de mars 1968. **Au sommaire :** Généralités - Le ciment - Les catégories de résistance visée - L'influence du rapport W/3 (eau : ciment) sur la résistance à la compression de cubes de béton, après 28 jours - Consistance du béton et compressibilité du béton - Le mélange des constituants solides d'après des quotes-parts, données au préalable, des catégories granulométriques individuelles - La détermination de la courbe de criblage d'un mélange de grains donné - La construction de la courbe de criblage - Le calcul du nombre caractéristique de la tranche granulométrique - Les courbes optimales pour les quotes-parts de constituants solides du béton - L'influence du nombre caractéristique de la tranche granulométrique sur les besoins en eau du béton - Les matières d'appoint du béton - Spécification de programmes de mélange - Indications importantes - Points-clés de la fabrication économique du béton.

IND. D 66

Fiche n° 58.997

C. MUELLER. Ein neues Verfahren zur Sicherung von Hohlräumen unter Tage. *Une nouvelle méthode pour garantir la stabilité de cavités souterraines.* — *Glückauf*, 1971, 9 décembre, p. 956/959, 4 fig.

Il y a déjà plus de 3 années que la Bernold A.G. utilise avec succès et sur une échelle toujours croissante, les tôles d'acier perforées destinées au revêtement des galeries au rocher, qu'elle mit au point et qu'elle fit breveter. L'originalité du système réside dans le fait que ces tôles (de forme et de dimensions réalisées selon les besoins), placées et accrochées à l'extrados des cadres cintrés métalliques du soutènement primaire de la galerie, permettent de constituer, d'une part, un coffrage de retenue pour le béton déposé à titre de garnissage de la paroi nue du rocher et, d'autre part, une armature et un support au béton projeté, à titre de revêtement intérieur définitif de la galerie. Ce procédé trouva un vaste champ

d'application dans la construction des boueux et tunnels; en fait il garantit efficacement la stabilité et la tenue de toute cavité souterraine creusée dans des terrains de n'importe quelle qualité, y compris éboulés et friables. En raison des économies sensibles de temps et de coût auxquelles il donne lieu, le procédé a pris, comparativement aux modes traditionnels de revêtement, une large expansion tant en Allemagne qu'à l'étranger. Comme l'ont montré les nombreuses expériences récoltées dans les chantiers les plus divers, les tôles Bernold apportent une contribution essentielle à l'augmentation des vitesses de creusement des galeries en roche.

E. TRANSPORTS SOUTERRAINS.

IND. E 1312

Fiche n° 58.927

K.H. KOSTER. Auslegung von Mehrtrommelantrieben bei Förderbändern. *Conception de têtes motrices à plusieurs tambours pour bandes transporteuses.* — *Fördern und Heben*, n° 14, 1971, octobre, p. 832/837, 15 fig.

A titre introductif, l'auteur énumère les problèmes qui se posent lors de la conception et de la réalisation des têtes motrices à plusieurs tambours. A cette occasion, il prouve que l'opinion fréquemment formulée, à savoir que, dans le cas de têtes motrices à 3 ou 4 tambours, les unités se trouvant en queue d'installation ne participent que de façon peu importante au processus de fonctionnement du système transporteur à courroie, est en fait erronée. L'exposé se termine par des considérations au sujet de l'angle d'embrasement ou d'enroulement partiel se produisant dans les têtes motrices à plusieurs tambours, ainsi qu'en ce qui concerne les angles de repos et d'utilisation qui surviennent dans certains cas; de plus, il mentionne l'importance de ces angles pour l'allure du fonctionnement d'un système de convoyeurs à bandes.

IND. E 1316

Fiche n° 58.938

G. BRINKMANN. Eine über Funk ferngesteuerte Schleifbandanlage für die Personenfahrung. *Une bande glissante guidée pour le transport de personnel, télécommandée par radio.* — *Glückauf*, 1971, 25 novembre, p. 918/921, 8 fig.

L'auteur décrit une des mesures de rationalisation et d'automatisation réalisées dans un des charbonnages de la Preussag A.G. (Ibbenbüren) pour le transport de personnel au fond sur bande glissante guidée, dont la télécommande par radio de la tête d'entraînement est opérée par une des personnes transportées. Ce système se caractérise par le fait qu'en recourant à un appareil radio émetteur-récepteur à guide de fréquence associé à une transmission des ordres de commande par

fréquence vocale donnée par le personnel transporté, on peut se passer d'un conducteur de tête présent en permanence et à poste fixe à la tête motrice de bande. La gestion du magasin de pièces de rechange et l'entretien courant des appareils portatifs de radio sont substantiellement allégés du fait que les mêmes appareils sont utilisés dans le système de télécommande par radio des locomotives. Une liaison phonique entre les usagers des dispositifs d'alarme optique acoustique ainsi que de sécurité — que l'auteur décrit — contribue efficacement à la prévention des accidents. Une application subséquente de cette technique à la télécommande par radio des véhicules de transport de personnes par monte-escaliers et des moyens de transport reliant les étages est prévue à bref délai.

IND. E 26

Fiche n° 58.939

H.-H. SPIER et H. SCHNEIDER. Gleislöse Förderanlage auf dem Kaliwerk Hattorf. *Transport à l'aide de véhicules sur pneus à la mine de potasse Hattorf.* — *Fördern und Heben*, n° 14, 1971, octobre, p. 825, 12 fig.

Dans le gisement de sel de l'usine de Hattorf qui présente une stratification plate et n'a une puissance que de 2 à 4 m, on procède journellement au transport d'environ 13.000 t de sel sur une distance de 12 km entre les puits d'exploitation et le puits d'extraction. La méthode d'abattage implique de nombreux points d'extraction très espacés où le sel brut est extrait par forages et travail à l'explosif. Dans la première phase de manutention, le sel en gros morceaux est transporté vers plusieurs broyeurs au moyen de chargeurs à godet fouilleur. Après un concassage primaire, la seconde phase de manutention consiste à transporter le sel brut jusqu'au puits d'extraction, sur des systèmes de bandes transporteuses fonctionnant à grande vitesse, pour y être ensuite remonté au jour depuis une profondeur de 650 mètres. Le processus de transport est décrit dans ses différentes phases, de même que l'efficacité et la conception particulière des machines et engins mis en œuvre.

Résumé de la revue.

IND. E 440

Fiche n° 58.940

H. ARNOLD. Verbesserung der Sicherheit von angetriebenen Schacht- und Streckenförderanlagen. *Amélioration de la sécurité d'installations d'extraction et de roulage entraînées par câbles.* — *Glückauf*, 1971, 11 novembre, p. 873/880, 11 fig.

L'auteur décrit d'abord les méthodes d'application appliquées à la Station d'essais de câbles de la WBV (Westfälische Berggewerkschaftskasse Bochum), entre autres la mise à l'épreuve des câbles d'attelage au moyen de magnétisation de la bobine et essai de câble par magnéto d'appel, et

ambiances susceptibles d'être envahies par le feu. On y étudie également la portance de racines de pince-câble avec pince pour câble rond. En outre, on établit systématiquement des essais d'évaluation en vue d'apprécier la protection contre le glissement des câbles dans les gorges des poulies motrices du système Koepe.

F. AERAGE. ECLAIRAGE. HYGIENE DU FOND.

IND. F 112 Fiche n° 58.740
D. LORD et P.F. PULLEN. A proposal for monitoring mine ventilation air volumes. *Un projet d'enregistrement des débits de la ventilation dans les mines.* — Canadian Mining and Metallurgical Bulletin, 1971, octobre, p. 53/60, 8 fig.

Afin de réduire les pertes et, partant, le coût de la ventilation dans les mines, on a conçu un système de contrôle-vigie pour détecter et localiser les défauts de la distribution de l'air et réaliser à la surface une image visible des conditions de la ventilation, qu'elle soit bonne, médiocre ou mauvaise. Les conditions alarmantes sont signalées par un signal audible après un délai convenable. Un enregistrement lisible de toutes les masses de courant d'air et des conditions alarmantes avec leur durée.

Le système, installé à la mine New Quirke de l'Algom, Ontario, est adjoint à l'anémomètre à plaquettes et au dispositif électronique digitalique, les principaux points des circuits d'aérage. Les variations engendrées sont transmises à un transmetteur digitalique jusqu'à 8 km de distance. Le transmetteur peut servir pour de nombreuses mesures. Le récepteur digitalique est à la surface et contrôle chaque signal avant de le passer à un amplificateur, puis aux dispositifs d'enregistrement à bande ou d'alarme audibles.

IND. F 411 Fiche n° 58.937
H. BECKER. Die Staubbekämpfung im Abbau, insbesondere in Rückbaustreben. *La lutte contre les poussières au niveau des chantiers d'abattage, notamment dans les tailles retraits.* — Glückauf, 1971, 25 novembre, p. 911/918, 11 fig.

Les travaux effectués au cours des dernières années en vue d'améliorer la lutte contre les poussières dans les tailles se concentrent sur un développement ultérieur des méthodes et des équipements d'infusion d'eau en veine, de même que sur les mesures contre les poussières produites par les engins d'abattage et par ceux de transport. Dans les tailles retraits et dans celles à l'Z, la méthode d'injection du massif à l'aide de longs trous (15 à 80 m) parallèles au front de taille (pacés de 15 à 60 m) revêt actuellement une importance accrue. A côté de l'humidification

comparativement plus efficace que celle obtenue par les procédés conventionnels d'injection, ce procédé peut s'exécuter indépendamment des opérations de la taille. Le coût d'un tel mode d'infusion se situe entre 0,10 et 0,15 DM/t et est ainsi inférieur à celui de l'infusion pratiquée à partir de trous perpendiculaires au front, forés de la taille. Les essais récents en vue d'optimiser la technique de la méthode et l'équipement de pulvérisation d'eau dans l'allée du rabot devraient aboutir à une réduction subséquente de la concentration des poussières. Au cours de ces essais, on utilise des pulvérisateurs différents tant par le type que par le nombre. En plus de la détermination des paramètres mécano-techniques agissant sur la formation des poussières aux machines, on développe, en particulier pour les abat-teuses, des dispositifs de pulvérisation agissant au niveau des pics et alimentés de l'intérieur du tambour. Les essais effectués au laboratoire et en taille ont démontré que, si on veut améliorer l'efficacité de ces dispositifs, on devrait augmenter la pression de service de l'eau. Pour des raisons de préparation, la teneur en eau du charbon brut à son entrée au lavoir ne peut excéder 6 %. Cette exigence a nécessité de limiter à 120 litres/min l'eau fournie aux pulvérisateurs des abat-teuses. L'auteur décrit les méthodes de lutte contre les poussières, appliquées lors du foudroyage, aux extrémités des tailles, ainsi que les dispositions prises en vue de réduire la charge initiale en eau du courant d'air entrant dans la taille.

Biblio. : 29 réf.

IND. F 53 Fiche n° 58.985
A. WHILLIER. The design of underground cooling towers. *La conception et la réalisation de tours de réfrigération de l'air au fond.* — Journal of the South African Institute of Mining and Metallurgy, 1971, octobre, p. 85/91, 3 fig.

La plupart des tours souterraines de réfrigération de l'air, utilisées dans les mines d'or profondes d'Afrique du Sud, sont du type à contre-courant d'air ascendant forcé, dans lequel les gouttelettes d'eau tombent. On ne recourt pas au garnissage de la paroi intérieure; toutefois plusieurs écrans, constitués de treillis métallique, sont souvent disposés horizontalement dans la section en vue d'uniformiser le flux d'air. La conception d'une telle tour est avant tout basée sur le fait que l'on doit dissiper une quantité donnée de chaleur dans une quantité donnée d'air — à température et à degré hygrométrique connus — entrant à la base de la tour. Le problème consiste à déterminer a priori quelles seront les températures d'entrée et de sortie de l'eau, pour une série de débits d'air fixés et pour diverses sections transversales de la tour. Après avoir discuté des facteurs dont il importe de tenir compte,

l'auteur expose une méthode pour effectuer les calculs nécessaires et il formule ensuite des recommandations spécifiques utiles à la construction de telles tours.

Biblio. : 3 réf.

IND. F 53

Fiche n° 58.986

D. MITCHELL et A. WHILLIER. Cooling power of underground environments. *Pouvoir réfrigérateur d'environnements du fond.* — *Journal of the South African Institute of Mining and Metallurgy*, 1971, octobre, p. 93/99, 6 fig.

Les auteurs abordent le problème de la fatigue due au travail aux températures élevées au fond, sur la base d'échange de chaleur se produisant entre le corps humain et l'atmosphère ambiante. Des mesures expérimentales du transfert de calories par rayonnement et par convection, ainsi que le calcul théorique du transfert maximal de calories d'évaporation, permettent de calculer le pouvoir réfrigérant maximal d'un environnement, en termes de températures sèches et humides, de température de rayonnement moyenne, de vitesse de courant d'air et de pression barométrique. Pour la plupart des applications au fond, la capacité de réfrigération peut s'exprimer en fonction uniquement de la température humide et de la vitesse du courant d'air. On peut d'ailleurs déterminer l'importance relative de ces deux paramètres : dans les chantiers à faible aérage, on peut mieux réaliser la réfrigération additionnelle des ouvriers par un accroissement de la vitesse du courant d'air que par un abaissement de la température humide. La lecture des températures humides s'avère toutefois ne revêtir qu'une valeur limitée en tant qu'indice de fatigue due à la température, du fait que des atmosphères ambiantes à des températures humides égales ne doivent pas nécessairement avoir le même pouvoir réfrigérant. Finalement, l'équilibre thermique avec l'environnement est possible lorsque la capacité de réfrigération égale ou excède le régime métabolique de génération de calories. Les auteurs indiquent de tels taux pour diverses opérations élémentaires du fond.

Biblio. : 17 réf.

IND. F 622

Fiche n° 58.922

D.W. MITCHELL. Explosion-proof bulkheads. Present practices. *Barrages de scellement de sécurité vis-à-vis des explosions. Pratiques actuelles.* — *U.S. Bureau of Mines, R.I. 7581*, 1971, 16 p.

L'auteur donne un résumé des expériences et des recherches effectuées dans le passé dans le domaine des méthodes de construction de serres d'obturation de zones abandonnées de charbonnages et d'anciens travaux d'exploitation dont les piliers ont été entièrement ou partiellement repris. La réglementation fédérale de 1968 sur la

sécurité et la salubrité dans les charbonnages exige que de telles zones soient ventilées ou isolées par des barrages de scellement antidéflagrant, c'est-à-dire de sécurité vis-à-vis des explosions éventuelles de grisou. Toutefois, la présente étude indique que des barrages de scellement utilisés seuls ne sont pas à même d'isoler de telles régions à vieux travaux dans lesquelles du méthane ou autres gaz dangereux ont pu s'accumuler. Il importe que les échanges gaz-air entre zones isolées et ouvertes soient minutieusement contrôlés.

Biblio. 38 réf.

J. AUTRES DEPENDANCES DE SURFACE

IND. J 18

Fiche n° 58.9

E. CONDOLIOS et P. COURATIN. Transport et conduite des solides dans l'industrie minière. — *Industrie Minérale*, 1971, octobre, p. 22/32, 14 fig.

Les auteurs ne traitent ici que deux des éléments de base de la rentabilité que doivent aborder l'ingénieur et l'économiste élaborant un projet, à savoir : l'influence de la granulométrie du produit à transporter et celle de la capacité de l'installation. Plan de l'exposé : 1. Critères économiques du transport en conduite : 11. Granulométrie du produit à transporter (Influence de la granulométrie - Choix de la bonne granulométrie). 12. Influence du débit solide transporté (montant des investissements - amortissement des installations). 13. Consommation d'énergie pour le transport. 14. Conjugaison du transport en conduite et du transport par mer (cas de minerais lourds et de minerais peu denses). 2. Quelques cas typiques du transport de minerais. 21. Minerai de fer. 22. Concentrés produits à faible tonnage. 23. Minerai soluble dans l'eau. 24. Phosphate. Description d'un des plus grands transports en conduite existant au monde : transport des stériles des mines de cuivre d'Ohdate jusqu'à la plage de Noshiro au Japon. 31. Le problème tel qu'il est posé. 32. Solution trouvée. 33. Les études. Caractéristiques générales de l'installation de transport (longueur de la conduite 70,6 km). Description de l'installation. 4. Correspondance avec un transport de minerai de fer.

L. GAZEIFICATION.

IND. L 20

Fiche n° 58.

K.H. van HEEK. Kohlenvergasung in den U.S.A. *gazéification de charbon aux U.S.A.* — *Glückauf*, 1971, 11 novembre, p. 895/897, 5 fig.

Les efforts développés aux U.S.A. pour couvrir l'entière des besoins futurs en énergie à par-

sources énergétiques indigènes se concrétisent l'investissement de moyens financiers importants, en vue de mettre au point certaines méthodes de gazéification du charbon. Les travaux en cours se centrent sur quatre projets, à savoir : le procédé de synthane, celui au gaz bivalent, celui du récepteur de CO₂ et celui d'Hygaz. L'auteur énumère brièvement les caractéristiques essentielles de chacun d'eux. Actuellement, chacun de ces procédés est expérimenté à l'échelle semi-industrielle ou pilote, c'est-à-dire portant sur des tonnes journalières de charbon traité variant de 40 à 100 t. Le centre de gravité du développement est mis sur la production massive d'un gaz combustible à 8.900 kcal/m³ de pouvoir calorifique, qui serait produit à partir de plusieurs étapes de gazéification du charbon.

M. COMBUSTION ET CHAUFFAGE.

D. M 51 Fiche n° 58.873
 CYROTA. L'industrie et l'environnement. — *Annales des Mines* (France), 1971, octobre, p. 29/42.

L'industrie est une source de nuisances de toutes sortes mais il semble bien qu'aux teneurs observées actuellement en France, aucun effet sur la santé n'ait été mis en évidence. Ces nuisances constituent par contre une atteinte incontestable au confort et les aspects psychologiques jouent un rôle important dans la façon dont elles sont ressenties par la population. La lutte contre les nuisances est entreprise dans le cadre d'une législation dont on donne les grandes lignes et dont on indique les améliorations à l'étude. On cherche en particulier, en collaboration avec les professionnels, à définir les prescriptions techniques qu'il est nécessaire et économiquement possible d'imposer aux usines neuves et aux usines anciennes. La lutte contre la pollution coûte cher et dans le dernier chapitre on s'efforce de donner une idée de son incidence sur l'économie.

Résumé de la revue.

P. MAIN-D'ŒUVRE. SANTE. SECURITE. QUESTIONS SOCIALES.

D. P 132 Fiche n° 58.633
 PETIT. Recherches visant à améliorer les conditions physiologiques des appareils respiratoires. Résultats des travaux faits par l'Institut Provincial Ernest Malvoz de Liège. — *Revue de l'Institut d'Hygiène des Mines*, 1971, 1^{er} trimestre, p. 3/11, 3 fig.

Le but de cette recherche en laboratoire de physiologie respiratoire était de définir les facteurs qui pouvaient influencer le porteur d'un appareil respiratoire autonome et déterminer dans quelles limites il y a avantage à les améliorer.

Les facteurs résistance mécanique, prix, facilité d'entretien, fiabilité, etc... n'ont pas été pris en considération. Partant d'un examen systématique des modalités de fonctionnement de ces appareils, on a : 1. déterminé les facteurs mécaniques ventilatoires des appareils respiratoires qui ont une influence sur le porteur; 2. établi les mesures à faire en laboratoire pour apprécier les facteurs définis en 1; 3. étudié l'importance de certaines contraintes : charges, CO₂ dans l'air inspiré, température de l'ambiance et de l'air inspiré, etc...; 4. cherché un moyen de caractériser physiologiquement un appareil respiratoire par une estimation du coût physiologique global des différentes contraintes exprimées en un paramètre unique, choisi à titre de référence : la puissance mécanique ventilatoire. Cette puissance mécanique ventilatoire, associée à un tableau qui donne des limites de perception et les limites de tolérance des caractéristiques ventilatoires, permet de classer un appareil et de préciser les facteurs à améliorer.

Résumé de la revue.

IND. P 132 Fiche n° 58.634

A. SCHEWE. Recherches visant à améliorer les conditions physiologiques des appareils respiratoires. Résultats des travaux faits à la « Hauptstelle für das Grubenrettungswesen » de Essen. — *Revue de l'Institut d'Hygiène des Mines*, 1971, 1^{er} trimestre, p. 12/16, 7 fig.

Des recherches faites à l'Institut Provincial Ernest Malvoz, il apparaît qu'un appareil respiratoire à circuit fermé est caractérisé par : 1. la puissance mécanique ventilatoire additionnelle qu'il impose au porteur; celle-ci dépend directement de la résistance totale de l'appareil; 2. la pression moyenne; 3. les valeurs maximums de pression et la pression totale. Ces valeurs sont fonction de la ventilation qui, elle, dépend de l'effort fait par l'individu et de sa température corporelle, du poids de l'appareil et de la quantité de CO₂ dans l'air inspiré. Pour caractériser un appareil, il faut le peser, et mesurer à différents régimes : l'efficacité de la cartouche qui absorbe le CO₂ et les caractéristiques ventilatoires, soit : la résistance ventilatoire totale pour calculer la puissance ventilatoire, la pression moyenne, les valeurs maximums de pression et la pression totale. La présente note donne un bref compte rendu des méthodes appliquées à la Centrale principale de sauvetage minier d'Essen pour la mesure de ces grandeurs et des résultats enregistrés.

Résumé de la revue.

IND. P 132 Fiche n° 58.635

A. HAUSMAN. Recherches visant à améliorer les conditions physiologiques des appareils respiratoires.

Résultats des travaux faits à la « Coördinatiecentrum Reddingswezen » de Hasselt. — *Revue de l'Institut d'Hygiène des Mines*, 1971, 1^{er} trimestre, p. 17/23, 4 fig.

Dans le cadre de cette recherche l'auteur a : 1) défini les facteurs physiologiques des appareils respiratoires autonomes qui pouvaient influencer les porteurs au point de vue respiratoire, 2) mesuré ces facteurs sur porteurs et fixé les limites acceptables, 3) trouvé le moyen de mesurer ces facteurs en laboratoire de technologie, 4) défini les contraintes extérieures influençant les porteurs et l'importance de ces contraintes, 5) trouvé un moyen d'exprimer globalement la valeur d'un appareil. Dès lors il nous restait pour être complet : 1) à comparer les différents appareils respiratoires à circuit fermé dans le cadre d'exercices effectués dans des conditions climatiques aggravées, 2) à déduire de cette comparaison le moyen d'améliorer les appareils destinés à l'intervention à haute température, 3) à déterminer la durée d'intervention permise dans des conditions climatiques aggravées, 4) à étudier l'influence des débuts de stase thermique sur les capacités physiques et mentales du sauveteur.

Q. ETUDES D'ENSEMBLE.

IND. Q 1140

Fiche n° 58.996

H.-H. KUHNKE. Der Steinkohlenbergbau als unternehmerische und wirtschaftspolitische Aufgabe. *L'industrie houillère — sa gestion considérée comme tâche d'une libre entreprise ainsi que d'une politique économique.* — *Glückauf*, 1971, 9 décembre, p. 947/955.

Communication présentée au Steinkohlentag 1971. Essen. 29 octobre. Points-clés développés : - Changement de climat s'esquissant sur les marchés énergétiques. - Tendances futures du développement. - Perspectives pour le charbon. - Les mécanismes traditionnels du marché sont-ils, eux seuls, suffisants ? - Tâches et limites de la politique que peut poursuivre une entreprise - Conséquences d'actions menées par une entreprise ; intérêt de ces conséquences pour l'ensemble de la politique économique de la République Fédérale d'Allemagne. - Tâches et responsabilités incombant à la politique économique. - Subventions accordées à l'industrie houillère ? - Observations relatives à la Ruhrkohle A.G.

IND. Q 132

Fiche n° 58.920

J.A. VAROQUIAUX et G. PETIT. Les mines de fer de Lorraine. — *Industrie Minérale*, 1971, octobre, p. 9/21, 15 fig.

Etude monographique qui, pour caractériser la situation globale des mines dans le passé, le présent et le futur, expose les aspects particuliers ci-après de la question : Généralités sur le gise-

ment lorrain (bassin de Briey). Le minéral. - Historique de l'exploitation du gisement depuis 18 à nos jours - La technique d'exploitation - formation professionnelle - La sécurité - Résultats d'exploitation (en 1970 : production 54,344 Mio t, effectif ouvriers : 8741; rendement 29,45 t/Hp). *La mine de fer actuelle : ses méthodes de travail - ses matériels.* 1) Méthodes d'exploitation, préparations de terrains, soutènement. 2) Abattage minéral (à l'explosif). 3) Chargement du minerai abattu et desserte au quartier. 4) Roulage principal au fond (véhicules automoteurs sur pneus, locomotives électriques). 5) Répartition de la traction 1970 selon les types d'exploitation (mines à ciel ouvert, exploitation par galeries à flanc de coteau, mines profondes) et, pour les mines profondes, selon le mode d'extraction (cages, skis, convoyeurs). Conclusions : Objectif à atteindre d'ici quelques années : 40 t/Hp.

R. RECHERCHES. DOCUMENTATION.

IND. R 113

Fiche n° 58.9

SAFETY IN MINES RESEARCH ESTABLISHMENT (S.M.R.E.). Safety research. *Recherche en matière de sécurité.* — Department of Trade and Industry. *Safety in Mines Research Establishment*, 1971, 31 p., 48 fig.

Brochure documentaire, destinée au grand public, qui expose brièvement les principaux thèmes du programme de recherche du S.M.R.E. des activités courantes de ses services d'essais d'épreuves : 1. *Détection et comportement de gaz de mines.* Nappes de grisou stratifiées au toit de voies. Propagation des flammes dans les mélanges air/grisou. Méthodes de mesures des concentrations de CH₄, O₂ et oxydes d'azote. Epreuves de méthanomètres et de détecteurs de gaz. 2. *Inflammation de gaz.* Inflammation par impact et par échauffement dû au frottement. Abattage hydraulique du charbon. Inflammation par décharge électriques. Epreuves d'équipement électrique - sécurité intrinsèque. Carters antidéflagrants pour appareillages électriques. Epreuves d'antidéflagrance d'appareils électriques. Mécanisme d'inflammation de mélanges air/CH₄ par les explosifs. Epreuves d'explosifs. 3. *Explosions de poussières et combustion.* Propagation et suppression des coups de poussières de charbon. 4. *Feux de mines.* Développement et extension de feux de mines. Méthodes de détection et d'extinction de feux de mines. Examens de matériaux en vue d'établir le danger d'incendie qu'ils présentent. *Appareils respiratoires.* Autosauveteurs. Appareils à O₂ liquide et à O₂ comprimé. Epreuves d'appareils respiratoires et de masques à filtre. 6. *Etude des incidents d'exploitation.* 7. *Etudes d'hygiène et de salubrité.* Pneumoconiose. Méthodes de mesure de la concentration, de la taille et de la composition granulométrique des poussières.

Biblio. : 27 réf.

Après avoir exposé en détail les avantages du procédé de production du fer par réduction directe par rapport au procédé traditionnel au fourneau ainsi que les raisons qui incitent à développer ultérieurement, les auteurs décrivent le mode de travail et font le point sur l'état de développement des principales méthodes de production directe. Pour l'éponge de fer ainsi produite, il existe trois possibilités d'application principales : 1) utilisation au haut fourneau, 2) utilisation comme moyen de refroidissement lors

Bibliographie

G. DORSTEWITZ, A.G. MEYER, F. MAASSEN, A. MIRANI et F.L. WILKE. *Unternehmensforschung im Bergbau. Band I der Schriften für Operations Research und Datenverarbeitung im Bergbau*. Recherche opérationnelle dans les mines. Volume I des Publications relatives à la R.O. et au traitement des informations dans les mines. — Verlag Glückauf GmbH, Essen, 1972, 204 pages, 87 fig. Nombreux tableaux. in-8°. Prix : DM 44,20.

Ce volume constitue le premier d'une série de publications relatives à la Recherche Opérationnelle (R.O.) et au traitement des données dans les mines. Il est édité sous le patronage du Professeur Dorstewitz de l'Université Technique de Clausthal, œuvrant en collaboration avec de nombreuses personnalités compétentes en la matière telles que : A.G. Meyer, F. Maassen, A. Mirani et F.L. Wilke.

Il reproduit le texte des 13 communications présentées en octobre 1971, à la Journée de la R.O. dans les Mines, qui s'est tenue à l'Institut d'Exploitation des Mines et d'Economie Minière de l'Université Technique de Clausthal.

En voici l'énumération :

1. G. Dorstewitz. Ce qu'est la R.O. et ce à quoi elle vise dans les mines.
2. G. Hurck. Recherche opérationnelle et conduite de l'exploitation.
3. K. Schucht. Constitution et répartition optimales de capacités, à partir de blocs et panneaux à exploiter, en prenant comme exemple la réserve de gisement du puits Monopol III.
4. J. Klein. Les principes à la base de la méthode d'optimisation.
5. W. von Velsen. Expériences récoltées lors de la conception et du développement d'un système d'information intégré.
6. H.H. Kuhnke. Problèmes, situation et exigences de la R.O. appliquée dans les charbonnages, le tout considéré à l'échelon d'une grande société minière.
7. J. Elbrönd. Un problème de transport intégré, cité à titre d'exemple d'application de la R.O. dans l'industrie minière canadienne.
8. M. Pabel. Le modèle de planification d'un siècle : expériences récoltées lors de sa mise en œuvre.
9. L. Molnar. Planification de la production et de l'écoulement, à l'aide d'un modèle d'entreprise.
10. M. Psotta. Planification de la production visant une optimisation des résultats, à la mine de Hattorf.
11. U. Kropp. Optimisation d'un transport à bande du fond vers la surface, en vue d'une extraction de 15.000 t/jour.
12. F.L. Wilke. Modèle de calcul en vue de l'optimisation d'un transport à bande.
13. H. Krämer. Etudes en vue d'une optimisation des transports à bande à G.H.H. (Gutehoffnungshütte Sterkrade A.G.).

Tous les auteurs — ressortissant à plusieurs nationalités — sont d'éminents spécialistes de la question ; ils jouissent d'une grande renommée dans le domaine de la R.O.

Les méthodes qu'applique la R.O., l'informatique en général et l'utilisation des ordinateurs électroniques fournissent dès à présent une contribution décisive au traitement et à la solution de problèmes complexes et difficiles tels qu'il s'en présente couramment dans l'industrie minière. Ces techniques relativement récentes pourraient être appliquées sur une plus grande échelle et avec plus de succès si elles étaient plus largement diffusées et mieux connues des utilisateurs possibles.

Aussi l'objectif essentiel de cet ouvrage est-il de former clairement, sans ambiguïté et avec participation les techniciens des mines — qu'ils appartiennent à la « staff » (services fonctionnels), ou à la « ligne » (services d'exploitation) — ainsi que les étudiants, à ces méthodes tellement fécondes et si économiquement avantageuses, en raison des montants relativement faibles de temps et de prestations qu'elles requièrent.

Les auteurs ne donnent des aspects théoriques et mathématiques de la R.O. que ce qui est strictement indispensable à une compréhension saine du texte ; un lecteur non spécialement initié. Leur but principal est de motiver la confiance et la fiabilité des nouvelles méthodes de la R.O. sont dignes ; les au-

mines, pour des problèmes bien déterminés, pour-
choisir au mieux les méthodes auxquelles il con-
t de recourir et juger correctement des possibilités
solution et de la validité des résultats récoltés à
asation d'une application.

out en restant aussi proche que possible de la
que et en y puisant des exemples d'application
ante, le volume 1 s'inscrit bien dans la ligne direc-
de cette nouvelle série d'ouvrages techniques.

LE RONDE SUR LES TENDANCES ACTUELLES NS L'ETUDE DE L'ENDURANCE DES CABLES

Milan, Septembre 1973

OIPEEC, Organisation Internationale pour l'Etude
l'Endurance des Câbles, organise à Milan, auprès
Ecole Polytechnique, Istituto di Construzione delle
chine, une Table Ronde sur les tendances actuelles
l'étude de l'endurance des câbles.

es thèmes en discussion sont les suivants :

Raideur et déformation - Analyse des contraintes.
Essais statiques et de fatigue sur les fils. Evolu-
tion possible dans les méthodes d'essai.
Contributions récentes à l'étude de l'endurance des
câbles.

Programme préliminaire.

27 septembre 1973 Thème A (9-12 h)
Thème B (15-18 h)
28 septembre 1973 Thème C (9-12 h)
Conclusions - Visites techniques (15-18 h).

Présentation des mémoires.

Les mémoires seront envoyés au Secrétariat de
l'OIPEEC - prof. U. Rossetti - Politecnico - Corso Duca
Abruzzi, 24 Torino avant le 30 avril 1973.

Le texte, en trois copies, ne doit pas dépasser les
dix pages. Les langues admises sont le français et
l'anglais.

Le Secrétariat assure l'envoi des textes dans le cou-
rant du mois de juillet 1973 à tous les participants à
la Table Ronde.

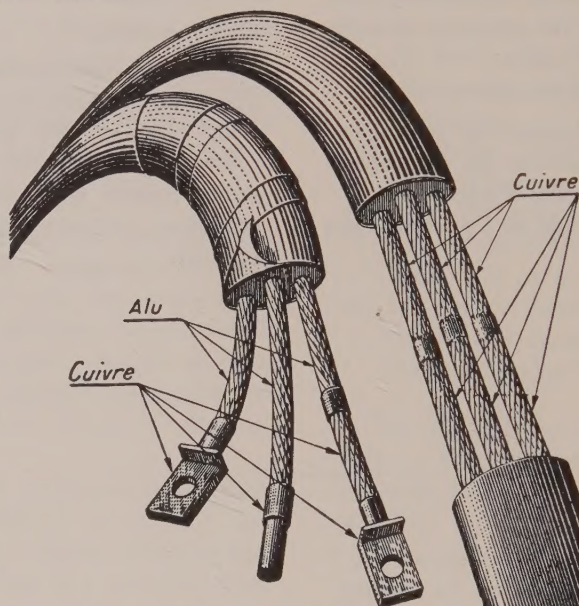
Pour la discussion, il est prévu un service de tra-
duction consécutive français-anglais.

Renseignements.

Pour tout renseignement complémentaire, prière de
s'adresser au *Secrétariat de l'OIPEEC - Politecnico
Corso Duca Abruzzi, 24 - I-10100 - Torino.*

Le programme définitif et la fiche d'inscription
seront envoyés avant décembre 1972 à tous ceux qui
prendront contact avec le Secrétariat de l'OIPEEC à
ce sujet.

Pour transporter de l'ENERGIE, on ne peut augmenter indéfiniment la TENSION ; force est donc d'agir sur l'INTENSITE...
 Pour le problème des contacts qui en résulte :
 Pas d'épissure - Pas de jonction mécanique.
 Rien que de la soudure parfaite **HOMOGAME** et **HETEROGAME** de 1 à 300 mm².



NEO COPPALU

Appareils et procédés G.A. DUCH Btés. SGD G France et Etranger : pour les Raboutages **HOMOGAMES** Cu/Cu et Al/Al ronds et sectoraux sans surprofilage, **HETEROGAMES** Cu/Al, des câbles électriques de l'ELECTROTECHNIQUE et des MINES.

RABOUTAGE des câbles souples des MINES.

RABOUTAGE des fils de Trolley sans aspérité.

Joints électriques de rails Acier/Cuivre/Acier « présoudés ».

NEO COPPALU, 134, boulevard Gabriel-Péri, **MALAKOFF** - 92
 (Hauts de Seine) - Téléphone : ALEsia 30-86

